

Paratethys a neogén na Moravě

Část I - Paratethys

(výběrová přednáška)

2019

Rostislav Brzobohatý

Sylabus:

Část 1 **Paratethys**

- historie pojmu, dnešní pojetí, členění, stratigrafie, indexové fosílie
- geotektonika, vulkanismus, jednotlivé pánve
- paleogeografický vývoj širší Středozevní oblasti a Paratethydy s důrazem na Centrální Paratethydu (priabon, kiscel, eger, eggenburg, otnang, karpát, baden, sarmat, pannon, pont, dak, ruman)

Část 2 **Neogén na Moravě** (stratigrafie, tektonika, sedimentární výplň, paleogeografie, významné fosílie)

- reziduální flyšové pánve
- vídeňská pánev
- karpatská předhlubeň a izolované výskyty neogénu na Českém masivu
- hornomoravský příkop

Zkratky v doprovodných textech:

P, CP, ZP, VP – Paratethys, centrální, západní, východní

K, ZK, VK, JK – Karpaty, Západní, Východní, Jižní

VA - Východní Alpy

Mj, Sj, SSj, Žj, Pj – magurská, slezská, podslezská, ždánická, pouzdřanská jednotka

Kp – karpatská přehlupeň

Vp – vídeňská pánev

Dp – dunajská pánev

Pp – pannonská pánev

Tp – transylvánská pánev

Rp – Rýnský příkop

MAT – Mean Annual Temperature

S, J, V, Z, SJ, SZ, JV, JZ – světové strany

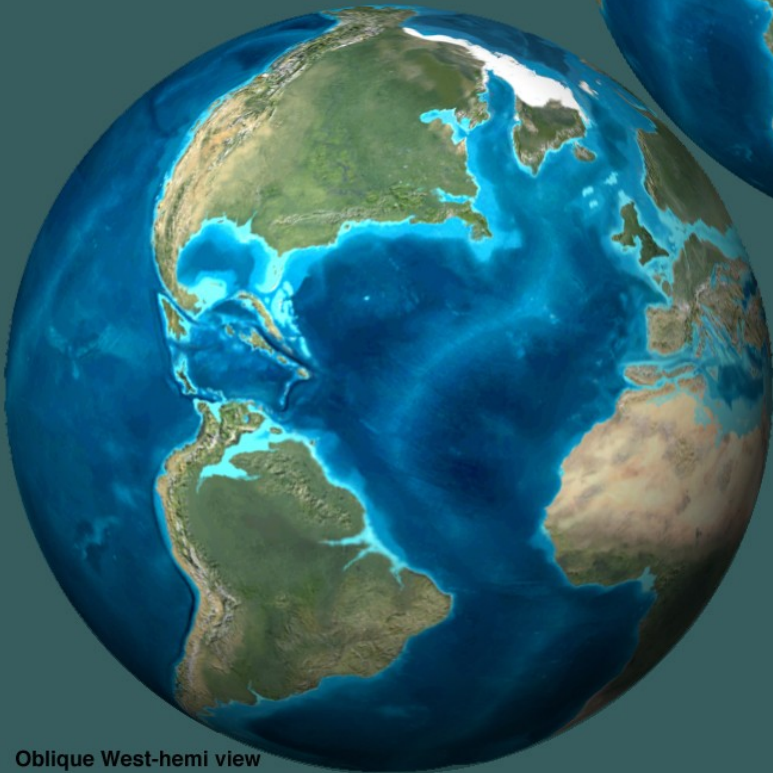
NP23 - paleogénní zóna vápnnitého nannoplanktonu 23

NN1 – neogénní zóna vápnnitého nannoplanktonu 1

Část 1. Paratethys



Oblique Europe view

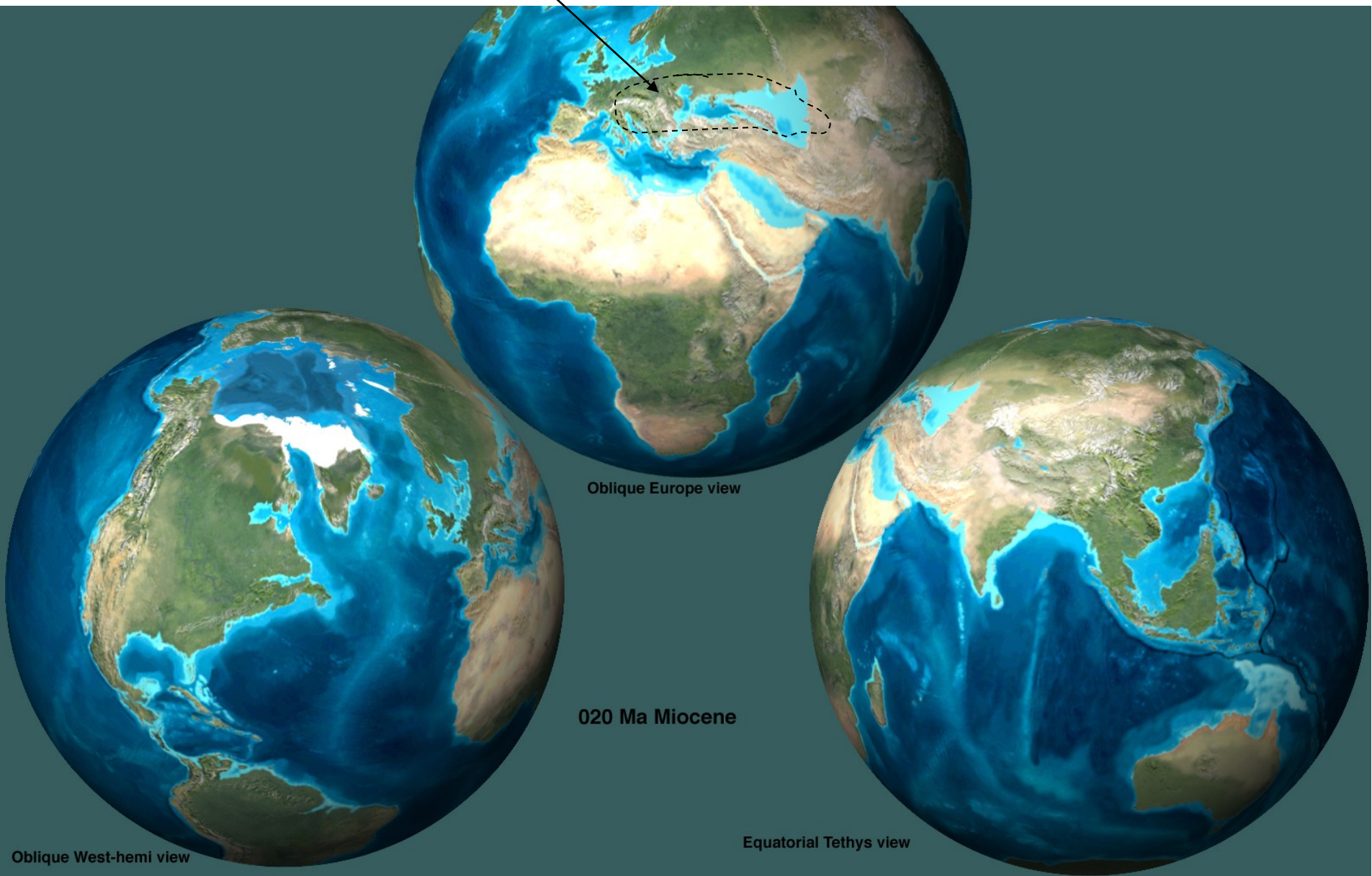


Oblique West-hemi view



Equatorial Tethys view

035 Ma Oligocene



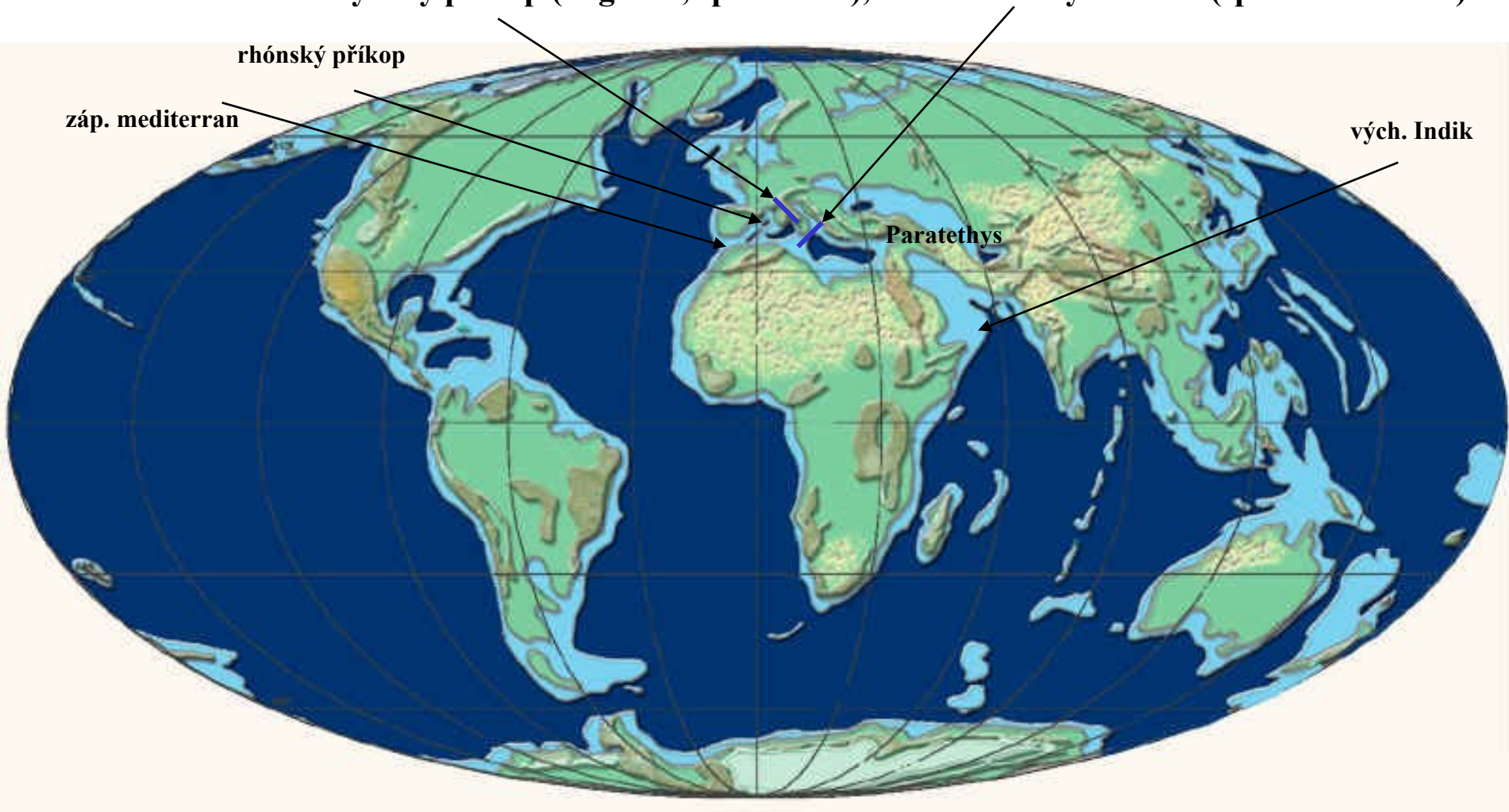
Oblique Europe view

020 Ma Miocene

Equatorial Tethys view

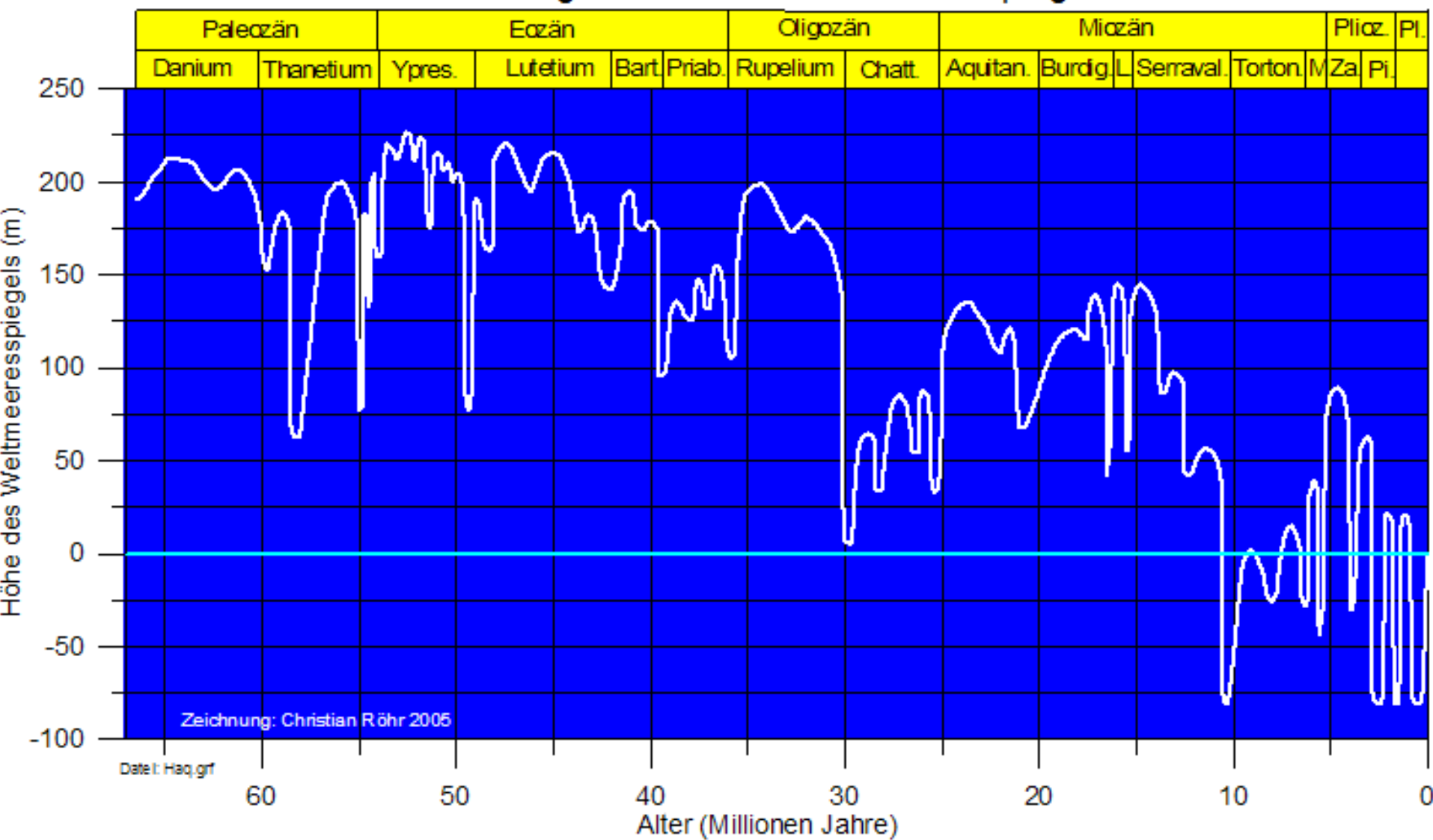
Oblique West-hemi view

Hlavní komunikace: rýnský příkop (oligocén, sp. miocén), transdinarský koridor (sp. a stř. miocén)



Střední miocén – Golonka (2002, upraveno)

Zeitliche Veränderung der Höhe des Weltmeeresspiegels nach Haq et al. (1987)

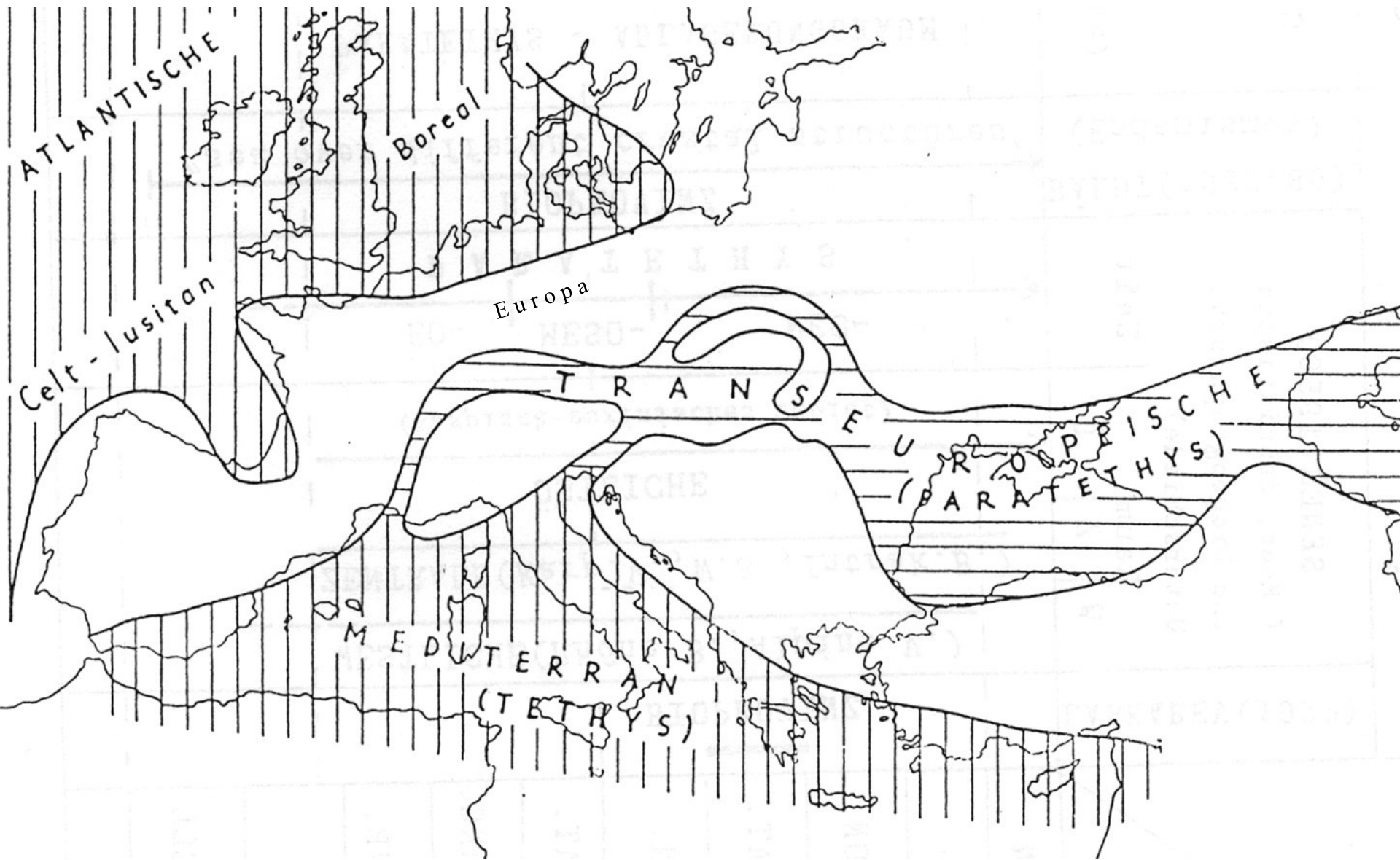


Historie pojmu, členění, stratigrafie, indexové fosílie

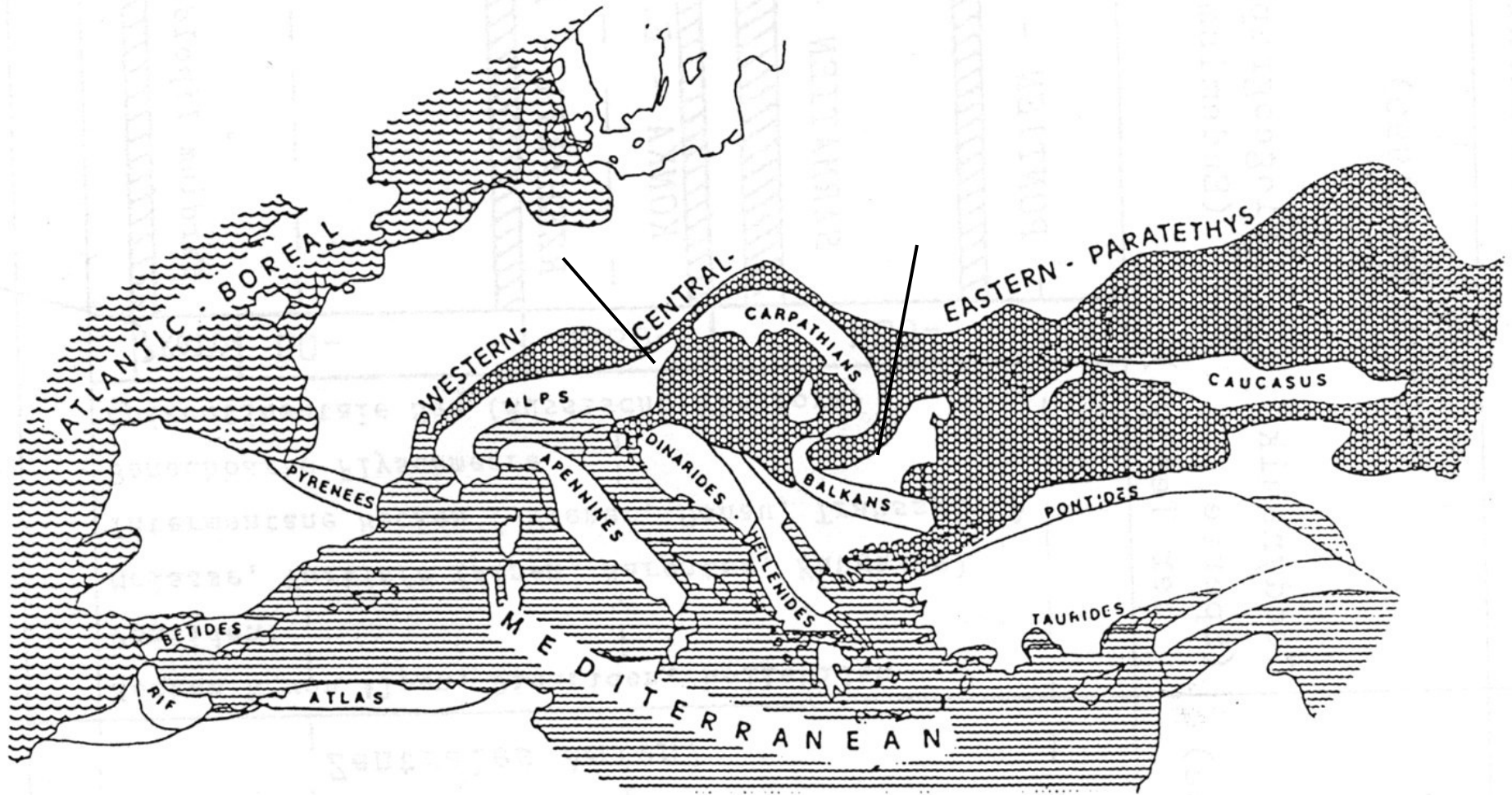
Zutritt		BIO- PALEO- GEOGRAPHIE				SEDIMENTOLOGIE		GEODYNAMIK + BIOGEOGRAPHIE	
		LASKAREV (1929)	SENEŠ (1959) (Meer, faunistische und biogeographische Unterschiede)		Zeit	BÁLDI (1983-89) (Endemismus)	CICHA-KRYSTEK (1985) (Flysch-Molasse)		NAGYMAROSY (1990) Geodynamik (Sperr der Tethys)
Raum			Zeit						
Zeit		W	Z	Ö					
PLIOZÄN									
M I O Z Ä N	Ober-	BIOPROVINZ							
	PONT.	WESTLICHE (Rhône B., Alpine V.)							
	PANNON.	ZENTRALE (Karp. V., W.B., Intrak.B.)							
	Mittel-	ÖSTLICHE							
	SARMAT.	(Kaspisch-euxinisches Gebiet)							
	BADEN.	EO- MESO- NEO-							
	Unte-	P A R A T E T H Y S							
KARPAT.	BIOPROVINZ								
OTTNANG.	"sea over different crustal structures"								
EGGENB.	PARATETHYS - ABLAGERUNGSRAUM								
OLIGOZÄN	EGER.	(Ende der Flyschsedimentation)							
	KISCELL.	Molasse Becken (Rhône Tal- Alpine+Karpatische Molasse- Zentrales Asien)							
EOZÄN		Becken N von Alpen, Dinariden, Helleniden							
		Pontiden:							
		Molasse, Vortiefe (Alpen, Karpaten, Kaukasus)							
		Intermontane Becken (Wiener, Donau, Transsylv.)							
		Benachbarte Flyschmeere							
		Epikontinentale See (Russische Plattform)							
		PROTO-	EO-	MESO-		NEO-			
		Cardium lipoldi-E.							
		RZEHAKIA - E.							
		KONKA - E.							
		SARMATIEN - E.							
		PONTIEN - E.							

Vývoj pojmu Paratethys (Brzobohatý, Brussel 1992)

Russk (1988)

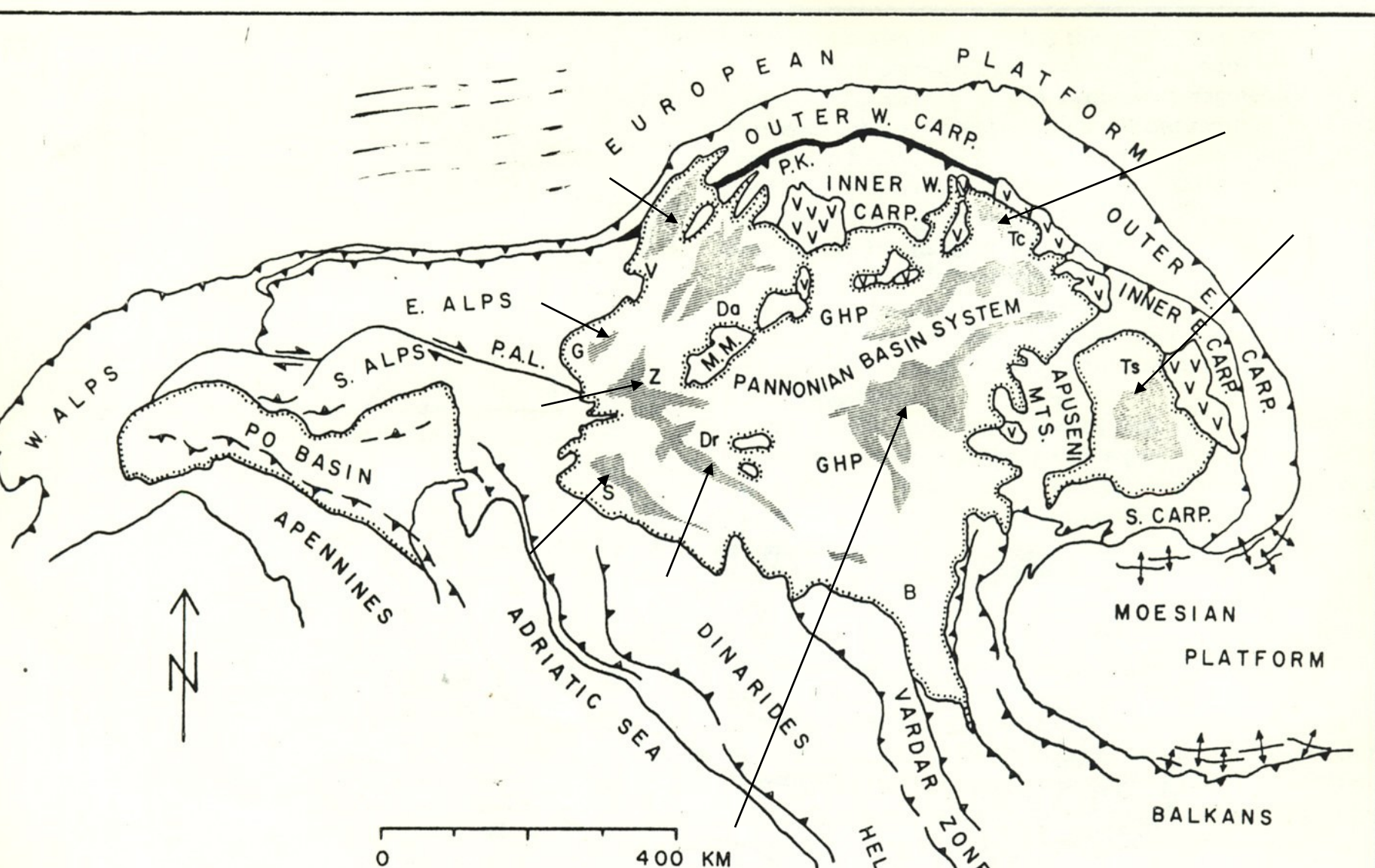


Mořské bioprovincie v evropském neogénu (Seneš 1958)



Paratethys – paleogeogr. členění (východní, centrální, západní)

(upraveno podle Steininger et al. 1988)

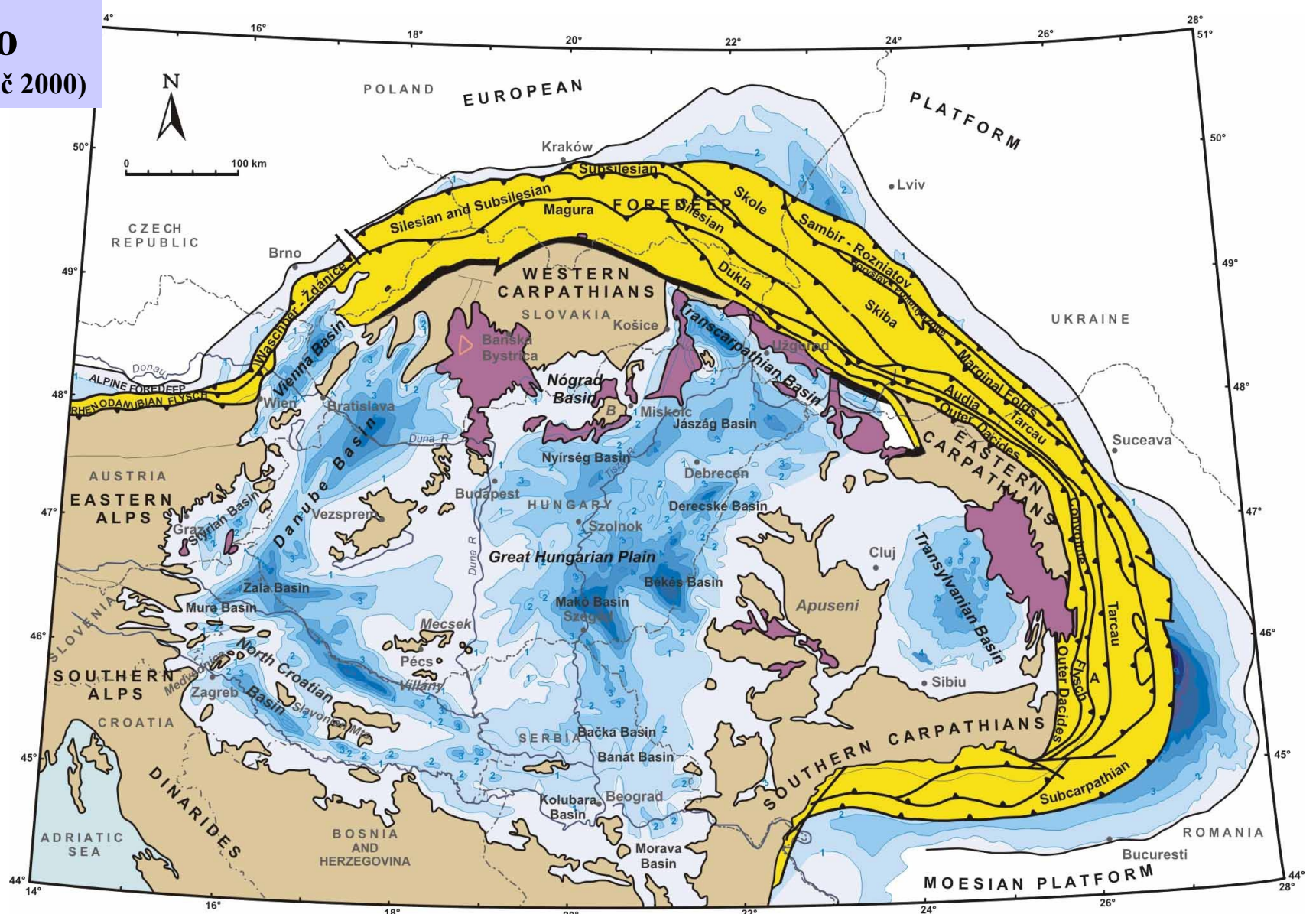






Centrální Paratethyda a její nejvýznamnější dílčí pánve (Royden 1988)

V – vídeňská, G – štýrská, Z – sálská, S – sávská, Dr – drávská, Tc – transkarpatská, Ts – transylvánská, GHP - pannonská

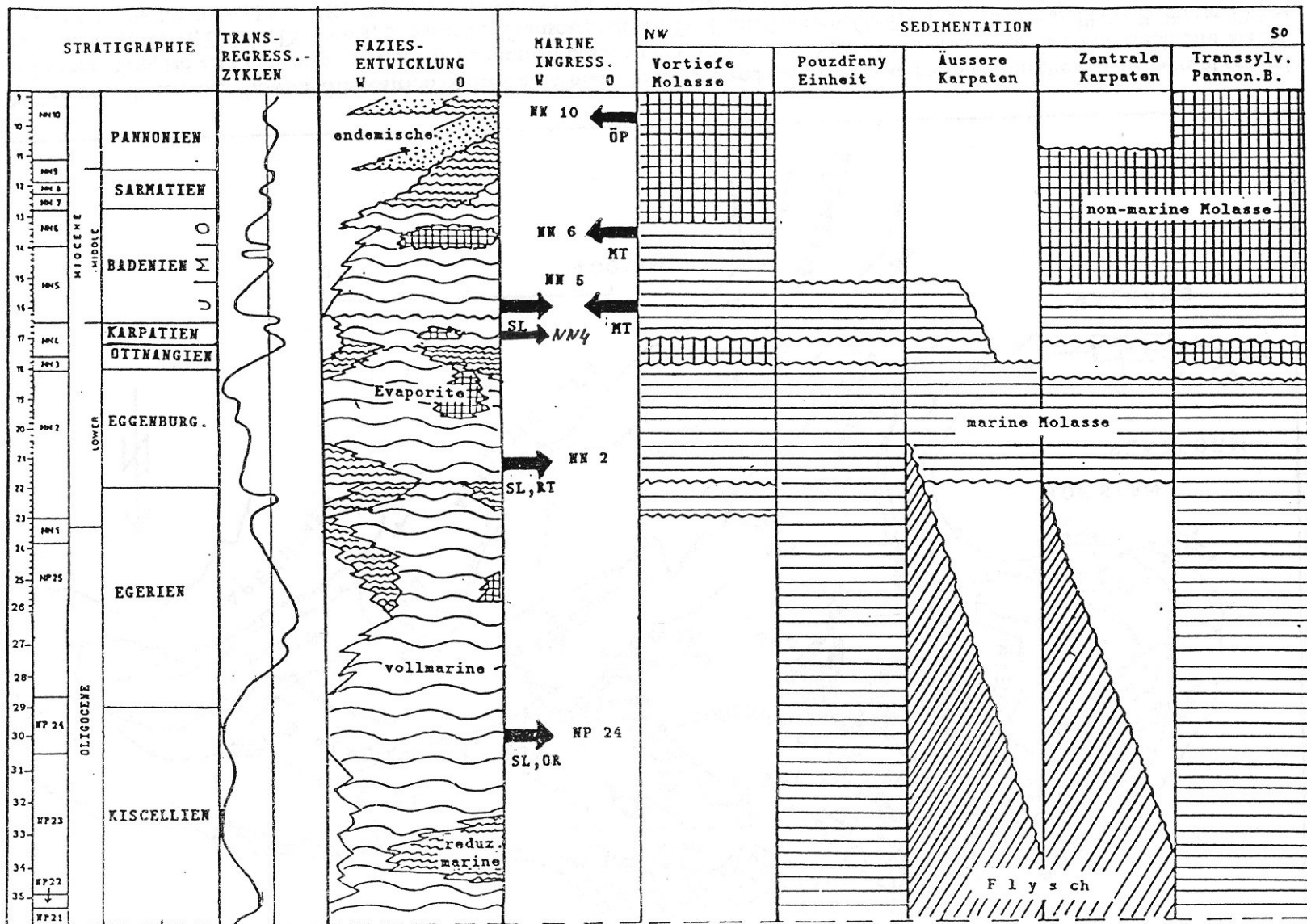
Dtto

(Kováč 2000)



-  European platform
-  Neogene basins
-  thickness of Neogene
-  Alpine - Carpathian externides

-  Pieniny Klippen Belt
-  Alpine - Carpathian - Dinaride internides
-  Neogene volcanic areas
-  main tectonic lines



Schematická charakteristika transgresních/regresních pohybů, základních facií, ingresí a sedimentace v centrální Paratethě (NP, NN – biozóny vápnitého nanoplanktonu; mořské spojení prostřednictvím: SL = Slovinsko, OR = Hornorýnský příkop, RT = údolí Rhony, MT = mesopotámský trog, ÖP = východní Paratethys) (Brzobohatý, Brussel, 1992, podle různých pramenů)



Legend



Picha et al. (2006)

Figure 1. Index map of the Carpathians and the surrounding regions (modified after Picha, 1996). AU = Austria; BH = Bosnia and Herzegovina; BU = Bulgaria; CR = Croatia; CZ = Czech Republic; GE = Germany; HU = Hungary; IT = Italy; MO = Moldova; PL = Poland; RM = Romania; SK = Slovakia; SL = Slovenia; SM = Serbia and Montenegro; TB = Transylvanian basin; UK = Ukraine; VB = Vienna basin.

Karpatsko-panonská oblast a její rozložení podle státních celků

Central Paratethys climatic parameters (Kovac et al, 2002 & Kovar et al. 2003)



Terminologie chronostratigrafických jednotek používaná v západokarpatských pánvích cca 1870 až 1927		1927 až cca 1968		cca od 1968 (platná v současnosti) (regionální škála Centrální Paratethydy)		Mezinárodní stratigrafická škála (schválené české psaní)					
pont (Barbot d. Marny 1869)	pont			ruman							
				dac							
				pont							
pannon (Roth Telegdi 1879)	pannon (pannon s. s.)	zонаce vídeňské p. (Papp, 1951) A B C D E F G H I		pannon	zонаce vídeňská p. (Papp) H až A						
sarmat (Suess 1866)	sarmat			sarmat							
II. mediterrán (Suess 1867)	litavské vápence			torton s. l.						svrchní torton (torton s. s.)	(Papp, Cicha, Seněš, Steininger 1968) podstoupně
	badenské tégly	torton	baden (Papp, Cicha 1968)		kosov (sv. baden)						
	grundské vr.	spodní torton	wielic *) (stř. baden)		morav (sp. baden)						
I. mediterrán (Suess 1867)	šlír vnělapské pánve	helvet burdigal	sp. helvet	svrchní helvet							
	vrstvy hornské a eggenburgské oblasti			helvet s. s.					karpát (Cicha, Tejkal 1959)		
				svrchní burdigal					ottnang (Papp, Roegl 1968)		
aquitán (M.Eymar 1858)	chatt-akvitán	akvitán		eggenburg							
				spodní burdigal					eggenburg (Steininger, Seněš 1968)		
chatt (Fuchs 1900)	chatt	chatt		eger (Báldi, Seněš 1968)							
rupel (Dumont 1849)				rupel					kiscell (cca 1975)		
									gelas	plio-cén	NEOGEN
									piacenz		
									zancí	svrchní	miocén
									messin		
									torton	střední	NEOGEN
									serraval		
									langh	spodní	PALEOGEN
									burdigal		
									aquitán	oligocén	PALEOGEN
									chatt		
									rupel		

*) zde nové názory a formální úpravy – viz část 2 – Paratethys

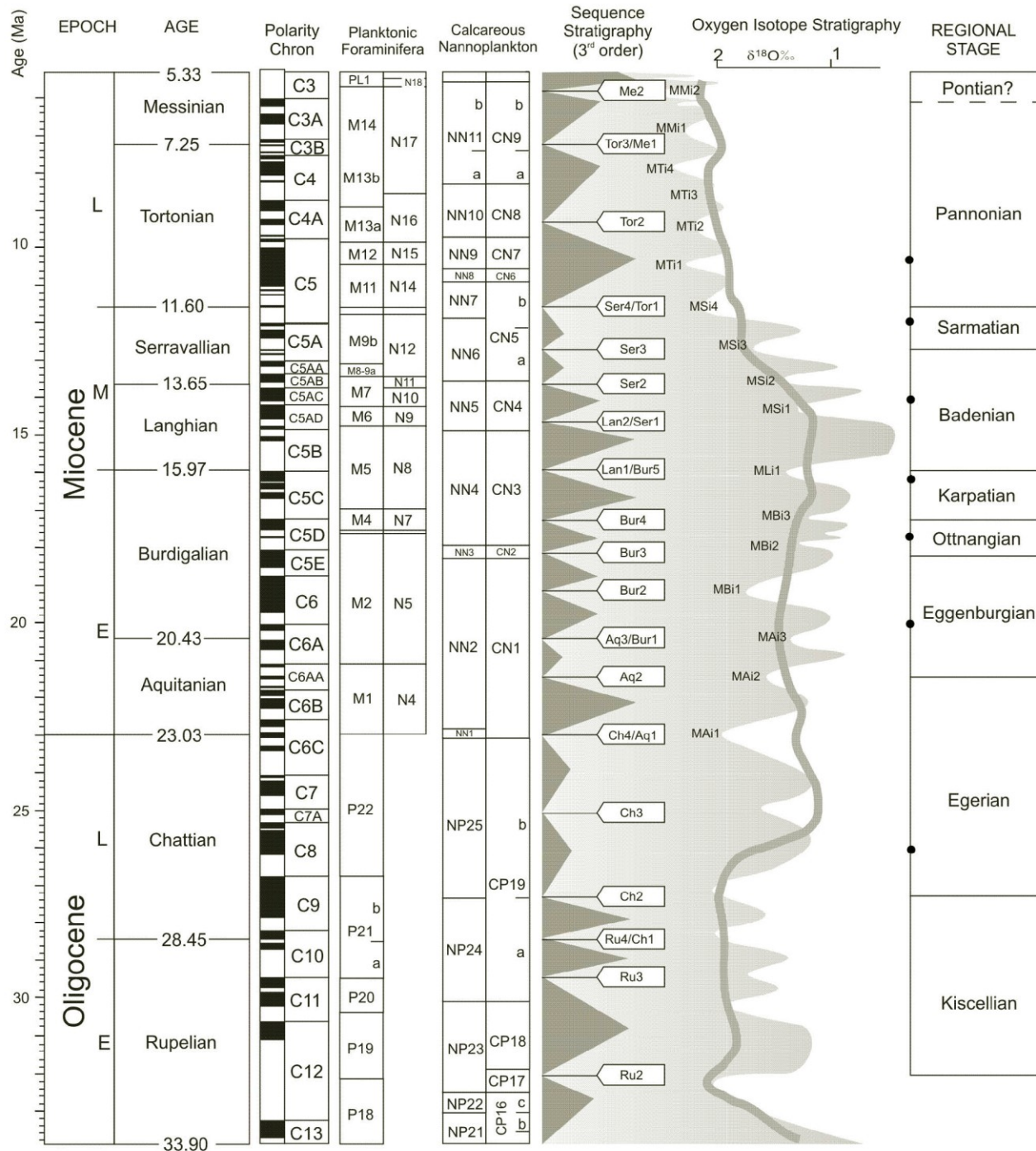
(Brzobohatý 2004)

Paratethys Chronostratigraphie & Neostatotypen

8 volumes: Egerian to Pontian

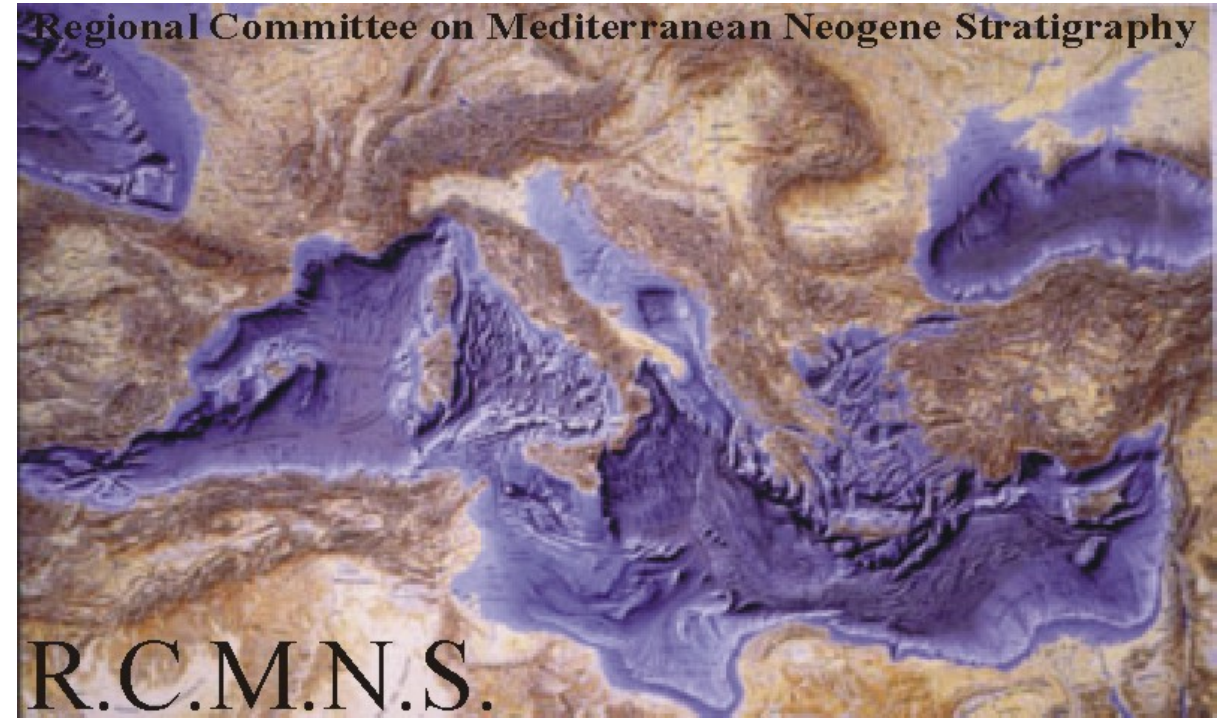


(1967-1985)



● pozice historických stratotypů

Age	Polarity	Magneto Zones	MEDITERRANEAN			PARATETHYS		STANDARD MAMMAL ZONES						
			Period	Epoch	Stage	Central Paratethys	Eastern Paratethys	Western European Land Mammals		Central European Land Mammals				
								Mammal Stage	Mammal Zones	"Mega-Zones"	MN-Zones			
0			QUATERNARY	Pleistocene	Tyrrenian									
1		C1			0.95									MQ1-4 /MN18
2		C2		MIDDLE	Gelasian									
3		C2A	1.806											MN17
4				EARLY	Piacenzian	Romanian								
5		C3	2.581											MN16
6				LATE	Zanclean	Pontian Dacian								
7		C3A	3.600											MN15
8				MIDDLE	Messinian	Pontian								
9		C4	5.332											MN14
10				EARLY	Tortonian	Pannonian								
11		C4A	7.246											MN13
12				MIDDLE	Serravallian	Sarmatian								
13		C5	11.600											MN12
14				LATE	Langhian	Badenian								
15		C5A	13.820											MN11
16				EARLY	Burdigalian	Eggenburgian								
17		C5B	15.974											MN10
18				MIDDLE	Aquitanian	Sakaraulian								
19		C5C	20.393											MN9
20				LATE	Chattian	Egerian								
21		C5D	23.030											MN8-7
22				EARLY										
23		C5E												MN6
				MIDDLE										
														MN5
				LATE										
														MN4
				EARLY										
														MN3
				MIDDLE										
														MN2
				LATE										
														MN1

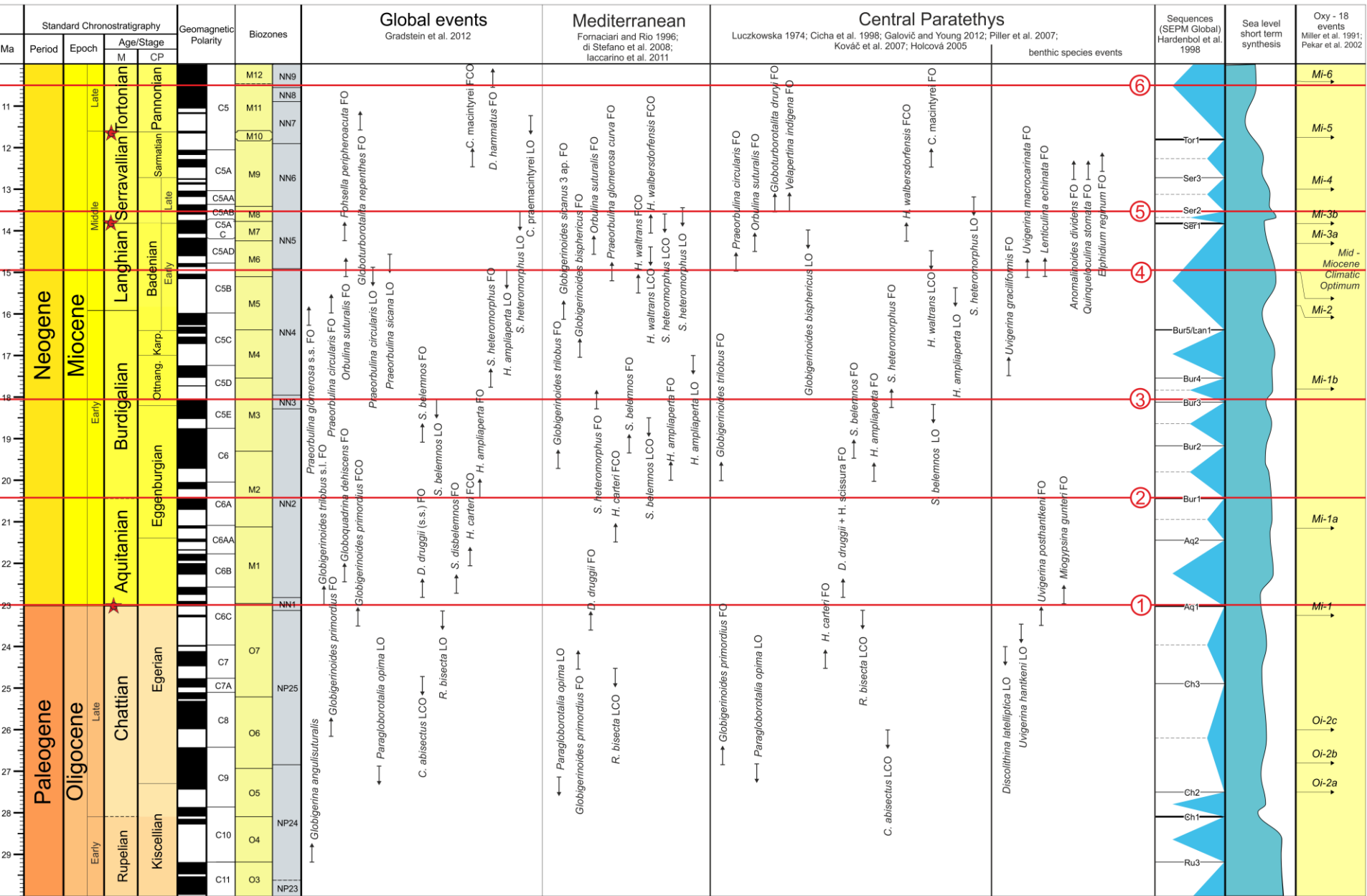


Paratethys - stratigrafie

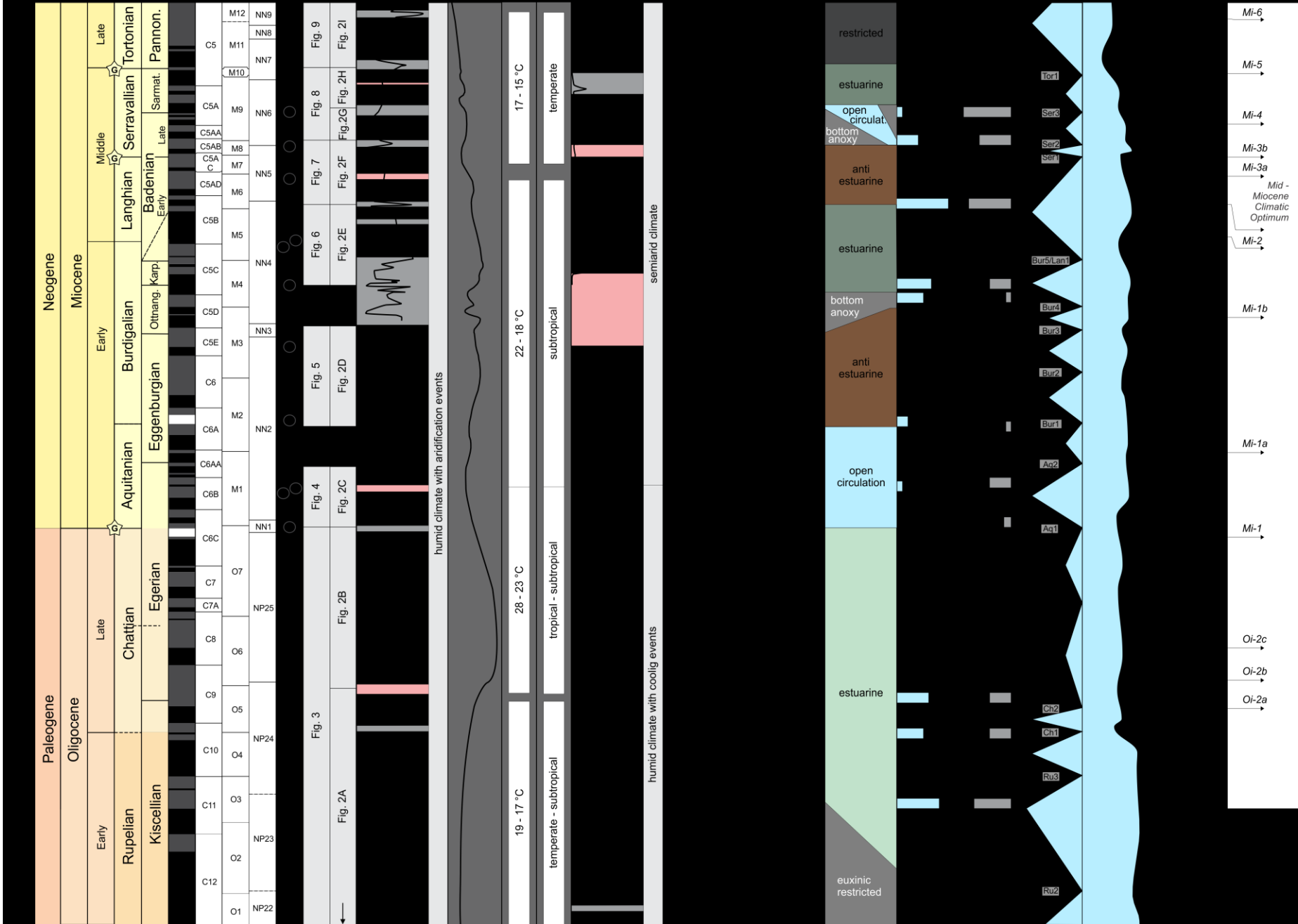
**Paleoceanography of the Central Paratethys: a
water circulations model based on changes of
depositional systems of the sea and reflected by
microfossil proxies**

Kováč, M., Hudáčková, N., Halásová, E.,
Kováčová, M., Holcová, K., Oszczypko-Clowes,
M., Báldi, K., Less, G., Nagymarosy, A., Ruman
A. & Klučiar T.

Acta Geologica Slovaca 9(2): 75-114, 2017

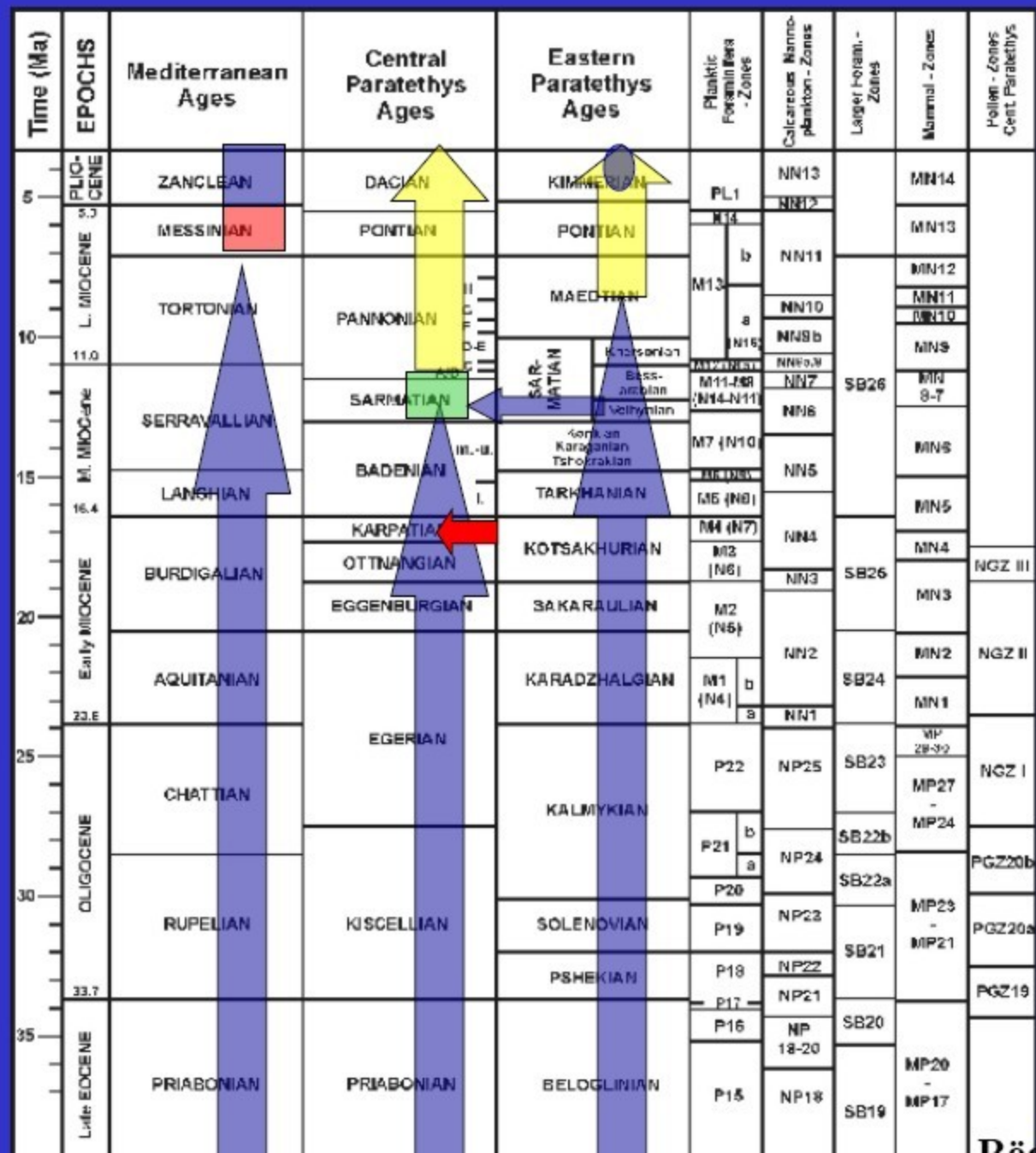


Kováč et al. 2017 – aktuální verze paratethydní stratigrafie



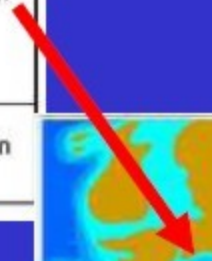
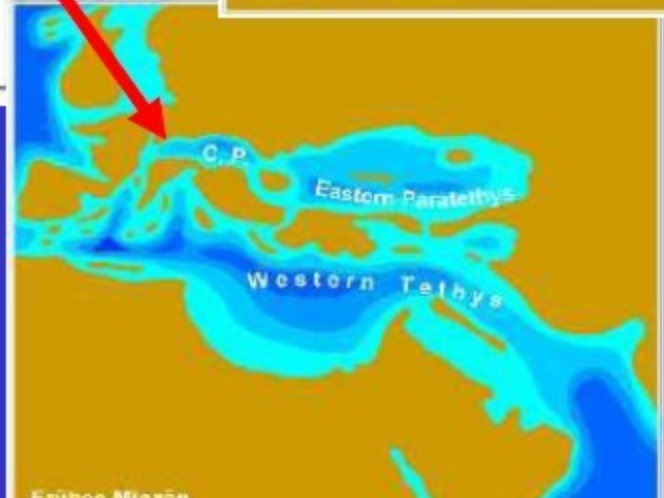
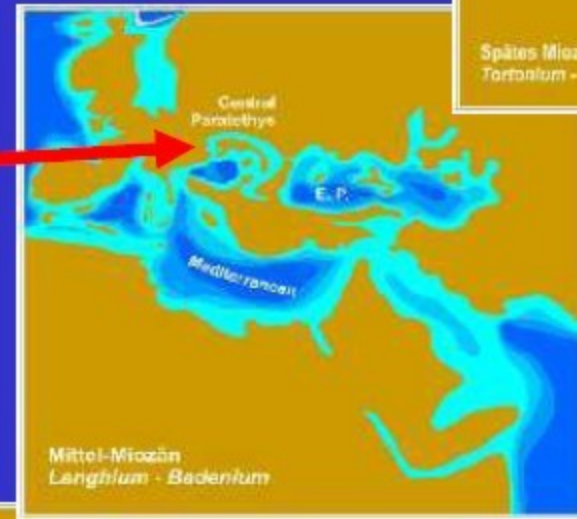
Mediterranean & Paratethys Neogene Facies Developme

limnic to terrestrial
 brackish
 evaporitic
 marine

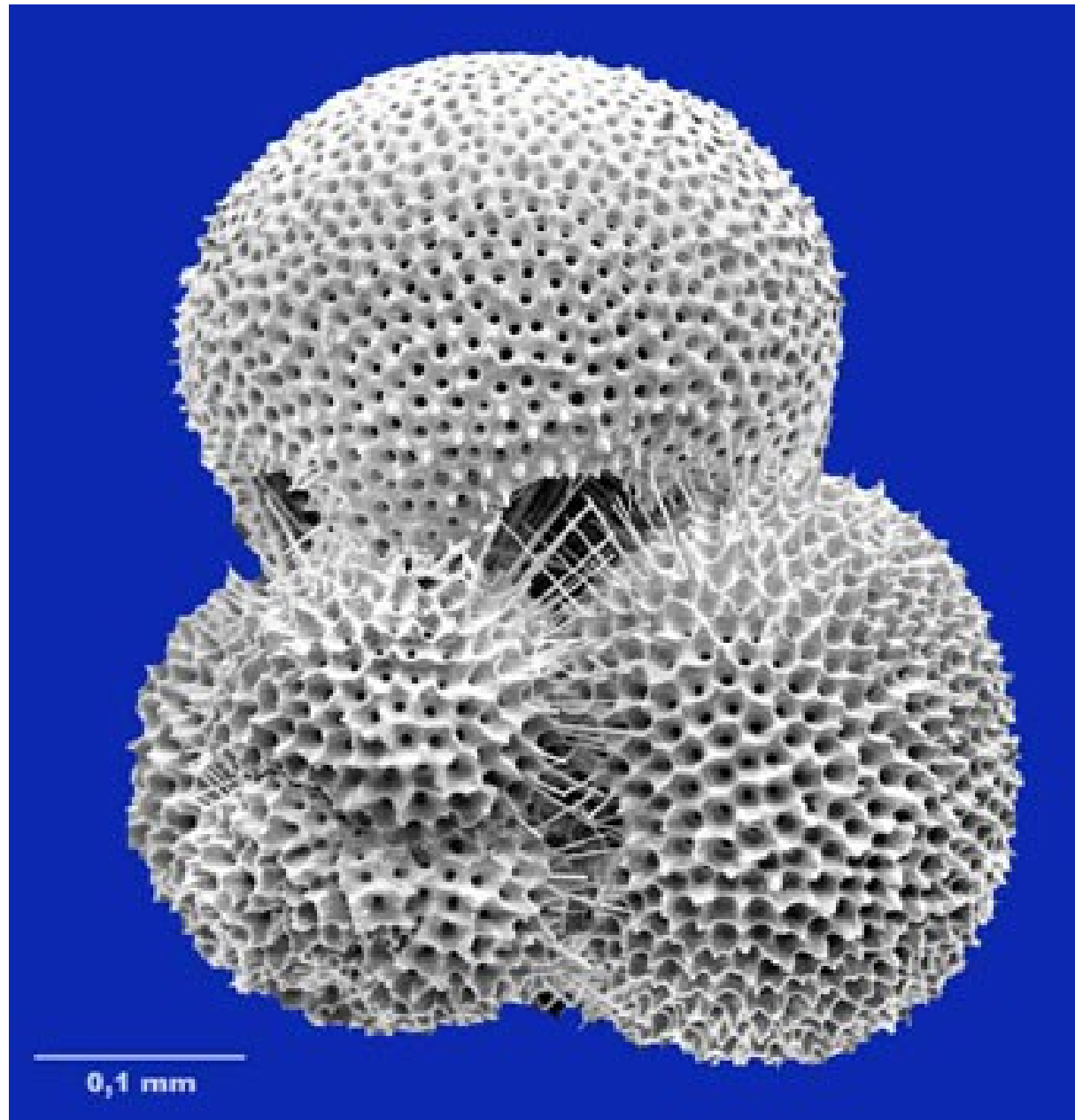


Biogeography of Paratethys and the Mediterranean

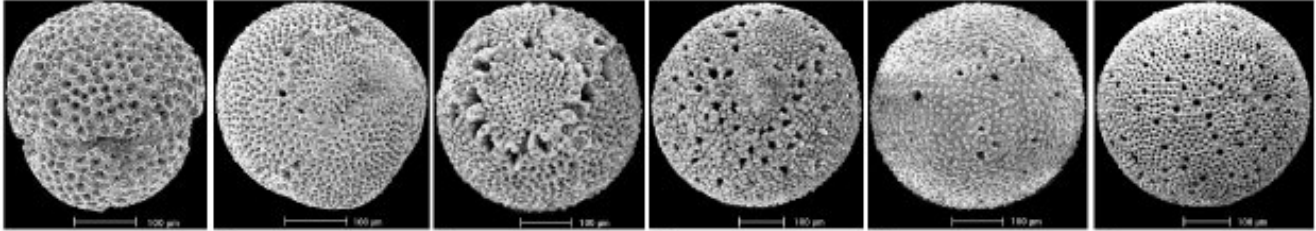
CHRONOSTRATIGRAPHY		GEOGRAPHY	BIOGEOGRAPHY
Tortonian	Pannonian	Lake Pannon	Balatonian Province
Serravallian	Sarmatian	Central Paratethys Sea	Proto-Caspian Subprovince
	Badenian		Danubian Province
Langhian	Karpatian		Proto-Caspian Subprovince
	Ottnangian		Early-Danubian Province
Burdigalian	Eggenburgian		Proto-Danubian Province
	Aquitanian		Egerian



Některé vúdčí skupiny

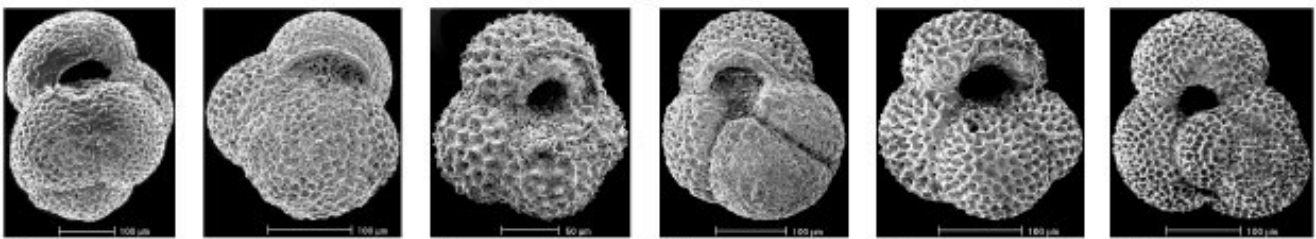


Globigerinoides sp., rec., Arabské moře, 1000 m, (podle Weiße 2007)

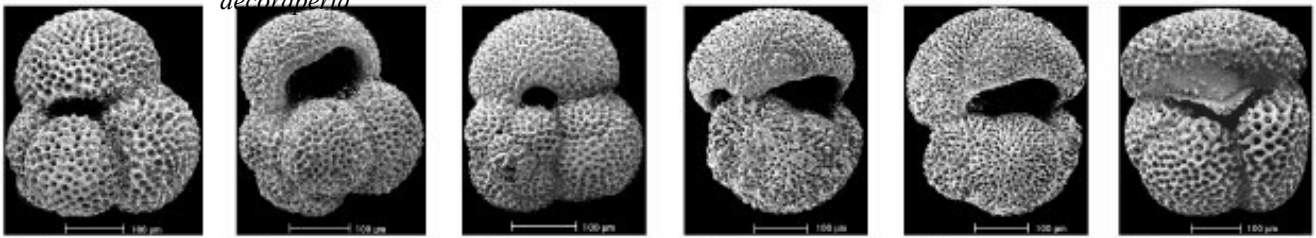


- 1. *P. sicana*
- 2, 3. *P. glomerosa* s.l.
- 4. *O. suturalis*
- 5, 6. *O. universa*

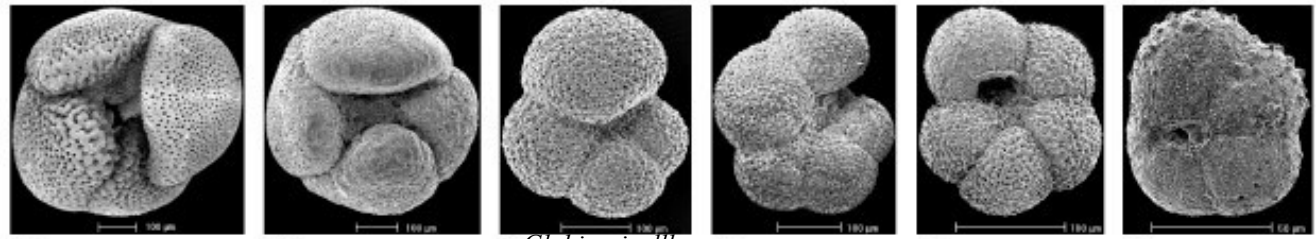
1 2 3 4 5 6



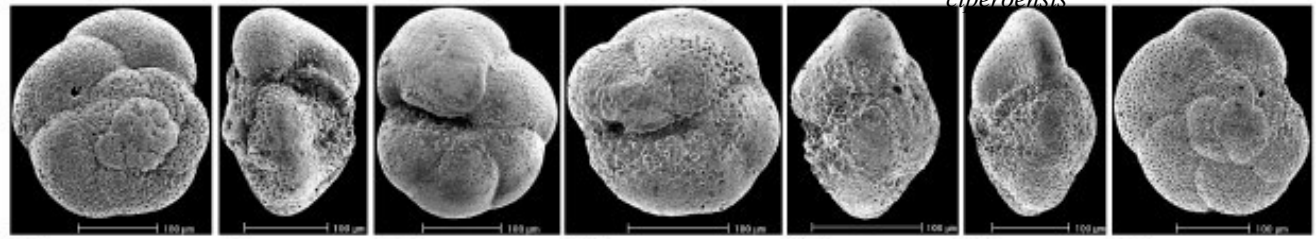
7 8 *Globoturbotalita decoraperta* 9 *G. rubescens* 10 *G. druryi* 11 *Globigerinoides* 12 *parawoodi*



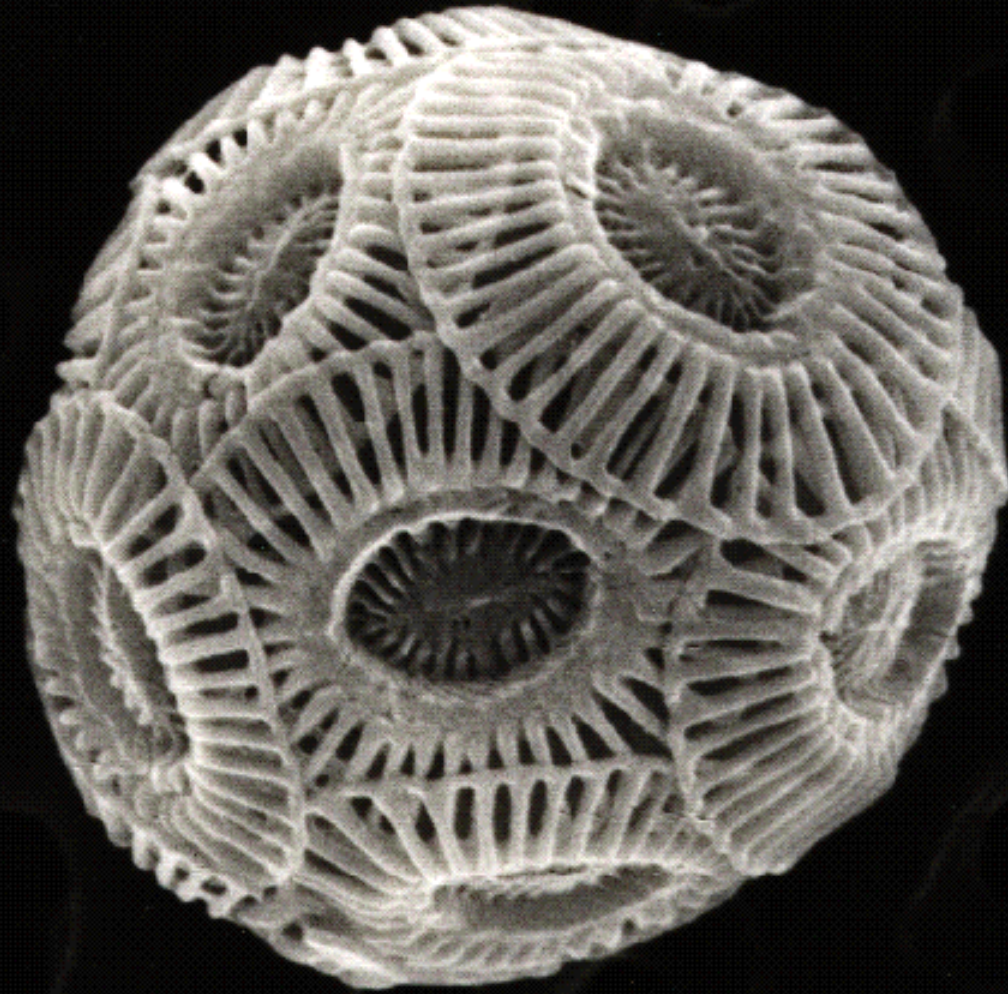
13 *G. quadrilobatus* 14 15 *G. obliquus* 16 17 *G. mitra* 18 *Globoquadrina dehiscens*



19 *G. venezuelana* 20 21 *Globigerinella obesa* 22 23 *Globigerina ciperoensis* 24 *G. quinqueloba*

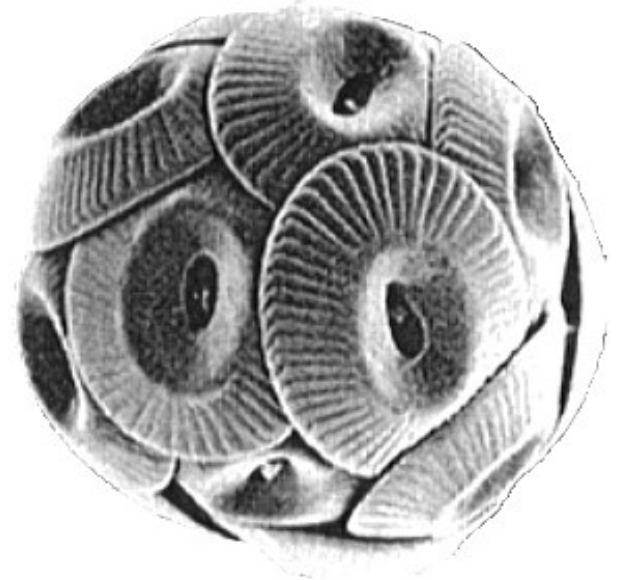
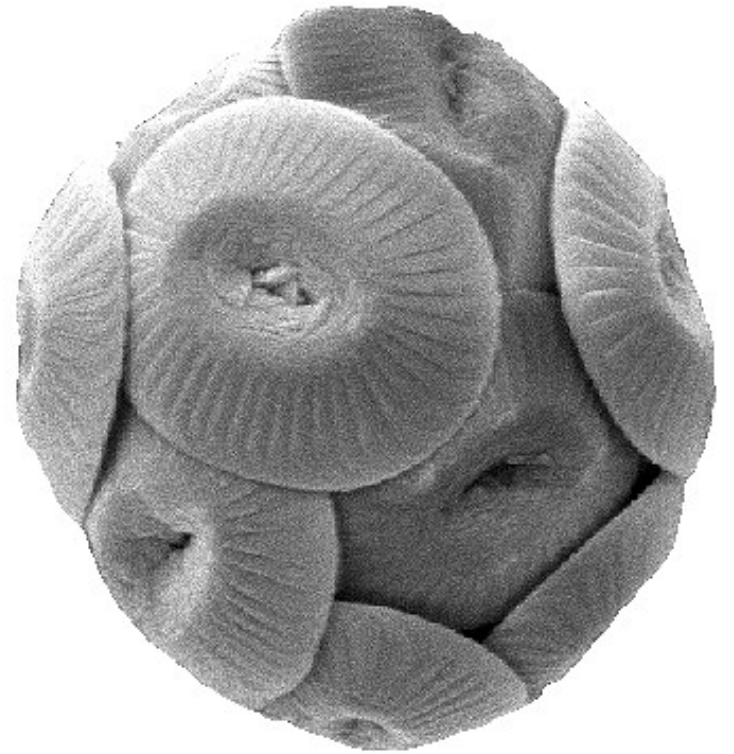
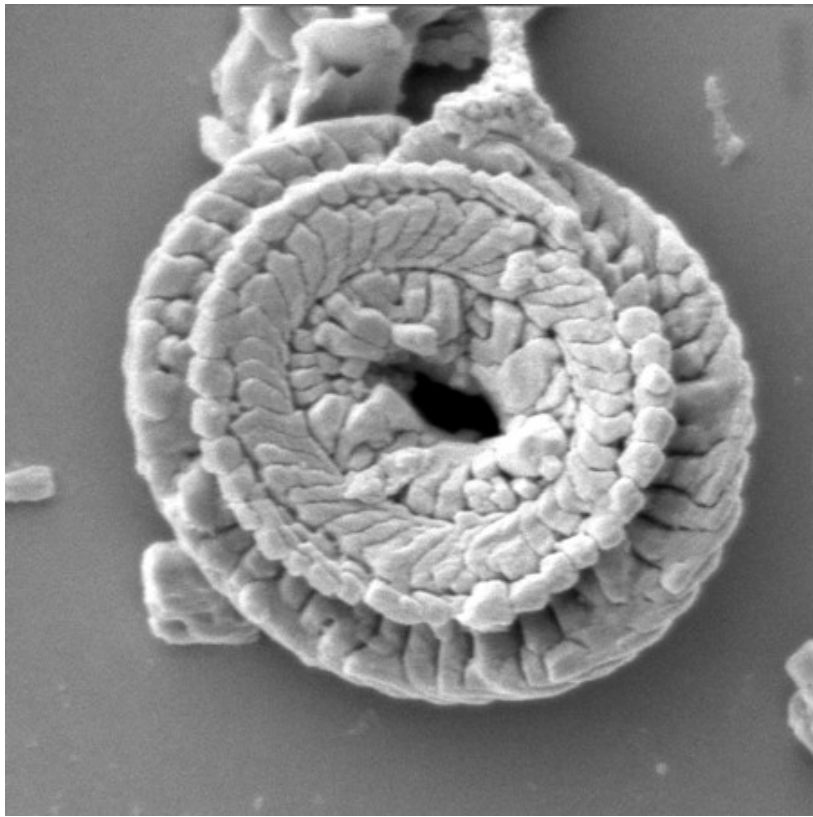


25 26 27 *Globorotalia* 28 *lenguanensis* 29 30 31



Scanning electron photomicrograph of Emiliana huxleyi

Emiliana huxleyi – recent



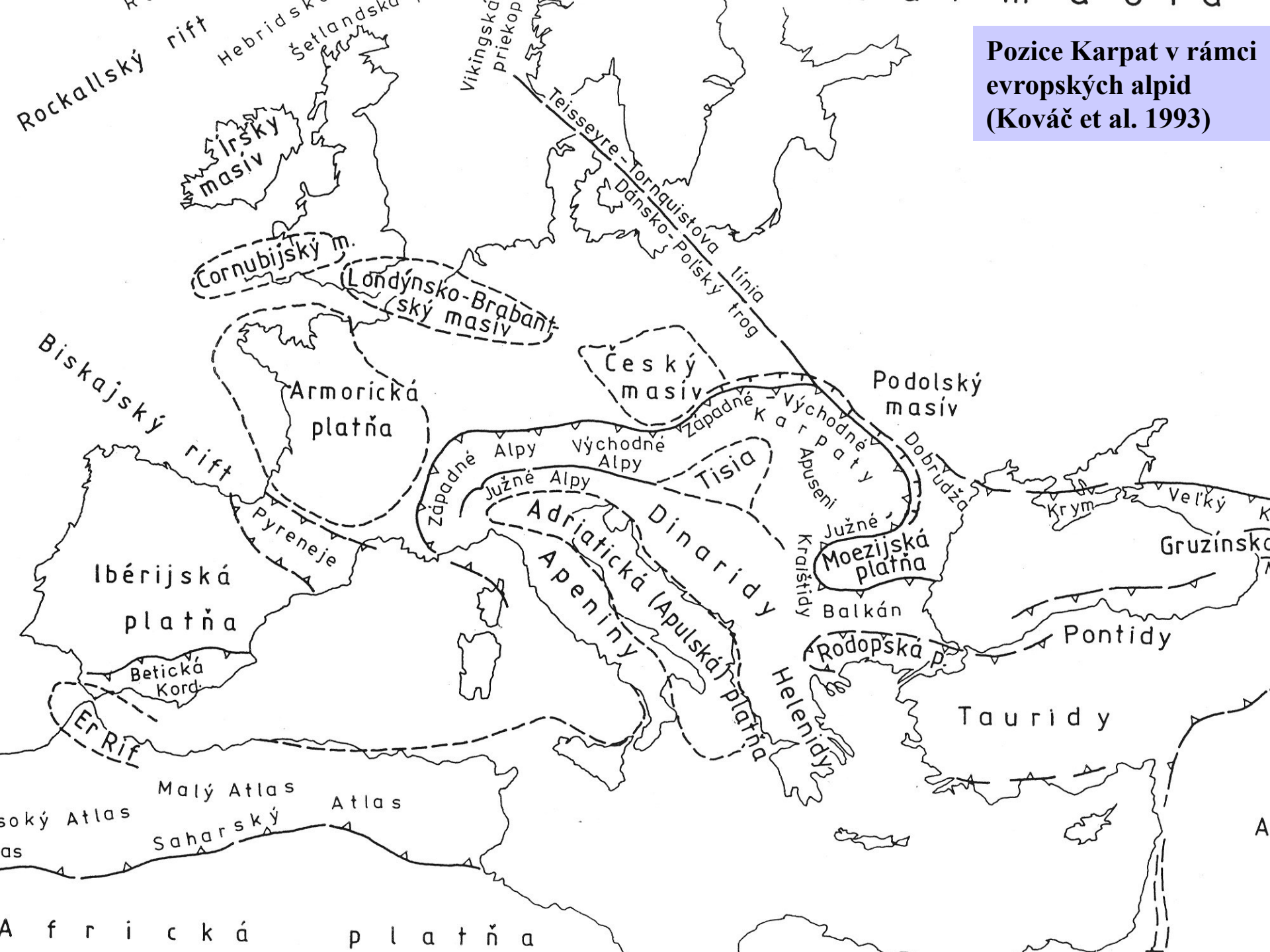
Coccolithus pelagicus

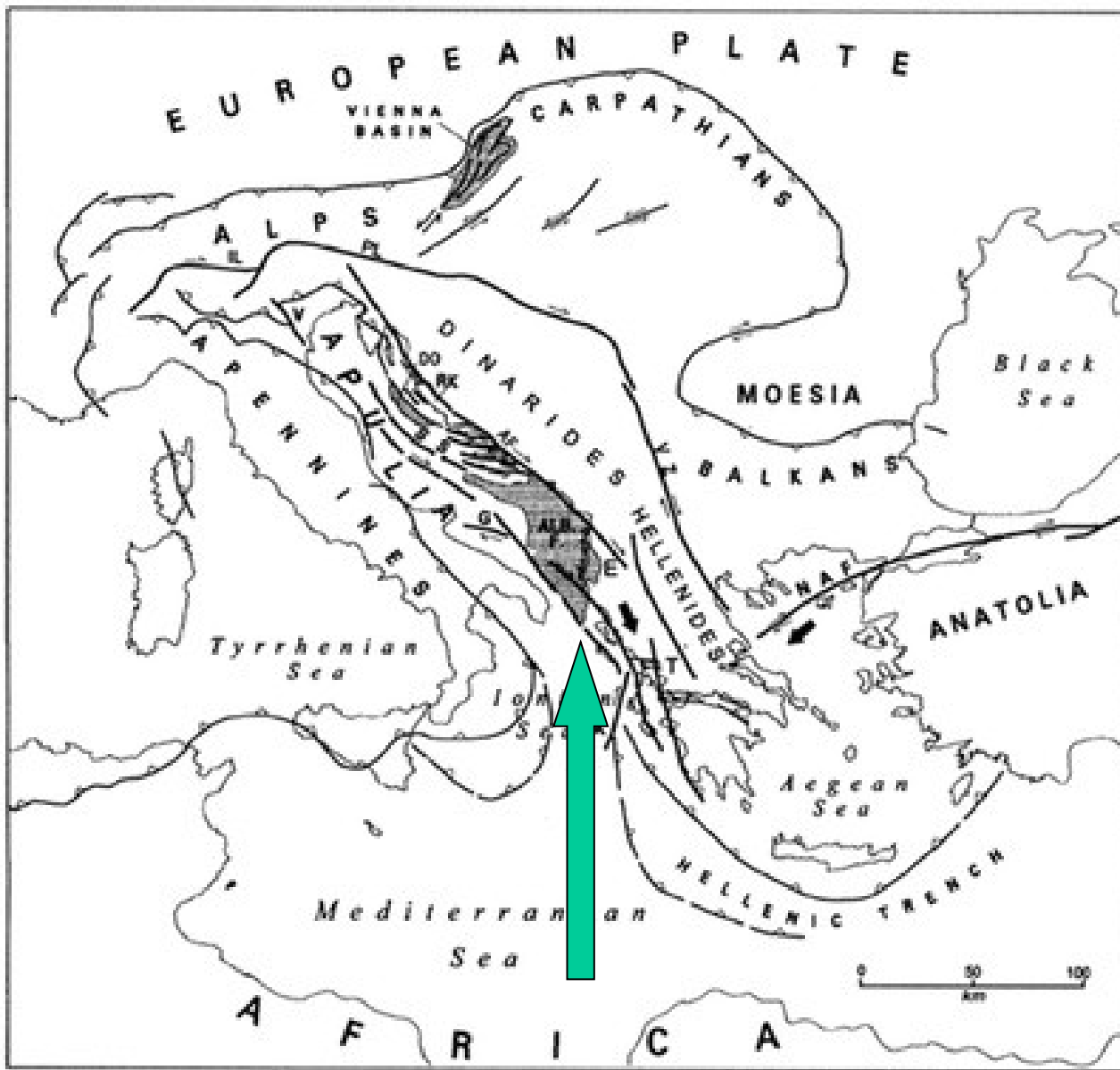


Discoaster exilis – stř. miocén

Tektonika, vulkanizmus

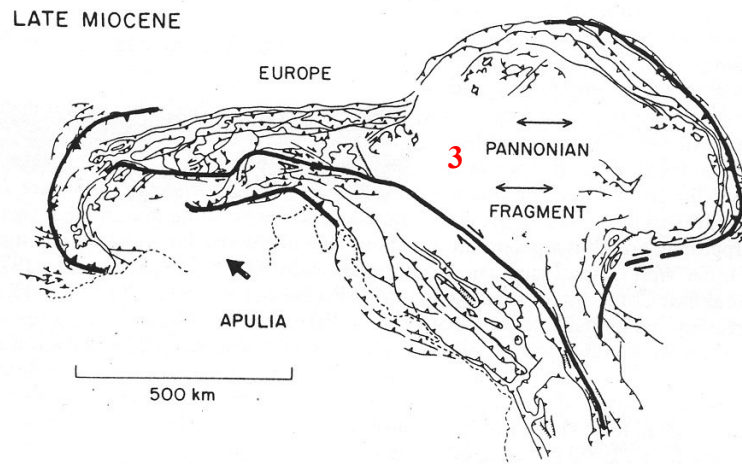
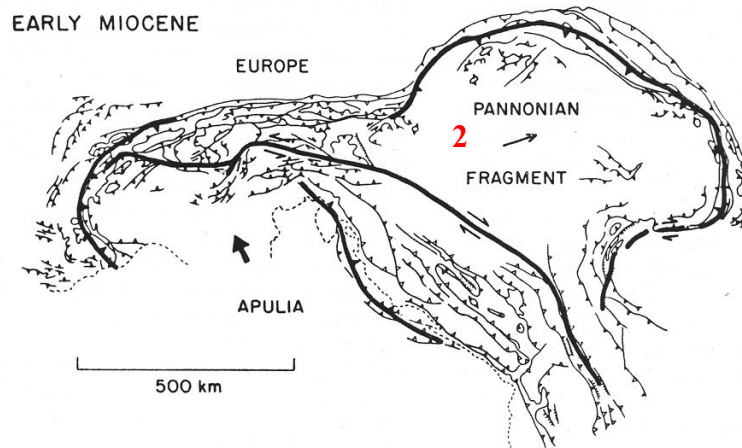
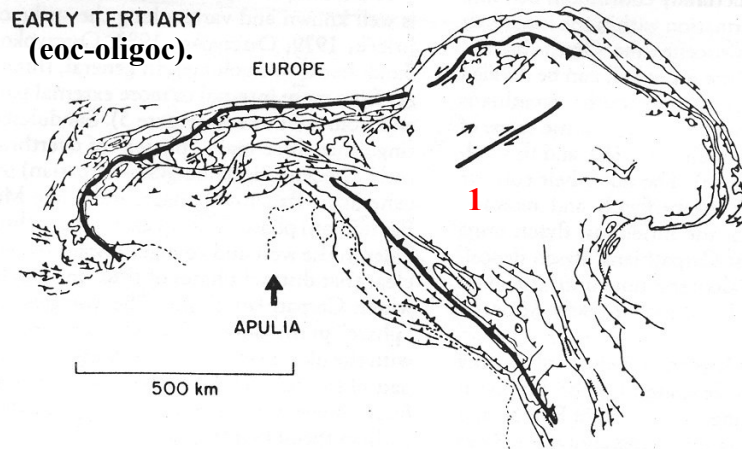
Pozice Karpat v rámci evropských alpid (Kováč et al. 1993)





Pozice apulskej desky (upraveno dle Pícha 2002)

Směry pohybu desek formujících prostor CP v paleogénu až neogénu (Royden 1988)



- jedna z nejsložitějších situací v Evropě,
- apulská deska (spolu s iberskou), oddělení od Afriky během křídý, pohyb k JV, poté generelně k S
- kolize s platformou v ZP a CP= kontinent:kontinent, v Alpách ortogonální, v Karpatech šikmá k SV,
- výsledek: subdukce platformy, vrásnění jižních jednotek a vznik příkrovové stavby
- v nesených jednotkách imbrikace prekenozoika do vnitřních jednotek = vnitřní Karpaty, Apuseni, Dinaridy,
- směřování Apulie se během kenozoika mění (viz obr.)
- vznikají střížné zóny a strike-slip zlomy v pannonské oblasti + příkrovy s vergencí k SV (Karpaty) a JZ (Dinaridy) během eocénu-oligocénu (1), poč. miocénu se pohybuje panonský fragment k SV, tvoří se další příkrovy v Karpatech (2), dochází k zaobloukové extenzi v panonské oblasti (extenze kůry provázená diapirickým výzdvihem astenosféry), během ml. miocénu k tvorbě příkrovů i ve V. a J. Karpatech (3)

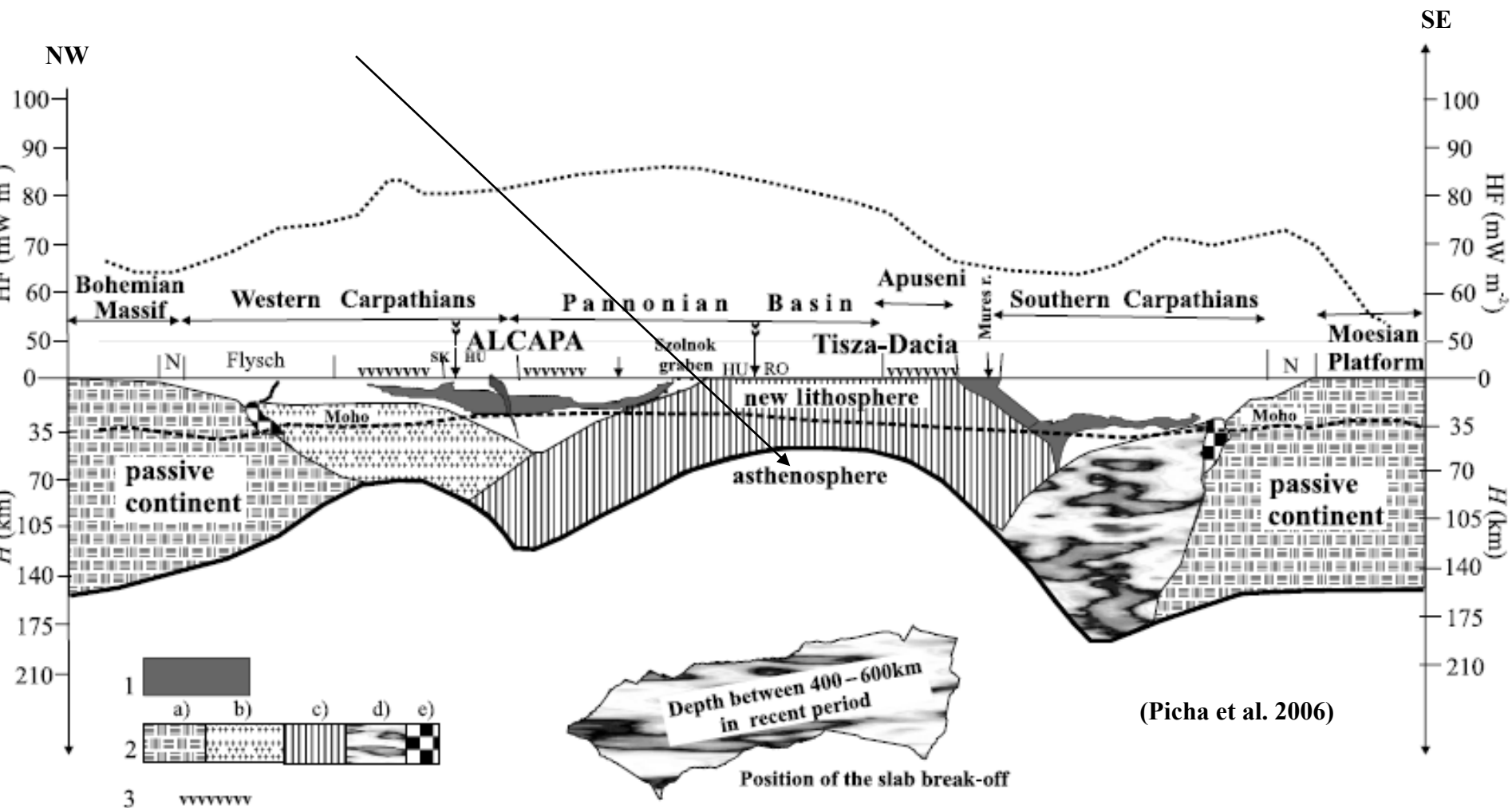
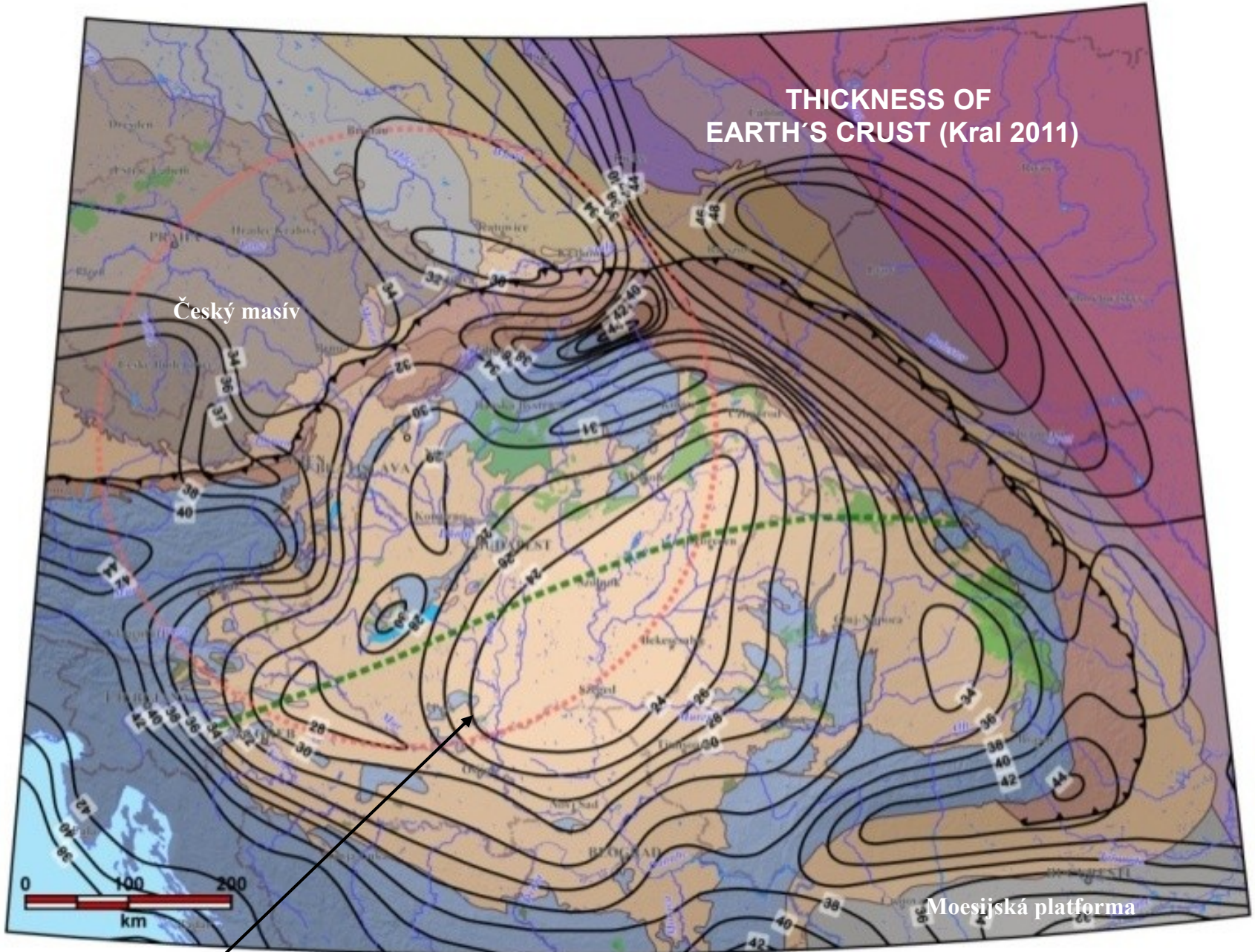


Figure 7. Simplified lithospheric profile through the Bohemian Massif, Pannonian Basin system, and Moesian Platform providing information about lithospheric composition and structure together with heat-flow curve. Green v letters = location of Neogene–Quaternary volcanics; N = sediments of the Neogene foreland basin; 1 = ophiolitic complex; 2 = lithospheric types: (a) continental (platform type, including Bohemian Massif); (b) transitional [underneath rCFB and adjacent to a)]; (c) new lithosphere of the Carpathian-Pannonian system; (d) broken-off and sunken oceanic crust and remnant of the oceanic crust attached to continental lithosphere; (e) high-conductivity zone interpreted as suture zone; 3 = Neogene volcanic ranges. Remnant of the oceanic lithosphere represents the interpretation of the velocity anomaly from the tomographic experiment of Spakman (1990) from a depth of 400 km (248 mi). HF line = heat-flow curve.

SK = Slovakia, HU = Hungary, N = Neogene, RO = Rumunsko

**THICKNESS OF
EARTH'S CRUST (Kral 2011)**



Český masív

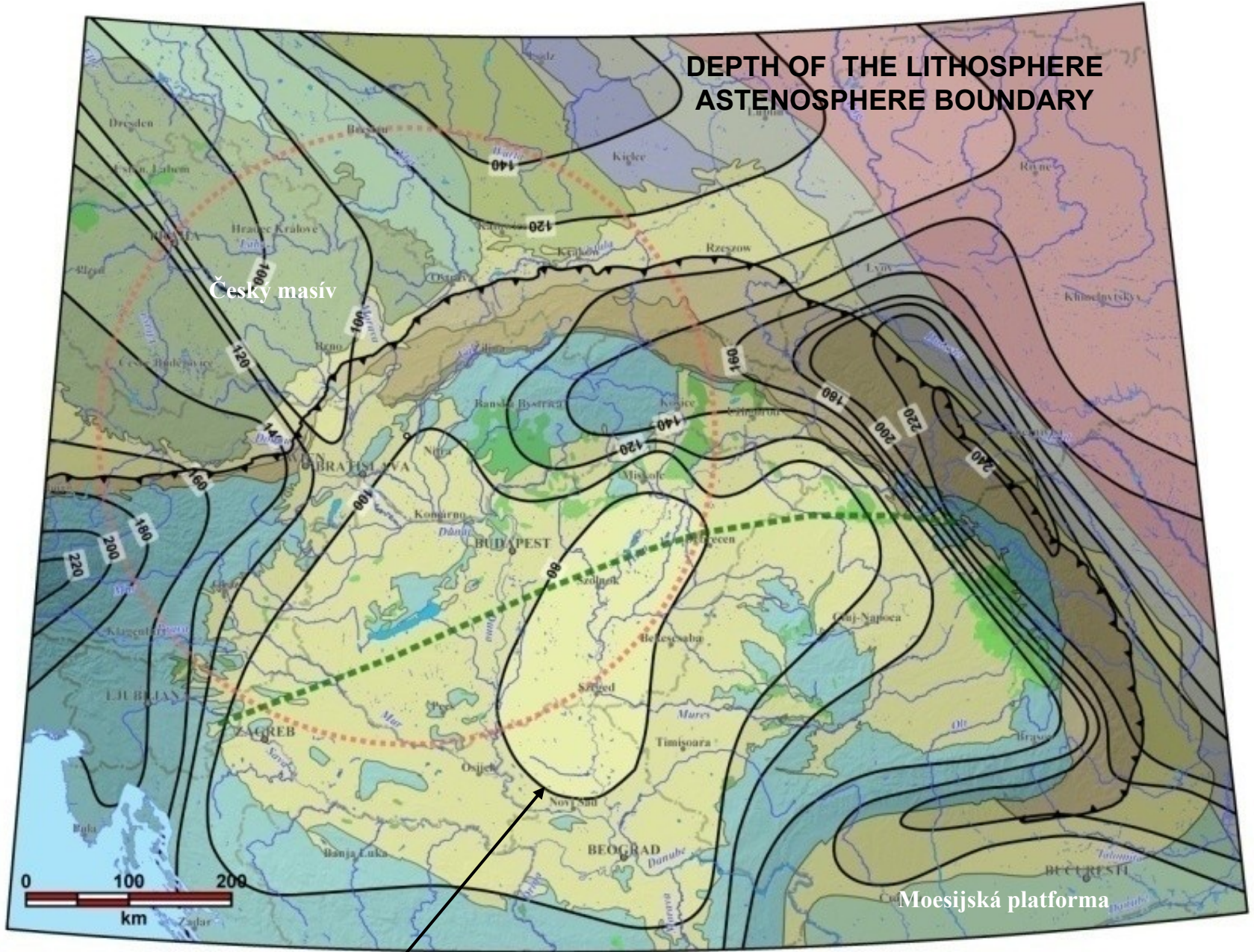
Moesijská platforma



24 km

Předcházející dokumentuje geofyzika

DEPTH OF THE LITHOSPHERE ASTENOSPHERE BOUNDARY



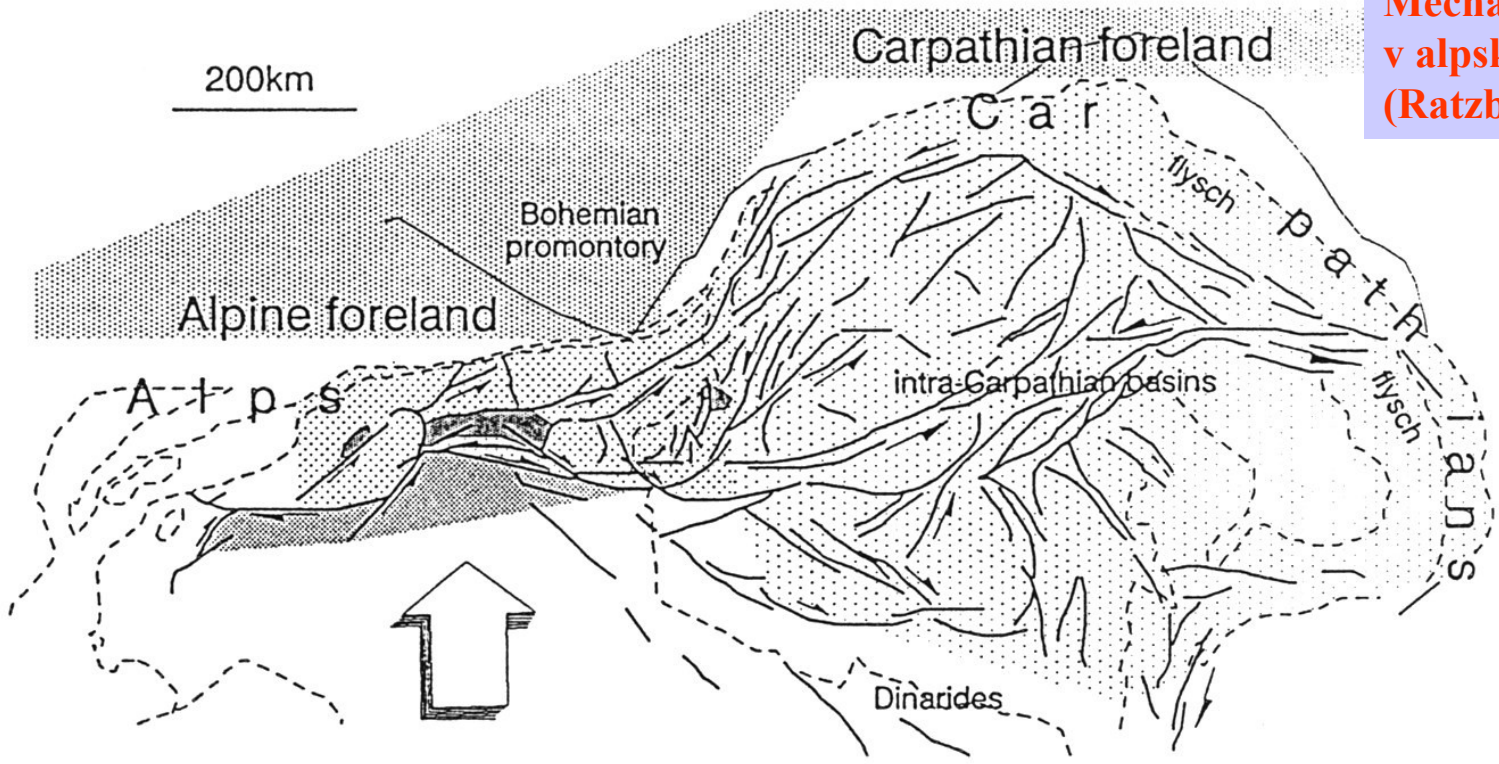
Český masív






Moesijská platforma

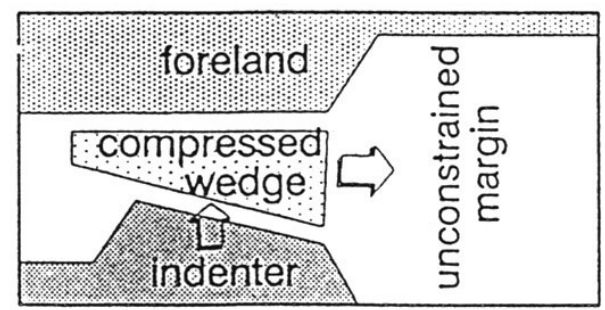
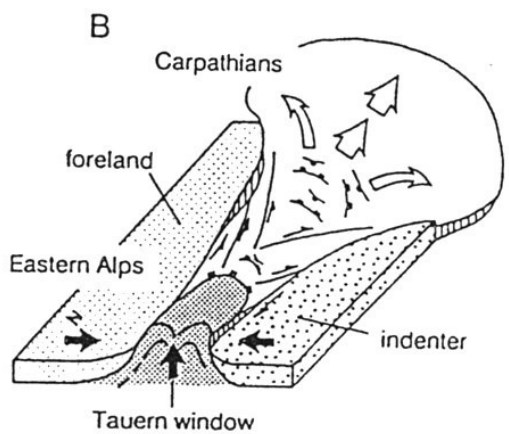
50 km

**Mechanismus desek
v alpsko-karpatské oblasti
(Ratzbacher et al. 1991)**

200km



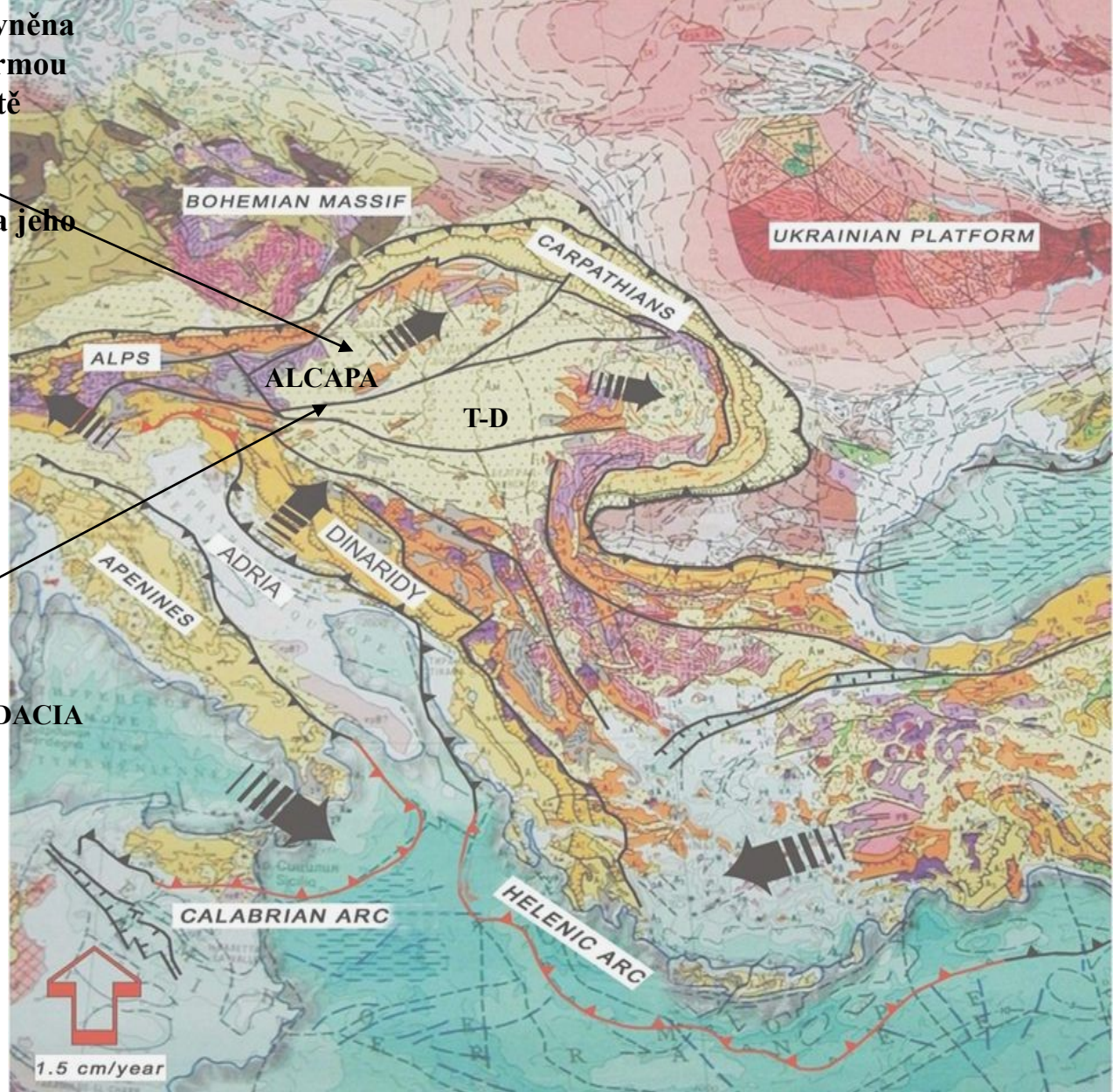
-  Penninic windows
-  South Alpine indenter
-  Eastern Alpine orogen
-  unconstrained lateral margin
-  Alpine - Carpathian foreland



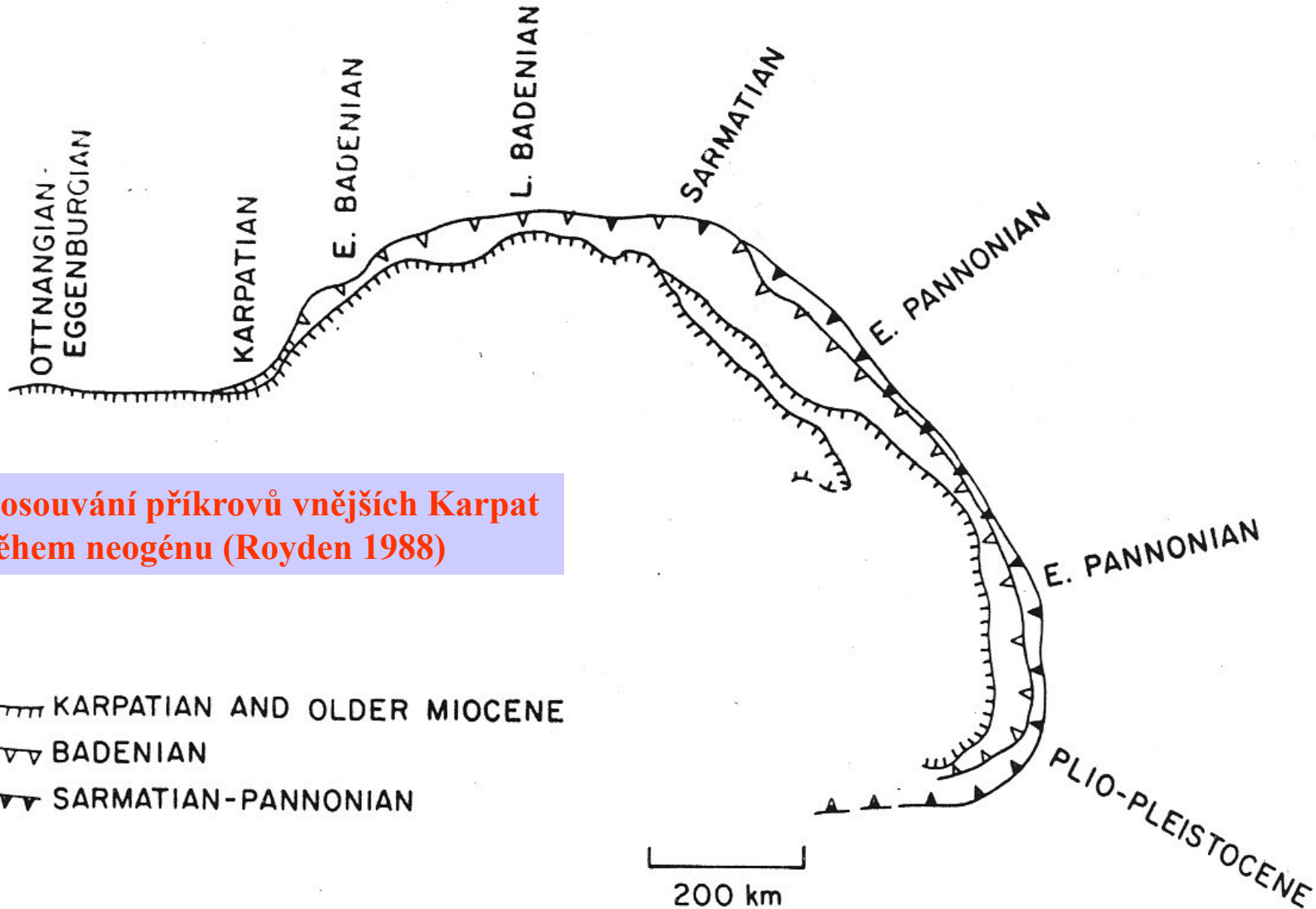
Miocénní dynamika ALCAPy byla ovlivněna konvergentní kolizí s Evropskou platformou a poté zvednutím astenosférického pláště v pannonské oblasti

Tektonický posun ALCAPy k východu a jeho rotace

**Středomořarská linie
(transformní linie ALCAPA-TISA/DACIA)**

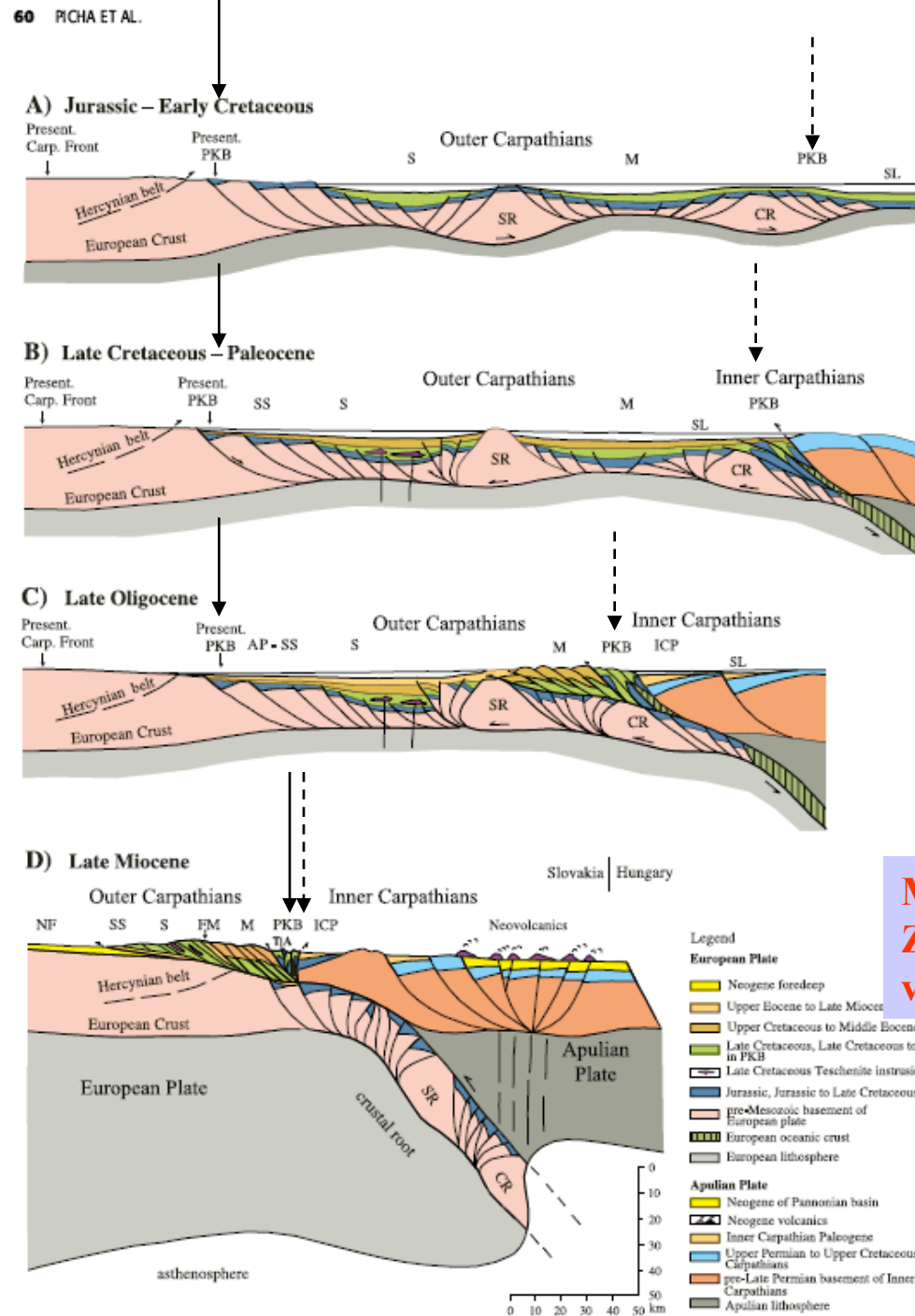


(Kováč 2013)



Dosouvání příkrovů vnějších Karpat během neogénu (Royden 1988)

Zkrácení V. Alp (100 km), Karpaty (několik set km) => původní poloha Karpat cca X00 km k J a k Z od dnešní pozice, rychlost pohybů (posouvání depocenter) = cca 2.9-0.9 cm/rok (tardská oblast) 0.8-1.6 cm/rok (předhlubeň, sp. mioc.-sarmat)



PKB – Pienniny Klippen Belt
S – Silesian Unit
SS – Subsilesian Unit
M – Magura Unit
SL – Skole Unit
AP – Autochtone Paleogene
SR – Silesian Ridge
CR – Czorsztyn Ridge
ICP- intrakarpatský paleogén

Model zkrácení prostoru Vnějších Západních Karpat v časovém úseku jura-miocén

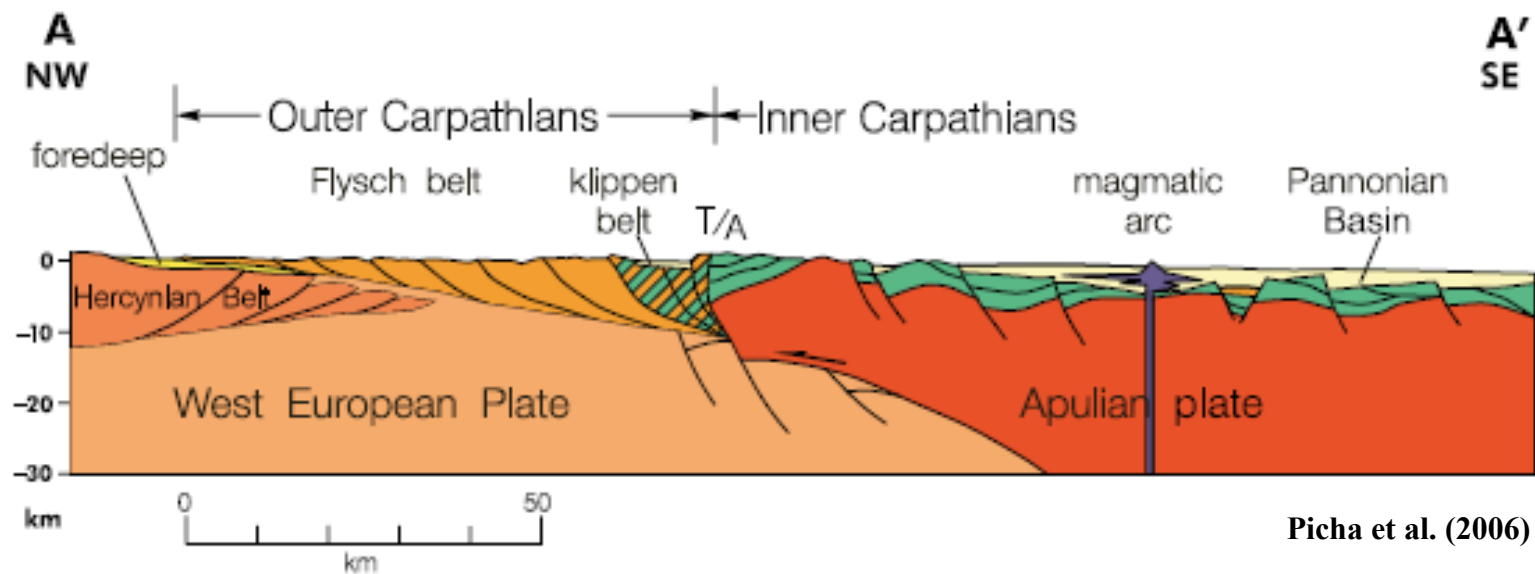
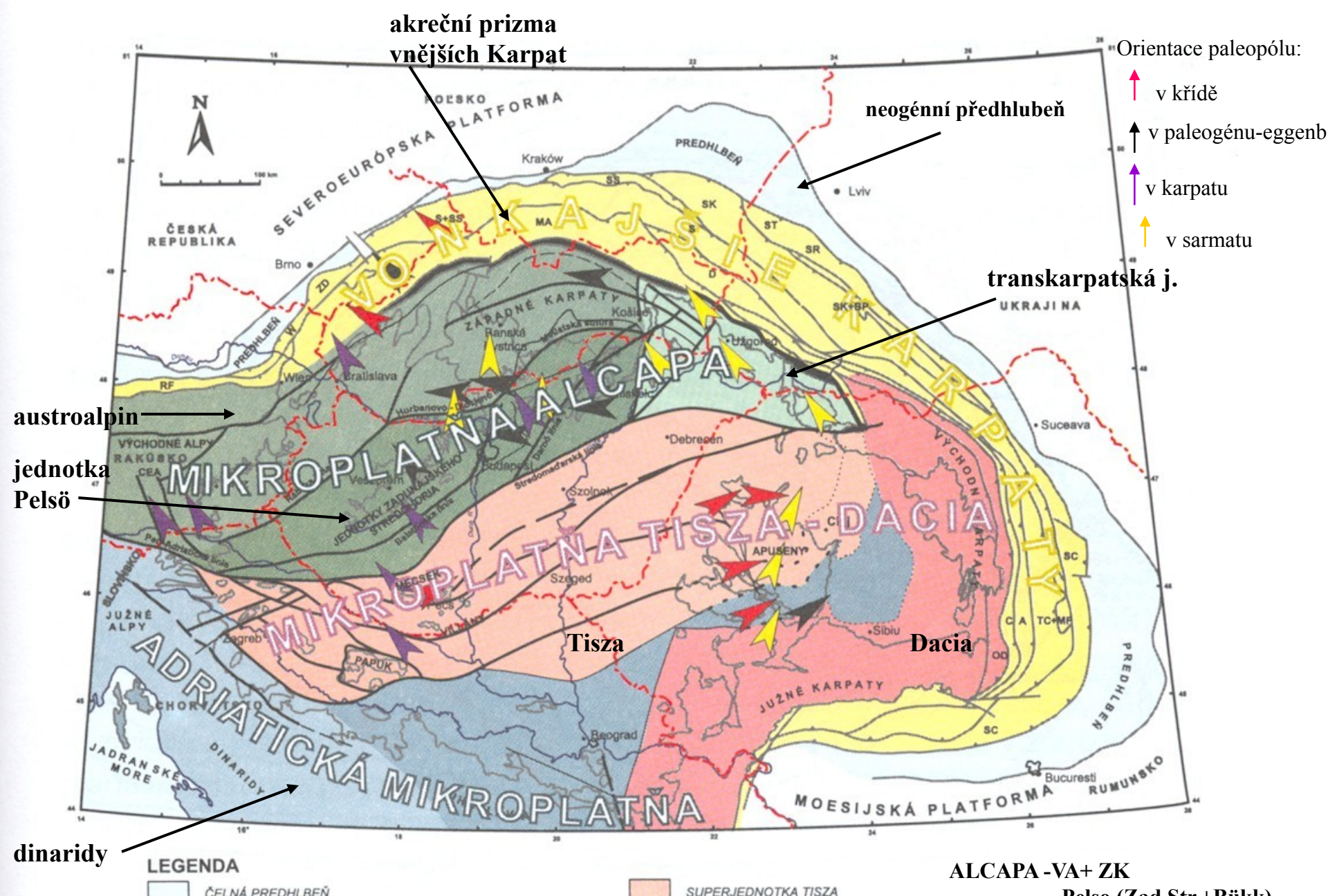


Figure 2. Generalized crosssection through the Western Carpathians and their foreland. The term "Apulian plate" (Adria) is used here as a general name for microplates of the Carpathian region separated from North Africa. Location in Figure 1. Modified from Picha (1996).



Orientace paleopólu:

- ↑ v křídě
- ↑ v paleogénu-eggenb
- ↑ v karpátu
- ↑ v sarmatu

dinaridy

austroalpin

jednotka Pelső

akreční prizma vnějších Karpat

neogénní předhlubeň

transkarpatská j.

LEGENDA

ČELNÁ PREDHLBEŇ

SUPERJEDNOTKA TISZA

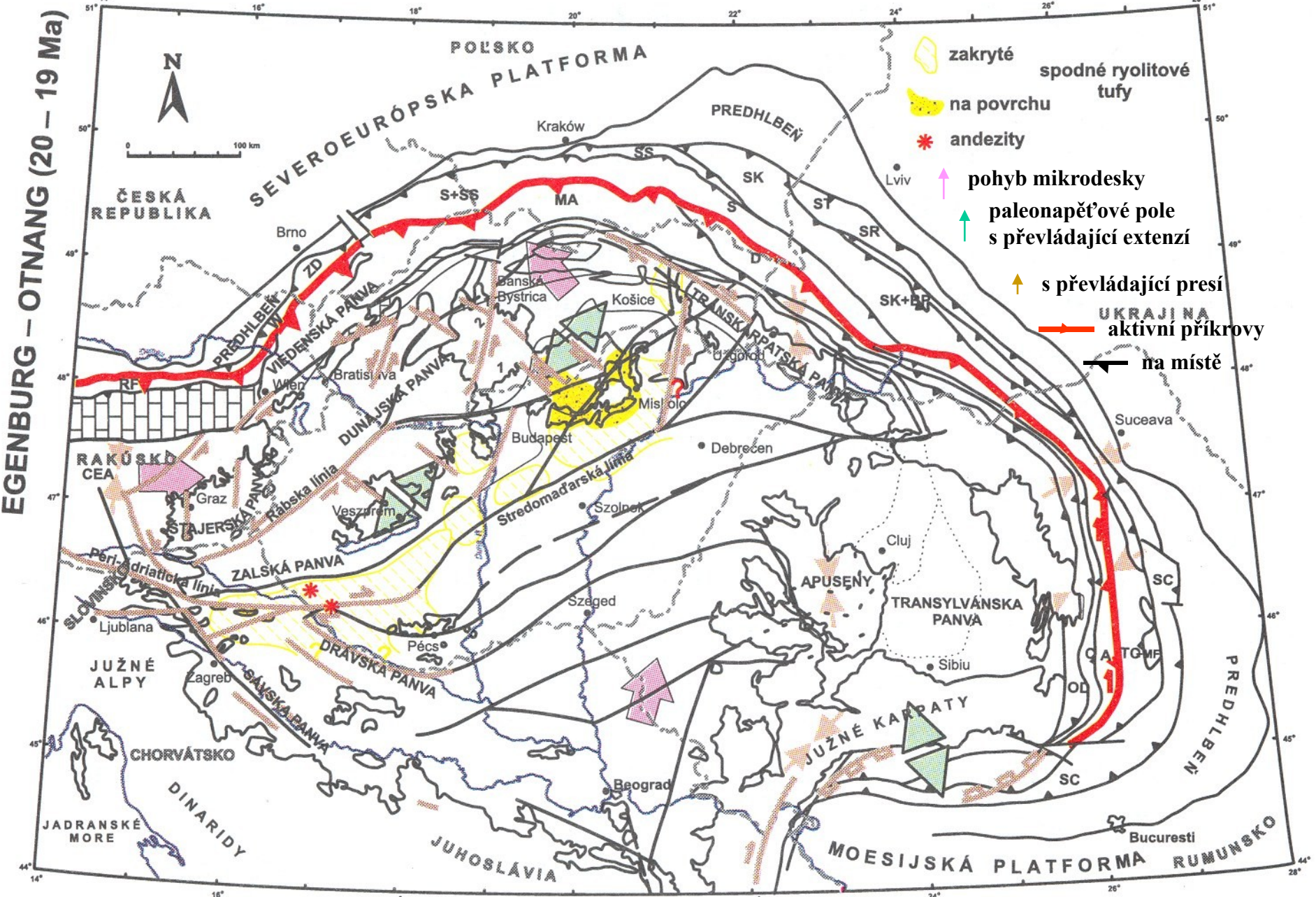
ALCAPA -VA+ ZK
 - Pelso (Zad.Str.+Bükk)
 - TJ
 TD - T (Mecsek, Vil., Pap., Apus)
 - D (VK + JK)

Základní mikroplesky karpatsko-panonského systému a jejich dělení na geologické jednotky (Kováč 2000, upraveno)

☐ poklesy

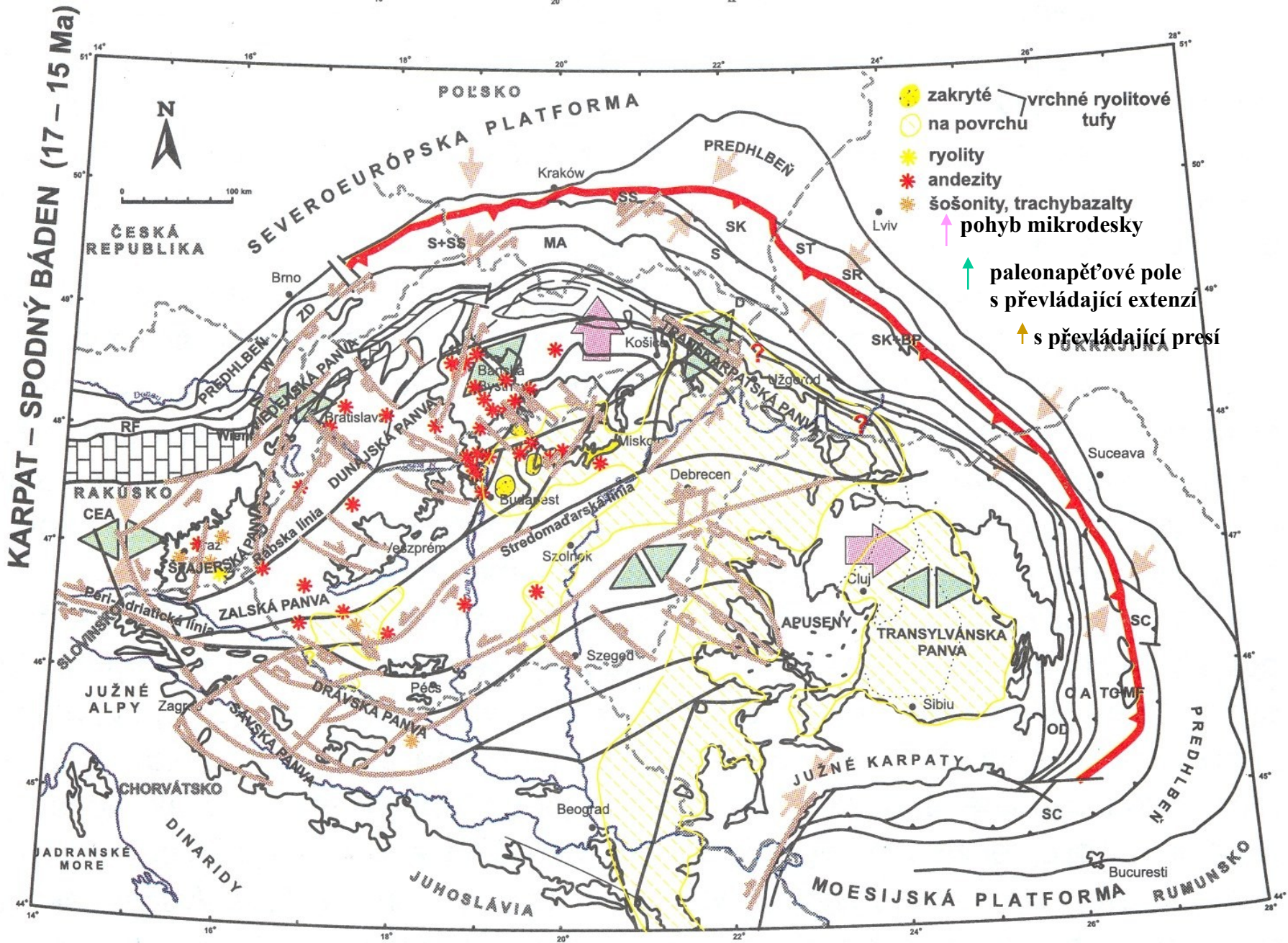
↔ horizontální posuny

— zlomové linie

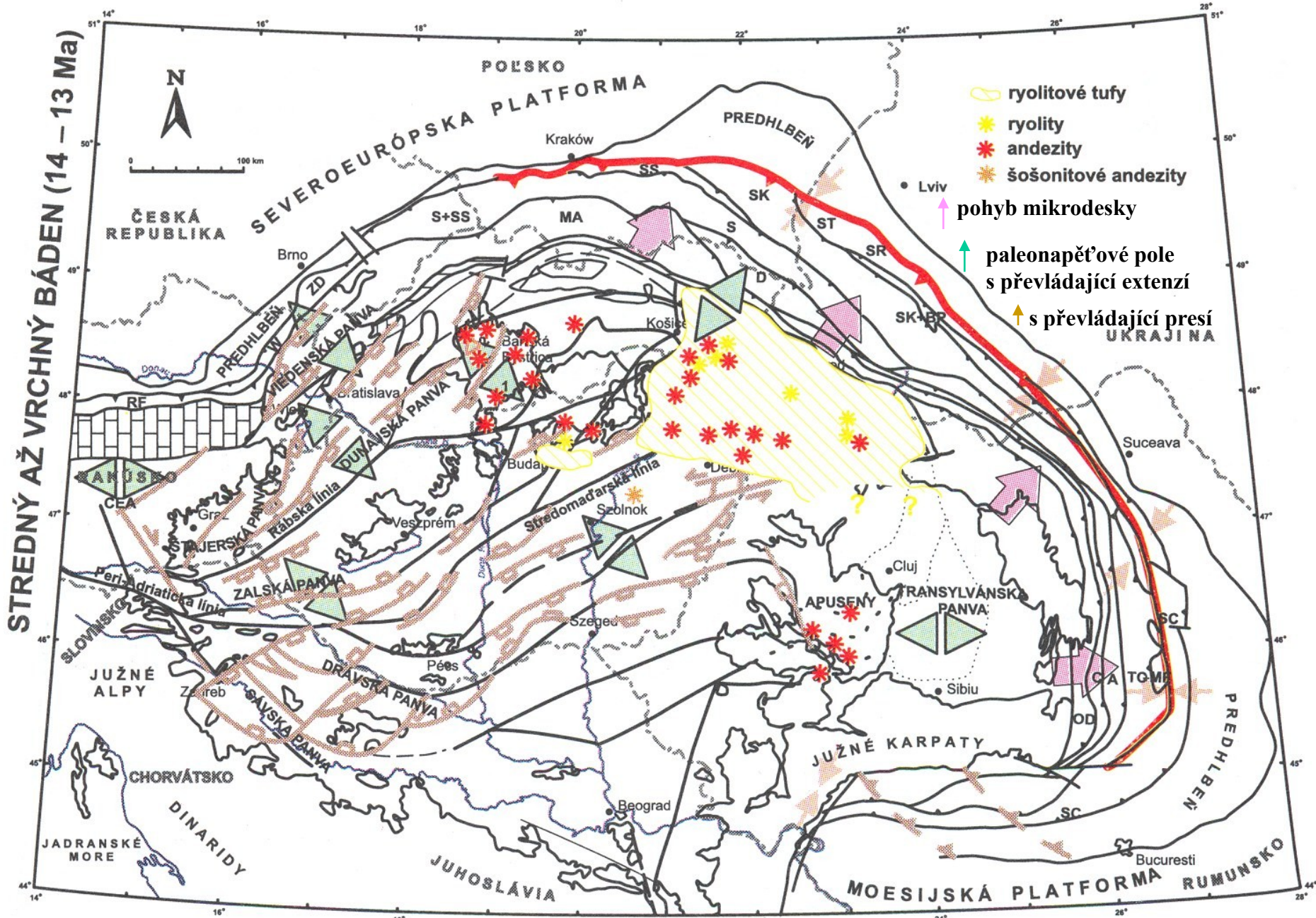


- ☐ zakryté
- ☐ na povrchu
- * andezity
- ↗ pohyb mikrodesky
- ↗ paleonapětové pole s převládající extenzí
- ↗ s převládající presí
- ↗ aktivní příkrovy
- ↗ na místě
- ☐ spodné ryolitové tuffy

Tektonické fenomény a vulkanická aktivita v CP během eggenburgu-ottnangu (Kováč 2000)

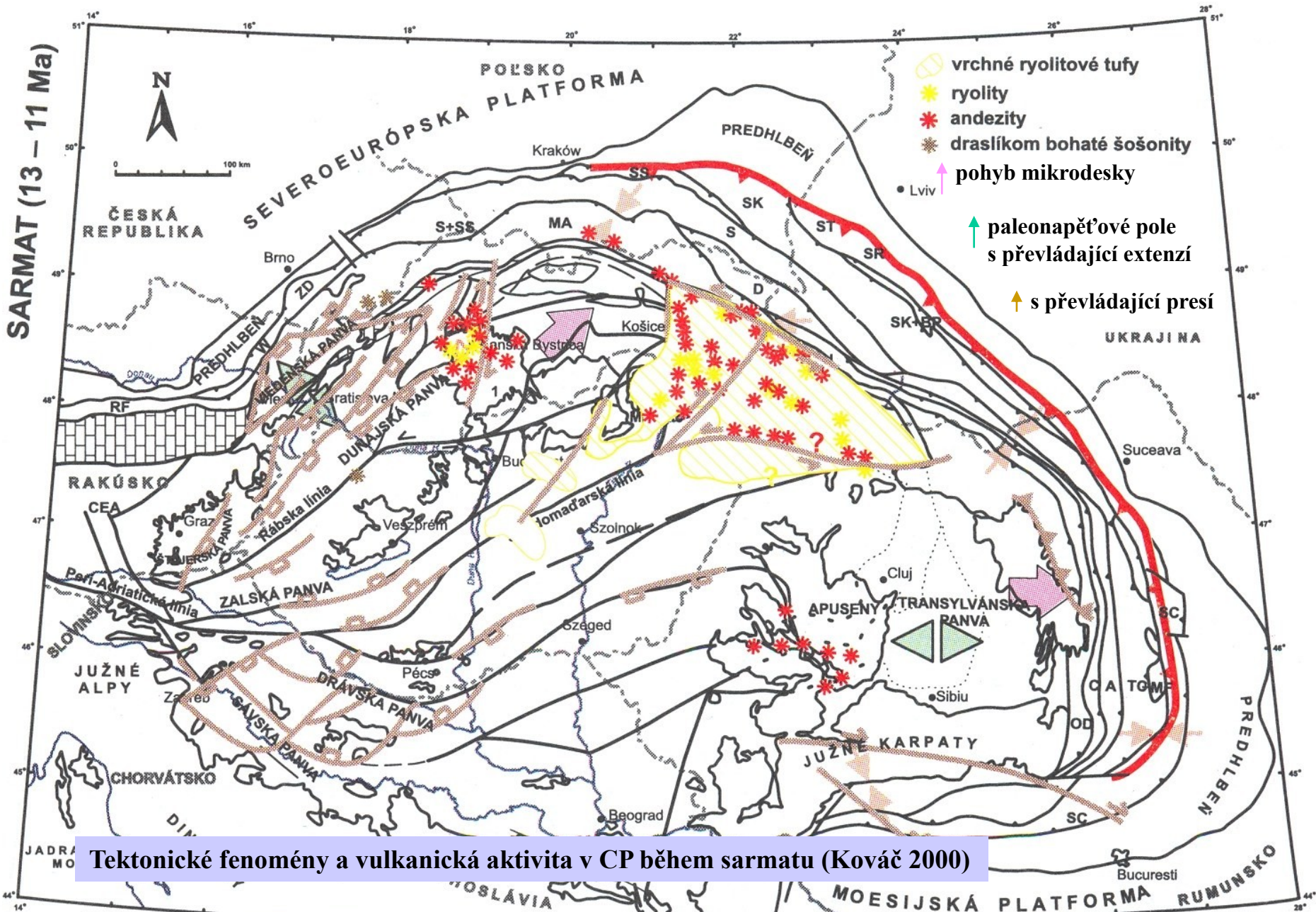


Tektonické fenomény a vulkanická aktivita v CP během karpátu-spodního badenu (Kováč 2000)

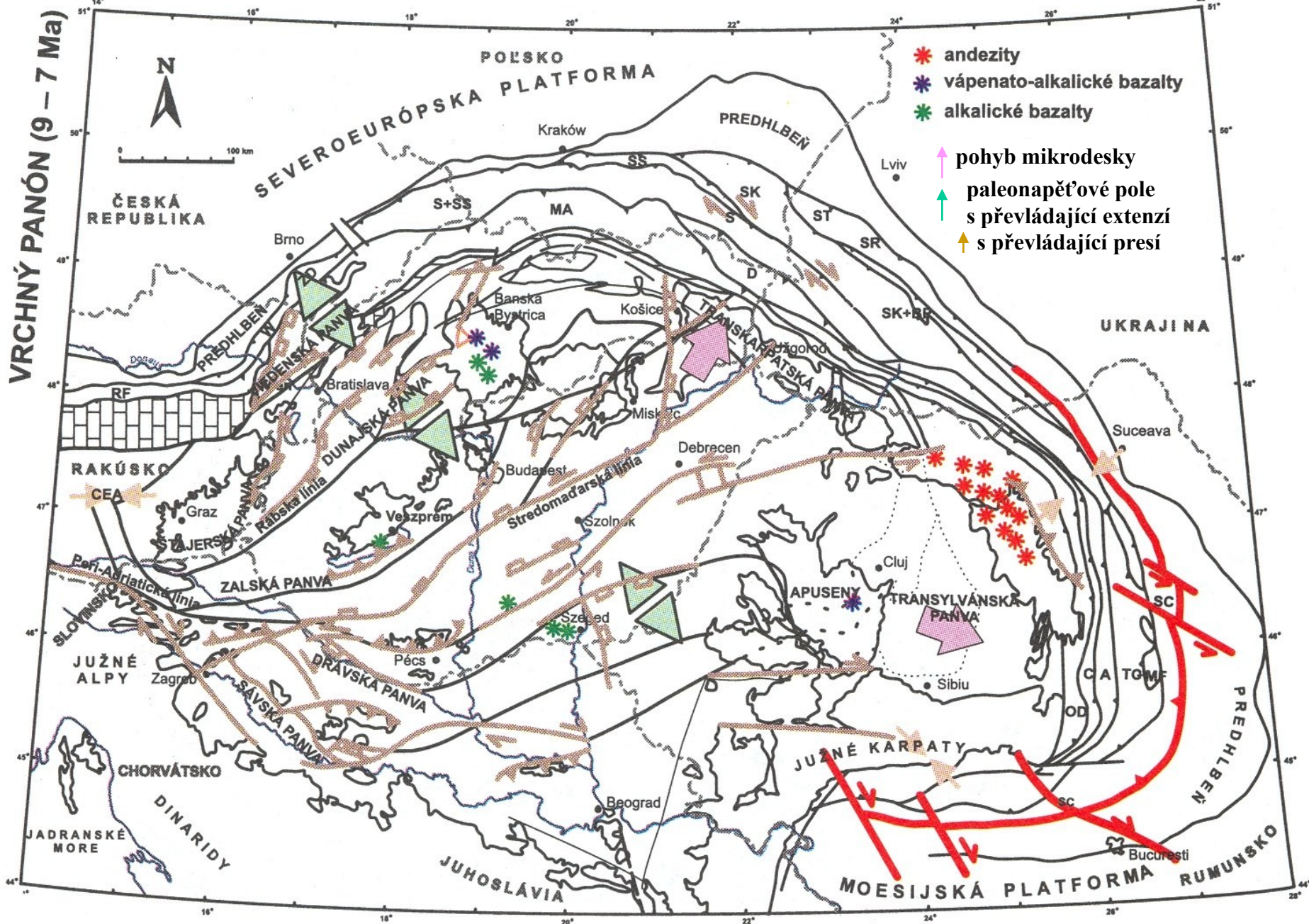


Tektonické fenomény a vulkanická aktivita v CP během středního až svrchního badenu (Kováč 2000)

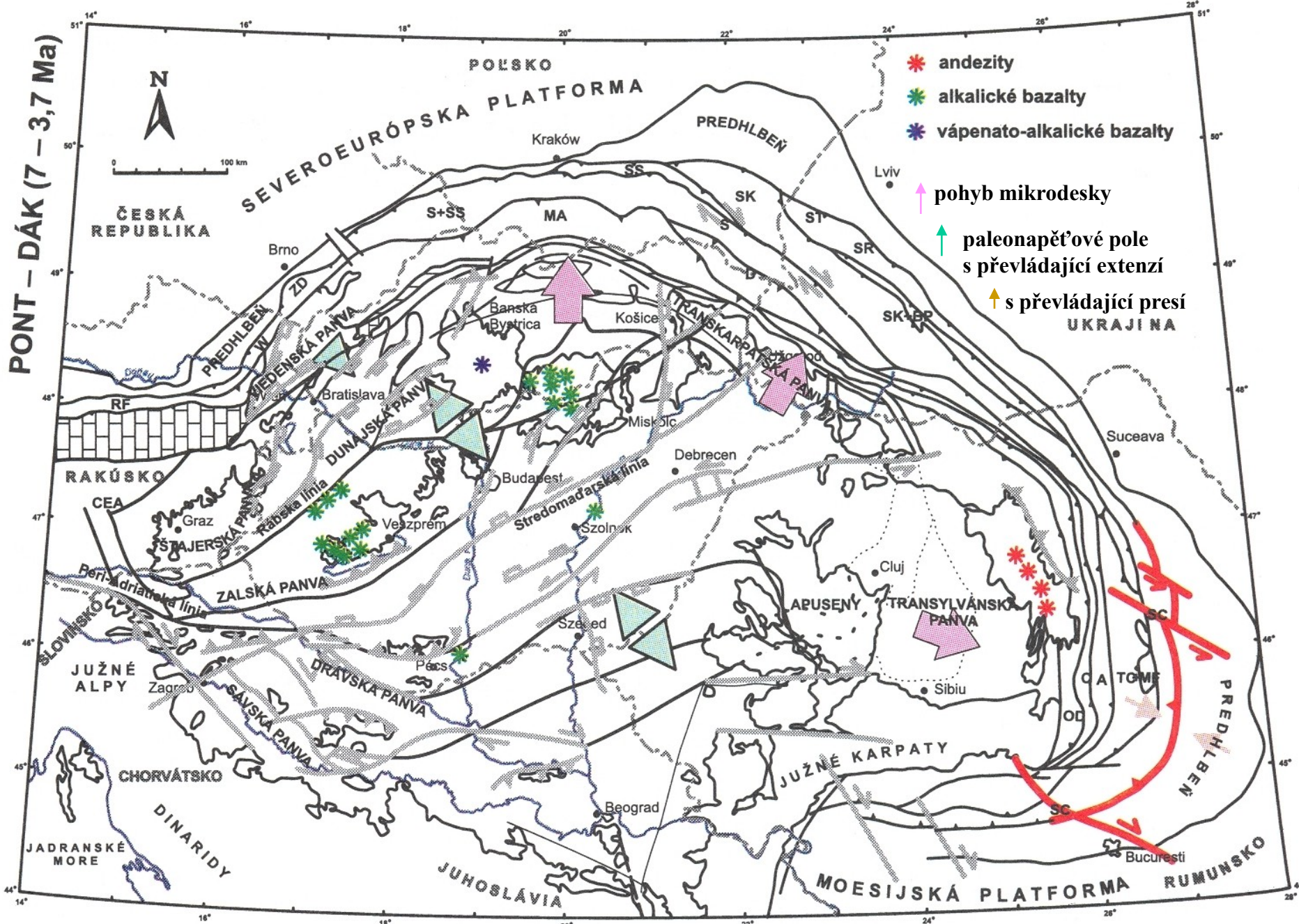
SARMAT (13 – 11 Ma)



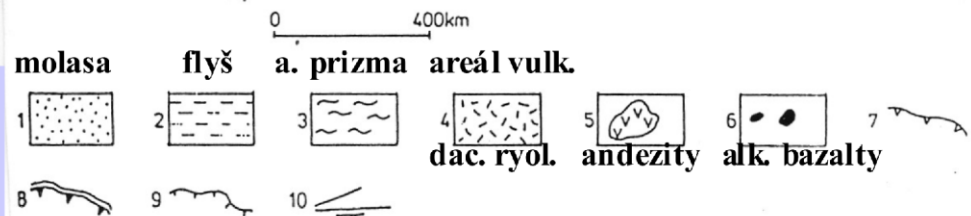
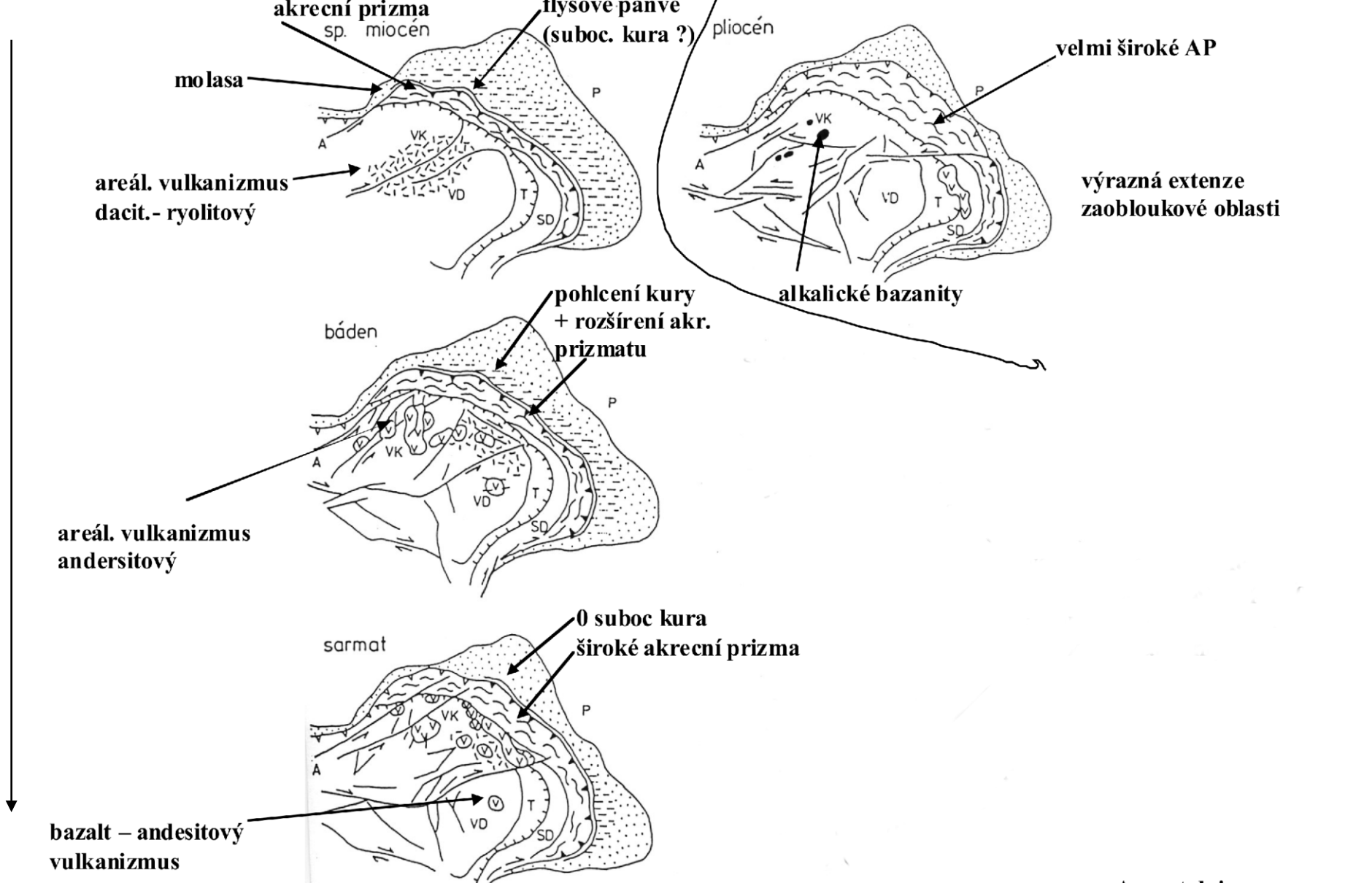
Tektonické fenomény a vulkanická aktivita v CP během sarmatu (Kováč 2000)



Tektonické fenomény a vulkanická aktivita v CP během svrchního pannonu (Kováč 2000)



Tektonické fenomény a vulkanická aktivita v CP během daku (Kováč 2000)



A – ostalpin
 VK –vnitřní Záp. Karpaty
 T – transylvanidy
 VD – vnitřní dacidy
 SD – střední dacidy
 P – evropská platforma

Tektonika a vulkanismus, vztahy (upraveno podle Lexa et al. 1993)

Poslední příkrovové
pohyby

Poslední sedimentace
v předhlubni na Moravě
(v Ma)

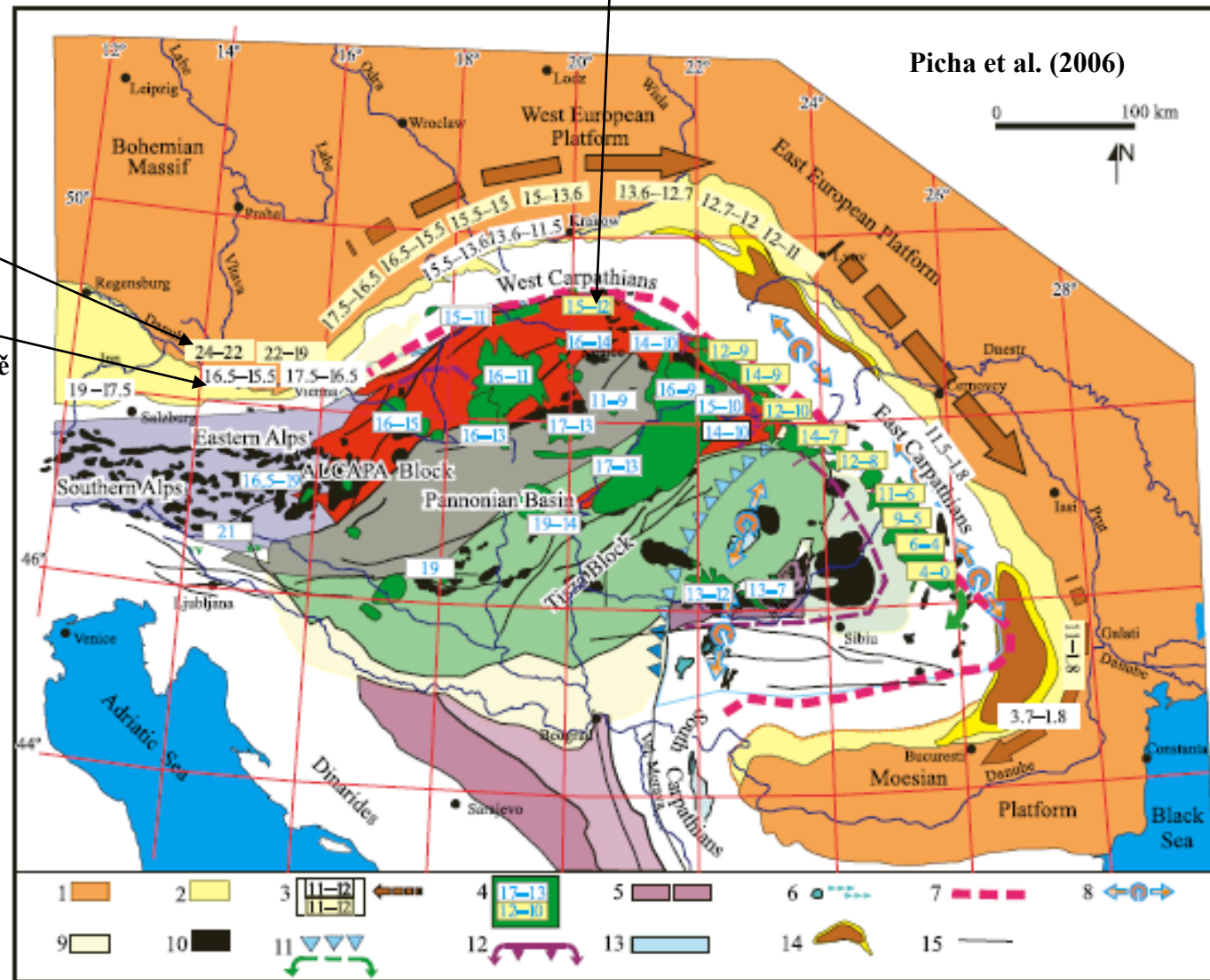
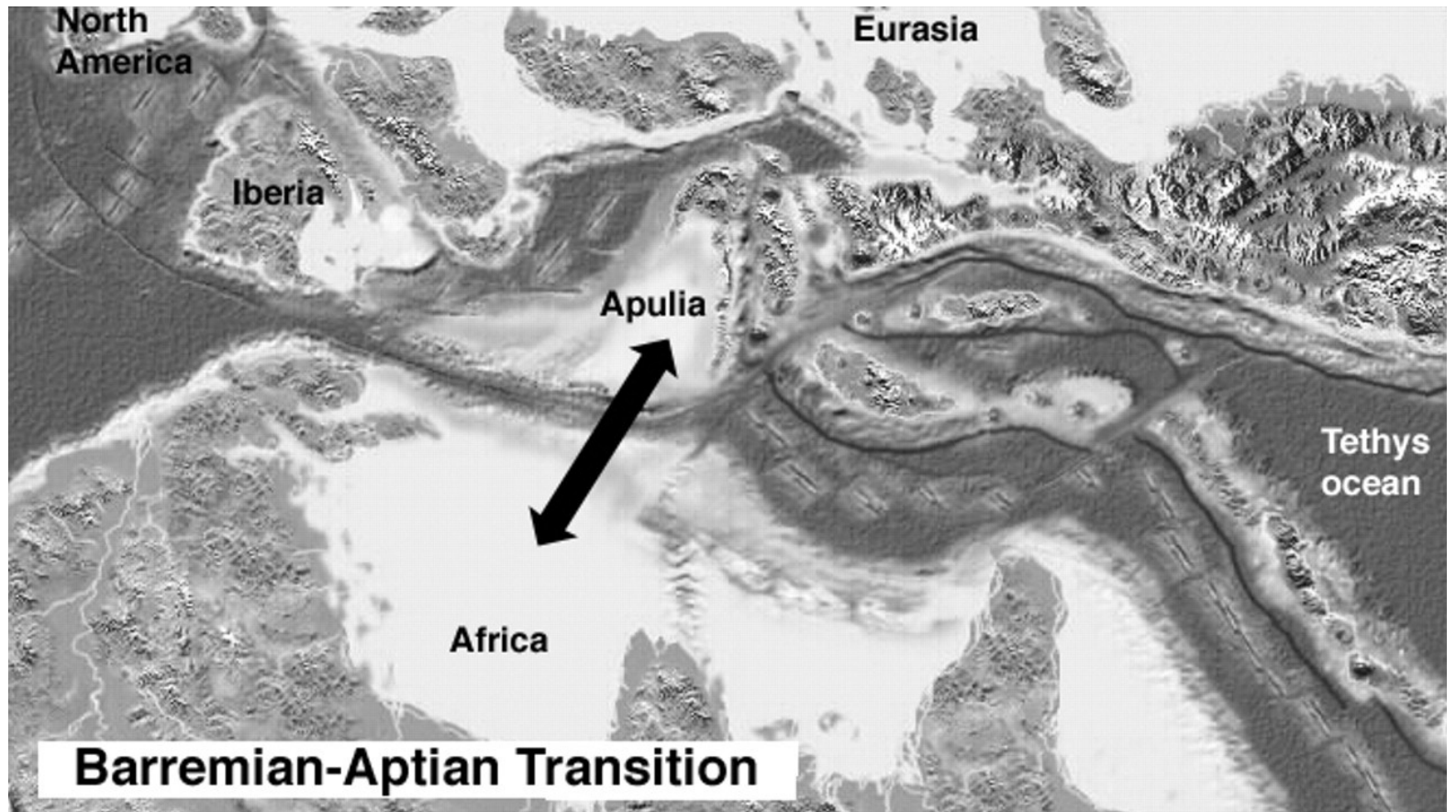
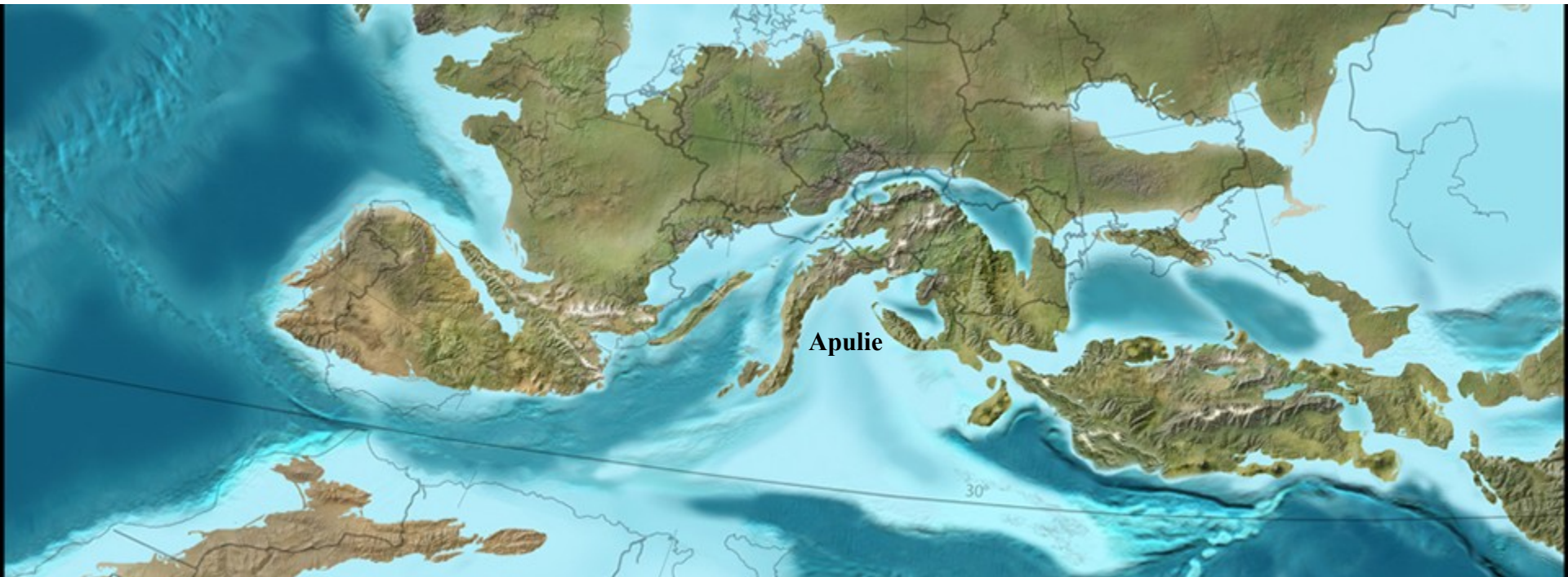


Figure 6. A summary figure with geophysical data, geological data, and speculative boundaries in the Carpathian–Pannonian region. Explanation: 1 = platform; 2 = Alpine and Carpathian foreland basin; 3a = last stage of foreland basin deposition (in Ma); 3b = last thrust movements of the Outer Carpathians (in Ma); 4a = age of intermediate calc-alkaline magmatics in Ma (Pecskay et al., 1995); 4b = age of linear volcanics in Ma (Pecskay et al., 1995); 5 = ophiolite complex; 6 = calc-alkaline magmatics (banatites; 90–60 Ma); 7 = location of the subducted passive continental margin indicated by magnetotellurics (Jankowski et al., 1979; Praus et al., 1981); 8 = platform area affected by isostatic rebound in reaction to slab break-off; 9 = hinterland areas affected by Neogene extension; 10 = magnetic anomalies of Alpine pre-Tertiary sources (Posgay, 1967; Airinei et al., 1983; Gnojek and Janak, 1986), 11 = zone of speculative slab break-off; 12 = marginal zone of thrust ophiolites in Carpathian basement (lower crust); 13 = remnant of the subducted oceanic lithosphere, including transitional lithosphere and adjacent part of passive continental margin in its northeast and south boundaries; 14 = maximal thickness of sediments; 15 = fault.

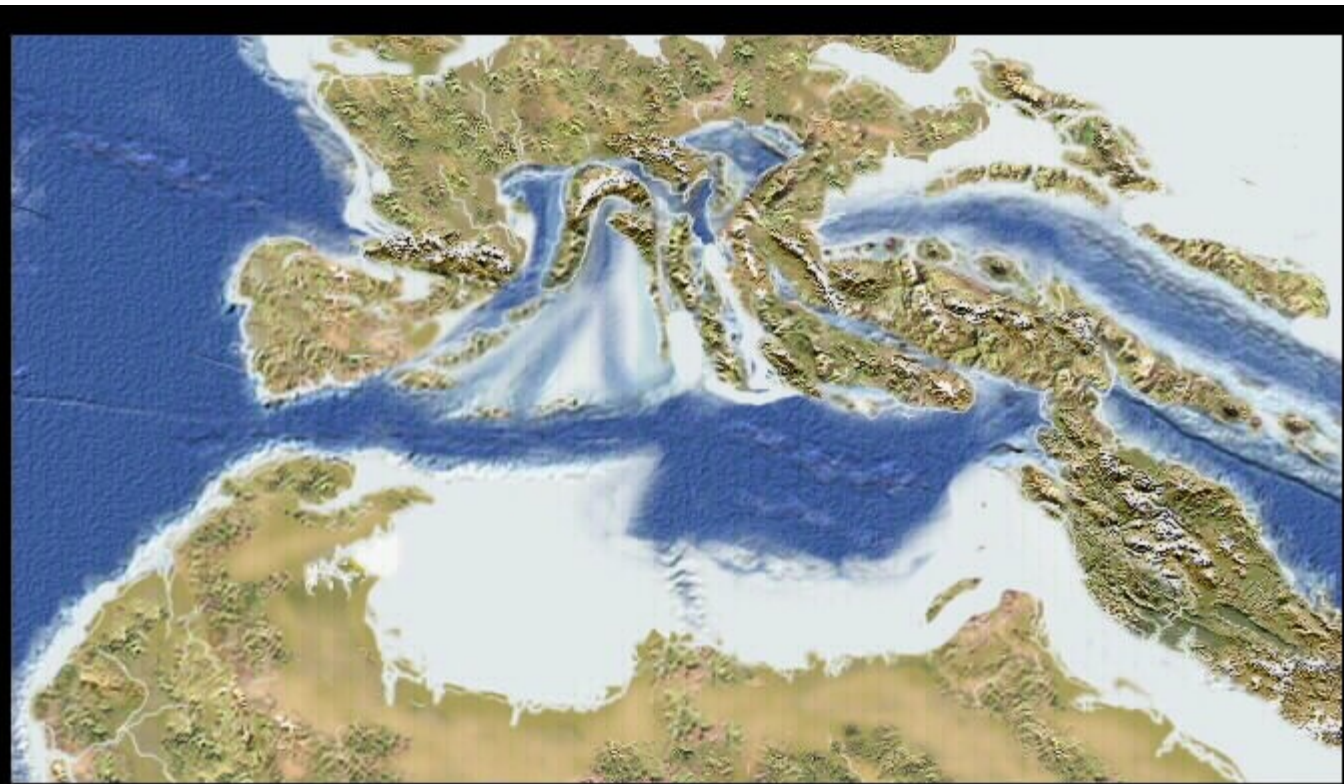
Paleogeografický vývoj Paratethydy

Eocén





50 Ma, Eocén



Eocene

spreading



Zagros

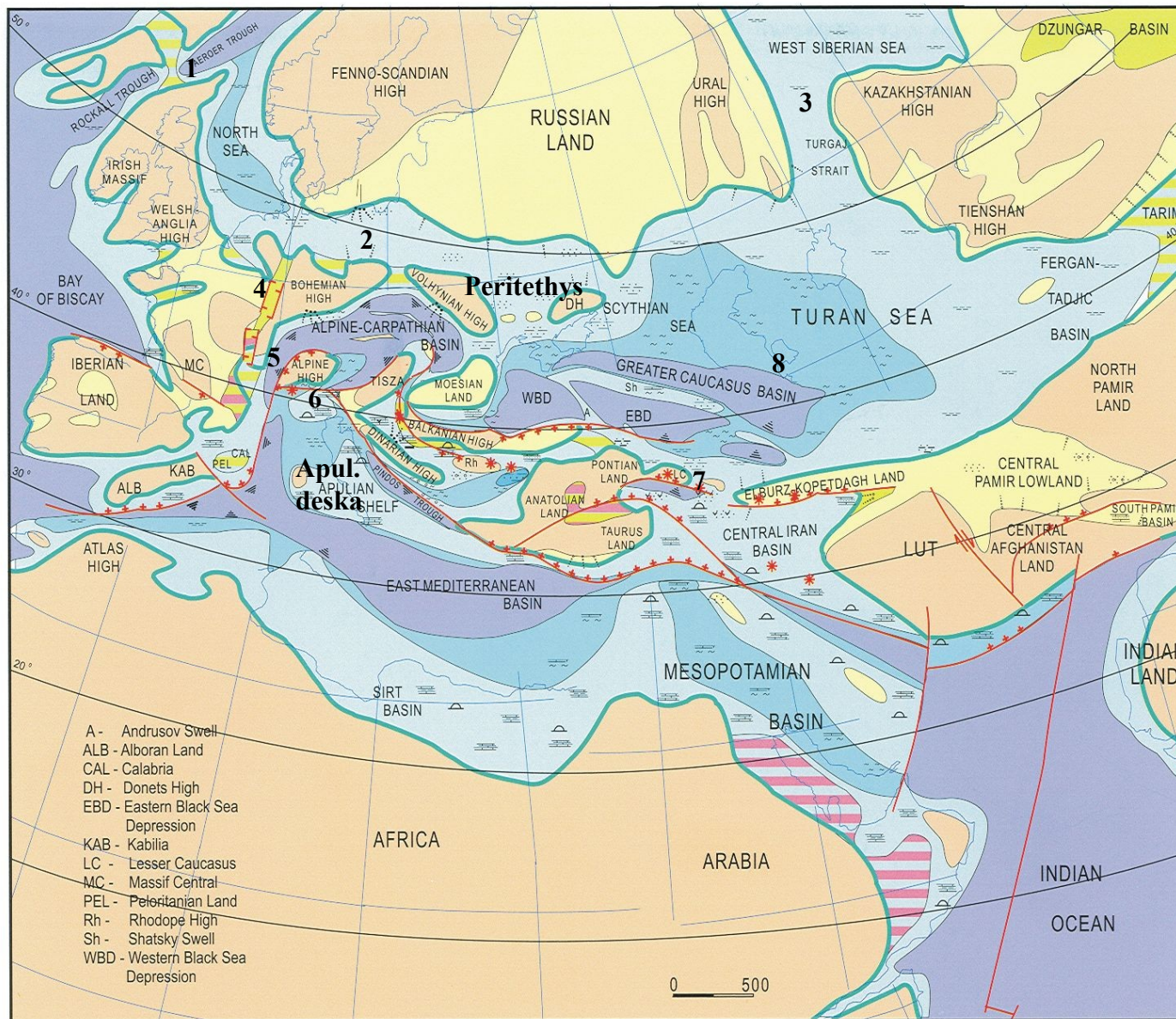
- 1 – žádné spojení Sev. moře – Atlantik
- 2 – pripjatská cesta
- 3 – turgajská cesta
- 4 – rýnský příkop, počátek rozevírání
- 5 – předalpské spojení
- 6 – slovinský koridor
- 7 – oblast rozsáhlé písčito-karbonátové sedimentace s nummuly (šelf Pontidy-M. Kavkaz-Elbruz-Kopet Dag)
- 8 – belogilinská p., trop. měkkýši

V mediterránu:

kolize, korové zkrácení, pyrenejská fáze, řetěz ostrovů, sedimentace:

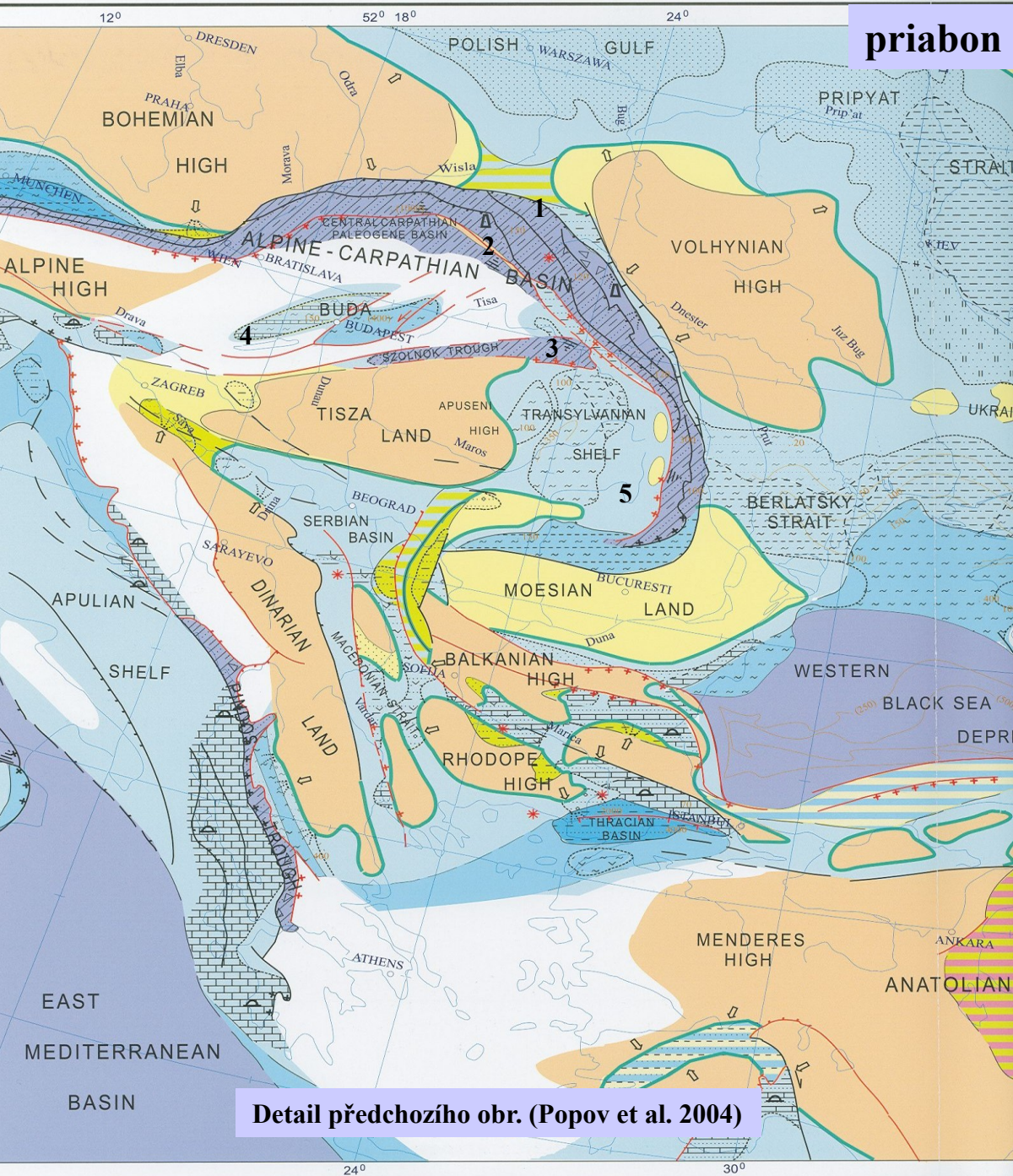
Záp. Předalpy, gosauská p., Karp. flyš, helvetikum

V závěru eocénu = eustatický pokles hladiny svět. oceánu



A - Andrusov Swell
 ALB - Alboran Land
 CAL - Calabria
 DH - Donets High
 EBD - Eastern Black Sea Depression
 KAB - Kabilia
 LC - Lesser Caucasus
 MC - Massif Central
 PEL - Peloritian Land
 Rh - Rhodope High
 Sh - Shatsky Swell
 WBD - Western Black Sea Depression

0 500



priabon

Paleogénní alpsko-karpatská pánev =
 hluboké trogy +/- oddělených dílčích pánví
 budoucích flyšových jednotek, flyš. sed. malých
 mocností, nejvyšší eocén – karbonátová sed.
 = šešorské slíny, flyš. pánev v Karpatech (1) =
 200-500 km šířka, koncem eocénu začíná
 vrásnění (pohyb ALCAPA k SV podél
 transformních zlomů)
 Jižně od této pánve ležela hlubokovodní
 pánev centrálně karpatského paleogénu (2)
 a szolnocká pánev (3).

Budská paleogénní p. = severní část apulské
 šelfové zóny (4)
 transylv. p. (5) = zaplňovaná vápencovou
 sedimentací (biogenní) + komunikace se
 srbskou p.
 Předkarpaty široce propojené s Předkavkazím

Na Moravě: Žj- šešorské slíny („globiberinové“) -
 teplomilný foram.plankton
 Pj – hnědé pouzdřanské slíny (čocky
 moutnických vápenců – *Solemya bachmayeri*,
Modiolus subcarinatus moutnicnesis) – ekvivalent
 šešorských slínů

- mělký šelf
- hlubší šelf
- šelfové deprese
- k. svah a dna pánví
- brakická oblast
- sladkovodní oblasti
- nížiny
- výšiny
- hory
- evapority

Detail předchozího obr. (Popov et al. 2004)



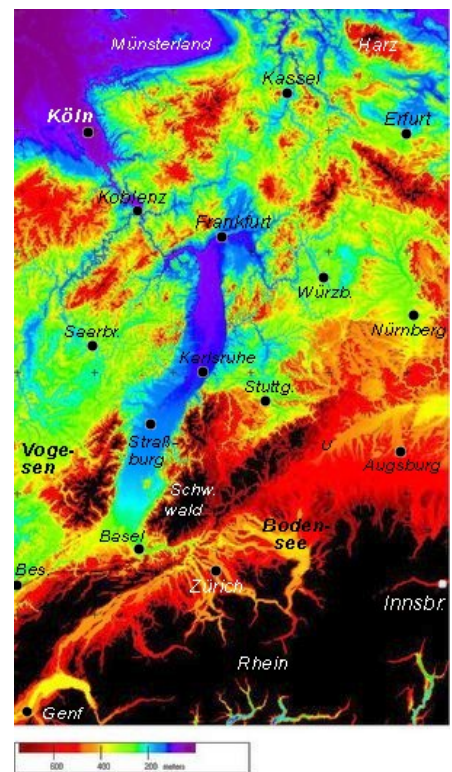
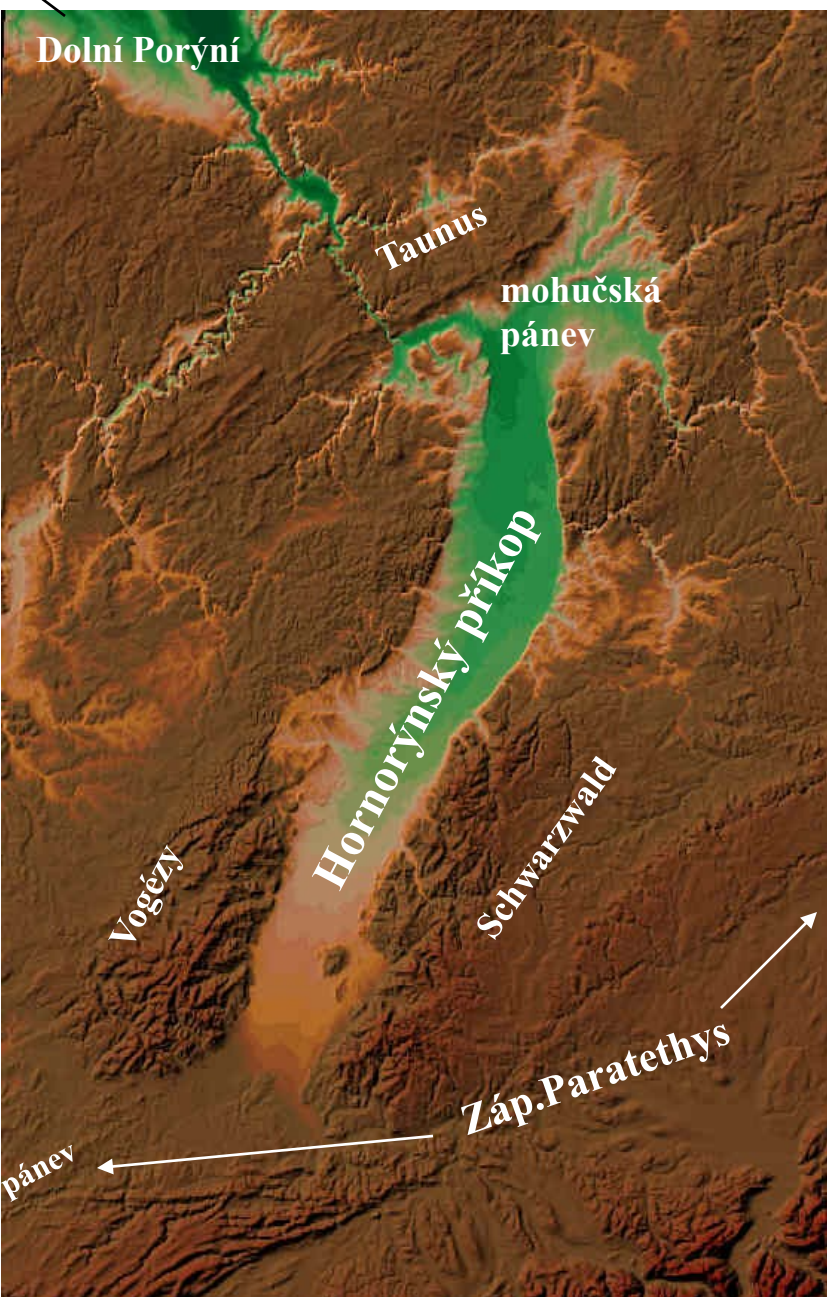
**numulitový vápenec – charakteristická hornina
eocénu mediterrání oblasti**



***Nummulites cf. fabianii* – svrchní eocén, typická mikrofosílie**

Oligocén

Severní moře



C. Paratethys

**Hornorýnský příkop,
významná evropská
komunikace v oligocénu
a spodním miocénu
(severomořská pánev –
mediterrán – C. Paratethys)**

Středozevní moře

Early Oligocene

NP21/NP22

sp. rupel – sp. kiscell - pšek

34-32 Ma

-pokračuje výzdvih Alp, zúžení vodních cest (předalpské, slovinské), vyschnutí pripjatské a turgajské cesty, otevírání Rp (1) pokračuje (spojení ZP se sev. mořem (2), ochlazení západní Evropy, migrace savců (MS), „Grande Coupure“ (3)

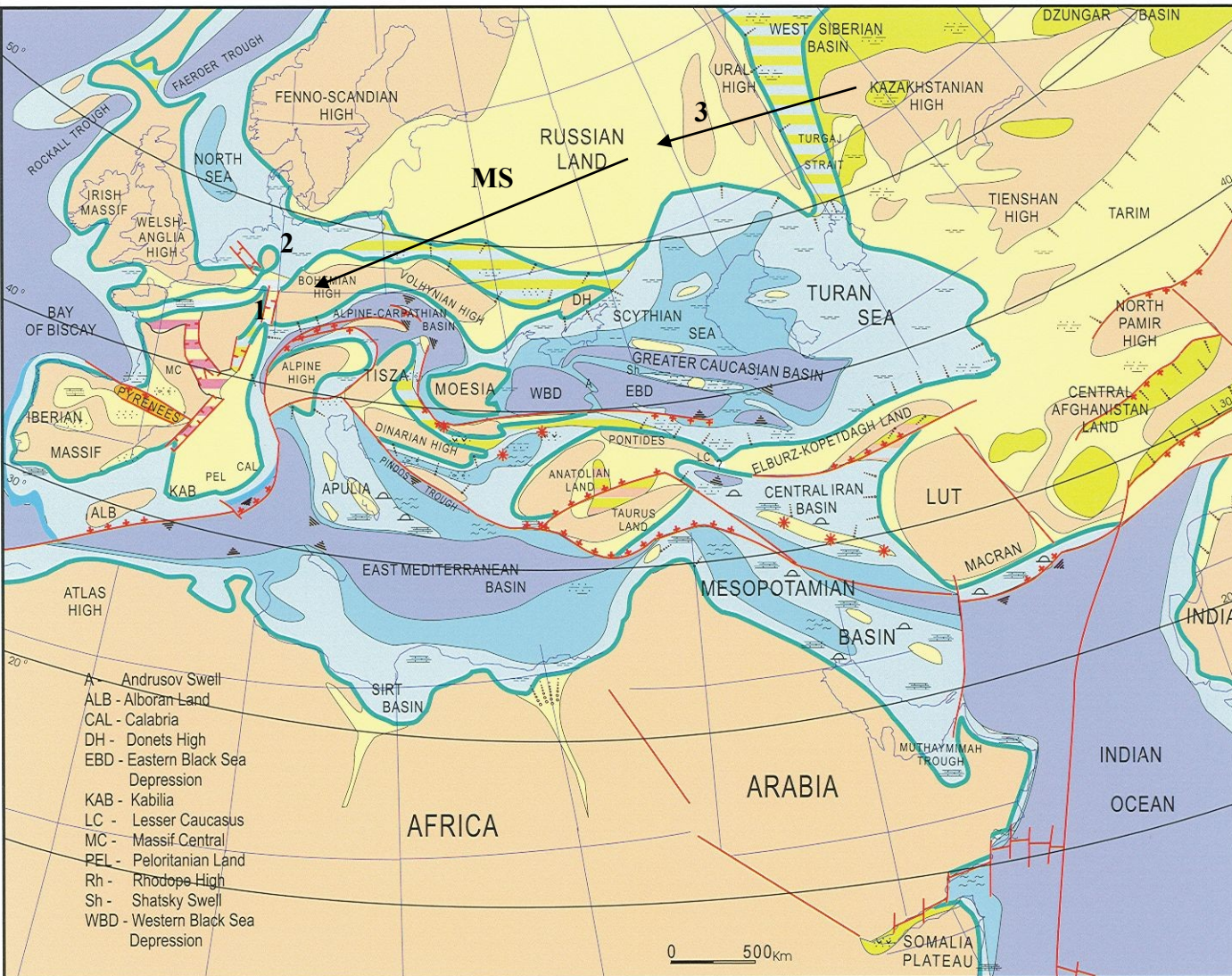
-separace Paratehydy,
-ochlazení, humidní klima s intenzivními srážkami => převaha estuariové cirkulace vod + prohloubení pánví => stagnantní vody = dysoxické až anoxické sedimenty

CP

VP

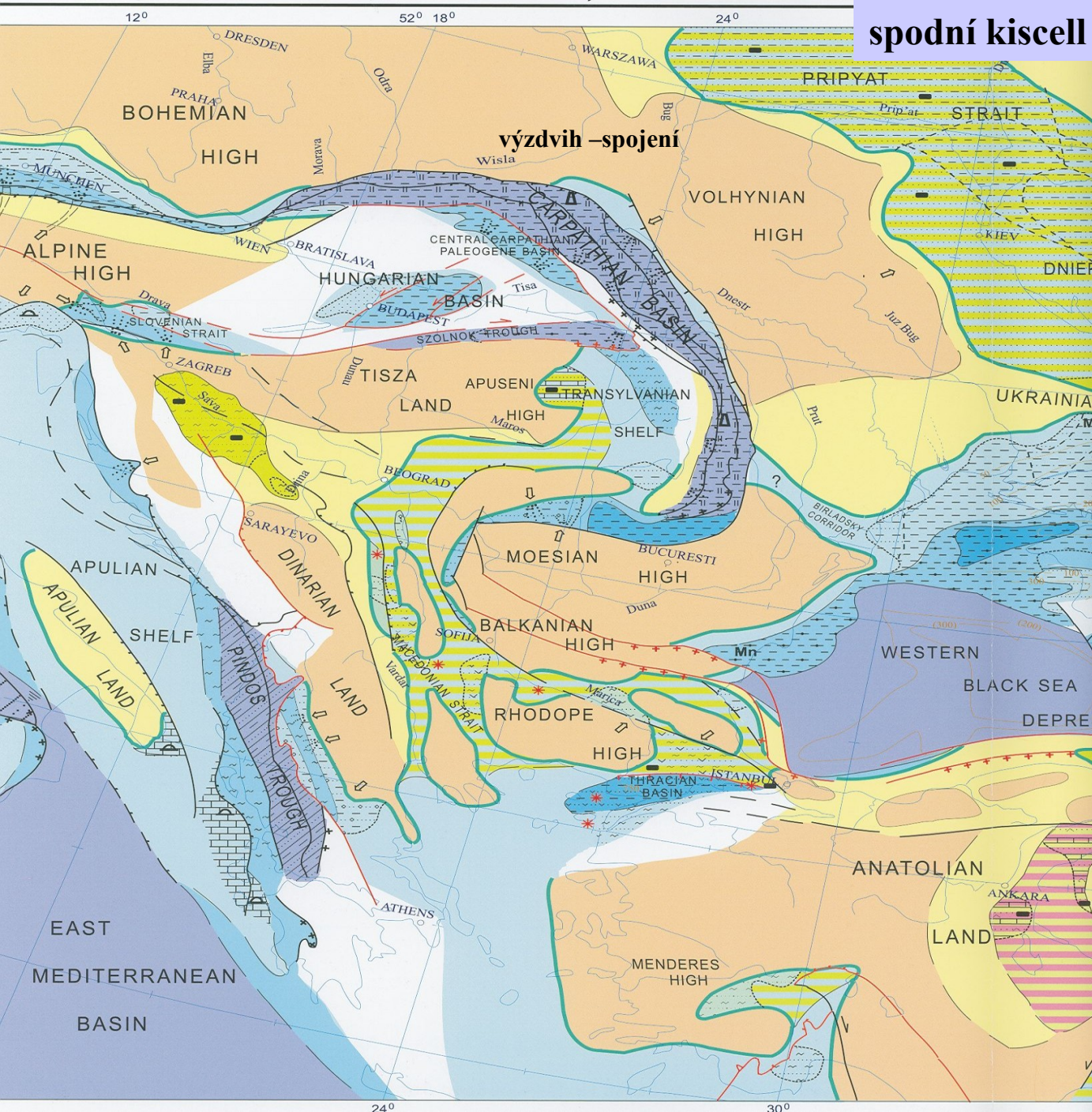
menilitová + majkopská facie

- mělký šelf
- hlubší šelf
- šelfové deprese
- k. svah a dna pánví
- brakická oblast
- sladkovodní oblasti
- nížiny
- výšiny
- hory
- evapority



- A - Andrusov Swell
- ALB - Alboran Land
- CAL - Calabria
- DH - Donets High
- EBD - Eastern Black Sea Depression
- KAB - Kabilia
- LC - Lesser Caucasus
- MC - Massif Central
- PEL - Peloritian Land
- Rh - Rhodope High
- Sh - Shatsky Swell
- WBD - Western Black Sea Depression

spodní kiscell



-dysaerobní podmínky, v pánvích sedimentují:

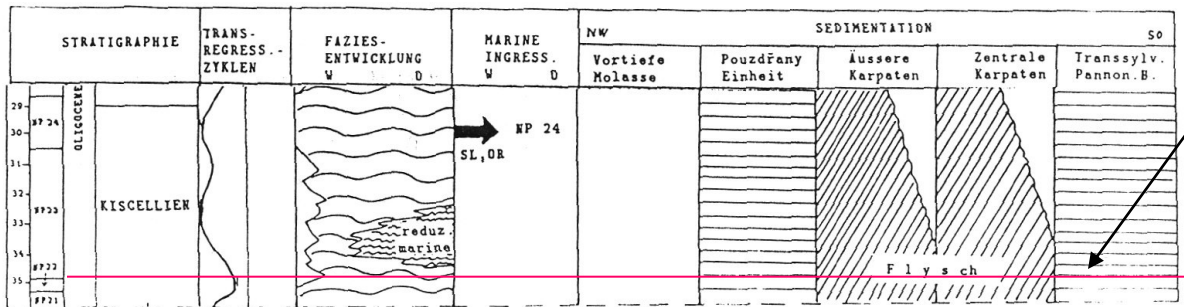
ZP:
melettové vrstvy (Předalpy), tmavé břidlice s pyritizovanými nikrofos. glarnské vrstvy (Šv., Rak.-ropa)

CP:
pouzdránské vrstvy
menilitové souvrství (Mor., Pol.)
dysodilové břidlice (Rum.)

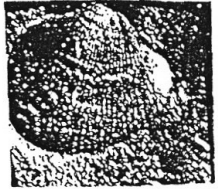
tardské jíly (Maďarsko) se 2 horizonty pteropodů

VP:
pšeská pánev (chadumské s., laminované jíly + rybí zbytky), dysaerobní podmínky + sírníková kontaminace vod = obrovské koncentrace Mn rud, endemismus měkkýšů

- mělký šelf
- hlubší šelf
- šelfové deprese
- k. svah a dna pánví
- brakická oblast
- sladkovodní oblasti
- nížiny
- výšiny
- hory evapority



První výrazná izolace Paratethydy („*C. lipoldi* event“ v tardských jílech Maďarska)



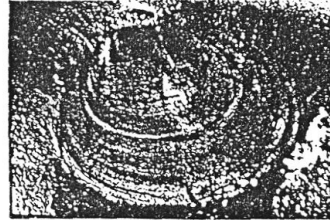
Cardium lipoldi

Rolle



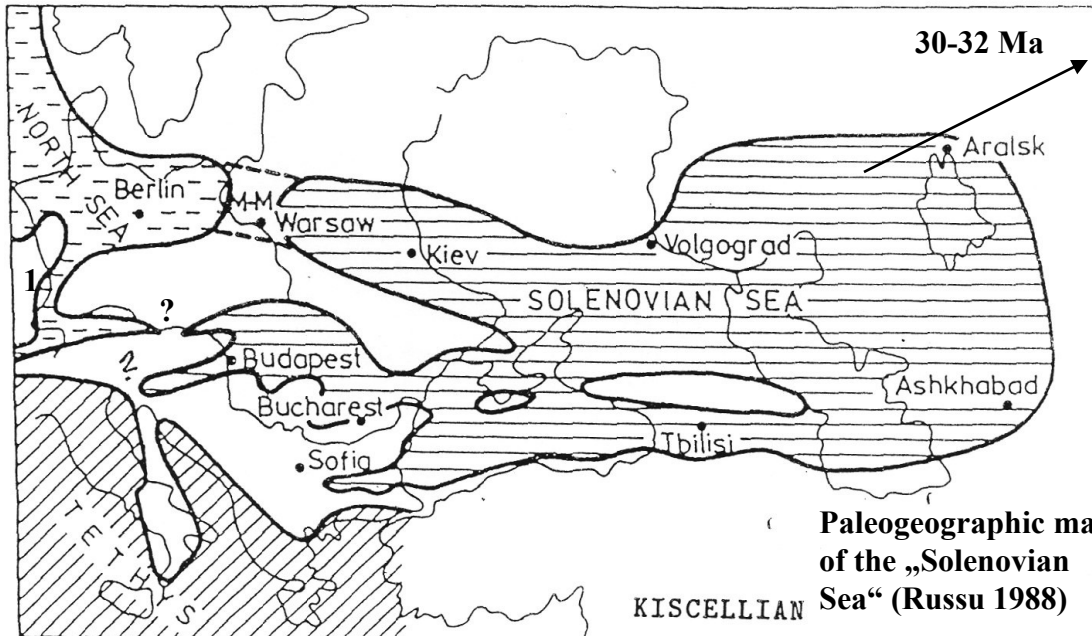
Kiscellima cancellata

Hofmann



Ergenica cimlanica

Popov



Vrcholí izolace P, spojení Mediterránu s Indopacifikem nepřerušeno, solenovské moře, ve VP anoxie (tmavé nevápnité jíly s endemickými mlži – *Ergenica*, *Janschinella*, *Nucula*). CP komunikuje omezeně jen na západě (?), předalpská pánev v Savojsku s mediterránem a krátce dochází i k transgresi přes hessenskou, mohučskou pánev a rýnský příkop (1), pokračují dysaerobní podmínky => pokračuje ukládání melettových vrstev, menilitového souvrství (stratifikace vodního sloupce, vliv sladkých vod) i tardských jílu, obdobné podmínky i v transylvánské p.ánvi (= slovinský koridor uzavřen (?))

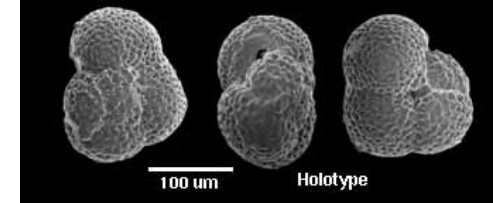


V celé P podmínky redukované salinity, chladných vod a dysaerobního prostředí u dna

Late Oligocene

Sv. rupel – chatt, sv. kiscell – sp. eger, kalmyk

29 - 24 Ma



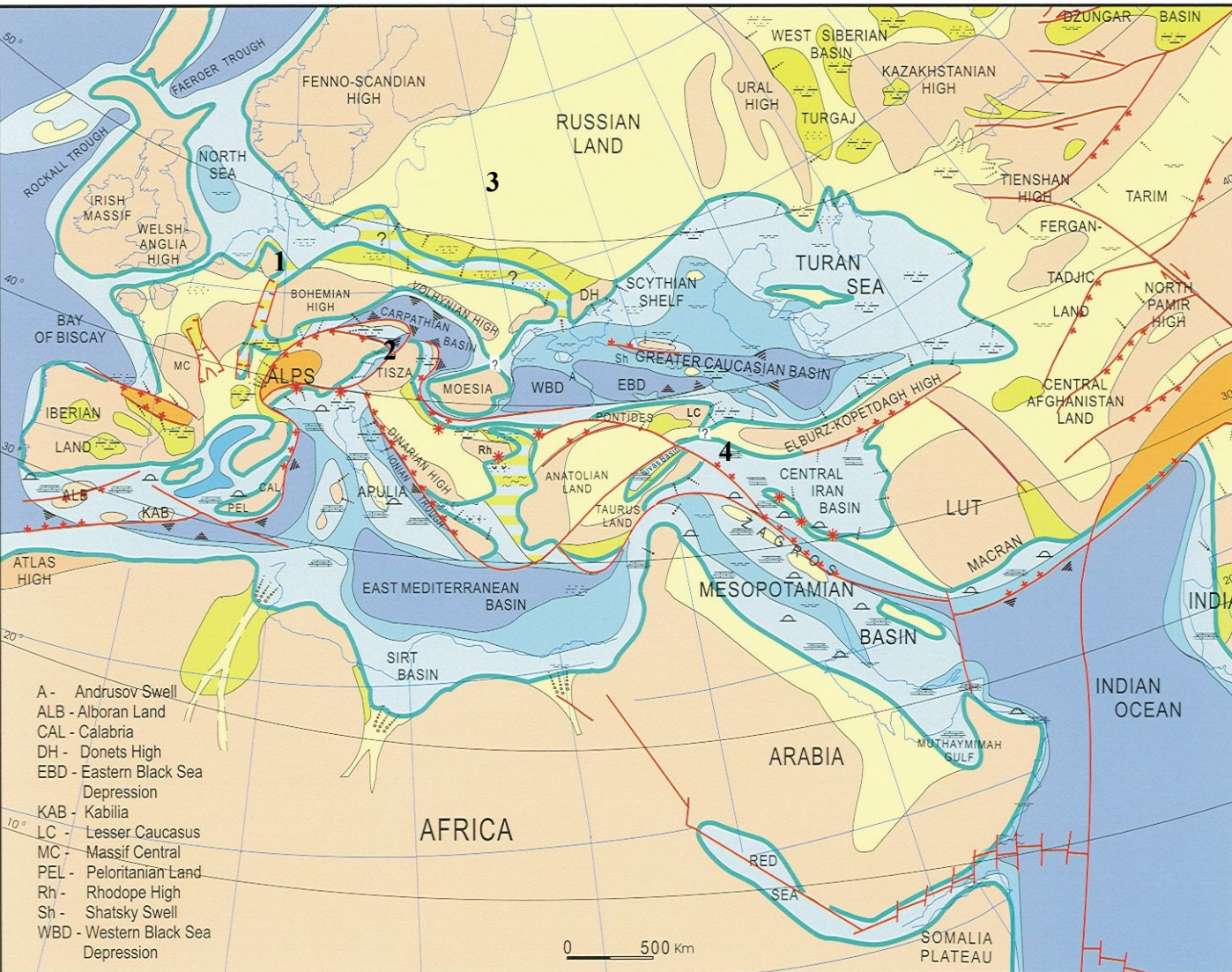
Globorotalia opima opima
Miogypsina septemtrionalis

- 1-rýnský příkop
- 2-slovinský koridor
- 3-pripjatská cesta- def. uzavřena
- 4 – spojení s Indopacifikem

-obnovení mořské sedimentace,
-lepší okysličení pánví,

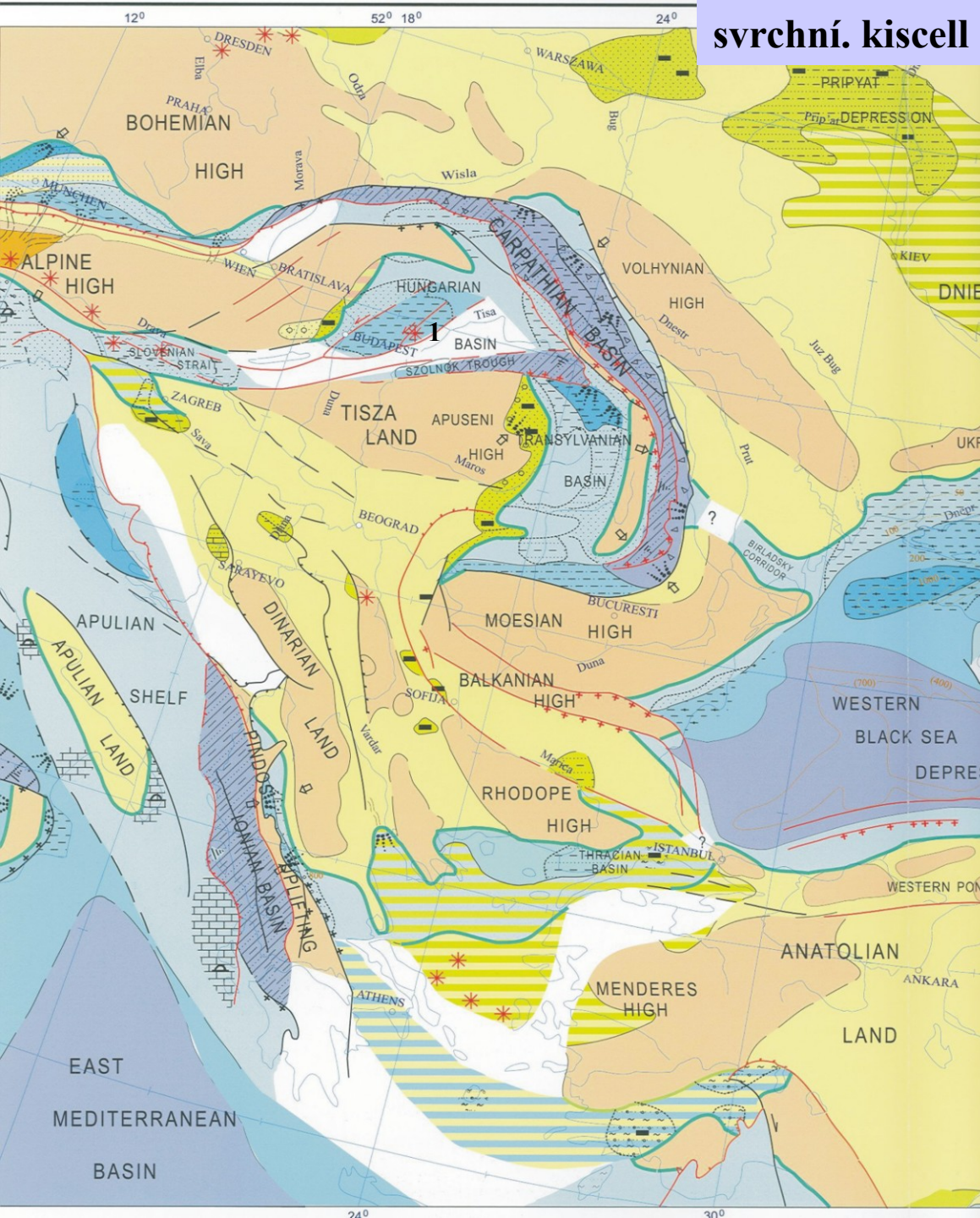
Závěrem oligocénu končí komunikace šv. a bav. molasy = paralicke uhelná pánev + sedimentace tzv. spodní sladkovodní molasy

VP – stále silná izolace=
pokračování majkopské f.



- mělký šelf
- hlubší šelf
- šelfové deprese
- k. svah a dna pánví
- brakická oblast
- sladkovodní oblasti
- nížiny
- výšiny
- hory

svrchní. kiscell



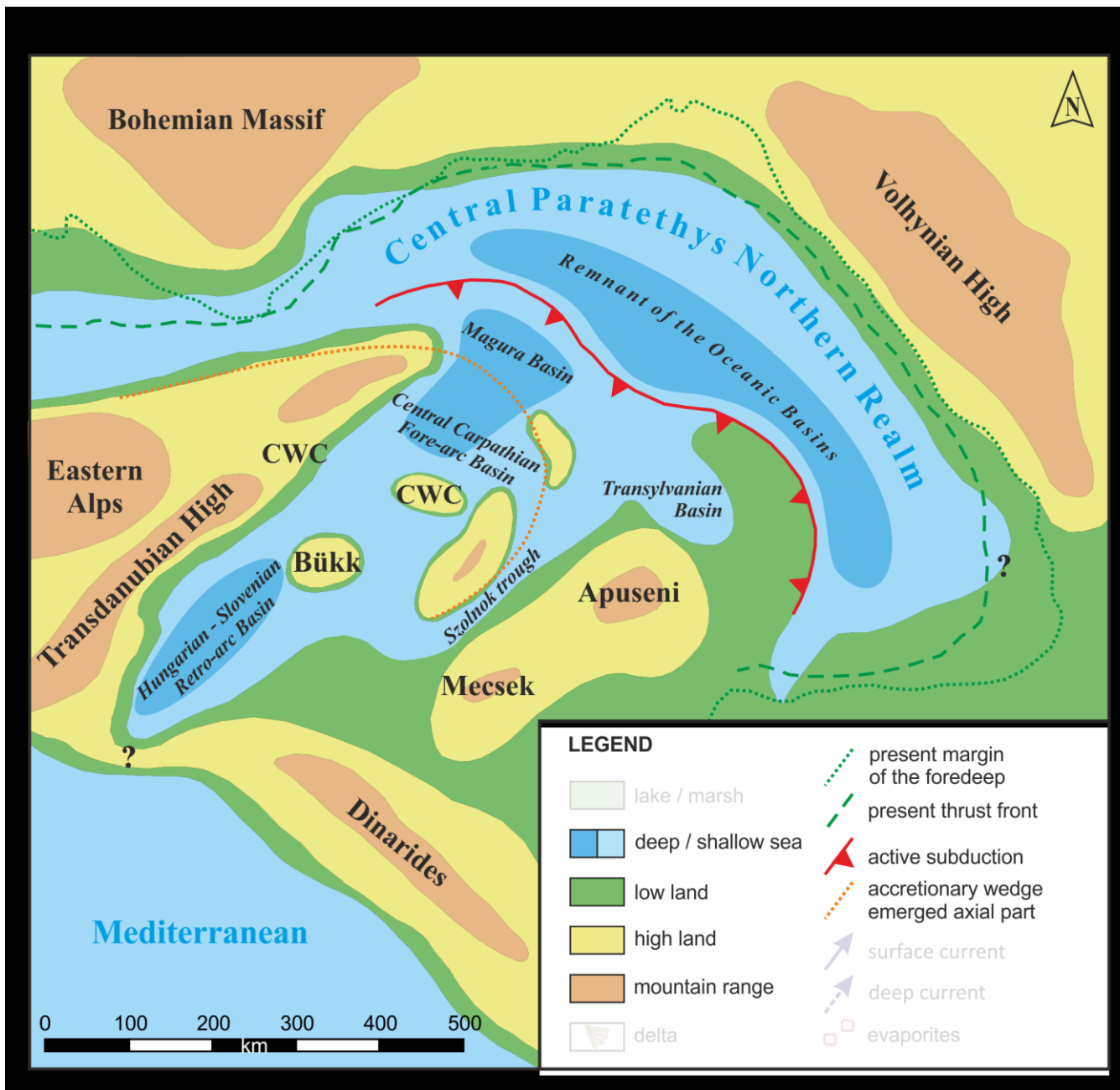
Karpaty:

Závěr sedimentace menilitového souvrství a nástup krosněnské facie (obnovení flyšoidní sedimentace)

V maďarské pánvi nasedají transgresivně na tardské jíly kiscellské jíly a sedimentace pokračuje nepřerušně až do egerského souvrství. Vliv mediterránu je doložen faunou velkých foraminifer (*Miogypsina*, *Lepidocyclina*) a mlžů (*Flabellipecten*, *Glycimeris*).

Podél středomaďarské linie nastupuje andesitový vulkanismus (1)

- mělký šelf
- hlubší šelf
- šelfové deprese
- k. svah a dna pánví
- brakická oblast
- sladkovodní oblasti
- nížiny
- výšiny
- hory



rupel-chatt

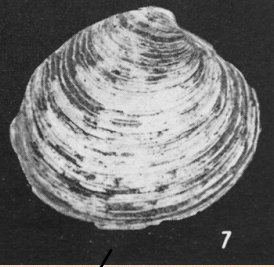
Kováč et al. (2017)

(cca kiscell)

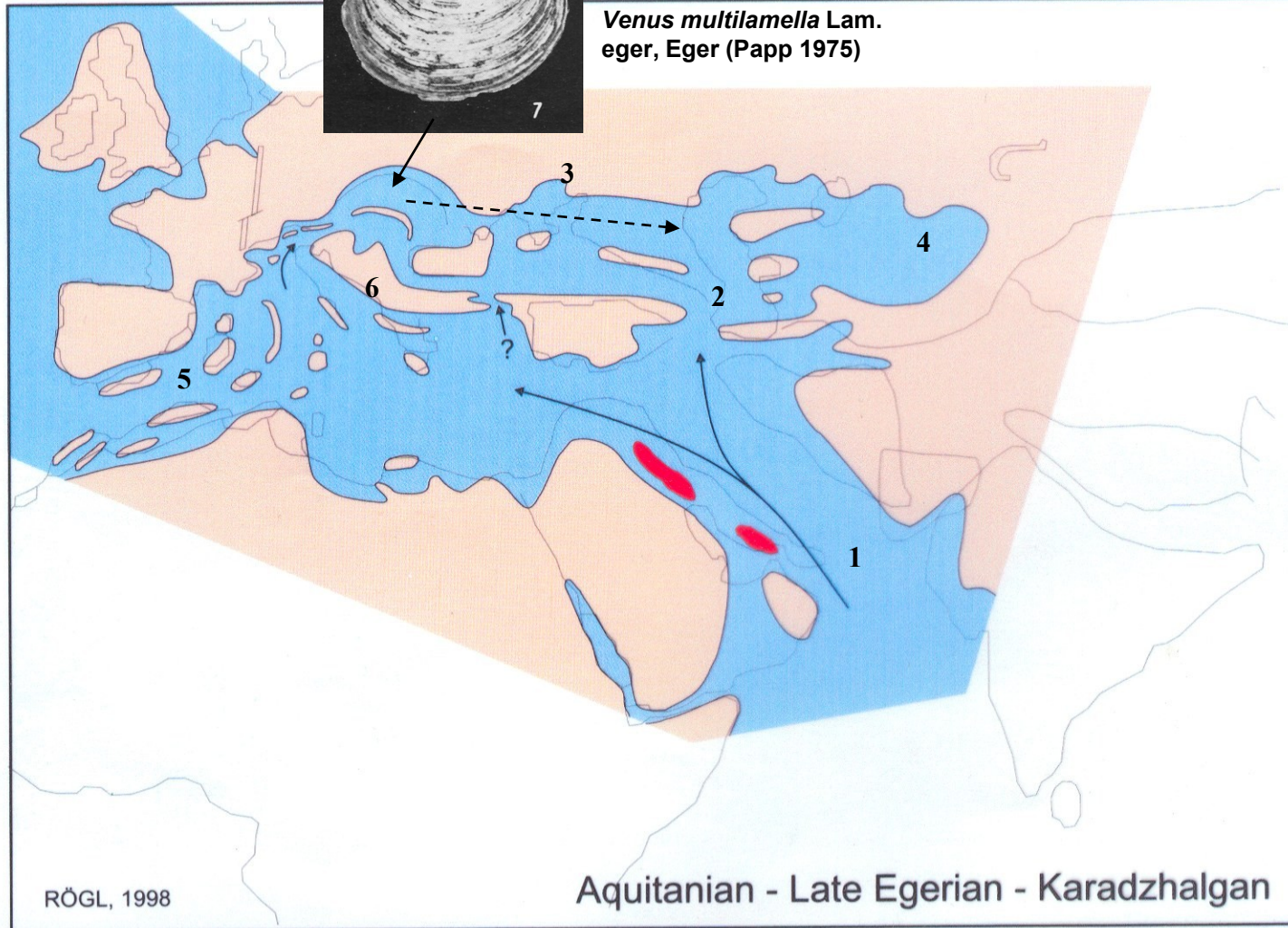
Miocén

Eger

NN1– NN2 23.8 – 20.5 Ma



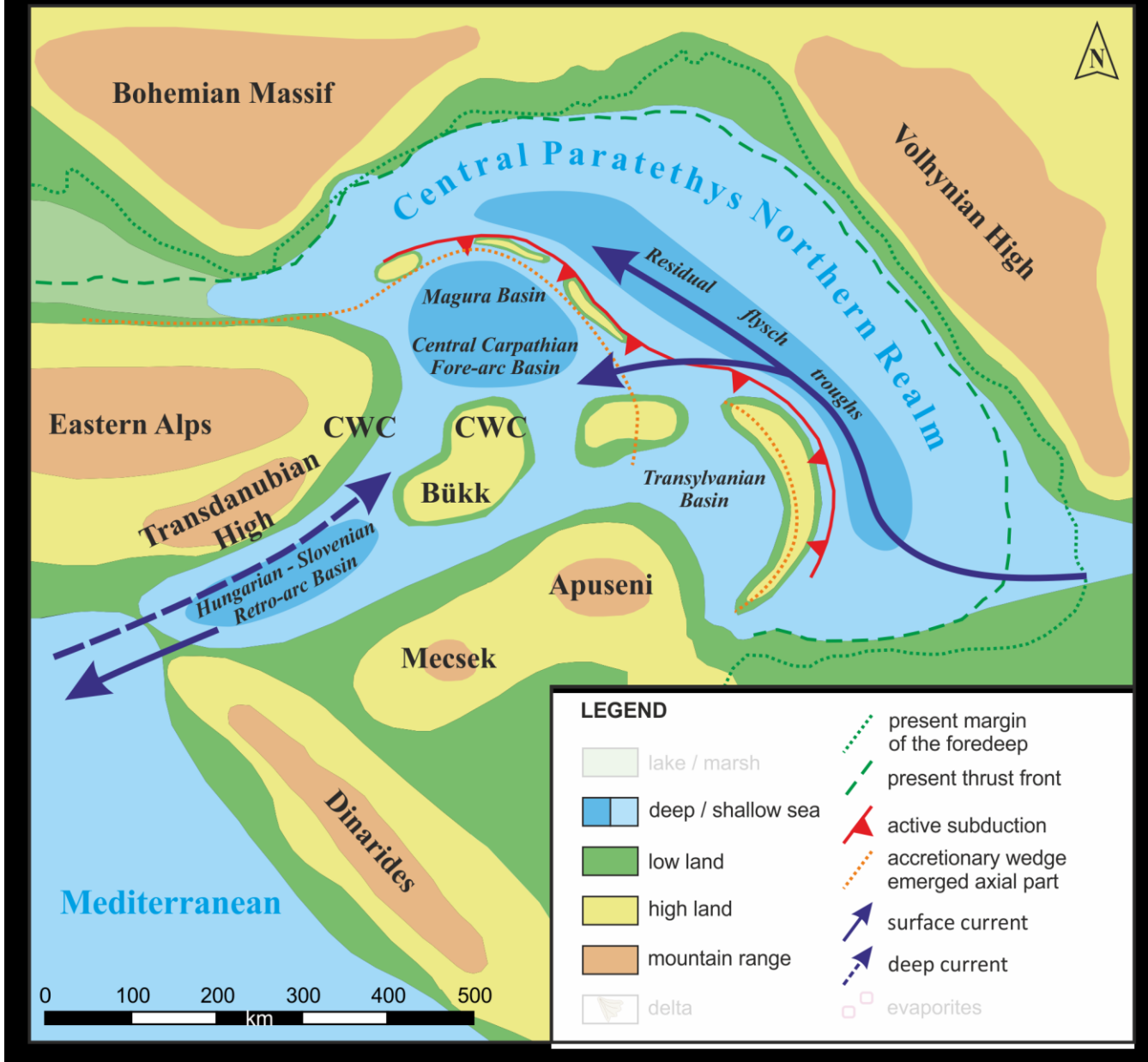
Venus multilamella Lam.
eger, Eger (Papp 1975)



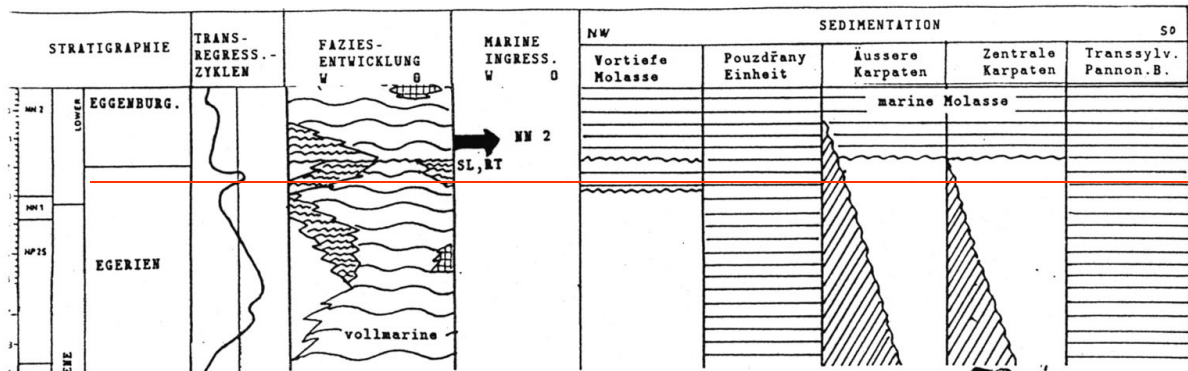
Aquitanian - Late Egerian - Karadzhalgan

RÖGL, 1998

Široké spojení Mediterrán-Paratethys-Indik (1) => rozšíření teplomilné fauny. Podél zlomu Rudého moře vznikají hluboké grabeny, rozevívá se i cesta k severu do VP (2, mělkovodní sedimenty s miogypsinami a amphisteginami). VP – transgrese i do dněpersko-doněcké pánve (3) a k V do Kyzylkumu a Turkmenie (4). Žádné severní vlivy v celé P. Četní immigranti ve VP jsou podobní egerské fauně CP (např. *Venus multilamella*)
V Apeninské oblasti (6) rotace ve směru hod. ruč. + tvorba příkrovů. Záp. Mediterrán = tvorba protáhlého ostrovního řetězce (5).



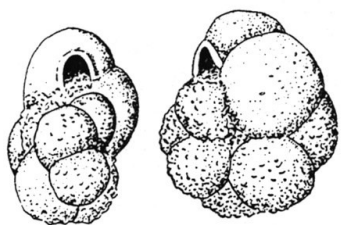
akvitán – Kováč et al. (2017)



CP:

- problém egeru jako stupně,
- klastická sedimentace bez přerušení z oligocénu
- biogenní vápence bretského souvrství (jižní Slovensko) – *Miogypsina gunteri*, *Lepidocyclus morgani* (akvitánské stáří)

Měkkýší fauna uniformní od molasových pánví až do Transylvánie (*Pecten*, *Venus*, etc.)



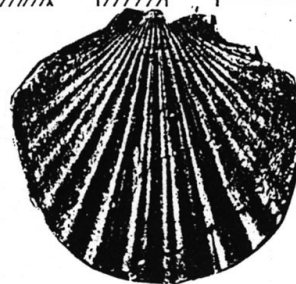
Cassigerinella boudecensis

Pokorný



Uvigerina hantkeni

C.-E.

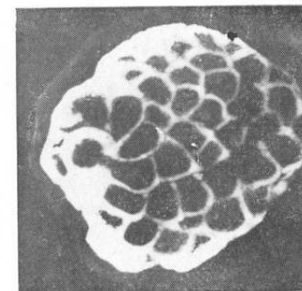
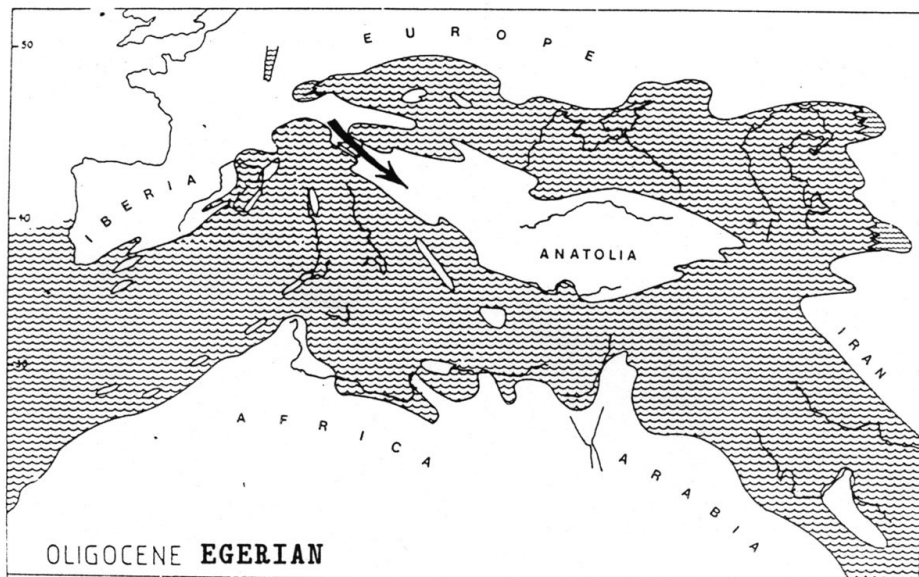


Pecten burdigalensis

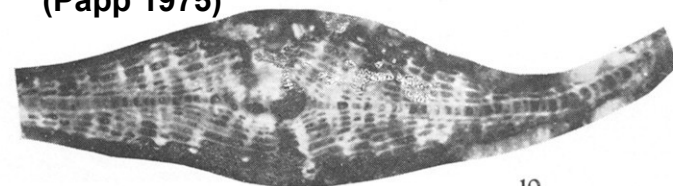
Lam.

Morava: Závěr flyšové sedimentace ve zvedajících se trozích, konec pelitů menilitového s., nastupuje krosněnská facie (slezský prostor – krosněnské souvrství, podslezský – ženklavské s. ždánický – ždánicko-hustopečské s.)
V pouzdřanském prostoru – uherčické s. a boudecké s. – neflyšové vývoje.

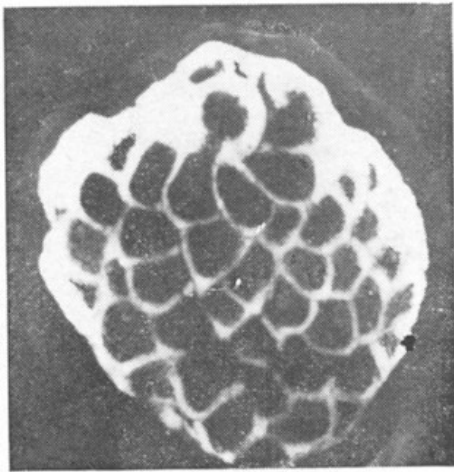
Kp – malešovické v., ? žerotické v.



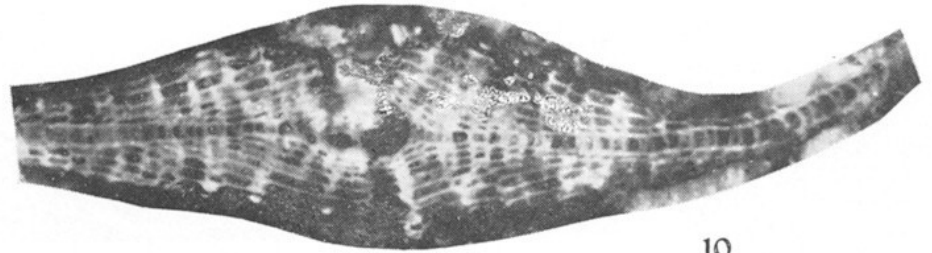
Miogypsina gunteri Cole, eger, Bretka (Papp 1975)



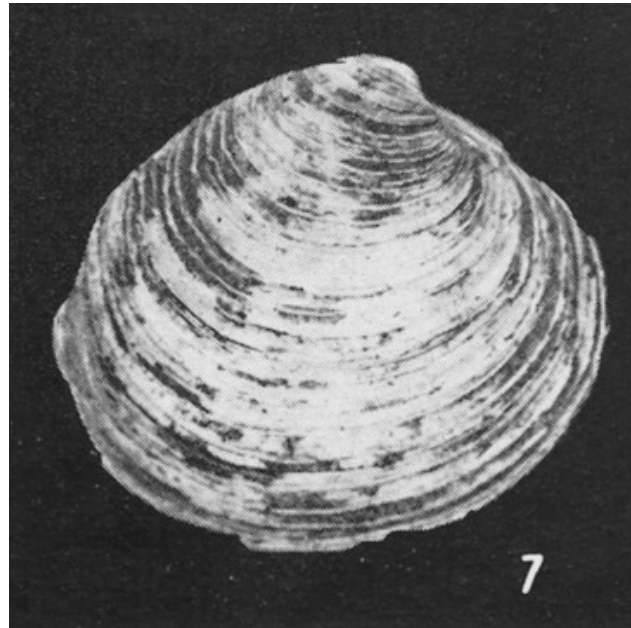
Lepidocyclus morgani Lem. et Douv. eger, Bretka (Papp 1975)



*Miogypsina gunteri*⁵
Cole, eger, Bretka
(Papp 1975)

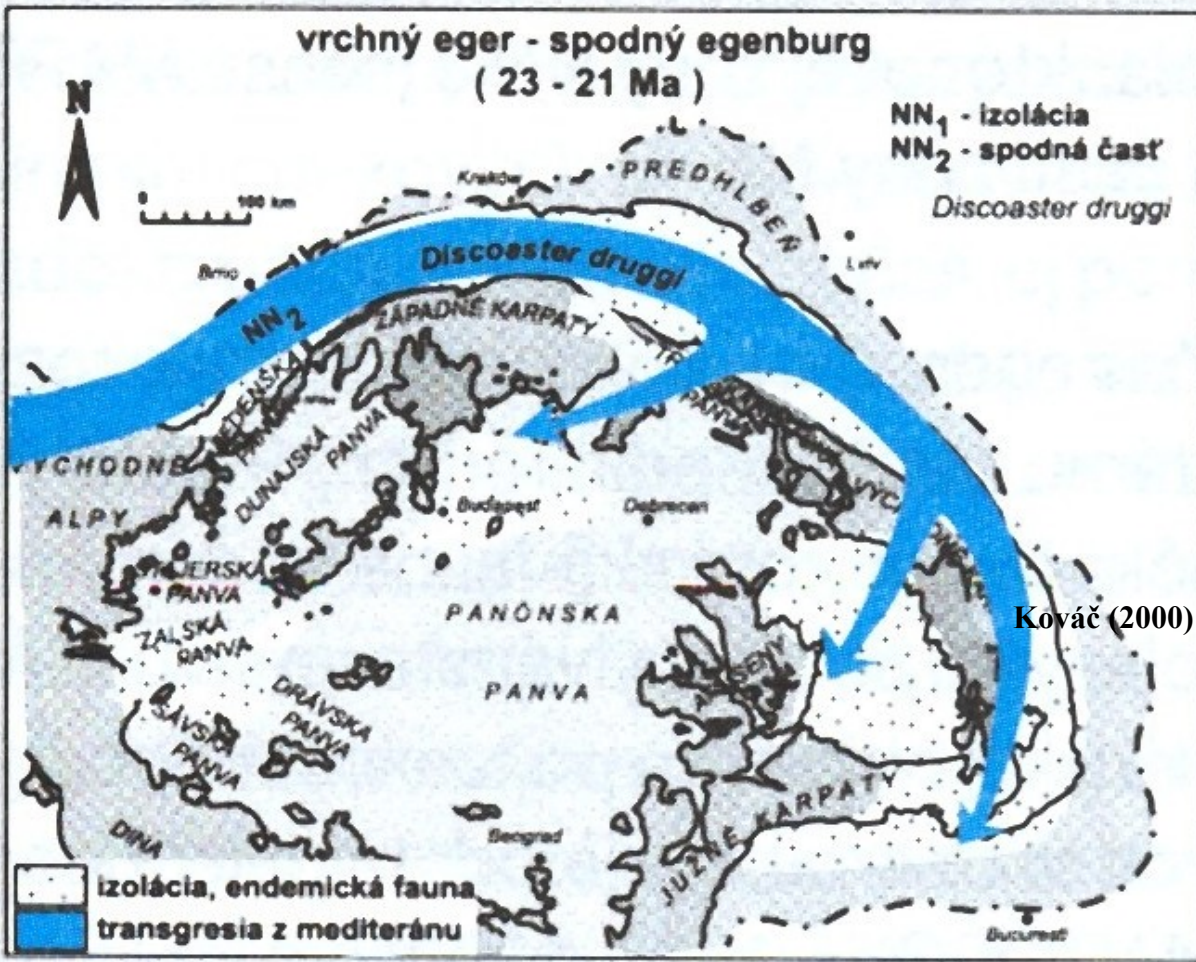


Lepidoccyllina morgani Lem. et Douv.
eger, Bretka (Papp 1975)



Venus multilamella Lam.
eger, Eger (Papp 1975)

nanoplankton



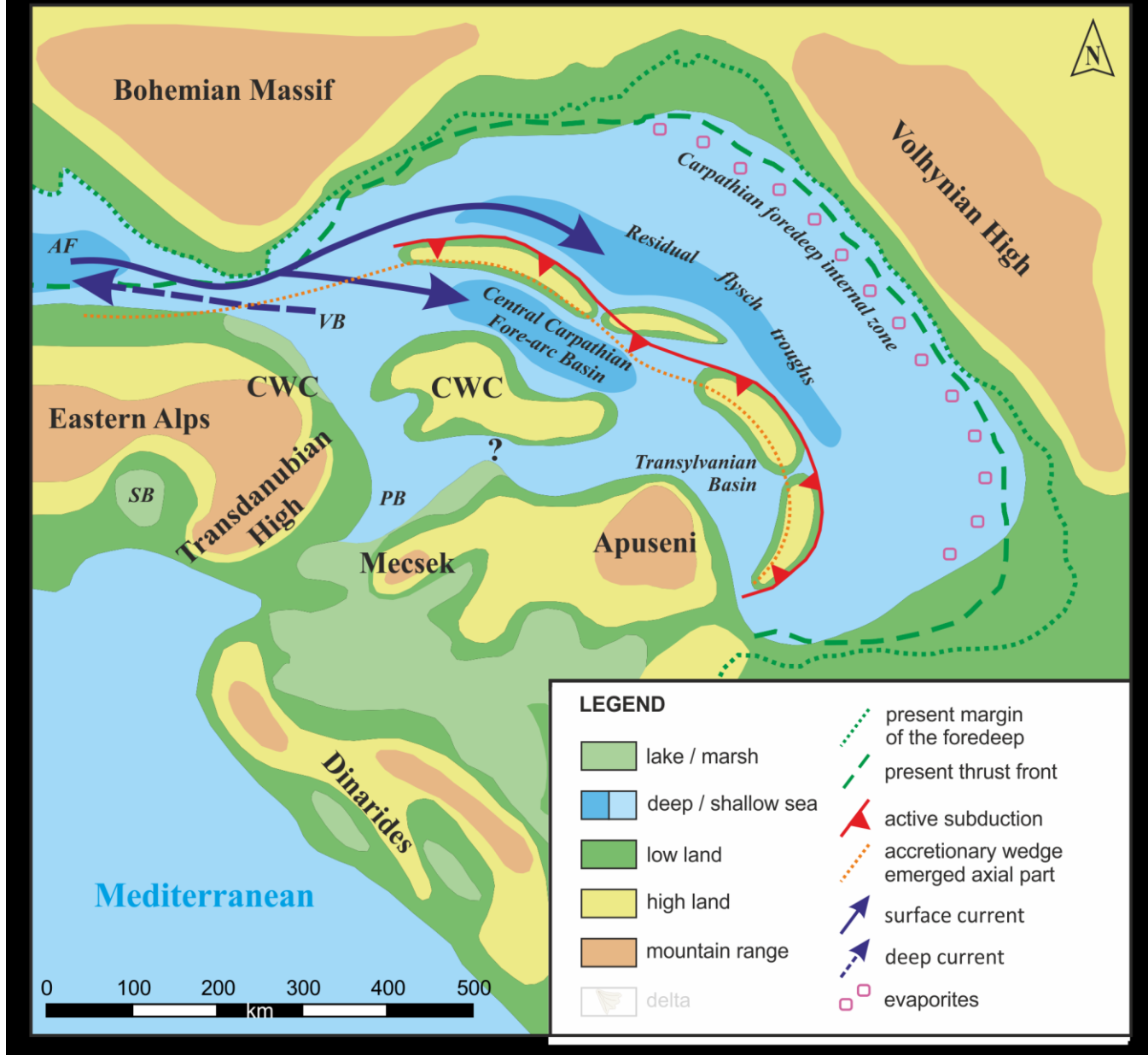
Discoaster druggi Braml. et Wilc., miocén,
Mexický záliv (Foto: Crystal Calcite Palace,
2007)

eggenburg



Noch einmal besteht nördlich entlang des ganzen Alpenbogens über das Rhônetal eine Verbindung des Molassemeeres zum Mittelmeer bei Marseille.

nach Rögl/Repp



Early Miocene

20,5-19 Ma

NN2/NN3

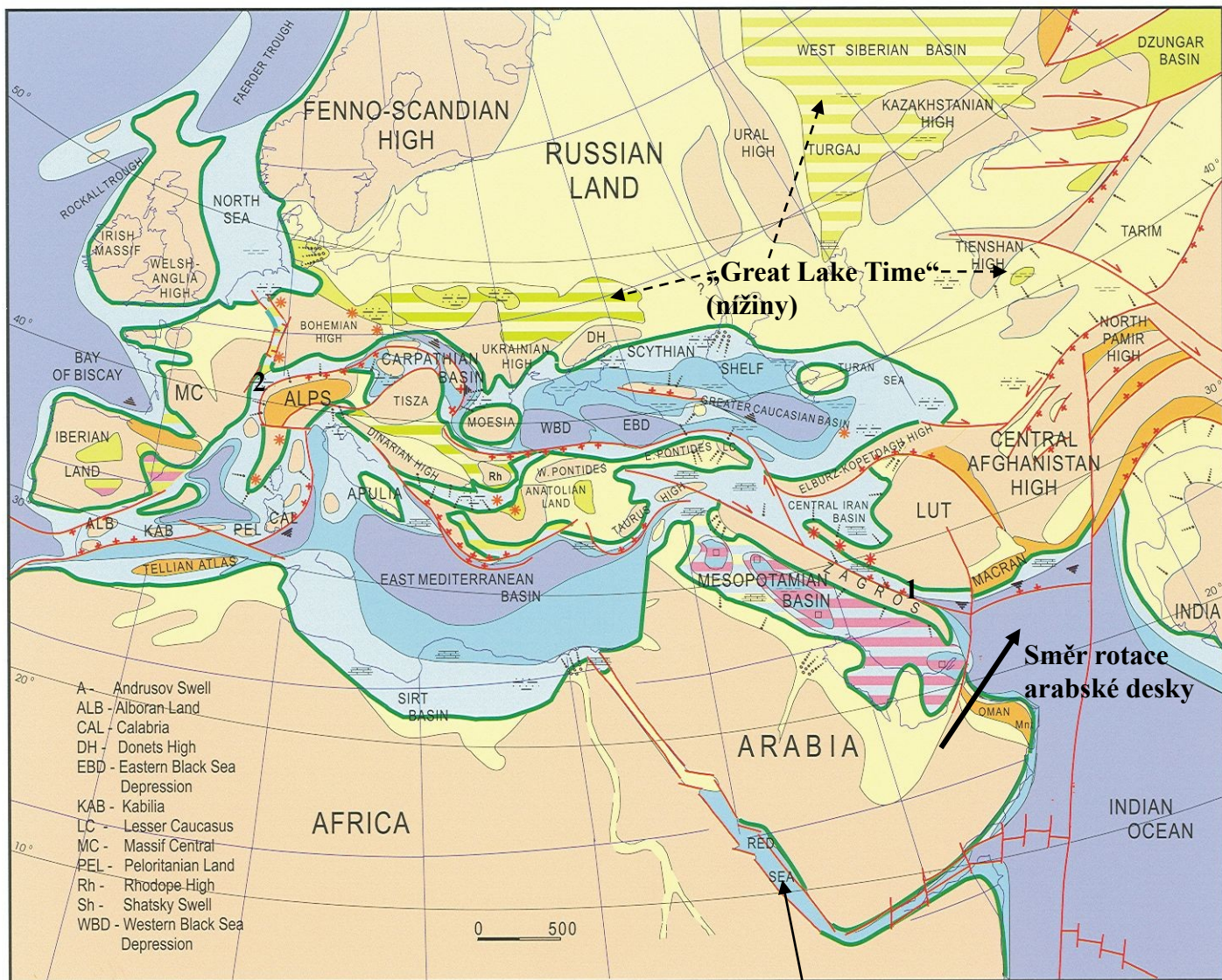
sp. burdigal – eggenburg - sakaraul

Teplé klima (Mi-1), plně marinní sekvence v celé CP, spojení s Indikem (1), (vztahy měkkší fauny: Mediterrán-CP-Irán, korály asmarských vápenců v Iránu: Mediterrán-Indik)

⇒ Od Gruzie do transylvánské p. přes CP do bavorské molasy – horizont s *Oopecten gigas* (je uváděn dokonce i z Pacifiku)

ZP- konec spodní sladkovodní molasy a marinní sedimentace i v rhonské pánvi (2)

Ekvivalenty: svrchní mořská molasa (ZP) boudecké + poljanické + svrchní krosněnské s. (CP vnějšek) sp. lužické s. (Vp)

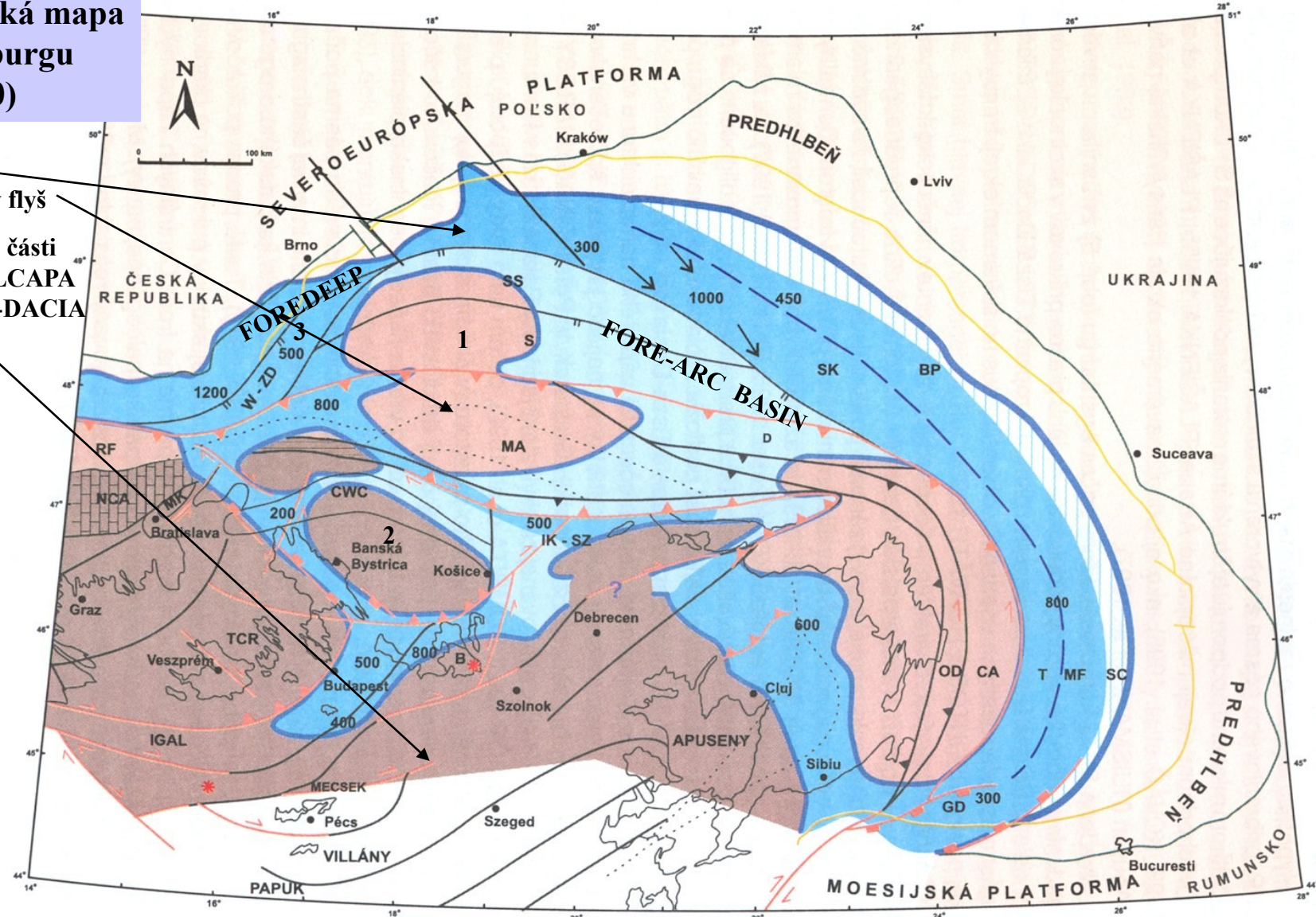


otevírání Rudého moře

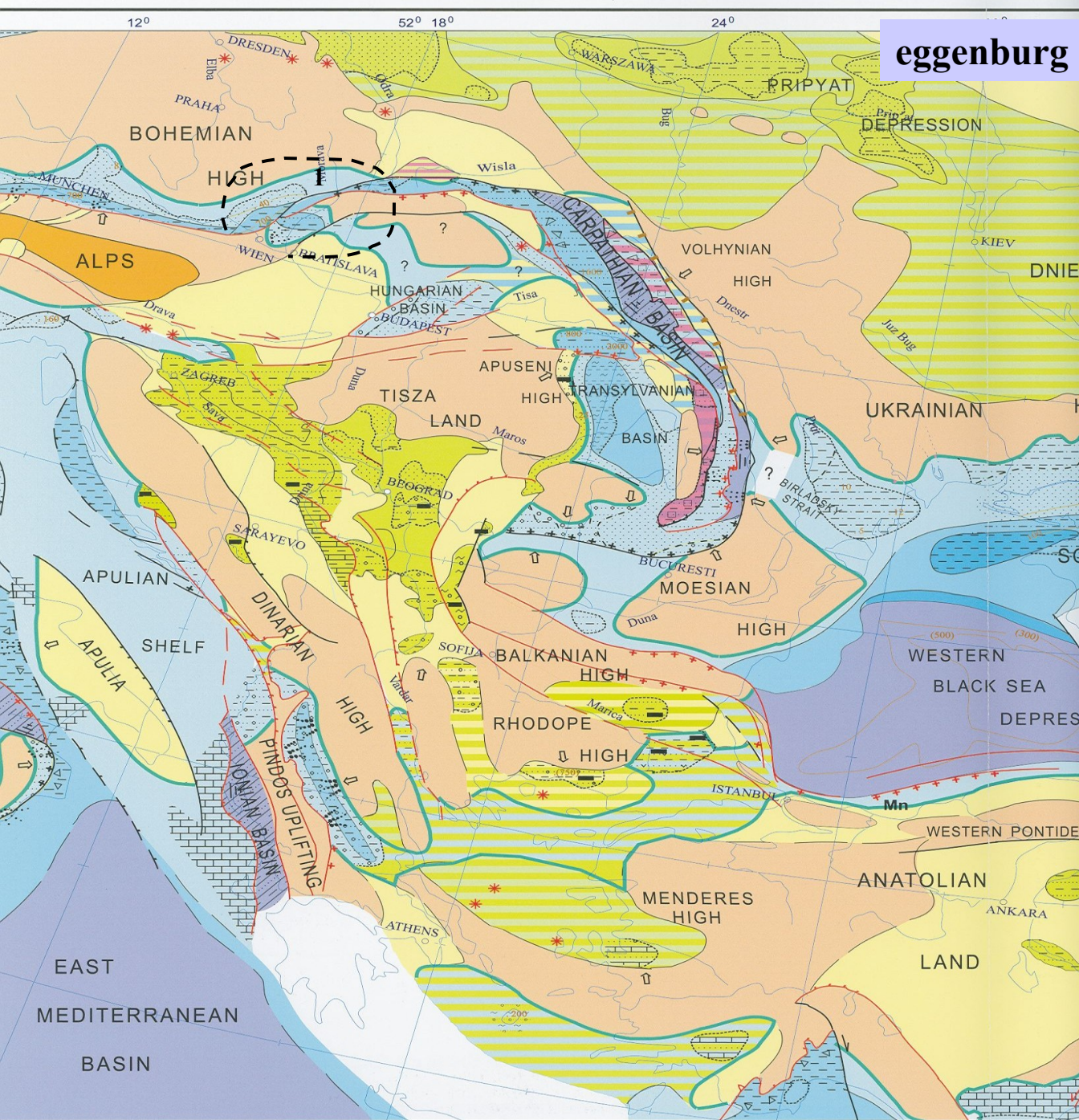
- mělký šelf
- hlubší šelf
- šelfové deprese
- k. svah a dna pánví
- brakická oblast
- sladkovodní oblasti
- nížiny
- výšiny
- hory
- evapority

Palinspastická mapa CP v eggenburgu (Kováč 2000)

- moře
- vynořený flyš
- vynořené části desek ALCAPA a TISZA-DACIA



- Viz: - MA + S + SS jednotky vynořené (1)
 - jižní poloha Centrálních Západních Karpat (2)
 - předhlubeň na Moravě a Vp. nejsou individualizovány (waschbersko-žďánická oblast nevynořena) (3)



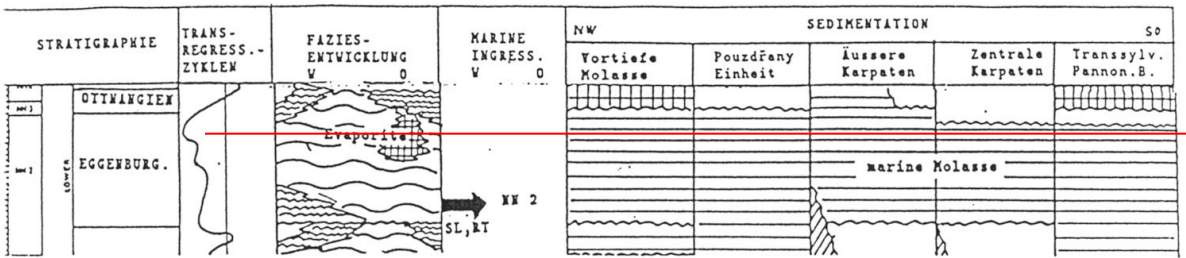
ZP:
Konec sedimentace spodní sladkovodní molasy, propojení ZP-VP podél Alp

CP:
Ve svrchním eggenburgu silné atlantské vlivy (mechovky, imigranti ze západu),

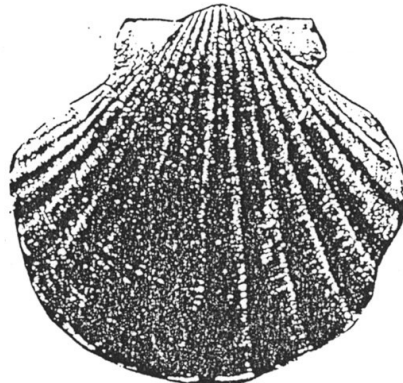
V karpatských pánvích doznívá flyšová sedimentace (krosněnská fac.) trogy se zvedají – Žj (šakvické s.), Pj –závěr sedimentace boudeckých slínů

Vzniká Kp na Moravě (1 -Znojemsko-dunajovické p., čejkovické p., dobropolské j.), jednotný sedimentační prostor s Vp (sp. lužické s.) a Dp = nedokonalá separace pánví

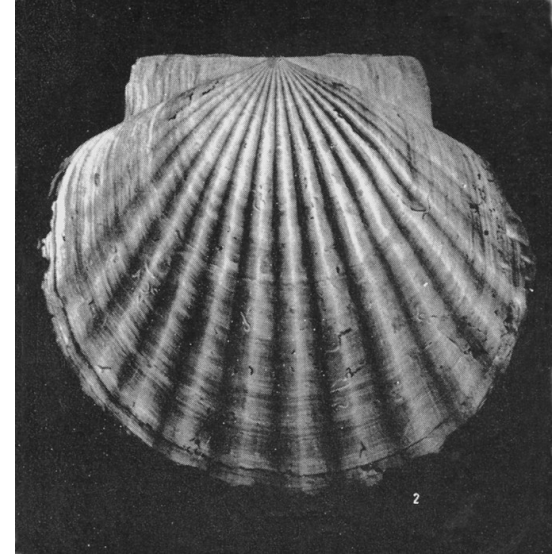
- mělký šelf
- hlubší šelf
- šelfové deprese
- k. svah a dna pánví
- brakická oblast
- sladkovodní oblasti
- nížiny
- výšiny
- hory
- evapority



Chlamys holgeri inaequicosta Sch.



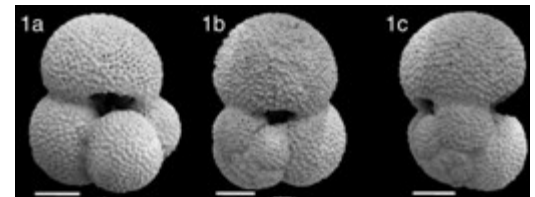
Pecten pseudobeudanti D.-R.



Oopecten gigas (Schloth.)
Loibersdorf, eggenburg
(Steininger et al. 1971)

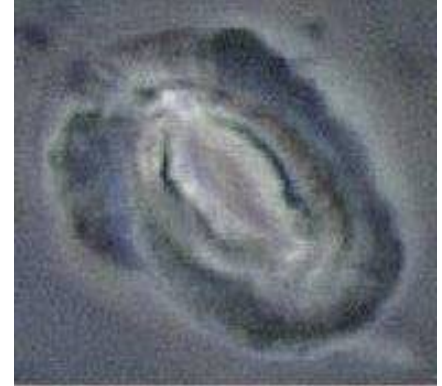
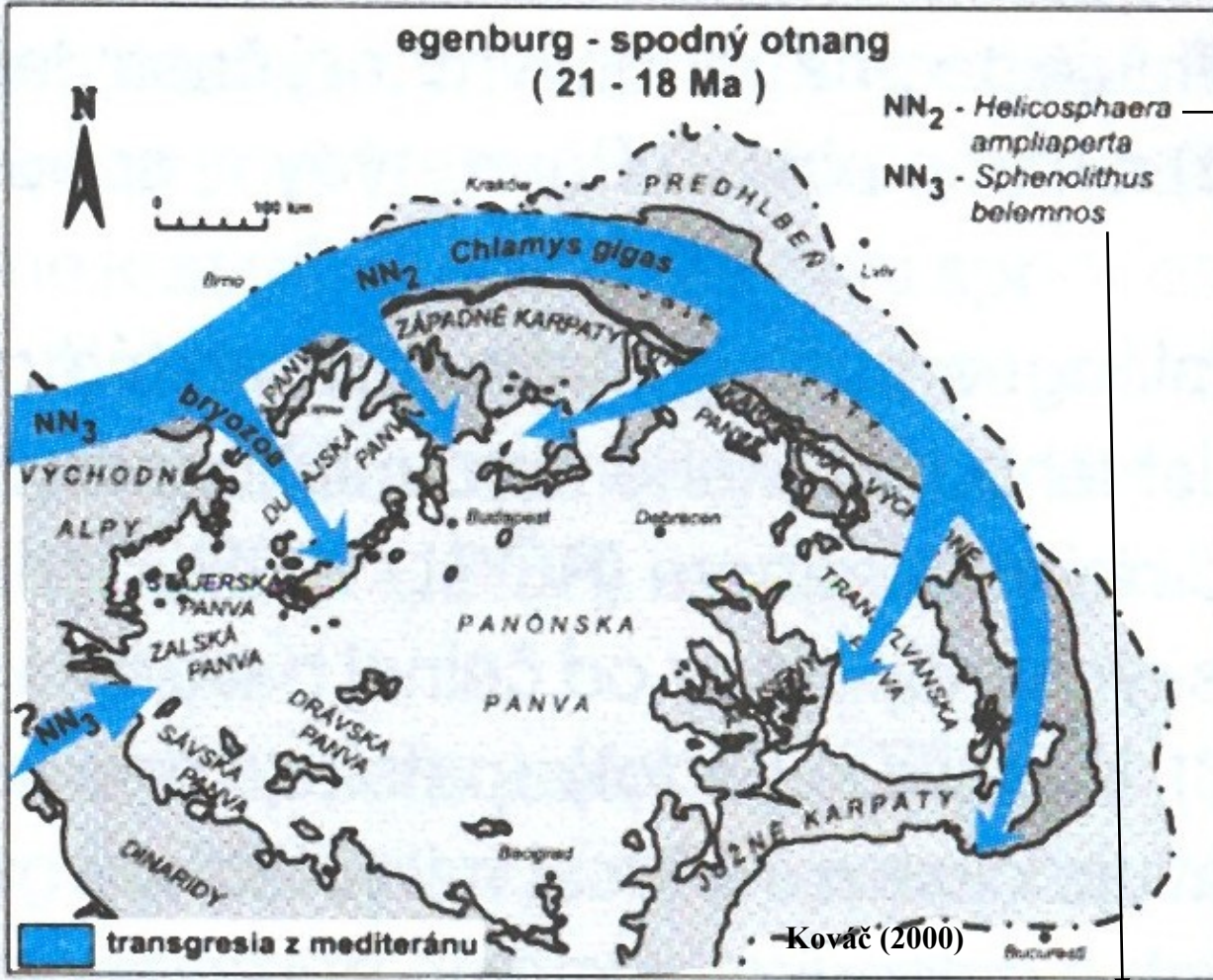


Zygodolophodon
(drobný mamut)



Globigerinoides primordius

V residuálních flyšových pánvích a předobloukových p.
ZK - hlubokovodní podmínky (Vp)



Helicosphaera ampliaperta
 (sp.-stř. miocén)
 (podle The Calcite Palace 1999)



Sphenolithus belemnus,
 typická nannofosílie
 NN3 zóny
 (foto Crystal Calcite Palace 2007)

ottnang

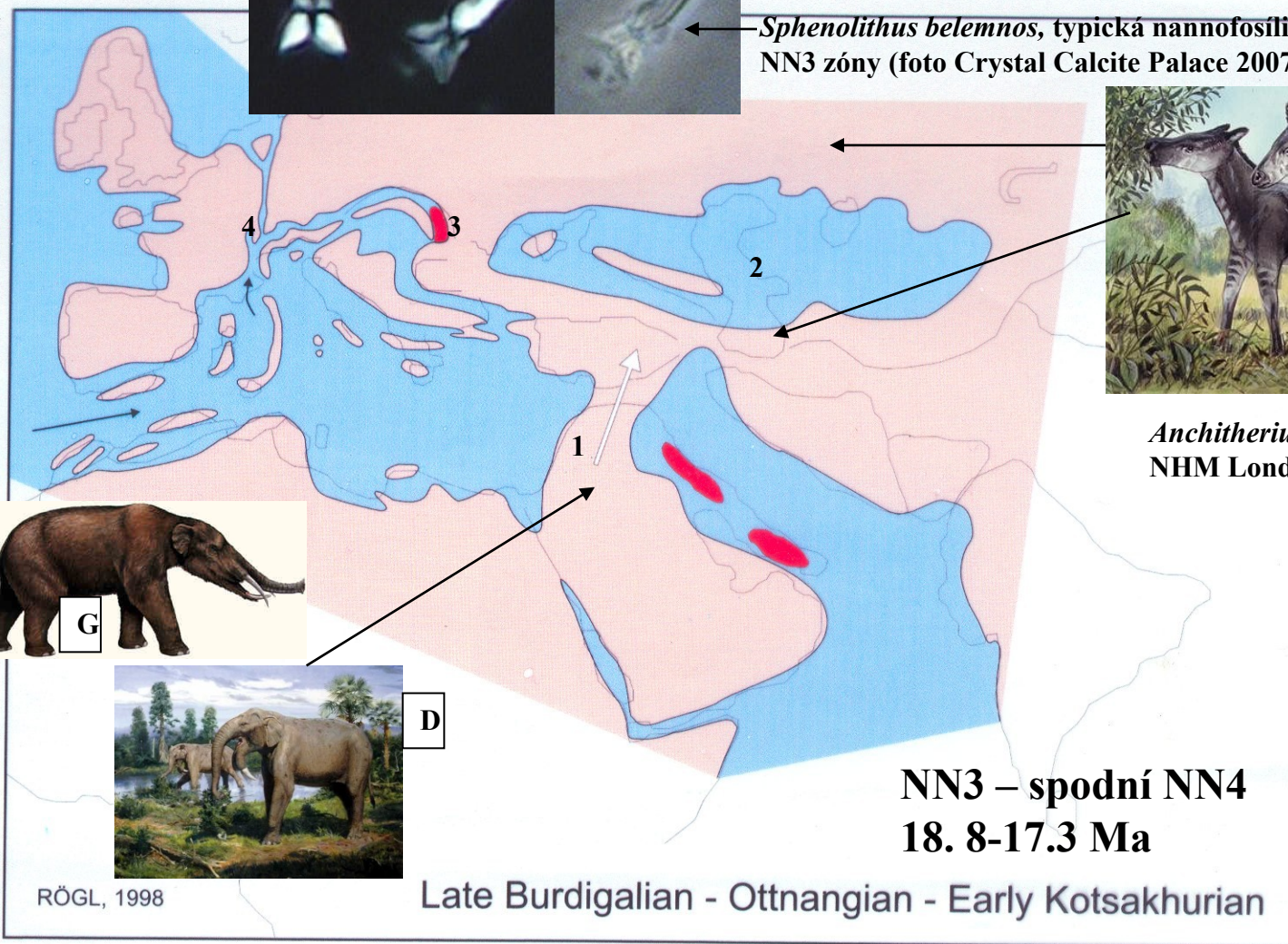
← *Sphenolithus belemnos*, typická nannofosílie NN3 zóny (foto Crystal Calcite Palace 2007)



Anchitherium, (obr. Andrea 2004, kosti – NHM Londýn)

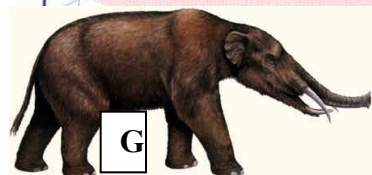


Pappina primiformis
(marinní vývoje)

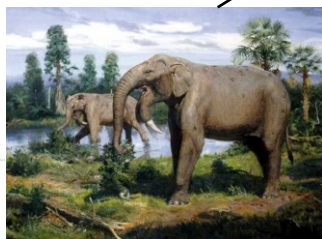


**NN3 – spodní NN4
18. 8-17.3 Ma**

Late Burdigalian - Ottnangian - Early Kotsakhurian



G

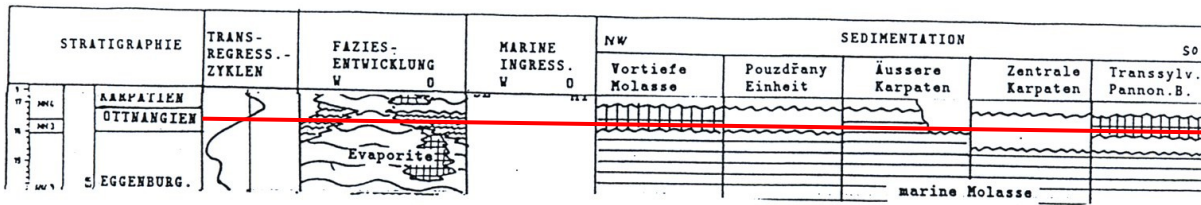


D

RÖGL, 1998

Zesiluje pohyb arabské desky k SV – kolize s anatólskou (1), spojení s Indikem uzavřeno – migrace savců (chobotnatců) do Eurasie (*Gomphotherium* – G, *Deinotherium* – D) a opačně (*Dicerorhinus*), VP izolována od CP a Mediterránu (2) – redukce pánví, zvláště v euxinské oblasti. Sedimentace završuje v nejhlubších depresích majkopská facie. Rozvoj endemických společenstev – *Rzehakia dubiosa*, *Eoprosodacna*, *Cerastoderma*, *Lenticorbula*, *Siliqua*, salinita zhruba jako dnešní Kaspik.

CP- komunikace s Mediterránem přes bavorskou molasu a rhonskou pánev, slovinský koridor, s boreálem přes Rýnský příkop (4).
ZK- tektonické zdvihy – Kp – rzehakiové v. (od Bavorska do Maďarska), Vp – mělkovodní marinní svrchní lužické v., ve VK –evapority (3)



rozsáhlá izolace a endemita

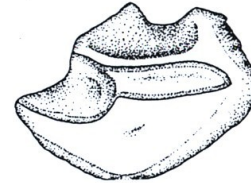
Rzehakiové v.:
Congeria andrusovi, *Limnopageta*,
Melanopsis impressa



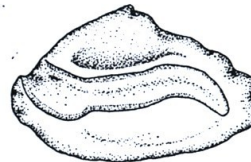
Ctyrokia conoidea (Kr.)



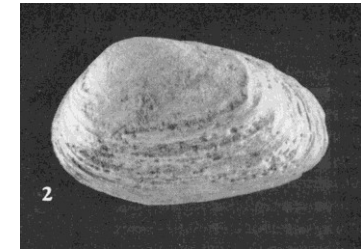
Rzehakia socialis (Rz.)



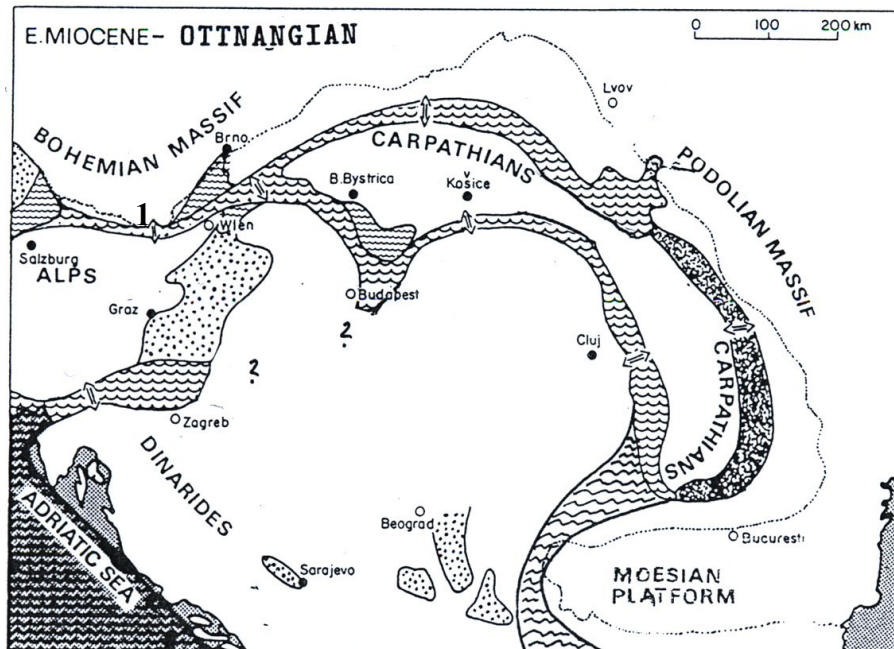
Dapalis crassirostris (Rz.)



Channa rzehaki (Brz.)



Rzehakia socialis socialis (Rzehak)
Maršovice-Jezeřany, rzehakiové vr.,
ottnang (Steininger et al. 1973)



Na v. konci Alp (1)– kontinentální uloženiny
s uhlím, lze je korelovat přes štýrskou pánev
do sev. Itálie

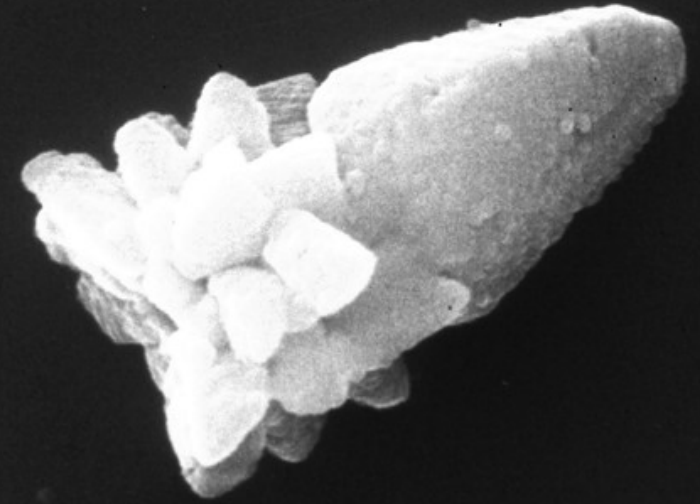
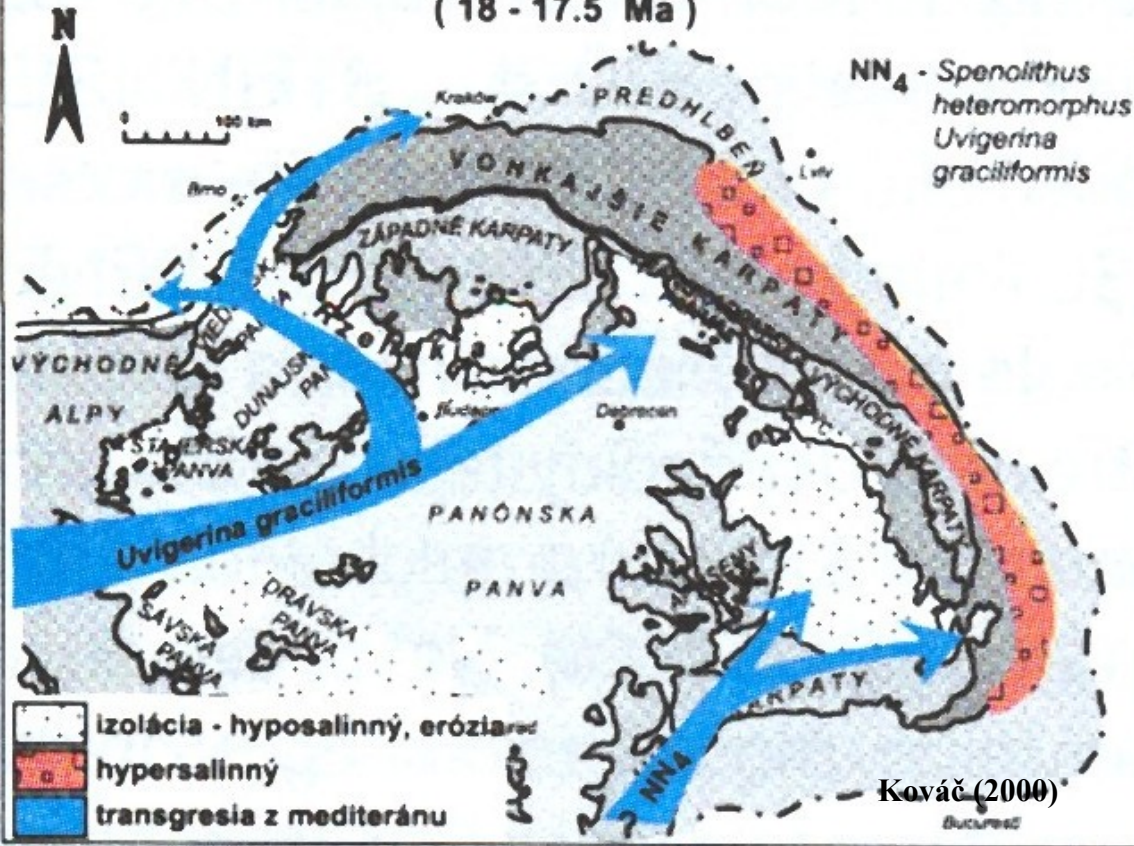
První známky zaobloukové extenze
= areálový typ dacitového až rhyolitového
vulkanizmu korového původu (viz výše)

Vp – svr. lužické v.

Žj – pavlovické v.

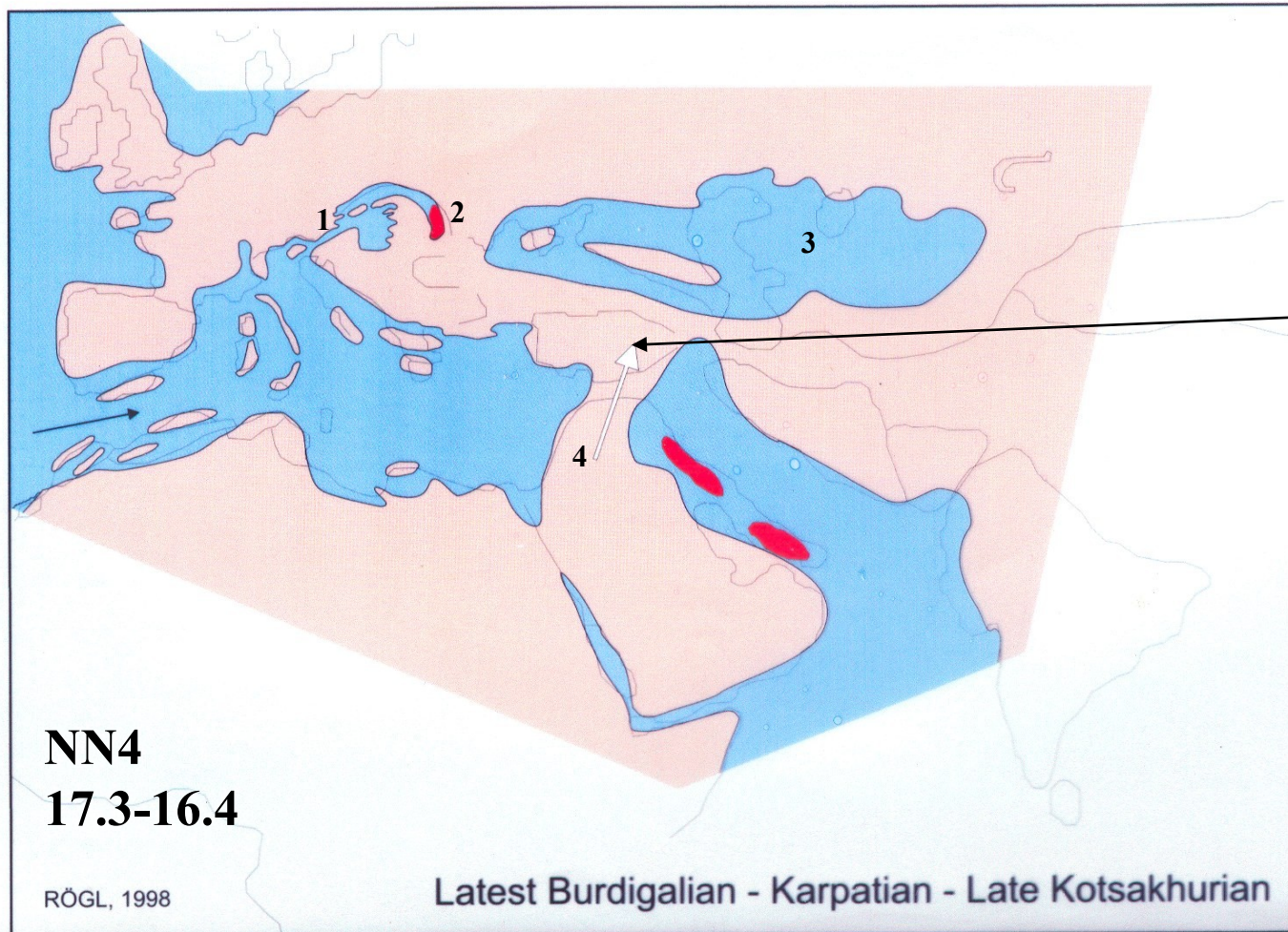
Pj – křepické v. (? mají náznak flyšové sed.)

vrchný ottnang - spodný karpát
(18 - 17.5 Ma)



Sphenolithus heteromorphus
(sp.-stř.miocén) Pacific

karpat



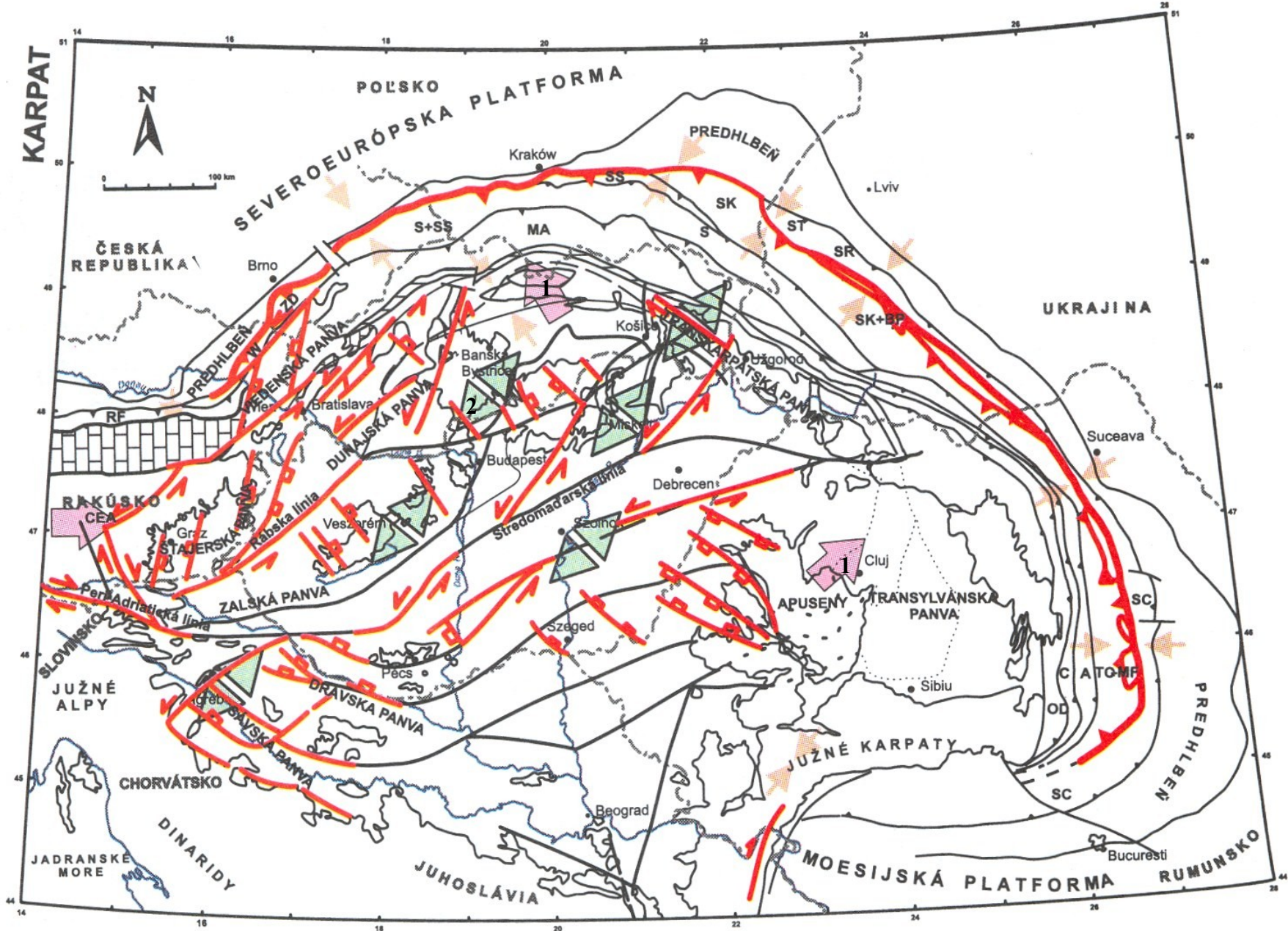
Migrace z Afriky pokračuje, objevují se i první primáti



Pliopithecus vindobonensis
(Děvínská Nová Ves)

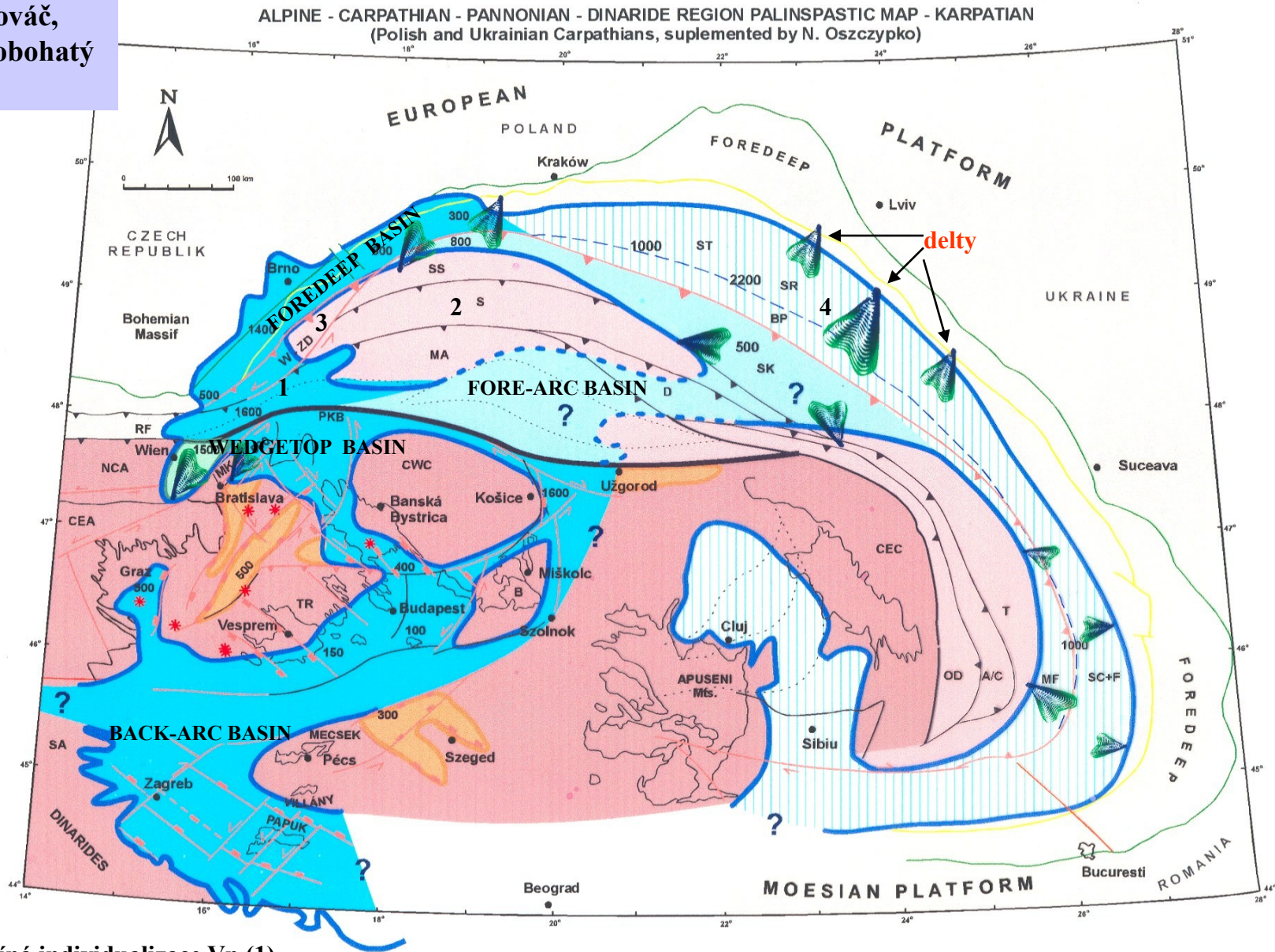
Vrcholí kolize ZK s evropskou platformou (sávská fáze), přesuny v oblasti akrečního prizmatu (Pj a Žj), dosouvají se jednotky vnitřnější (Mj, Sj, SSj). V externidech převládá transprese, v internidech již extenze. Centr. Karpaty se zvedají, reliéf zvýrazňuje, Vzniká sinistrální zóna mezi VA a ZK a Vp mění svůj styl na „pull-apart“. V CP vznikají intramontánní deprese. Sedimentační prostor je v karpátu restringován, fauna se oproti ottangu mění = nová měkkýší fauna, rozvoj marinních euryoxibiontních forams.

CP spojena s mediterránem jen slovinským koridorem (1). Na Ukrajině (2) a výchsl. pánvi evapority, v korneuburské p. i uhlí. VP (3) - izolace. Mediterrán – stále oddělen od Indiku (migrace suchozemských faun, 4). ZP – Alpy na místě, svrchní sladkovodní molasa,



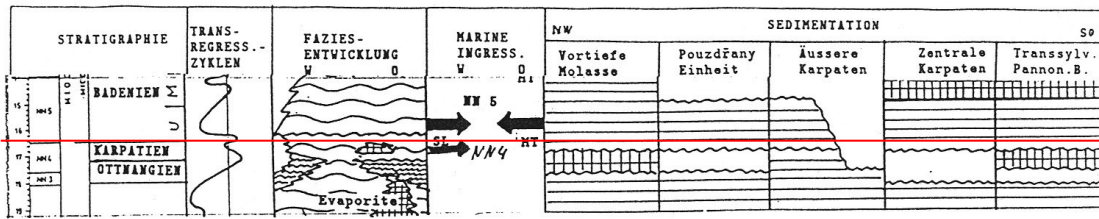
Hlavní tektonické fenomény karpatsko-panonské oblasti v karpatu (Kováč 2000)

1 – komprese, 2 - roztahování



Viz: - začíná individualizace Vp (1)

- výzdvih ždánické jednotky, V-Z protažení bradlového pásma, celkový posun k S (2)
- komprese a protažení vynořených flyšových jednotek (3)
- silná deltová sedimentace v polské-ukrajinské části předhlubně + evapority (4)



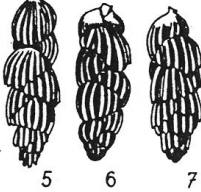
Pappina bononiensis primiformis



Pappina parkeri breviformis



Uvigerina graciliformis



R. Brzobohatý, I. Cicha, M. Kováč & F. Rögl, eds 2003, Masaryk University Brno

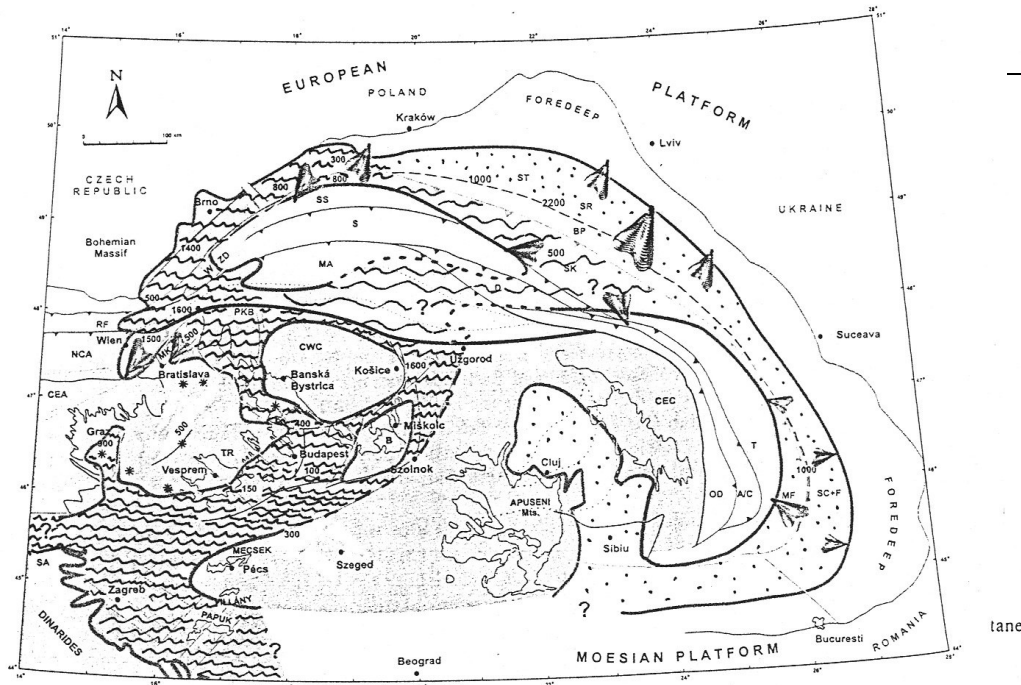
V mořských pánvích:

-hydrologický režim (estuáriový typ cirkulace-přitékají dnové vody, odtékají povrchové vody; nízký výpar, stratifikace vod, málo O₂, vyšší salinita a organika u dna)

-mikrofauna s převahou euryoxibiontních druhů a plankton v sedimentech

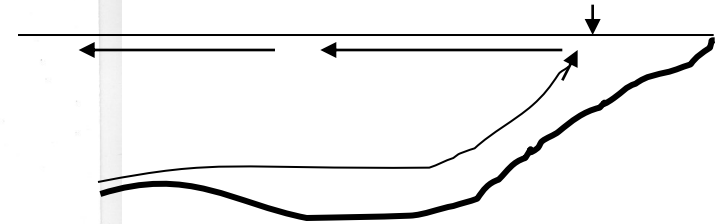
-litologie: převaha šlirů

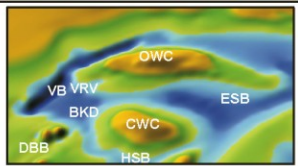
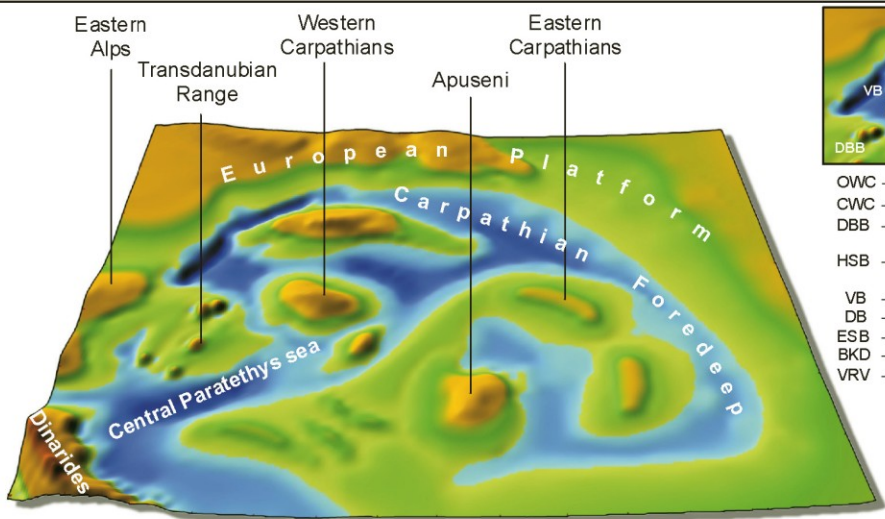
Kp – laaské s., kroměřížské s. stryszawské s.
Vp – lakšárskonovoveské s., závodské s.



moře
předpokládáme moře
brakicko-Pagunírui a terecká prostředí
deřty

estuáriový typ cirkulace vod





- OWC — Outer Western Carpathians
- CWC — Central Western Carpathians
- DBB — Danube Basin pre-Neogene basement
- HSB — North Hungarian-South Slovak Basin
- VB — Vienna Basin
- DB — Danube Basin
- ESB — East Slovak Basin
- BKD — Bánovská kotlina Depression
- VRV — Váh river valley

Floristická situace a výškové poměry krajiny v karpátu

CP: 3 typy lesů:

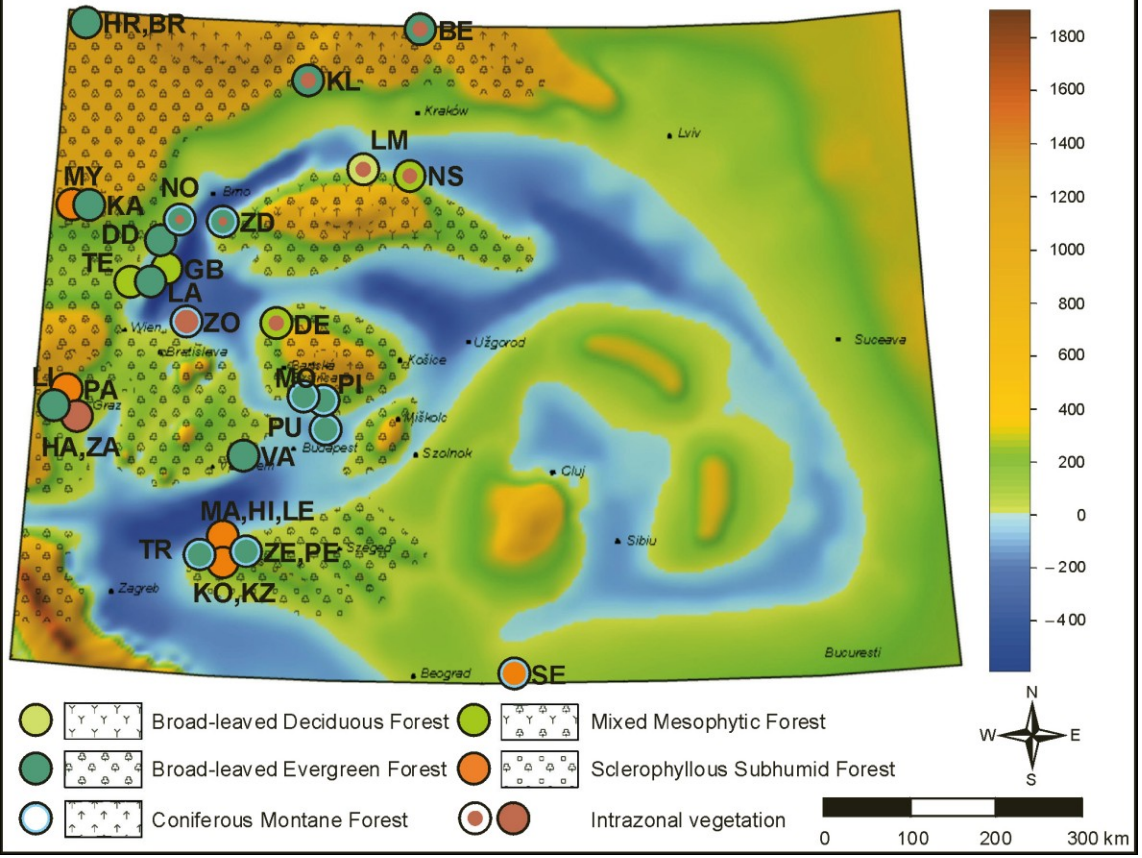
-Subtropický širokolistý opadávající les s vysokým podílem stále zelených prvků (záp. část – Františkovy Lázně) (srovnání: monsumové lesy V. Asie)

-Horské lesy s jehličnany (výšky cca 1500-2000 m, *Pinus, Abies, Cedrus, Tsuga*..)

-Uhlotvorné lesy ve vnitřní alpské oblasti (Leoben, Fohnsdorf, Mecsek), v korneuburské pánvi též ochuzené mangrovové porosty

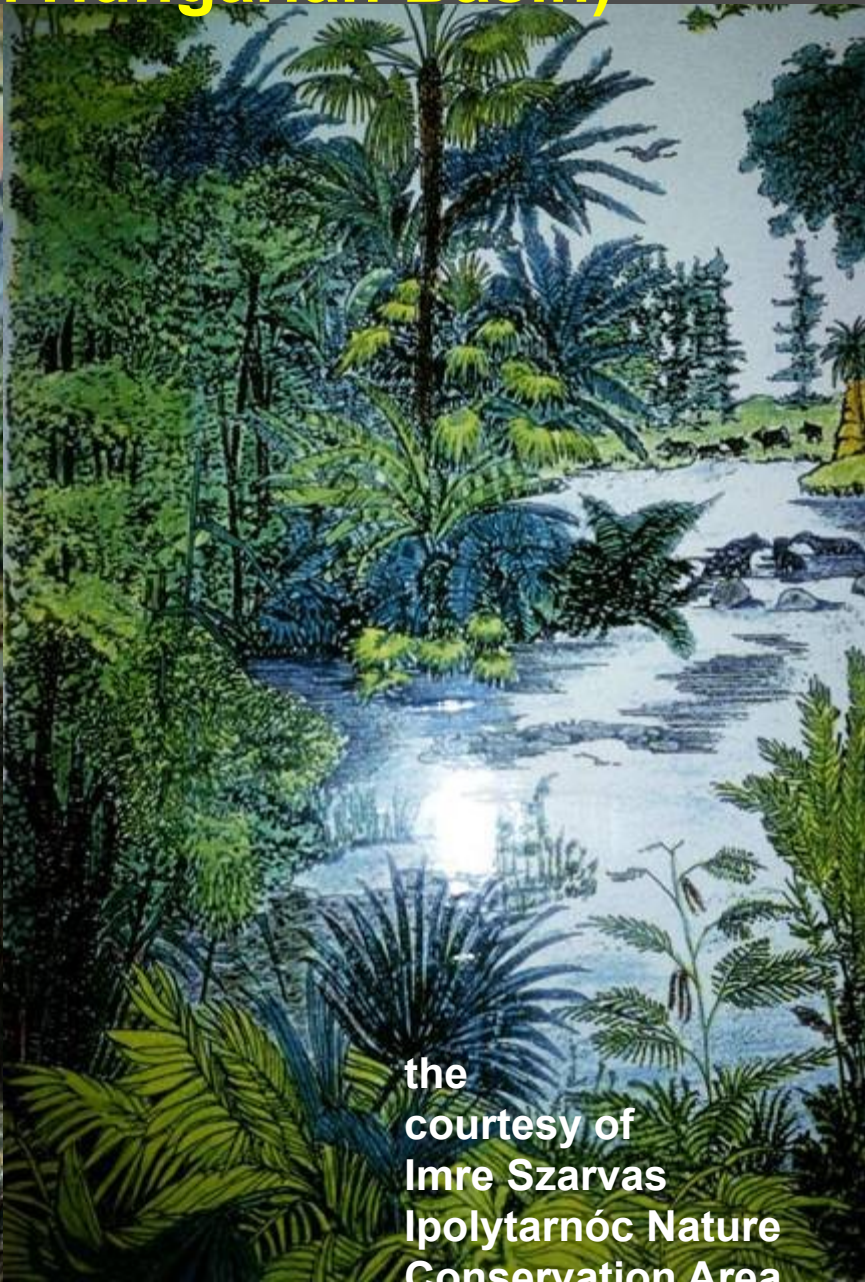
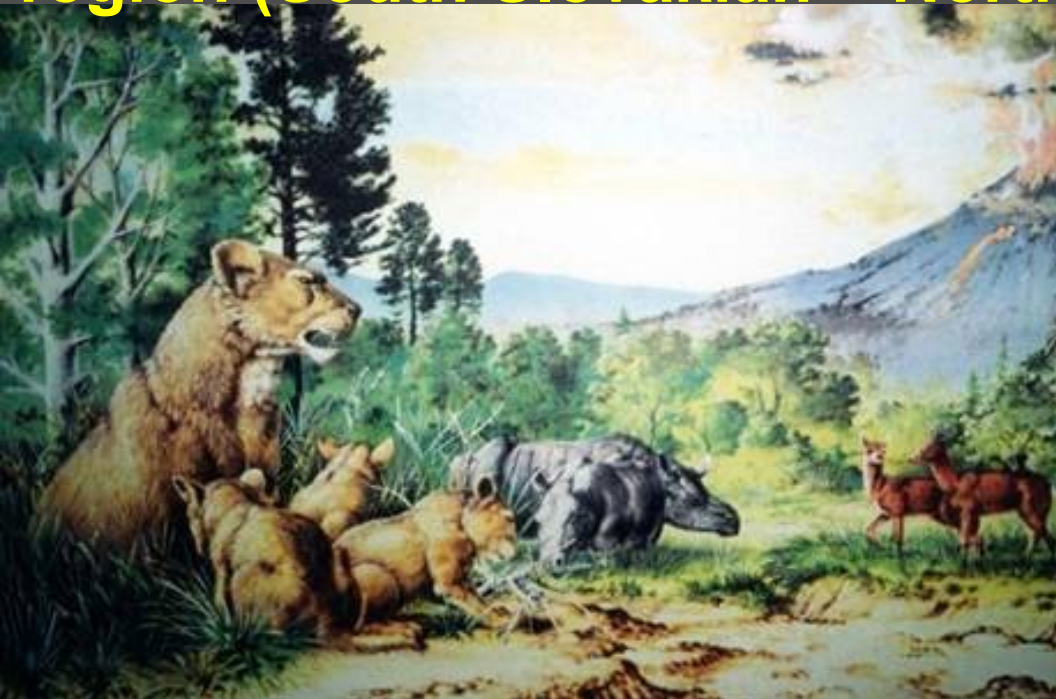
Klima: <humidní, srážky 1000-3000 mm /rok, četné deště v létě, nejchladnější měsíc =4-10 st.C (chladová minima cca 0 st. C.)
MAT 13 – 20 st.C

Jen v některých částech vysoké letní teploty způsobily vysychání substrátu a vznik mikrofynních horských lesů podobně jako v recentu v suchých částech Himalájí



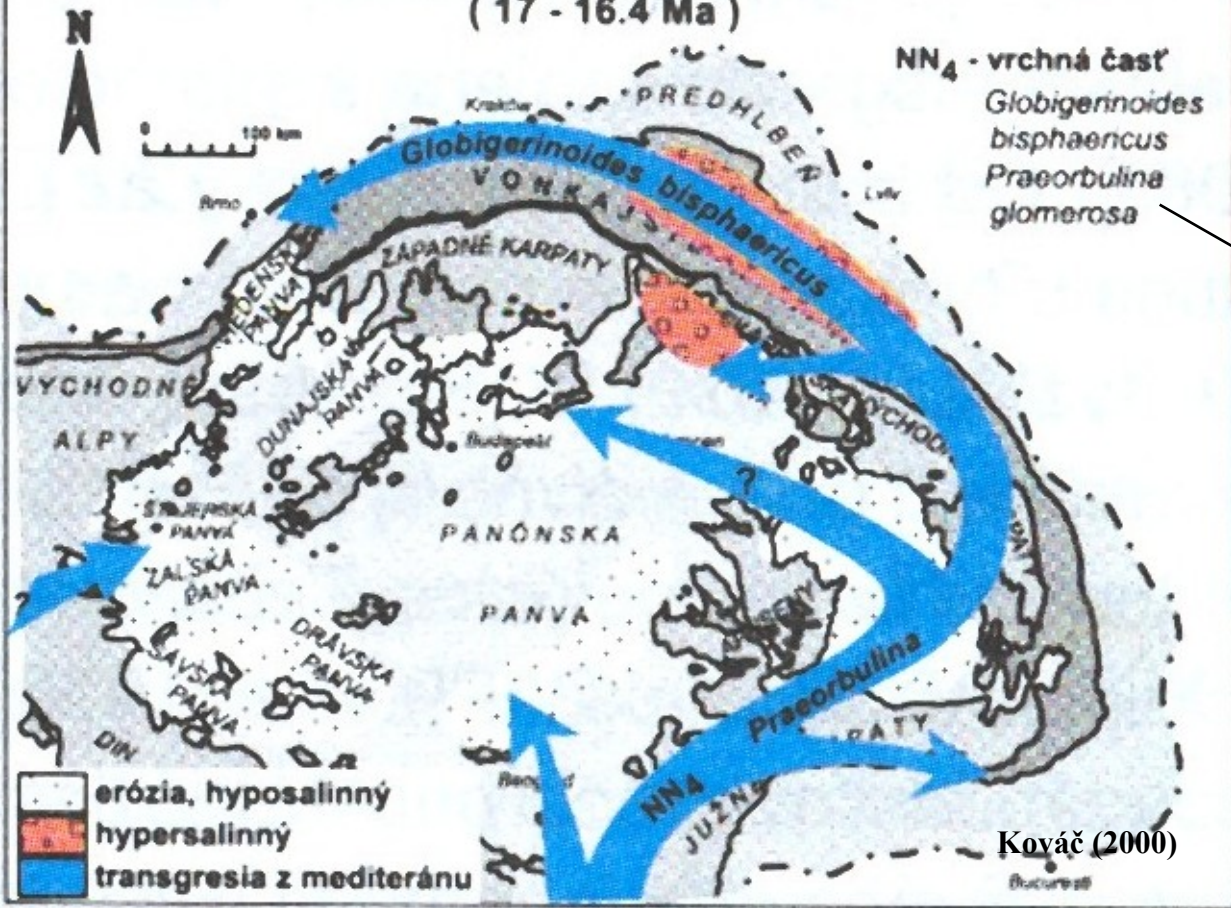
(„Miocene evolution of landscape and vegetation in the Central Paratethys“, KVAČEK et al., 2006)

Early Miocene landscape in the Carpathian - Pannonian region (South Slovakian – North Hungarian Basin)

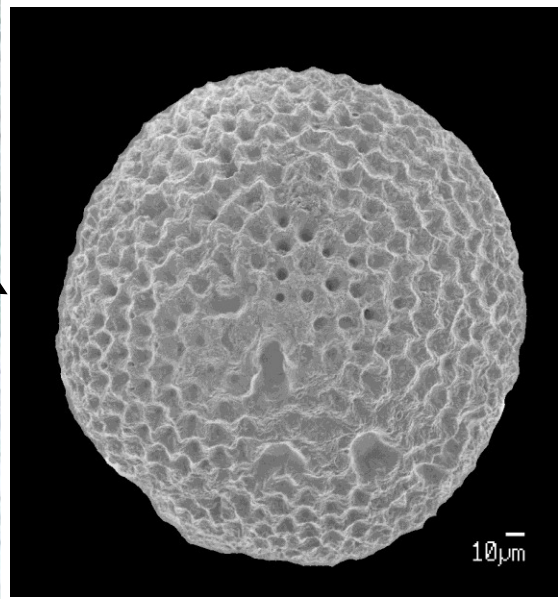


the
courtesy of
Imre Szarvas
Ipolytarnóc Nature
Conservation Area

vrchný karpát - spodný baden
(17 - 16.4 Ma)



NN₄ - vrchná časť
Globigerinoides bisphaericus
Praeorbulina glomerosa



Praeorbulina glomerosa, miocén, Pacific (Foto Hayashi 2007), nástup v CP = 16.1 Ma (spodní baden)

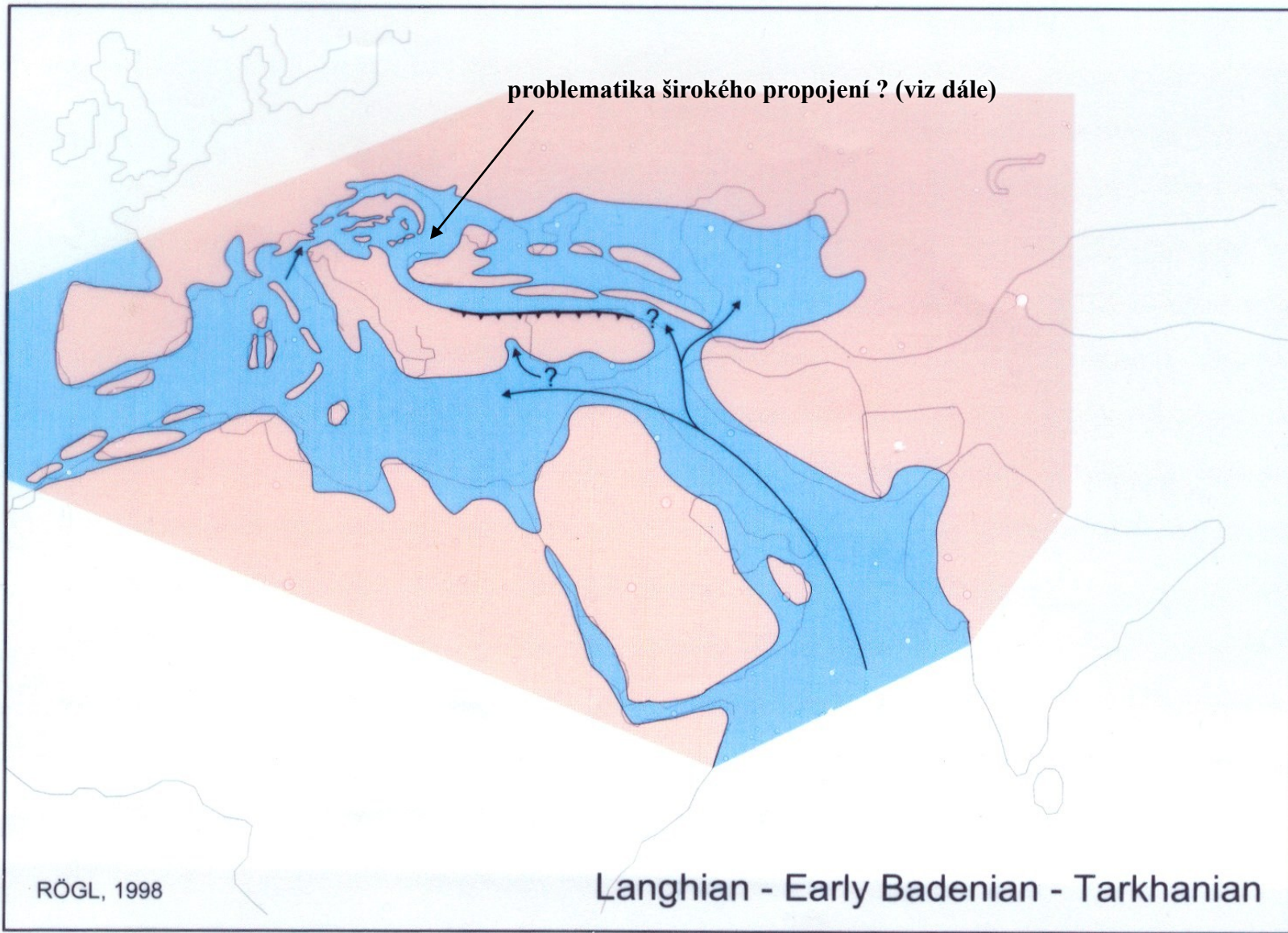
baden



Paleogeografie Středozevní oblasti a Paratethys ve spodním badenu (Harzhauser et al. 2007- int.)

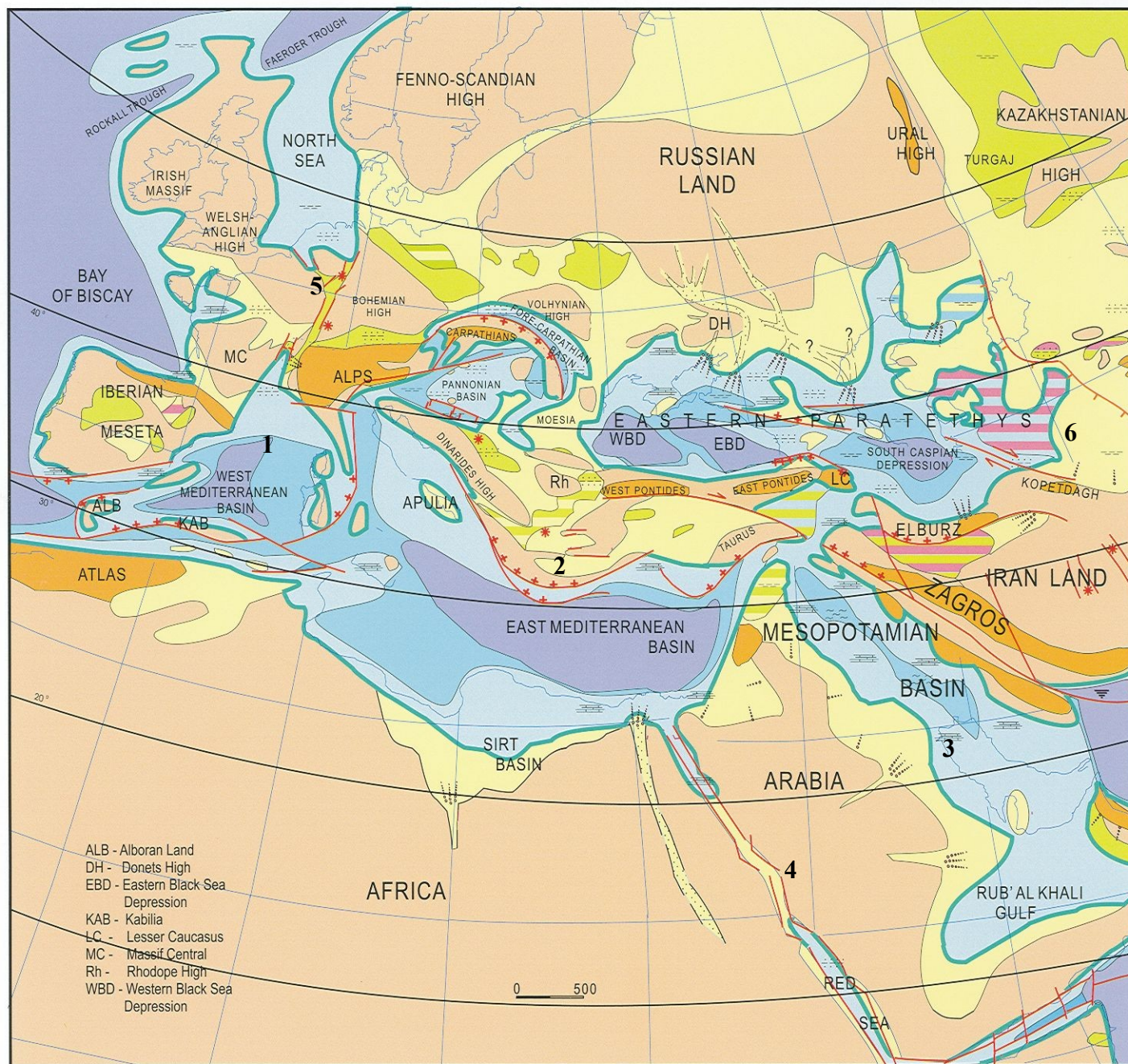


problematika širokého propojení ? (viz dále)



RÖGL, 1998

Langhian - Early Badenian - Tarkhanian



-v širší mediterránní oblasti transgresivní tendence (TB 2.3), oteplení planety i do vyšších zem. šířek => celosvětové rozšíření praeorbulin (Mi-2, klimatické optimum)

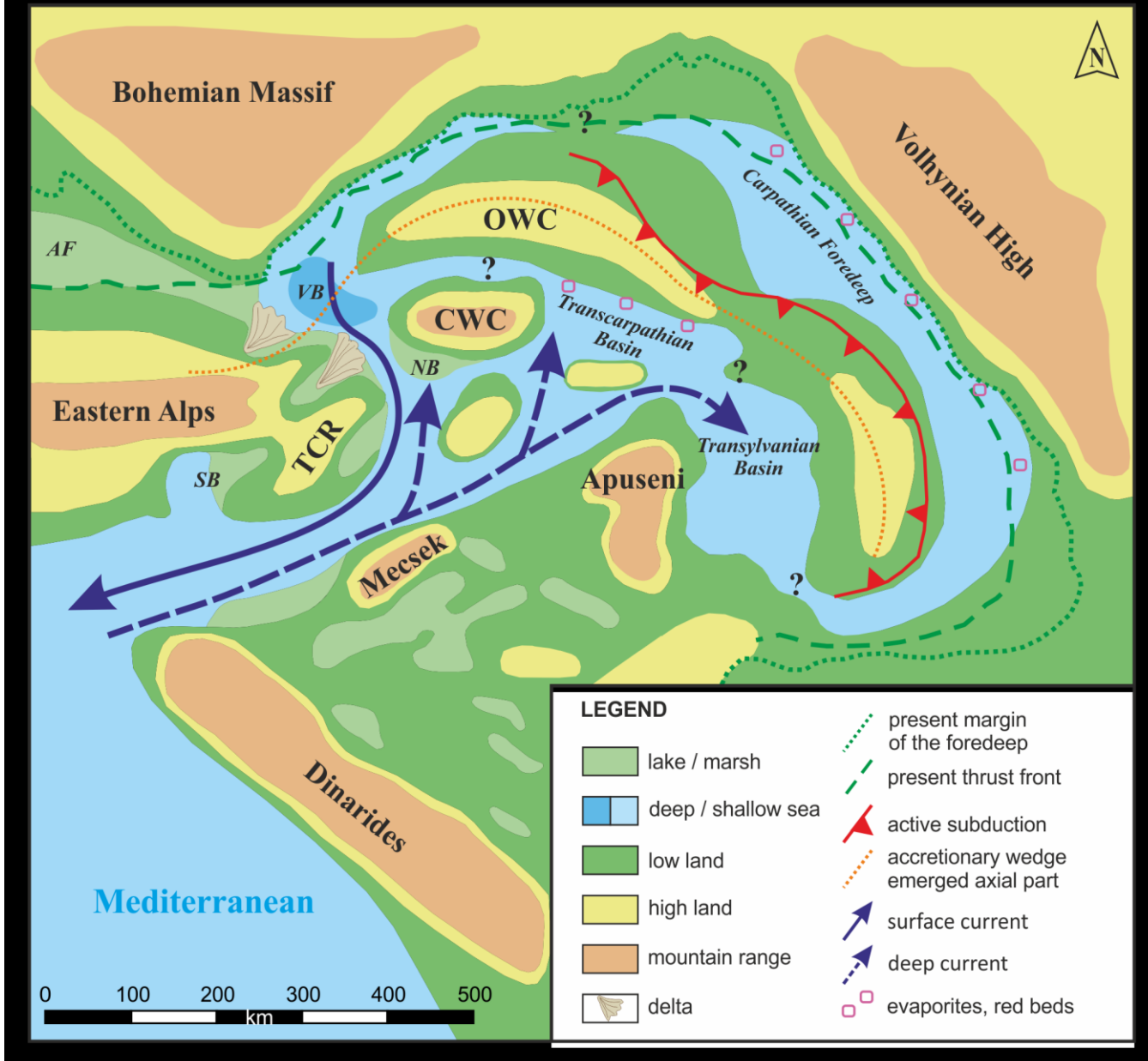
-oceanizace záp. Mediterránu (1) pokračovala, v Egejské oblasti (2) rozsáhlé příkrovy k JZ

-transgrese i na Arabskou desku (3) spojení s Indikem, otevírání riftu Rudého moře (4)

-ZP = svrchní sladkovodní molasa, rýnský prolom uzavřen (5)

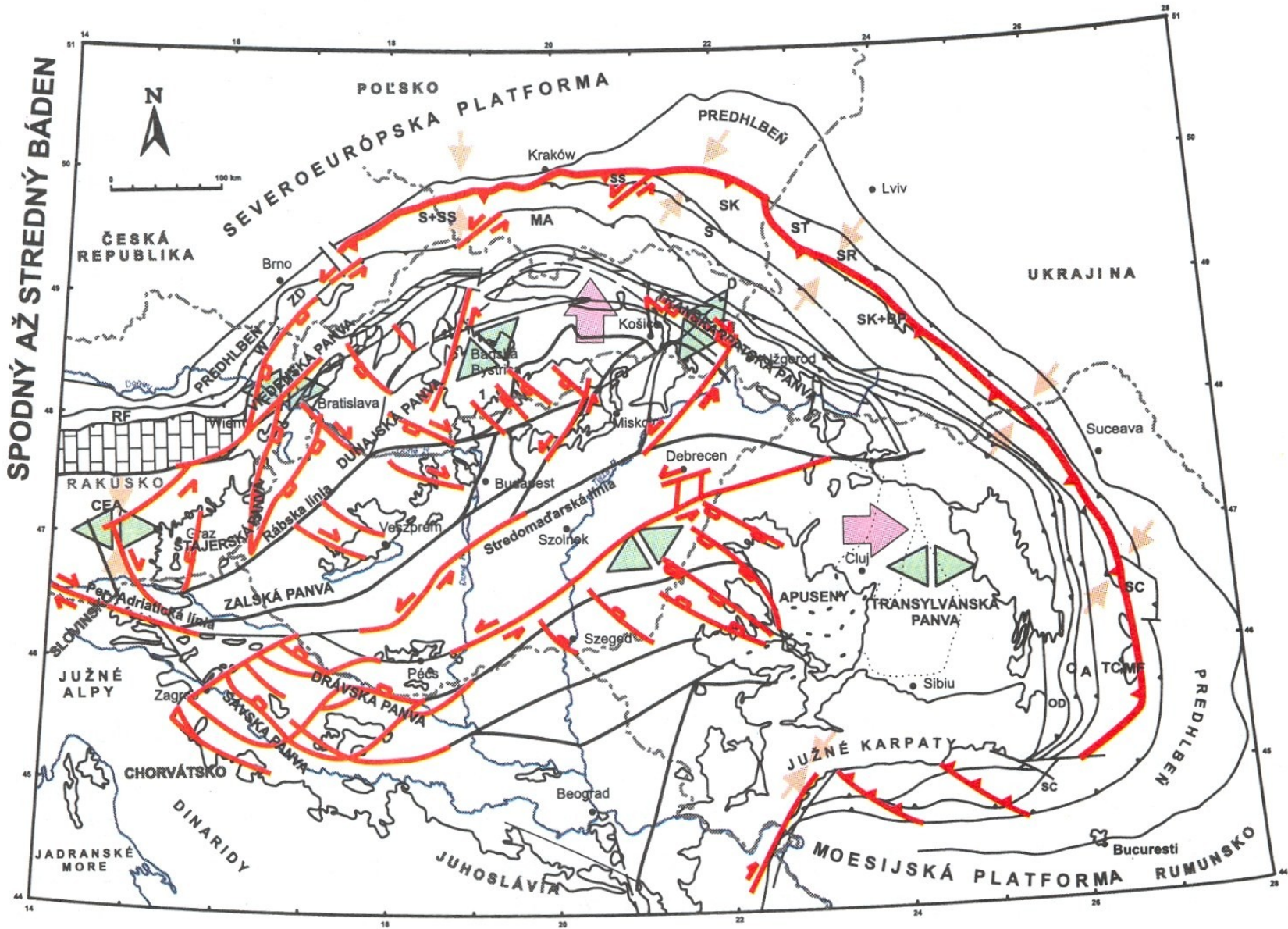
-VP – převládá mořská sedimentace s diferenciací pánevního dna, zvedání kavkazského poloostrova, Kaspická oblast – evapority (6)

- mělký šelf
- hlubší šelf
- šelfové deprese
- k. svah a dna pánví
- brakická oblast
- sladkovodní oblasti
- nížiny
- výšiny
- hory
- evapority



burdigal-lang Kováč et al. (2017)

(cca karpat-sp. baden)



Hlavní tektonické fenomény karpatsko-pannonské oblasti ve spodním-středním badenu (Kováč 2000)

Picha et al. (2006)

?

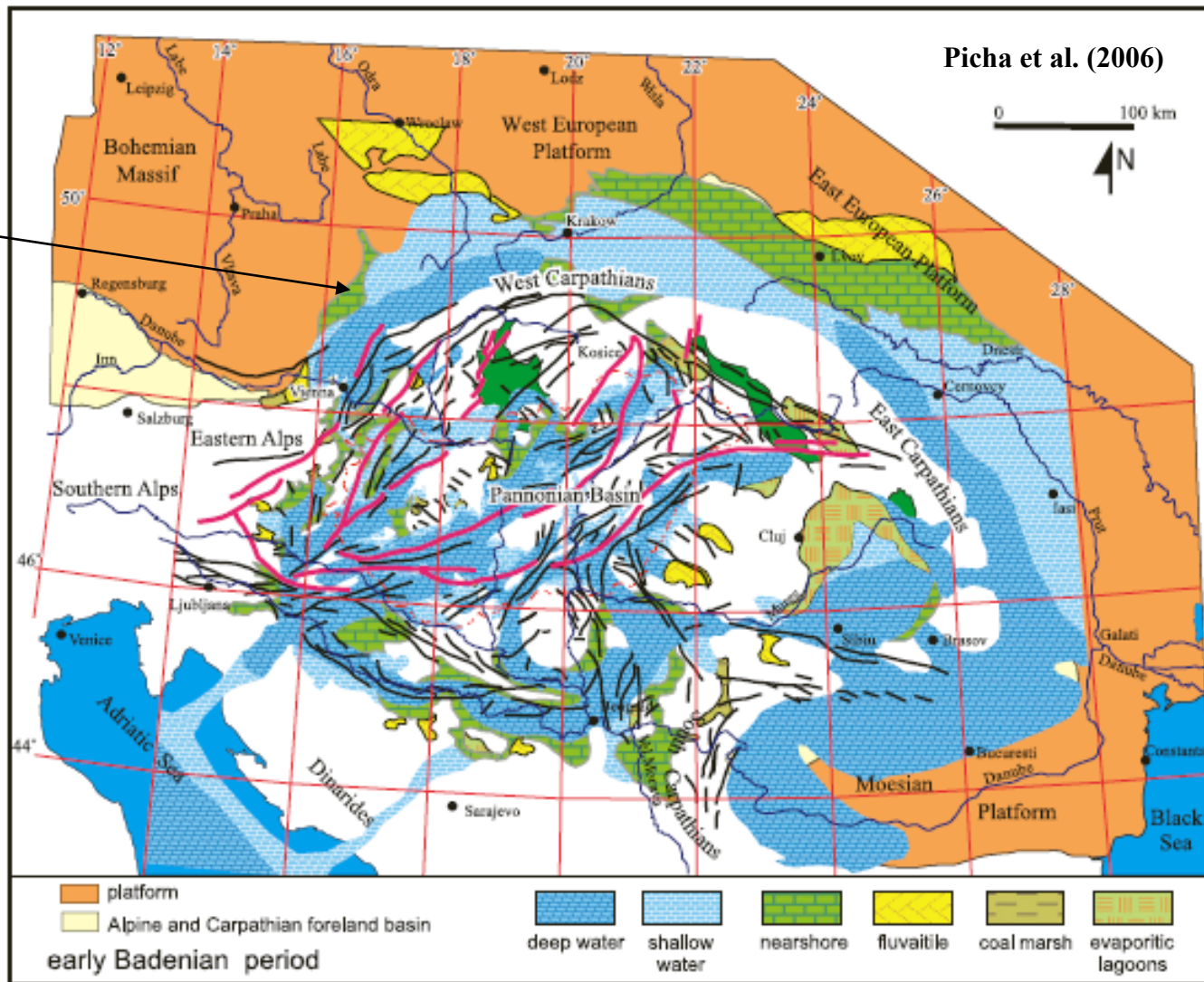
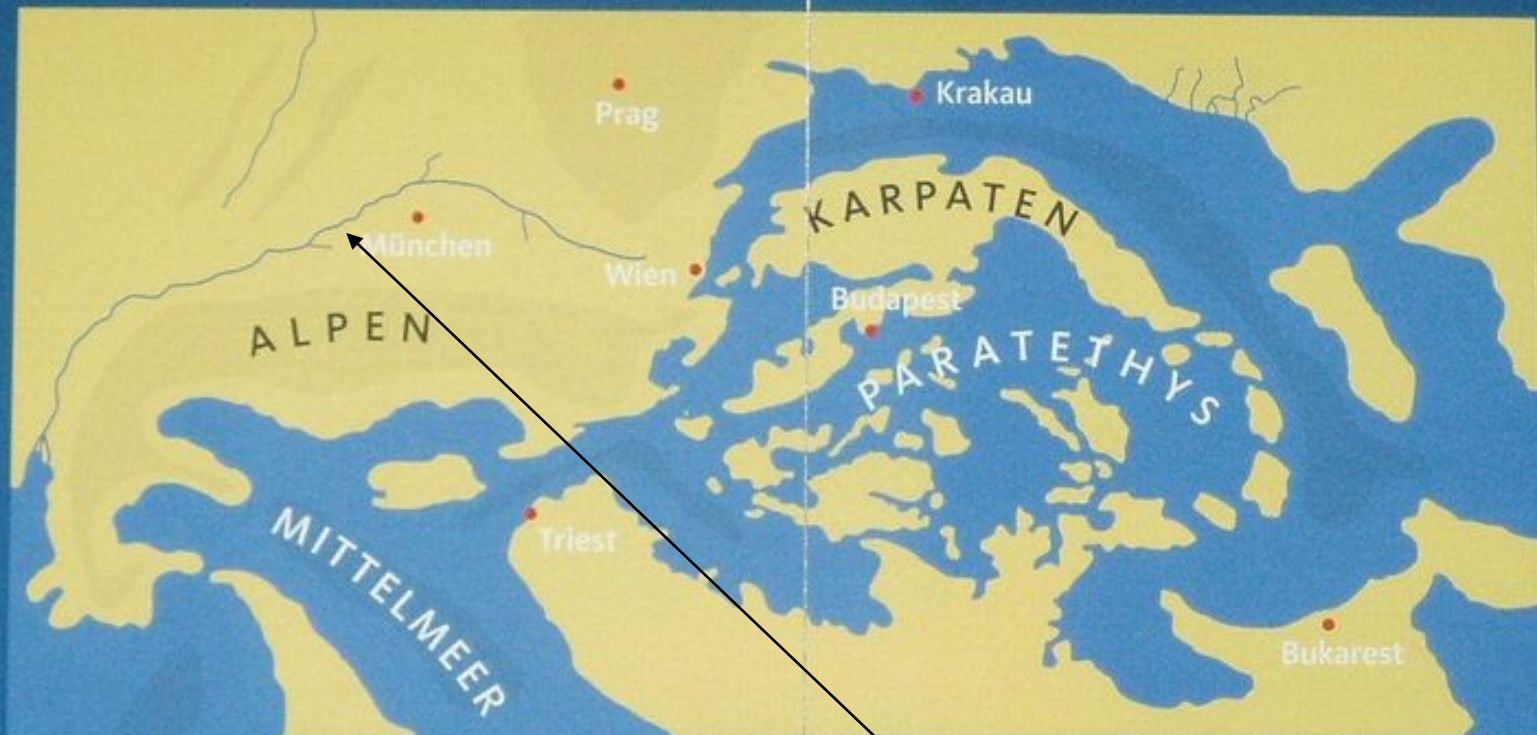


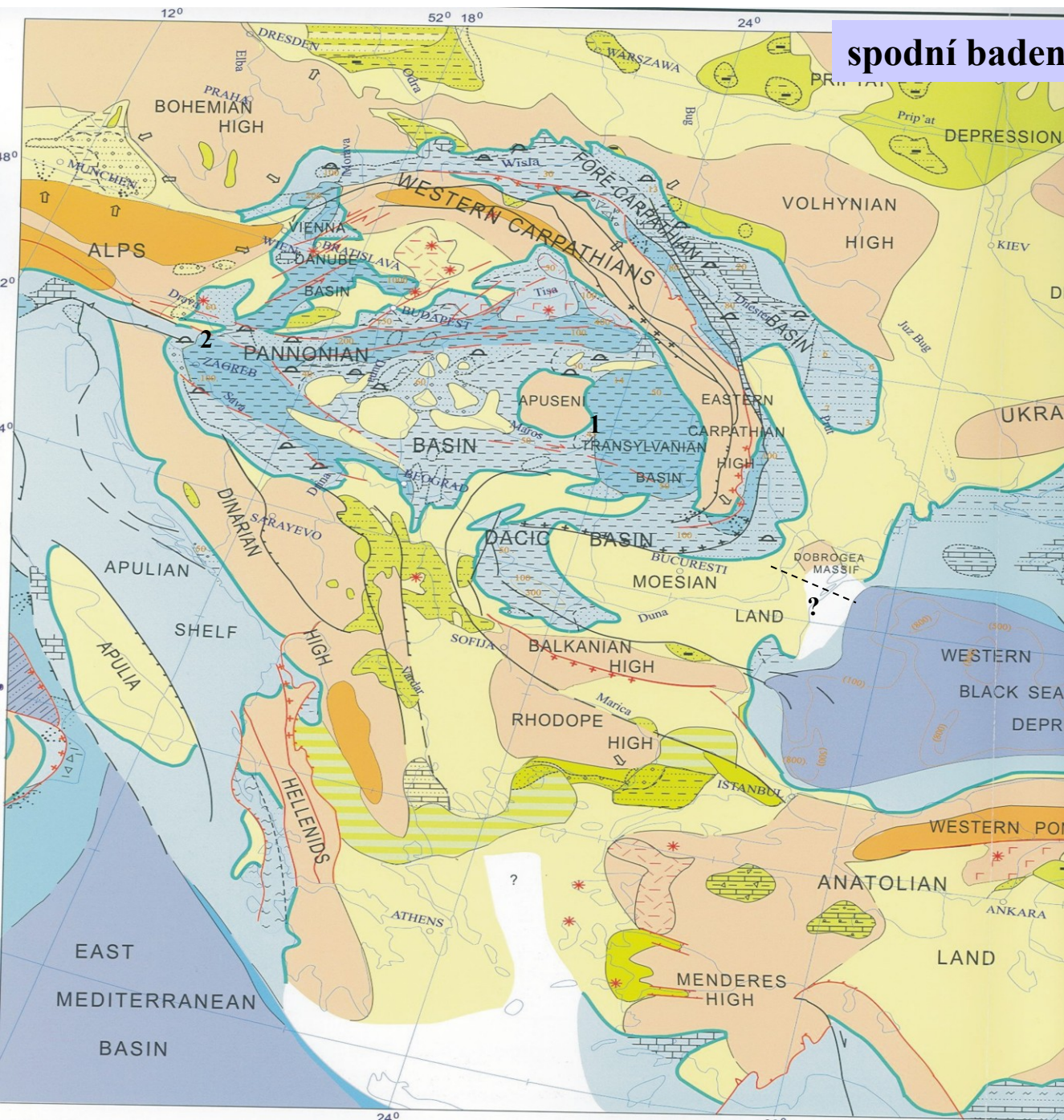
Figure 8. Early Badenian facies map of the Carpathian–Pannonian region (modified from Hamor et al., 2001) combined with fault pattern and fault activity maps from Figures 1 and 3. Northeast–southwest-oriented marine basins in broader orogenic hinterland were formed by major synrift stage. They were controlled by strike-slip and normal faults, many of them having pull-apart mechanisms. They either experienced widening and deepening of their early rift fluvial stages or they were newly formed. Basins were separated by eroding areas and areas of nondeposition. Eastern Carpathian part of the thrust belt was emerging, and adjacent thrust belt and foreland basin parts experienced shallow- or deep-marine conditions. Evaporitic lagoons formed behind the emerging part of the thrust belt. Subduction rollback and hinge retreat were the main engine of controlling tectonic events. Northeastward moving ALCAPA started colliding with the West European platform from west to east along its front. It was bounded and internally deformed by extensive system of strike-slip faults. Main active strike-slip faults of the ALCAPA are in purple. Tisza–Dacia continued in its slower northeastward movement.



Das Molassemeer zieht sich Richtung Osten bis nach Wien zurück. Ein Kuriosum ist, dass dort, wo heute die Donau von West nach Ost fließt, ein Fluss in umgekehrter Richtung floss: Die Rhône hatte ihren Ursprung im Mostviertel westlich von St. Pölten und reichte über die heutigen Täler der oberen Donau und der Saône bis Marseille.

nach Rögl/Repp

Dnešní Dunaj je mladší



spodní baden

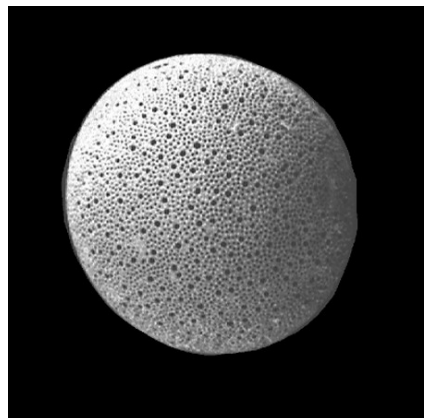
- CP – hluboká depocentra v pannonské oblasti, zvedání Apuseni (1), Mecsek, andezitový vulkanismus (~3000m) stř. a s. Maďarsko, j. Slovensko
- masový výskyt velkých forams (*Amphistegina*, *Planostegina*) – Indo-Pacifické vlivy (těž řasy, korály, ryby)
- vedle oteplení těž teplotní gradient, rify jen v jižních pánvích, teplomilní měkkýši ne v Polsku, naopak zde vyšší diverzita treskovitých ryb
- slovinský koridor (2) otevřený, od štýrské p. až po transylvánskou a Kp diverzifikovaná tropicko-subtropická fauna
- hydrologický režim se oproti karpátu změnil = mediterránní typ cirkulace, prokysličené vody, málo organiky u dna, vysoký obsah CaCO₃, převaha pelitů s řasovými vápenci a písky
- ekostratigrafická zonace (Grill 1942), společenstva forams (spodní a svrchní lagenidová zóna) aplikace z Vp i do dunajské pánve a Kp.

- mělký šelf
- hlubší šelf
- šelfové deprese
- k. svah a dna pánví
- brakická oblast
- sladkovodní oblasti
- nížiny
- výšiny
- hory
- evapority

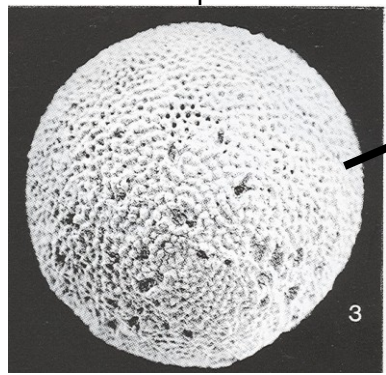
Ukázka významných druhů planktonních forams v badenu CP

recent

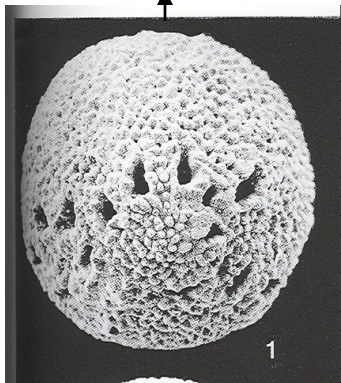
↑
čas
↓



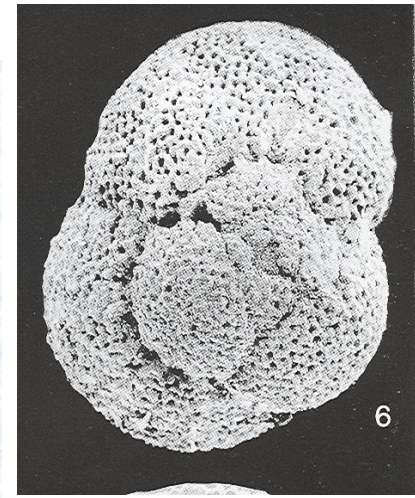
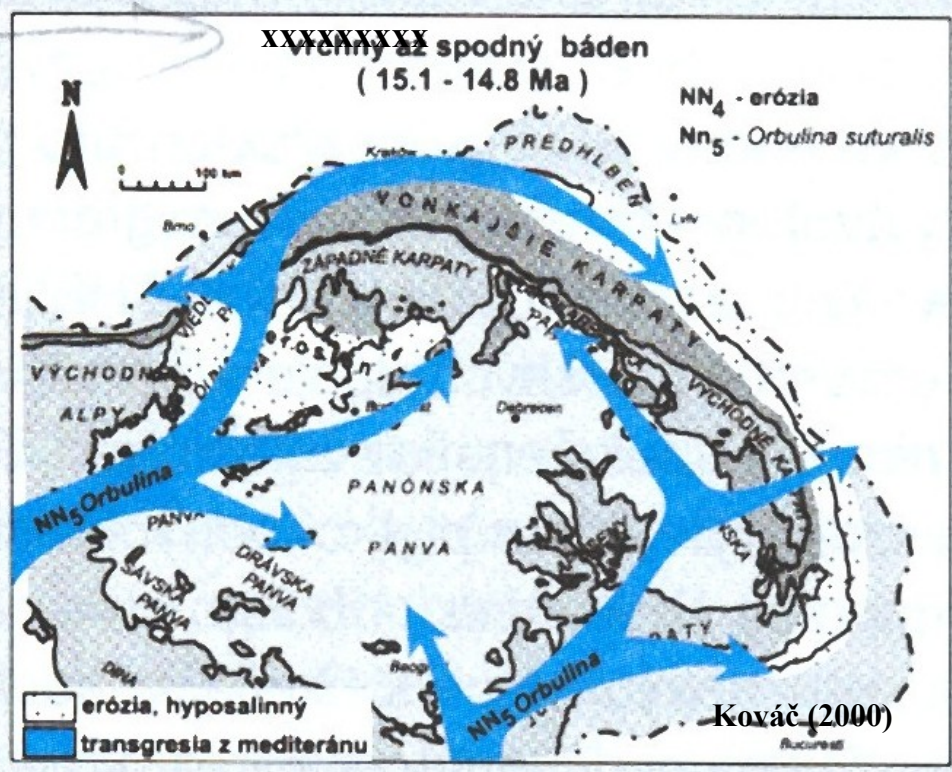
Orbulina universa d'Orb.



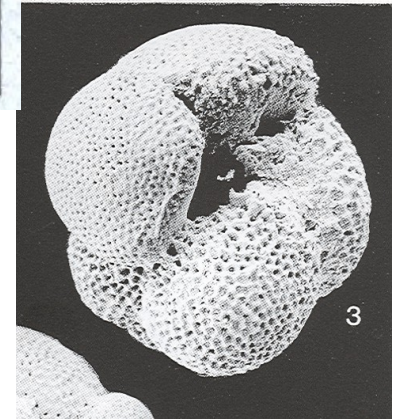
Orbulina suturalis Br.



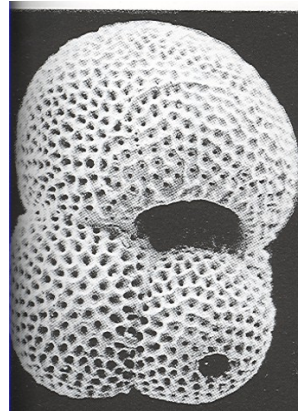
Praeorbulina glomerata circularis (Bl.)



Velapertina indigena Lucz.
(svrchní baden)

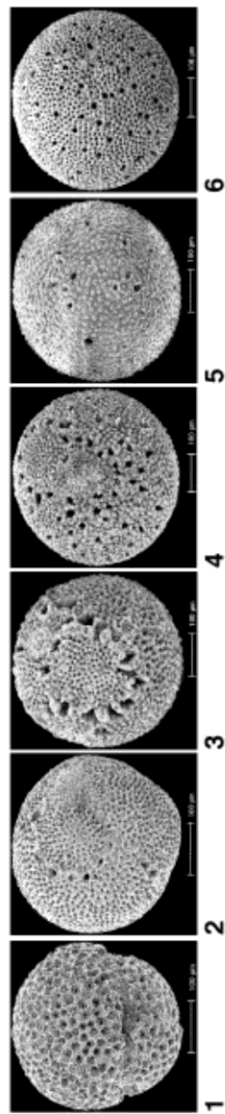


Globoquadrina altispira (C. et J.)
(baden)



Globigerinoides trilobus Rss.,
(eger – svrchní baden)

čas



Orbulina universa - recent

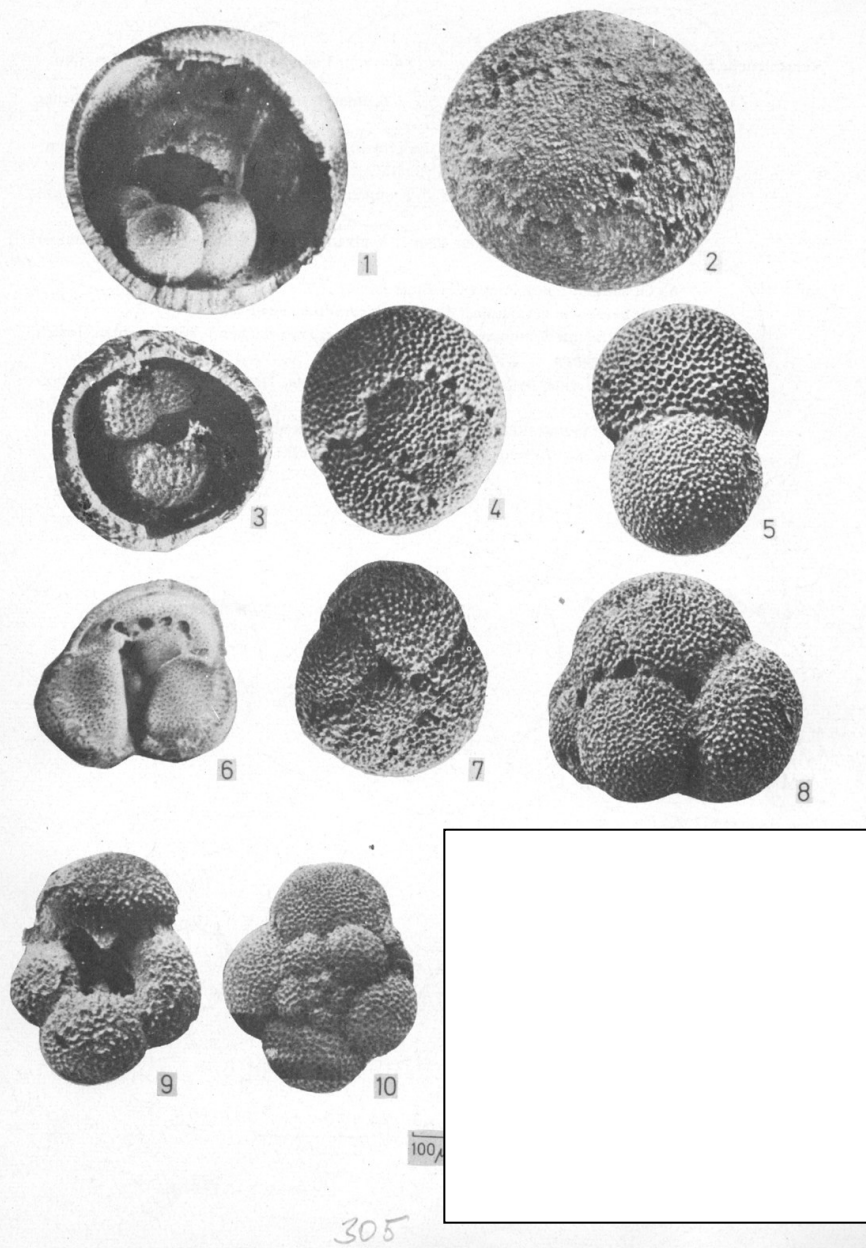
Orbulina suturalis - 15,1 Ma

Praeorbulina circularis - 16,0 Ma

Praeorbulina glomerosa - 16.1 Ma

Praeorbulina sicana - 16, 4 Ma

postupná změna schránek orbulin a nástup jednotlivých druhů v neogénu za posledních 16 milionů let



1, 2 *Orbulina suturalis* Br.
kosov, Breschitza, Rumunsko

3,4 *Praeorbulina glomerata* Blow
morav, Brno

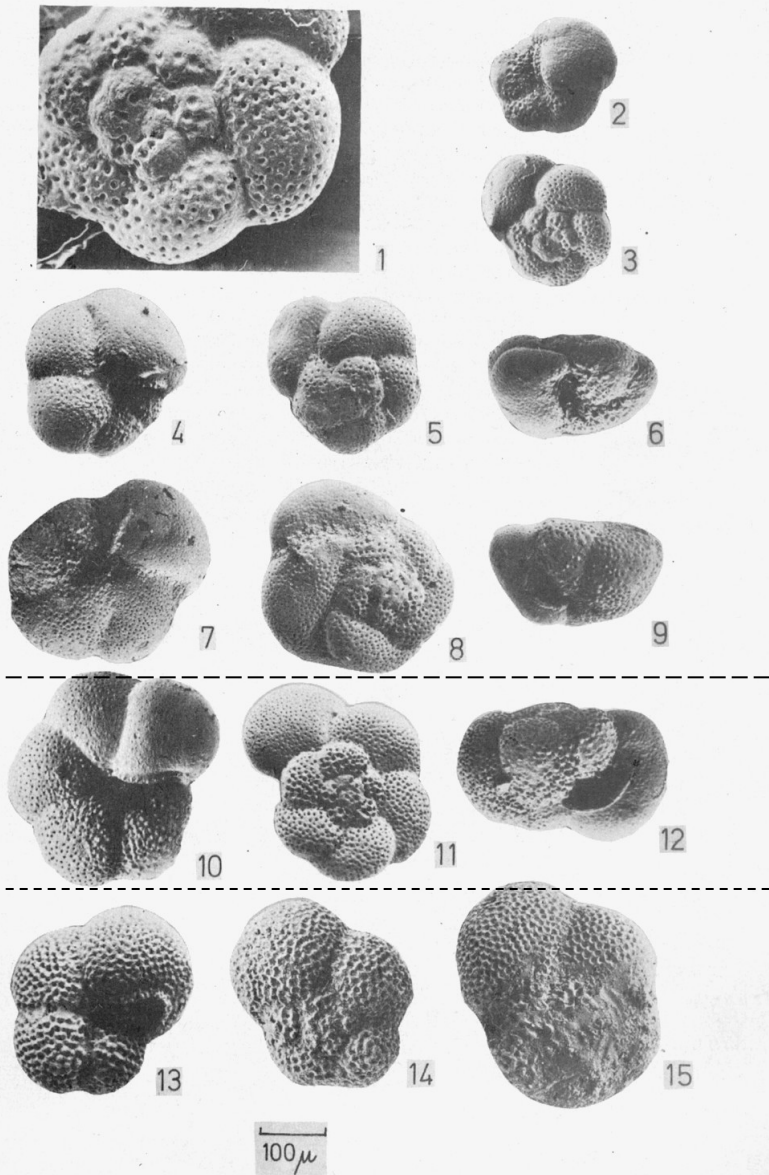
5 *Biorbulina bilobata*
morav, Baden-Sooss,

6-8 *Velapertina indigena* (Lucz.)
kosov, Valea Morilor, Rumunsko

9,10 *Globoquadrina altispira globosa* Bolli
morav, Baden-Soos

Typické planktonní foraminifery
badenu CP (Papp et al. 1978)

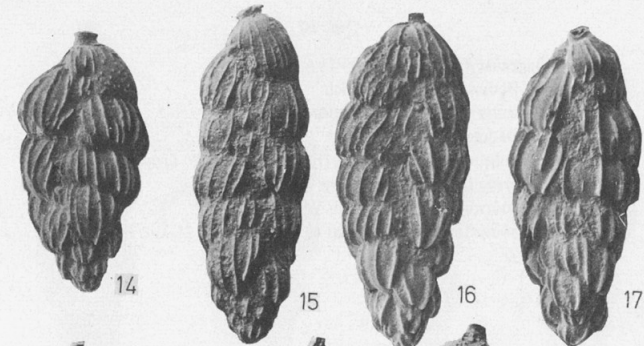
Typické planktonní foraminifery
badenu CP (Papp et al. 1978)



1-9 *Globorotalia bykova* (Ais.), div. ssp.
spodní a střední baden, Rakousko

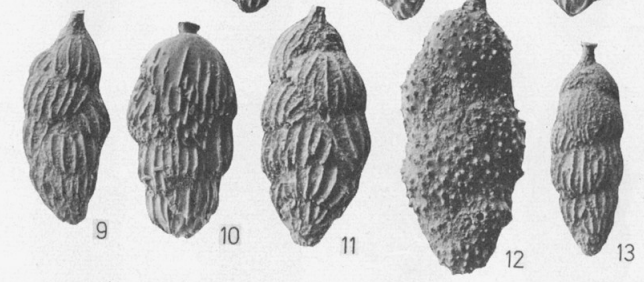
10-12 *Paragloborotalia mayeri* Cush.-El.
morav, Brno

13-14 *Globorotalia siakensis* Le Roy
morav (Frättingsdorf, 13, 14),
kosov (Breschitza, 15)



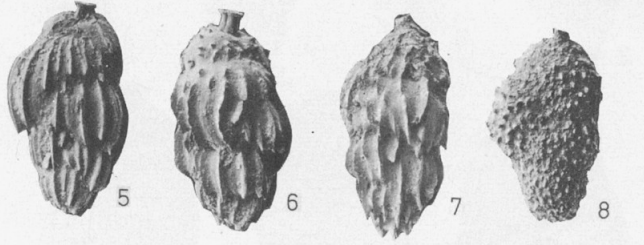
14-17 *Uvigerina liesingensis* Toula
kosov, Wien

svrchní baden



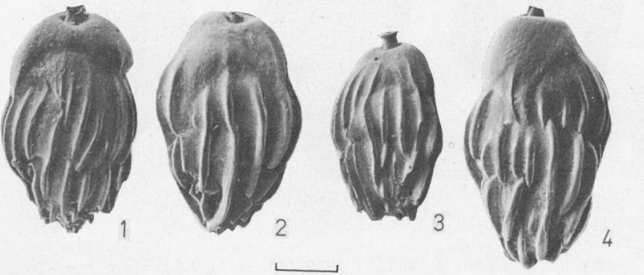
9-12 *Uvigerina venusta* Franzénau
wielicz, Wien
13 *Uvigerina cf. pygmaea* d'Orb.
wielicz, Müllndorf, Rakousko

střední baden



5-8 *Uvigerina grilli* Schmid
morav, Baden-Sooss

spodní baden



1-4 *Uvigerina macrocarinata* Papp-Turn.
morav, Brno

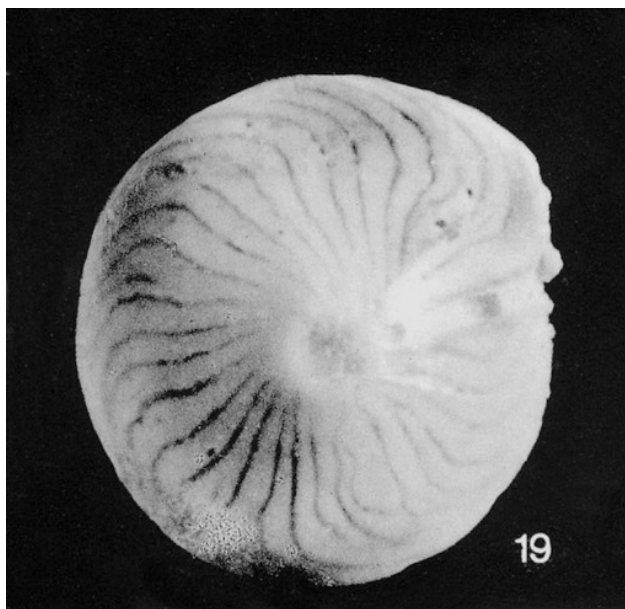


Typické uvigeriny
badenu CP (Papp et al. 1978)

Další stratigraficky významné mikrofosílie spodního badenu:



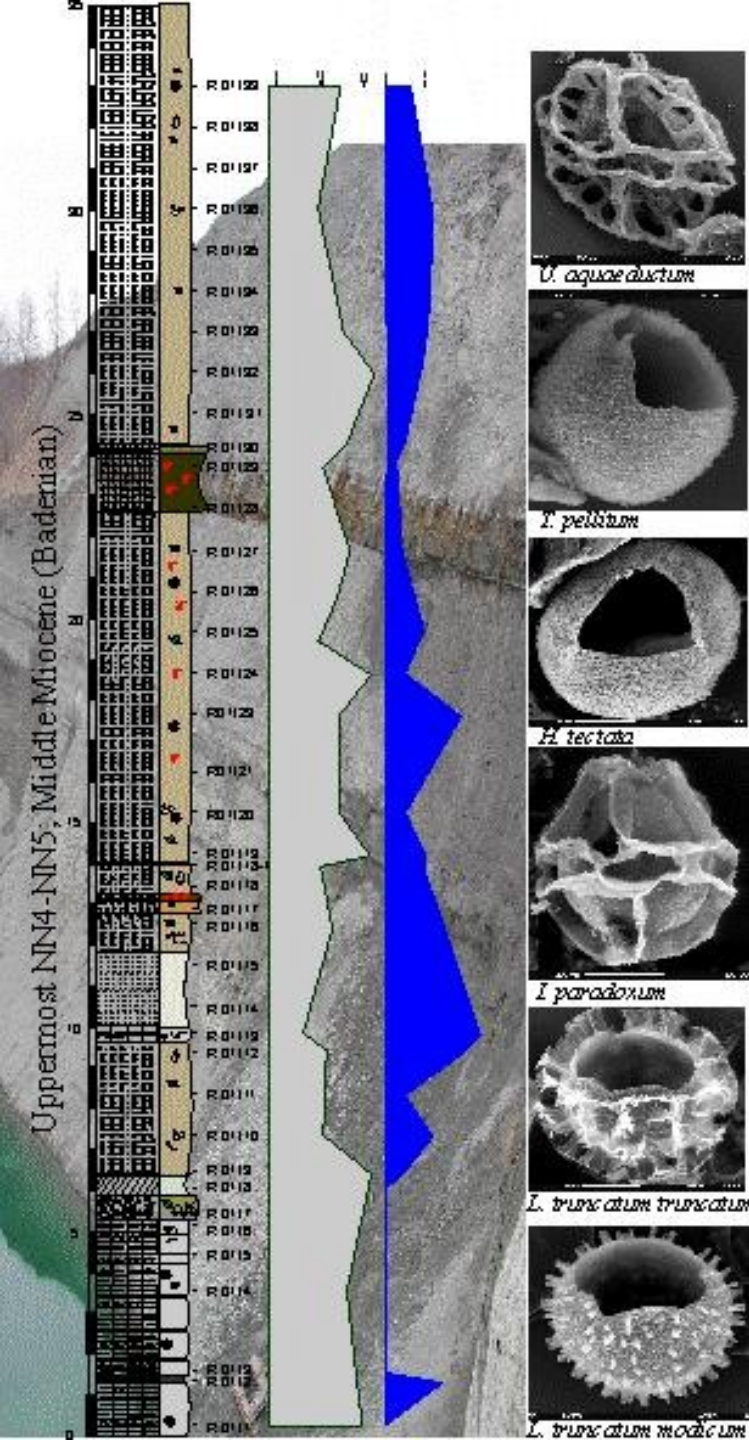
Helicosphaera ampliaperta
(LO ve spodním badenu, hranice NN4/NN5)



Amphistegina mammilla (F. et M.)
mělkovodní facie badenu

Ma	Hilgen et al. (2012)	Polarity Chron	Epoch	Mediterran. Stages	Paratethys Stages (Kováč et al. 2017)	Plankton Zones Wade et al. (2011)	Nannoplankton Martini (1971)	Position of studied localities	3th Or. Seq. Hardenbol et al. (1998)			
					Vienna B. Ecozones							
12		C5A	MIDDLE	Serravallian	Sarmatian	B. sarmatica P. granosum E. hauerin. E. reginum A. dividens	NN 7	FO <i>Reticulofenestra umbilicus</i>	TB 2.6			
13		C5AA				Late			Bulimina/ Bolivina Z.	<i>Fohsella fohsi</i> Zone M9	NN 6	Serr 3
		C5AB			13.82		Agglut. Fms Zone					<i>Fohsella praefohsi</i> Zone M8
14		C5AC				Badenian			Lower Upper Lagenidae Zone	<i>Fohsella periferioacuta</i> Zone M7	NN 4	
		C5AD	Early	15.10	<i>Orbulina suturalis</i> Zone M6		NN 5	13.82				14.24 TB 2.4
15		C5B						Langhian				14.91
16		C5C	EARLY	Burdigalian	Karpatian	16.38	LO <i>Helicosphaera ampliapertura</i> LCO <i>Helicosphaera waltrans</i> LO <i>Sphaerolithus heteromorphus</i>		15.032			
								16.303	TB 2.3			
								TB 2.2				

Současná stratigrafická tabuľka CP dle Kováč et al. (2017)



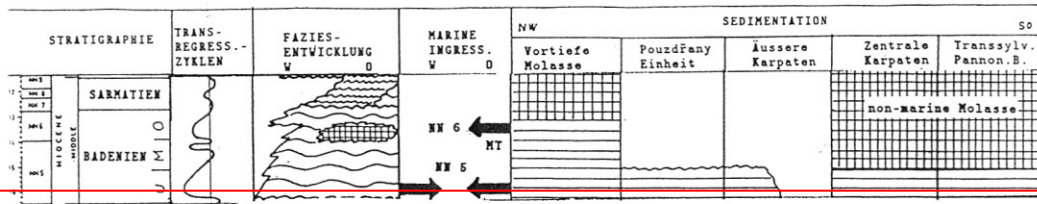
Dinocysty – stratigrafické využití
v badenu štyrské pánve
(podle Soliman et Piller, 2006)

Impakty, Bavorsko, 14.9 Ma

Ries

Steinheim

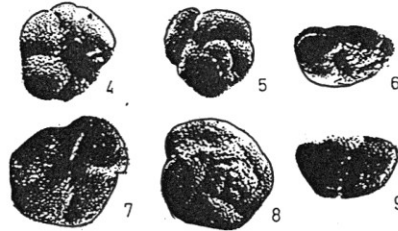




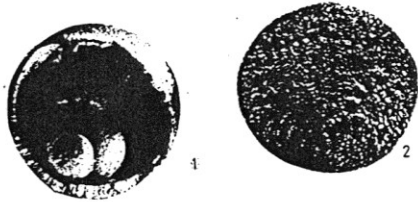
Široká komunikace, marinní sedimentace ve všech pánvích CP



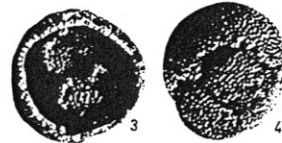
Uvigerina macrocarinata P.-T.



Globorotalia bykovae (Ais.)



Orbulina suturalis Br.

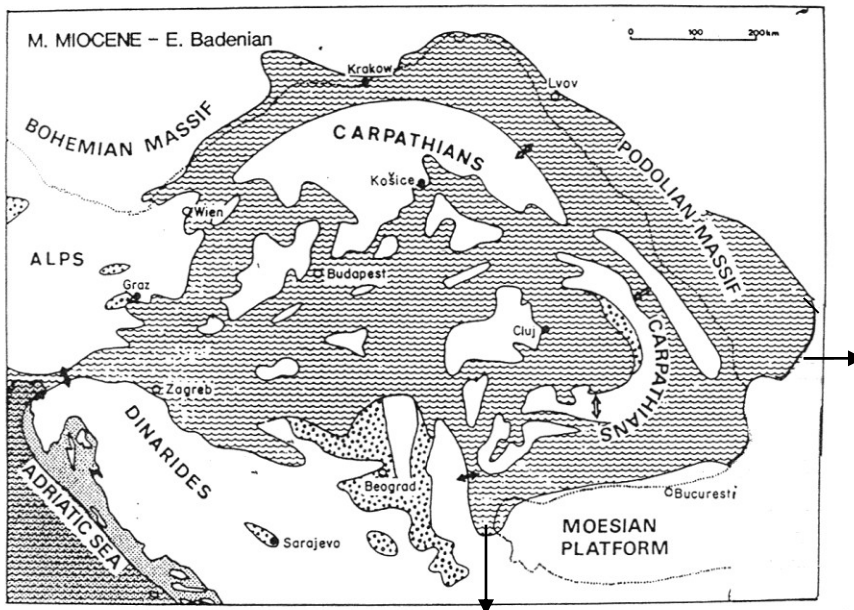


Praeorbulina glomerosa Bl.

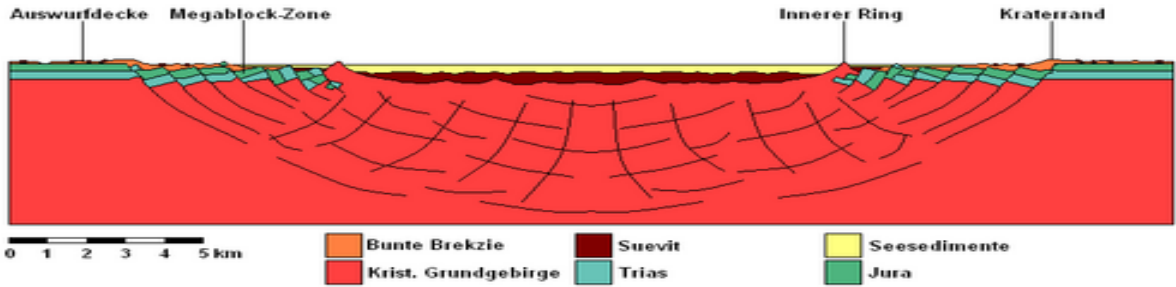
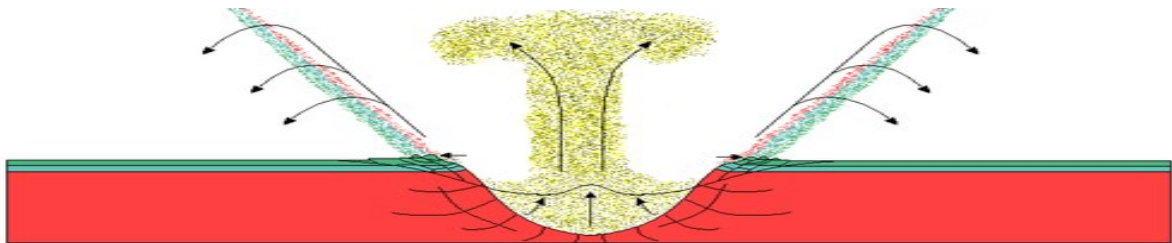
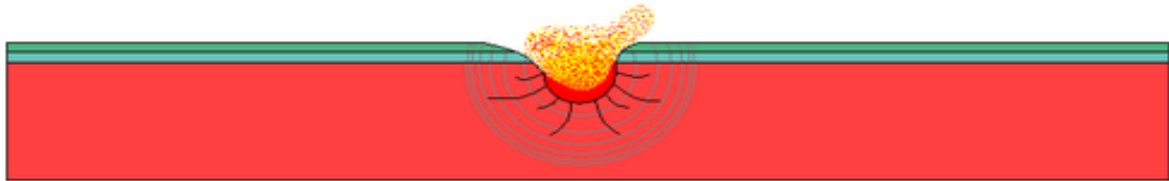
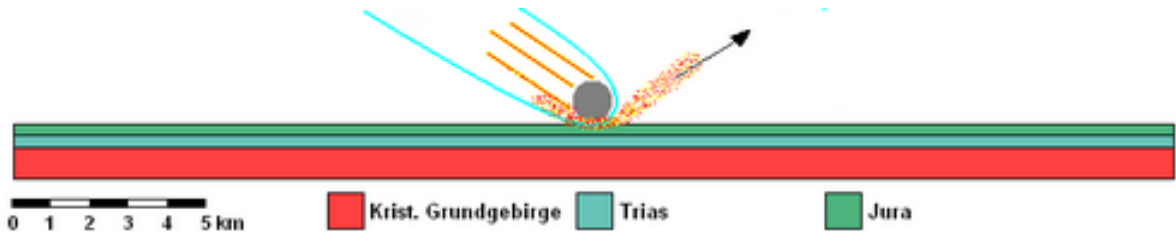
Klima: <humidní, srážky 1000-3000 mm /rok, četné deště v létě, nejchladnější měsíc =4-10 st.C (chladová minima cca 0 st. C.) => zhruba stejné jako v karpátu MAT 13-20 st. C.

Litologie: < pelity („tégly“), vápnité písky, řasové/mechovkové vápence

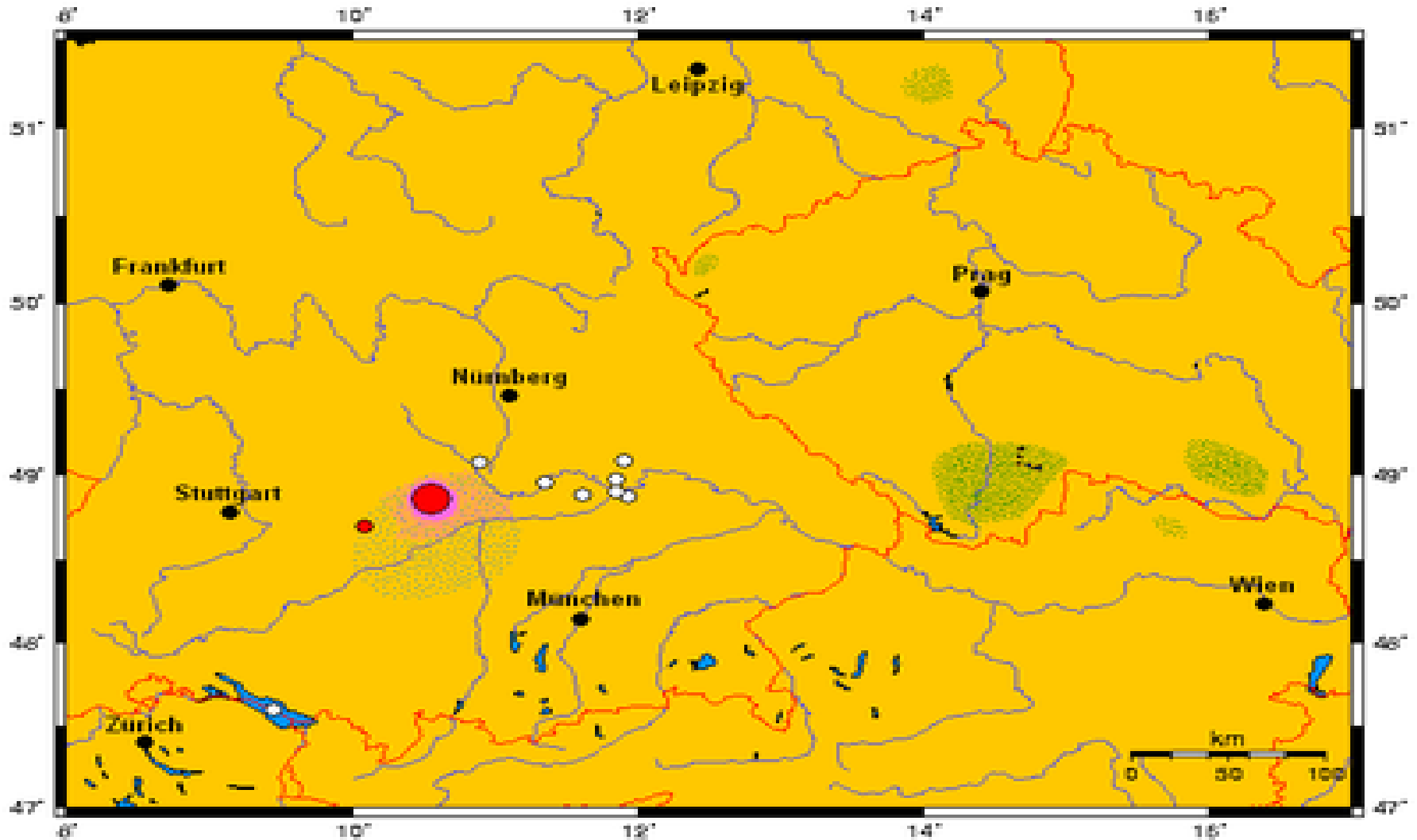
Vp: lanžhotské souvrství
Kp: brněnské písky, nevrstevnaté vápnité jíly (tégly) řasové/mechovkové vápence

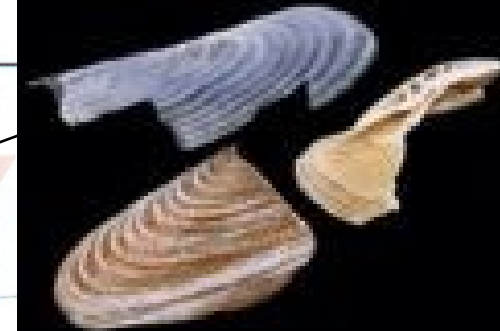
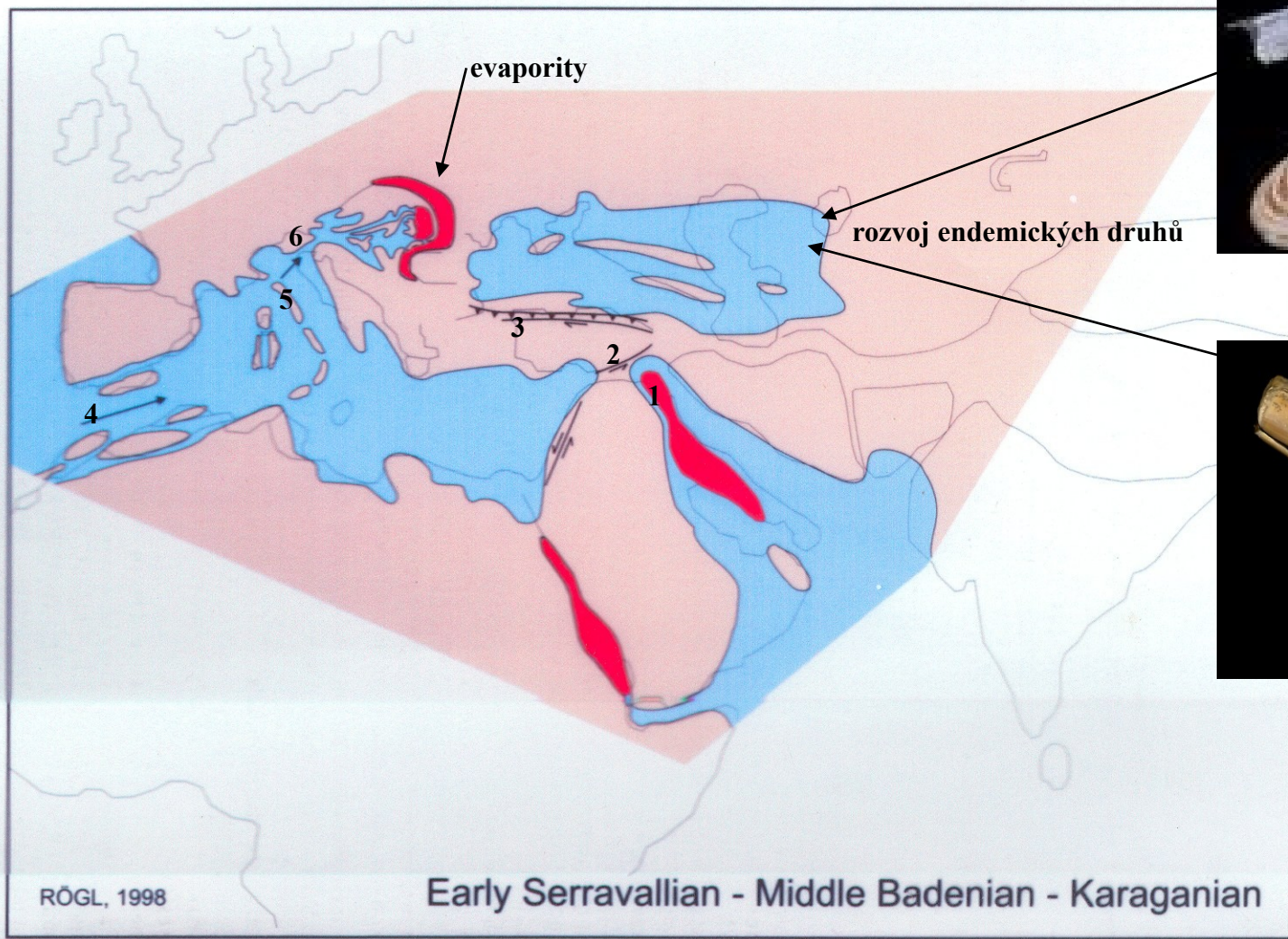


Průběh impaktu Ries



Distribuce materiálů spojených s impakty Ries a Steinheim, červeně- brekcie, sutě; modře – bloky vápenců; zeleně – rozptylová pole moldavitů





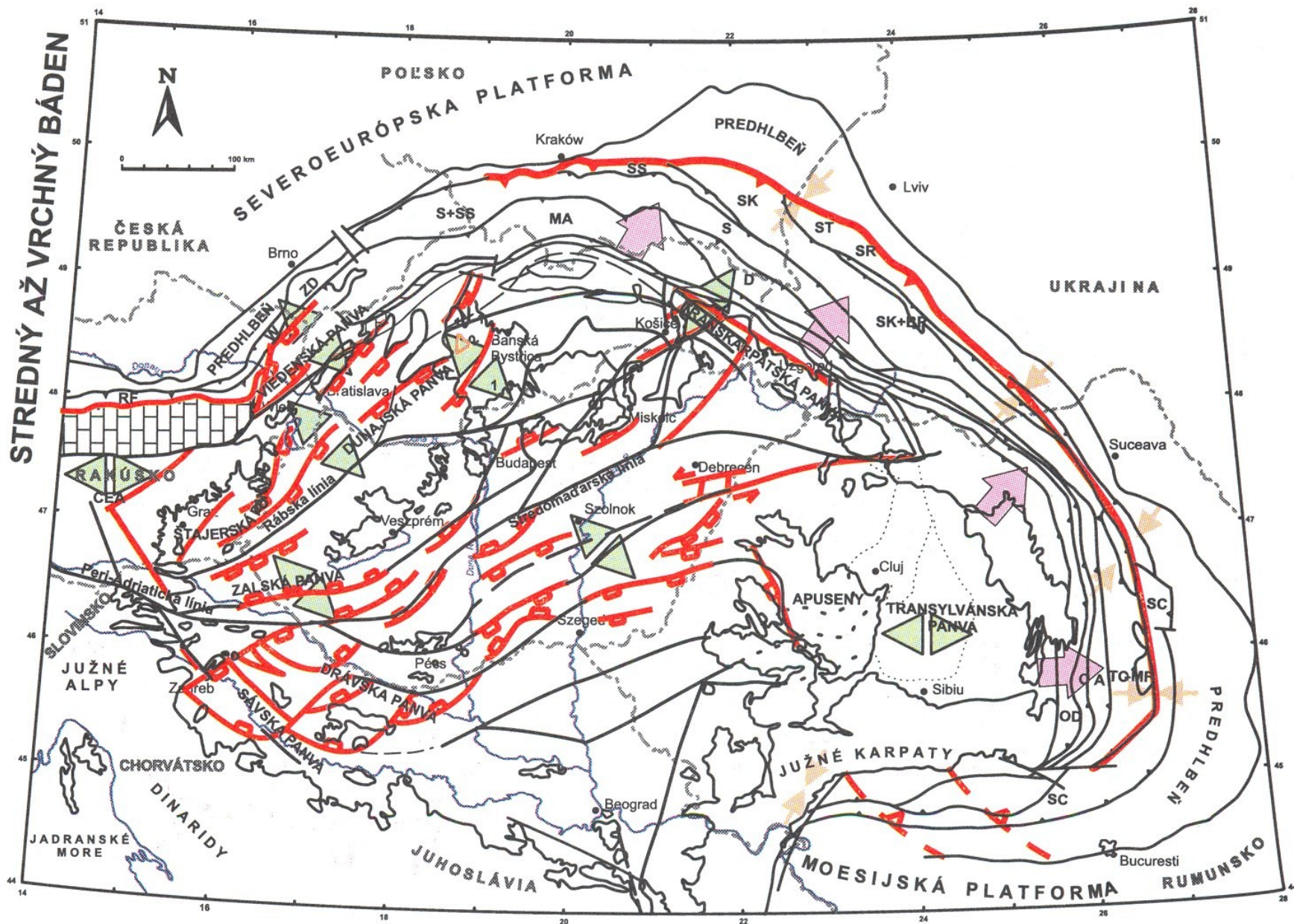
Pholas



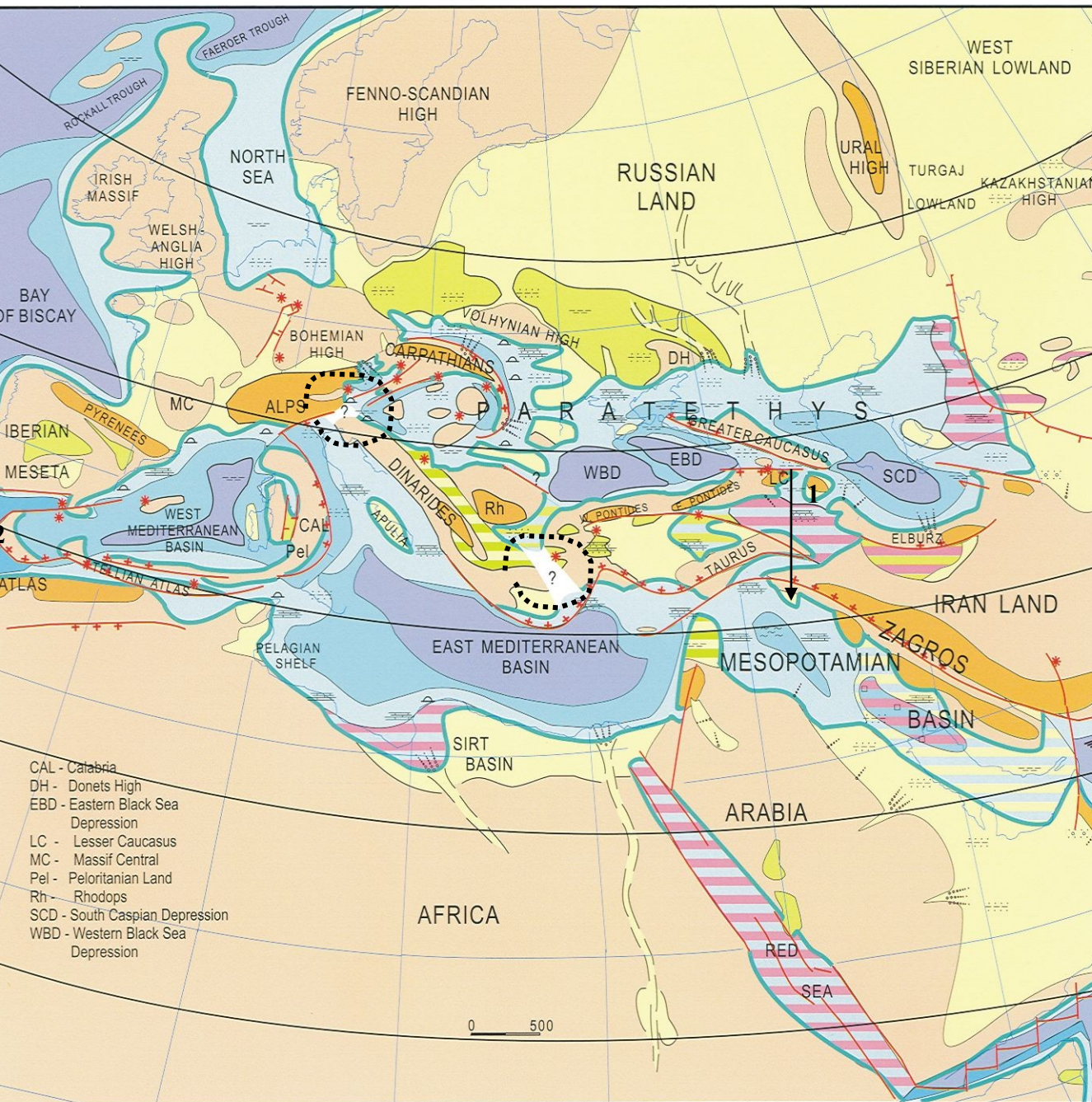
Solen

Serraval = období regrese (evapority), přerušeno spojení v Mezopotámii s Indikem (1) – bývá korelováno s rozšířením východoantarktického ledovce, změny v oceánském proudění (vyšší poměr delta O18 a delta C13) ; aktivní je levantský zlom (2) a anatolský zlomový systém (3), anatolská deska je vytlačována k Z; zvedají se Apeniny (5), spojení s Atlantikem nepřerušeno (4), slovinský korridor (6) nepřerušeno,

VP – změna režimu na brakický - karagan je již plně izolovaný s endemickou měkkýší faunou (*Spaniodontella*, *Solen*, *Pholas*), koncem karaganu se spojení k jihu opět otevírá (marinní sedimenty araxské deprese)



Hlavní tektonické fenomény karpatsko-pannonské oblasti ve středním-svrchním badenu (Kováč 2000)



Pokračují zdvihy v Appeninách, Jižních Alpách a Karpatech, litavská fáze zvedla výrazně alpsko-karpatsko-dinarské řetězce

VP spojena s Mediterránem na JV opět otevřenou araxskou cestou (1) a kolem Malého Kavkazu, obecně ve VP převládala mělkovodní sedimentace s četnými evapority, v závěru konkka se snížila i salinita na ~ 20 ‰. Krátký návrat k mořským podmínkám lze pozorovat v nejvyšším badenu („mořská rekurence“ Kollman 1965 – i ve štýrské pánvi)

Spojení s Indikem přes Východní Anatolii doloženo (Indopac. prvky: *Rhabdosphaera poculi*, radiolárie, velcí pekténi – *Chlamys lilla*, *Ch. scissa*)

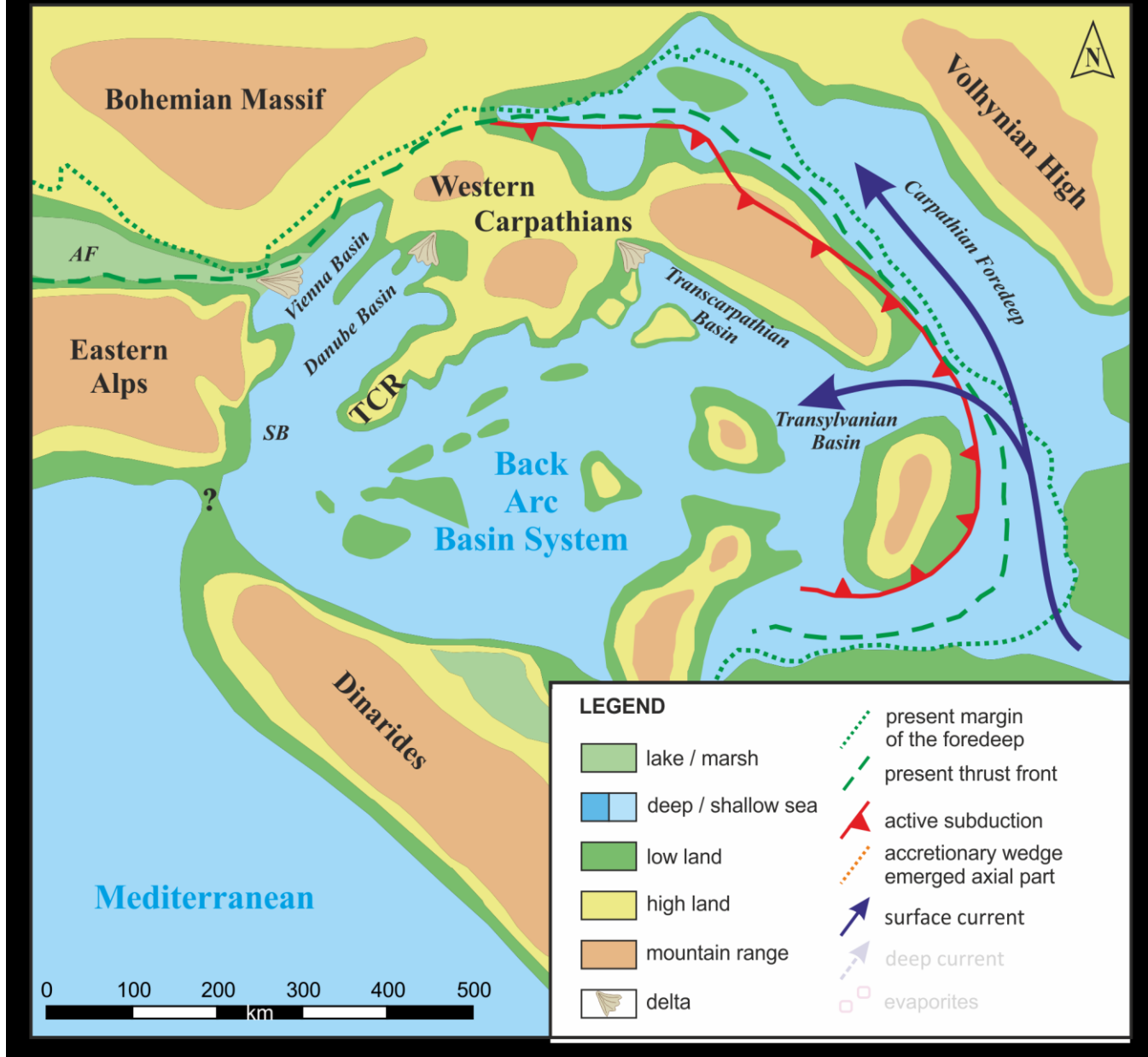
Spojení s Atlantikem se komplikuje ostrovní oblastí (příkrovy)-2



From: http://cpgeosystems.com/13_Mid_Mio_Eurmap_sm.jpg, July 2015

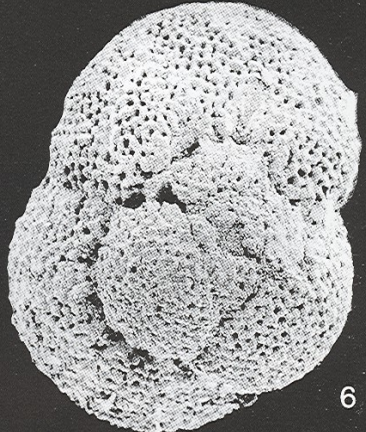
↓
**BuBo zóna ve smyslu reg. strat. CP (cca sv. baden). Pozn. :
mořské spojení (1) přes Slovinskou cestu končí ~12.7-12.6 Ma (Sant et al. 2018)
Viz dále Kováč et al. (2017)**





serravall - Kováč et al. (2017)

(cca sv. baden – sarmat)



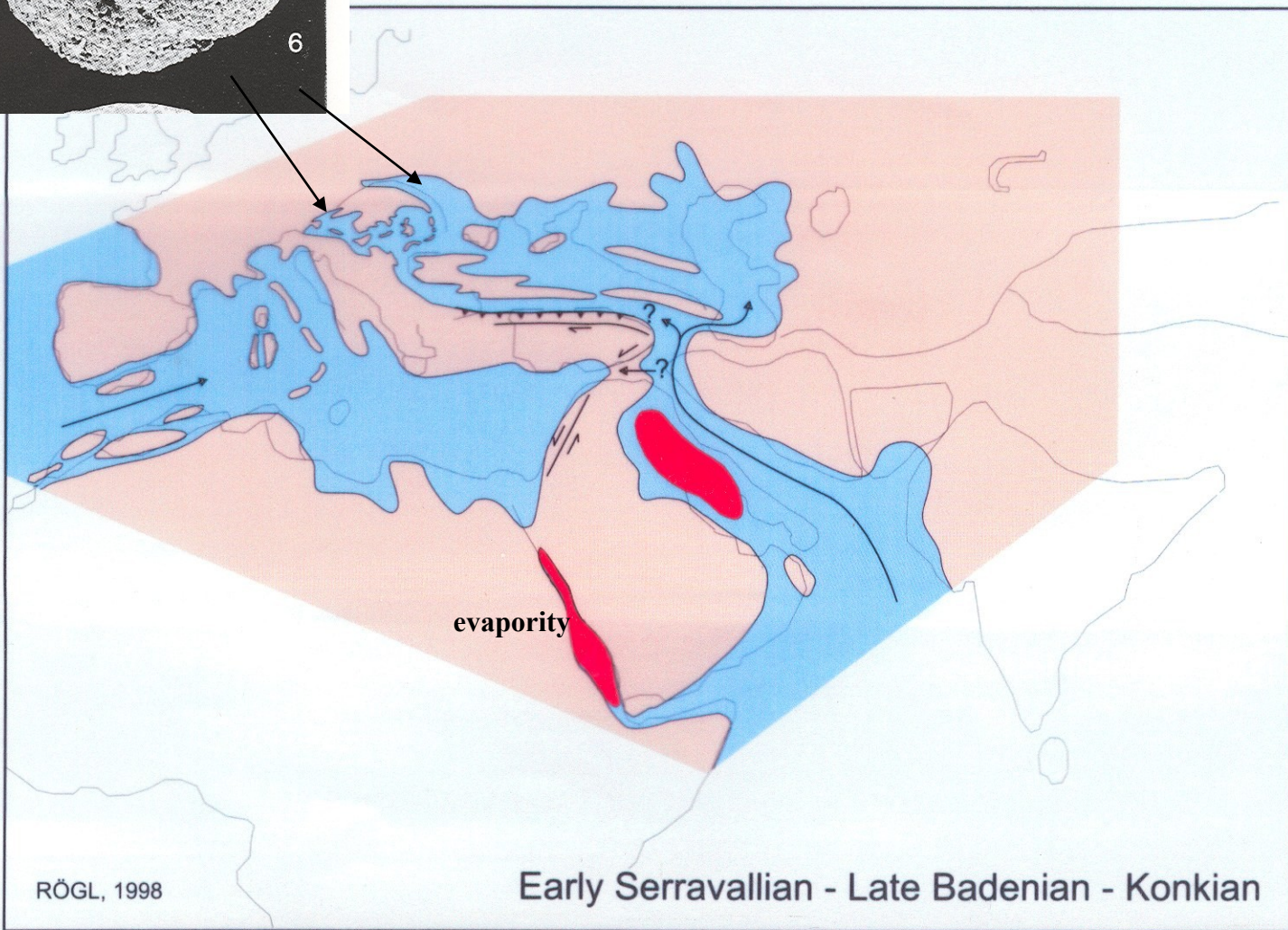
6

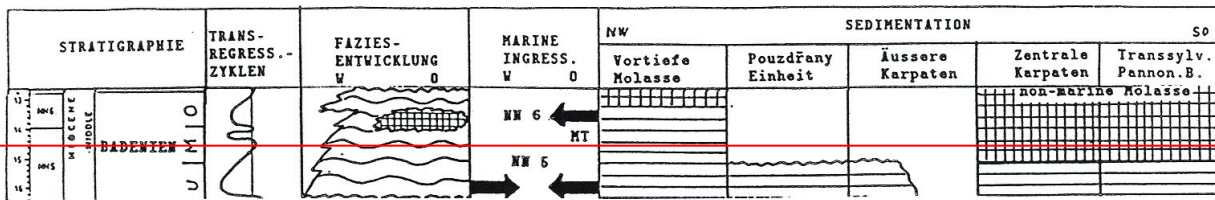
Velapertina indigena

Lucz.

(svrchní baden)

Velapertina jako typický planktonní prvek svrchního badenu a její problematika (dnes uváděna i ze středního a pozdního miocénu Ekvádoru a Kalifornie)





CP – spojení (+-) přes slovinský koridor, převážně mořský režim, místy již faciální změny,

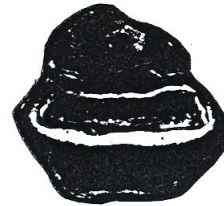
- komprese v externidech pokračuje,



Globigerina druryi Ak.



Uvigerina brunnsensis Karr.



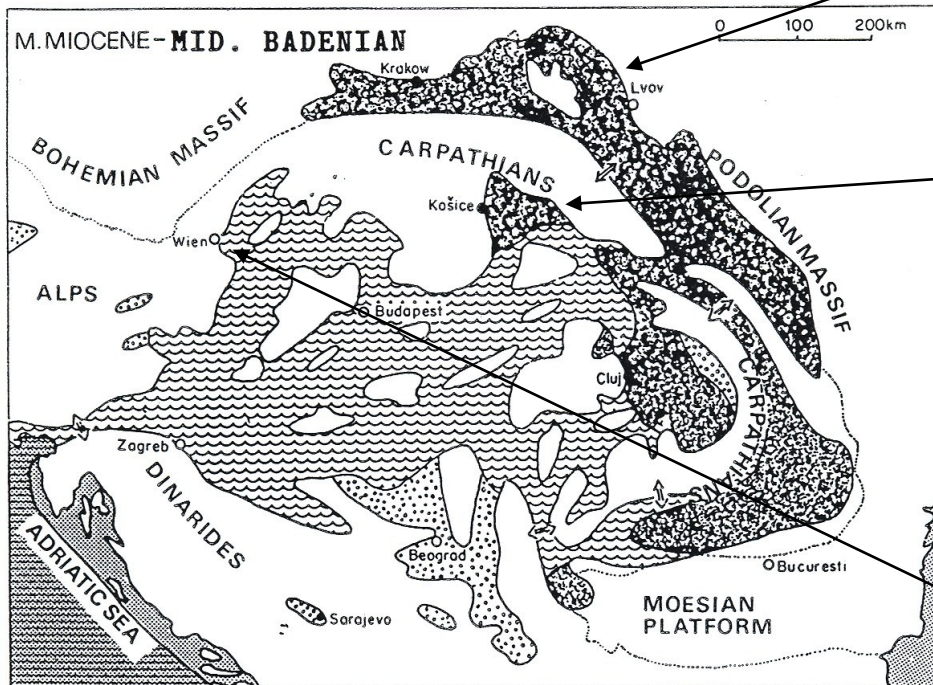
Trachyrincus trachyrincus (Risso)

výzdvih, zvýšená eroze, uzavření dílčích pánví, rozsáhlé ukládání evaporitů (zvláště ve vyšší části stř. badenu - pokračuje až do svr. badenu), sádrovce a hality v Kp v Polsku, Ukrajině a Rumunsku,

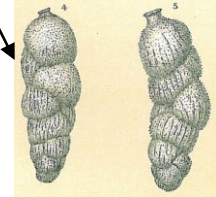
v zaobloukové oblasti výzdvih především j. Slovenska



změlnění pánví a ukládání evaporitů, J. Slovensko, ale také transylvánská a transkarpatská pánev



Litologie: v pánvích převaha vápniých jílu, na okrajích pak řasové, mechovkové etc. vápence, izolace pánví vede k endemismu (*Globigerina druryi*, *Uvigerina brunnsensis*)



Řada druhů dokládá ještě dobré spojení s otevřeně mořským resp. oceánským prostředím (např. lokalita Walbersdorf v jv. Rakousku, hlubokovodní ryby – *Trachyrincus*)

Mediterranean & Paratethys Neogene Paleobiogeography (basic maps from Rögl, 1998)



Closure of the Dinarid-Seaaway, influence of eastern marine faunal elements
Reorganisation of the African – Eurasien landbridge and invasion of:
Hominoids like Sivapithecus, Gryphopithecus, Ramapithecus etc.

svrchní baden



V Karpatech v tomto období **nejintenzivnější příkrovová tektonika** (posun subdukce do Východních Karpat), v závěru badenu došlo ke zpomalení pohybů => obnovila se mořská sedimentace novou transgresí. Spojení slovinským koridorem je (1) diskutováno (doklady zatím nejsou jednoznačné), spojení pouze k východu (VP)

Doloženo je propojení východoslovenské, transkarpatské a transylvánské p.

V transylv. pánvi (2) hlubokovodní pelity s radiolariemi a pteropody r. *Spiratella*

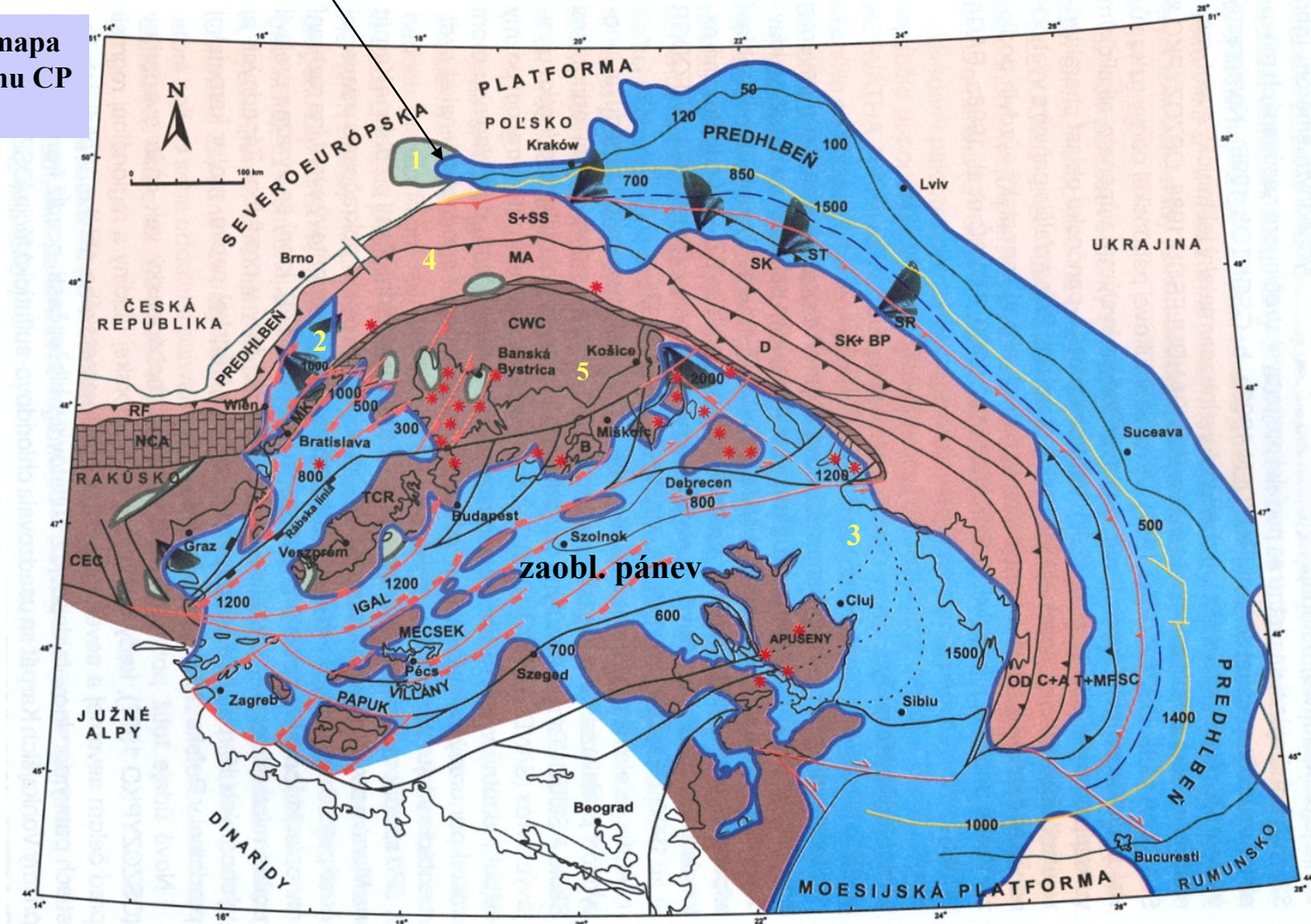
Depocentra v pannonské oblasti prohloubila extenze vlivem aktivity pláťového diapiru

Klima se postupně ochlazuje – konec tzv. miocenního klimatického optima

Andezitový vulkanismus především v Apuseni a Stř. Maďarsko – 2-3000m mocné

- mělký šelf
- hlubší šelf
- šelfové deprese
- k. svah a dna pánví
- brakická oblast
- sladkovodní oblasti
- nížiny
- výšiny
- hory
- evapority

Palinspastická mapa
svrchního badenu CP
(Kováč 2002)



- předhlubeň na Moravě souší, pouze opavský záliv (1) tvoří uzávěr předhlubně v Polsku-Ukrajíně-Rumunsku
- flyšové jednotky plně vyzdviženy (4) , Centrální Západní Karpaty téměř na místě (5)
- Vp jako „pull-apart basin“ (2)
- široká sedimentace v pannonské oblasti a transylvánské pánvi (3)

Dtto
+ vysvětlivky

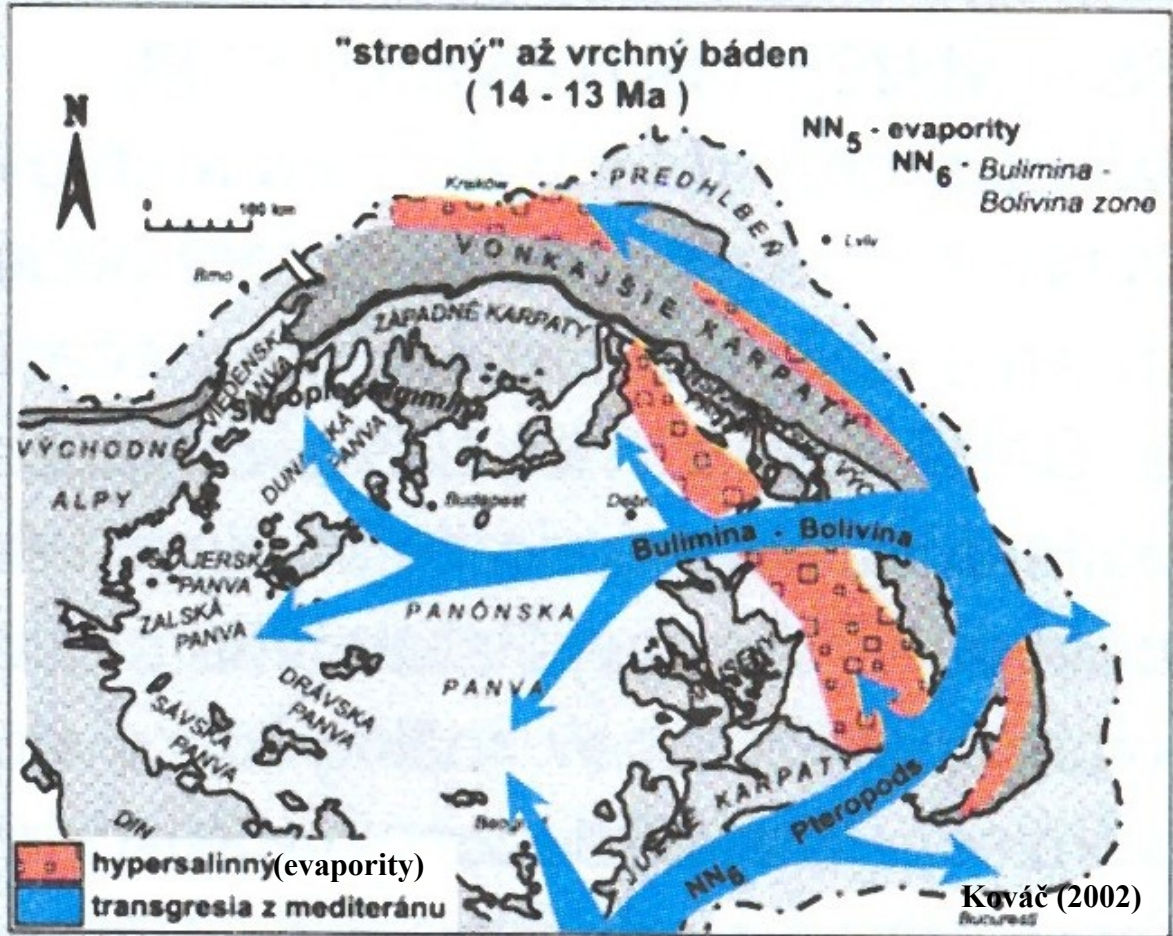


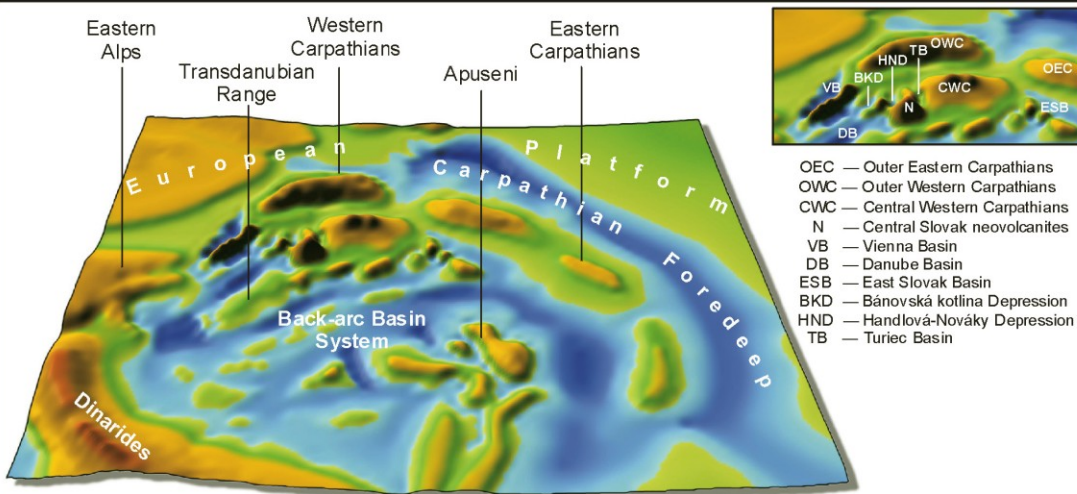
- uplifted Alpine-Carpathian externides*
- uplifted Alpine-Carpathian-Dinaride internides*
- Pieniny Klippen Belt*
- marine deposits*
- Quaternary deposits*

- deltas*
- * *volcanic centres*
- 1200 *thickness of sediments*
- axis of Carpathian Foredeep*
- present margin of the Carpathians*

(Kováč 2013)

"stredný" až vrchný bádén
(14 - 13 Ma)





Floristická situace a krajina ve svrchním badenu

(„Miocene evolution of landscape and vegetation in the Central Paratethys“, KVAČEK et al., 2006)

- OEC — Outer Eastern Carpathians
- OWC — Outer Western Carpathians
- CWC — Central Western Carpathians
- N — Central Slovak neovolcanites
- VB — Vienna Basin
- DB — Danube Basin
- ESB — East Slovak Basin
- BKD — Bánovská kotlina Depression
- HND — Handlová-Nováky Depression
- TB — Turiec Basin

CP: převládá smíšený les typický pro teplejší mírné podmínky. Jen v Záp. Karpatech a na Ukrajině širokolistý opadávající les – vliv hor a ochlazení. Vysokohorské podmínky klesly do výšek cca 1200 m (*Cedrus, Tsuga*)

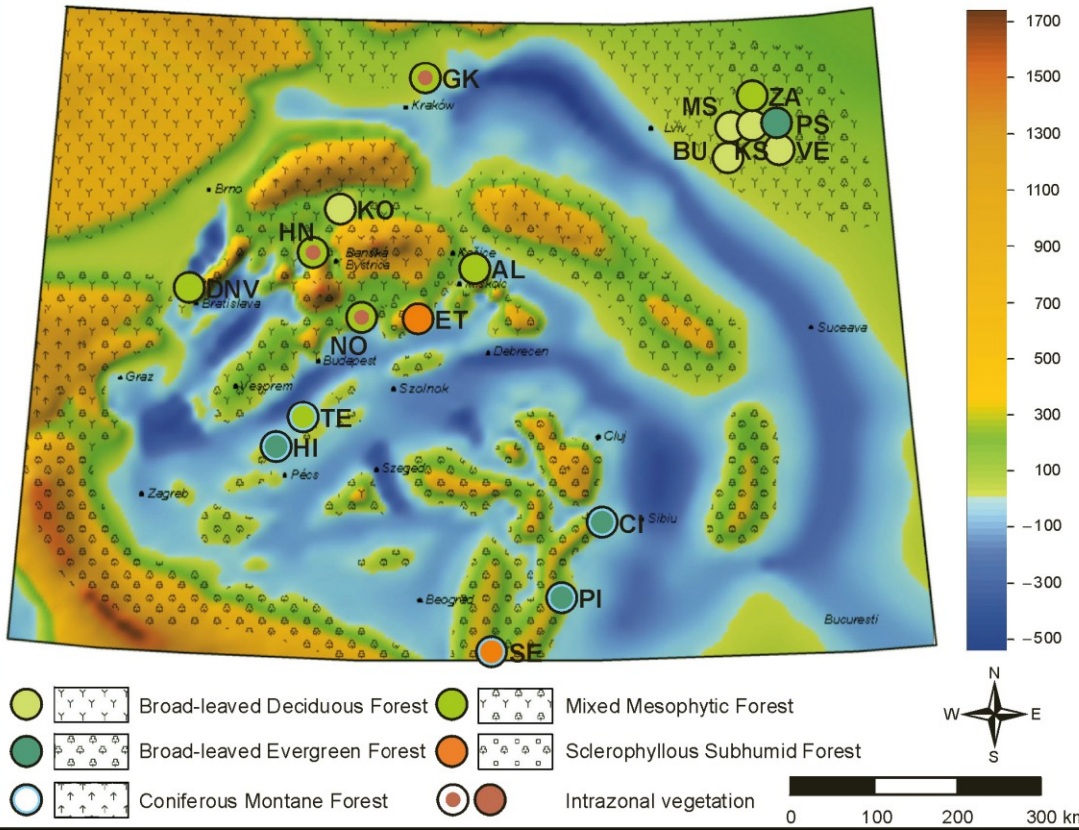
V Rumunsku, Srbsku a Maďarsku – ještě teplomilné porosty se zbytky subtropických prvků ze sp./stř. ba

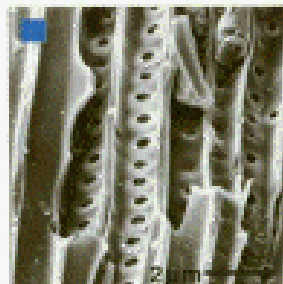
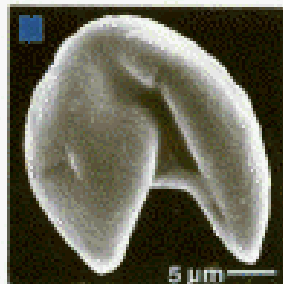
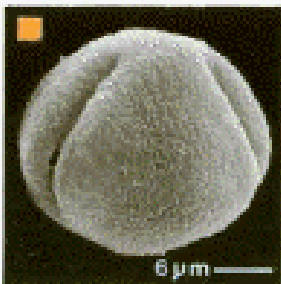
Ve vnitrohorských depresích společenstva lignitotvorná -Handlová, Nováky.



Klima:

- ochlazení, konec mioc. klimatického optima
- snížení MAT (16 – 10? st. C) oproti karpátu o cca 3 st. C
- nejchladnější měsíc –2 st. C,
- srážky zůstávají vysoké a udržují humidní podmínky
- zřetelný teplotní šířkový gradient,
- tyto podmínky zůstávají až do stř. pannonu





Střední miocén – Lesy v Porýní (Utescher, 1997),
žlutá - *Nyssa* , modrá - *Taxodium*

Baden - Souhrn

Během badenu představovala CP epikontinentální moře s občasnou komunikací s VP a Mediterránem.

Počáteční badenská transgrese zastoupená vývoji s *Praeorbulina glomerosa* uvnitř zóny NN 4 (okolo 15.97 Ma) dosáhla do severových. chorvatské p., štyrské p., jihoslovenské p., dolnorakouské molasy a transylvánské p.

Transgrese se šířila prostřednictvím slovinského koridoru stejně jako druhá fáze transgrese, která již obsahuje společenstva s *Orbulina suturalis* nastupující okolo 15.1 Ma a zaplavující celý systém pannonských pánví, (tedy celou chorvatskou, vídeňskou, dunajskou, východoslovenskou pánev) a dále i karpatskou předhlubeň.

Izolace ve středním badenu vyústila do salinitní krize (doznívá ve svrchním badenu) v oblastech východních částí CP a ukládání evaporitů v předhlubni, transylvánské a transkarpatské pánvi.

Závěrečná mořská transgrese ve svrchním badenu se odehrálo okolo 13.6 Ma a pokryla celou zaobloukovou oblast CP a severní a východní část Kp. Je doložena druhem *Velapertina indigena* a společenstvy zóny NN6. Místo a průběh propojení s Mediterránem jsou diskutovány a nejsou zcela jednoznačné.

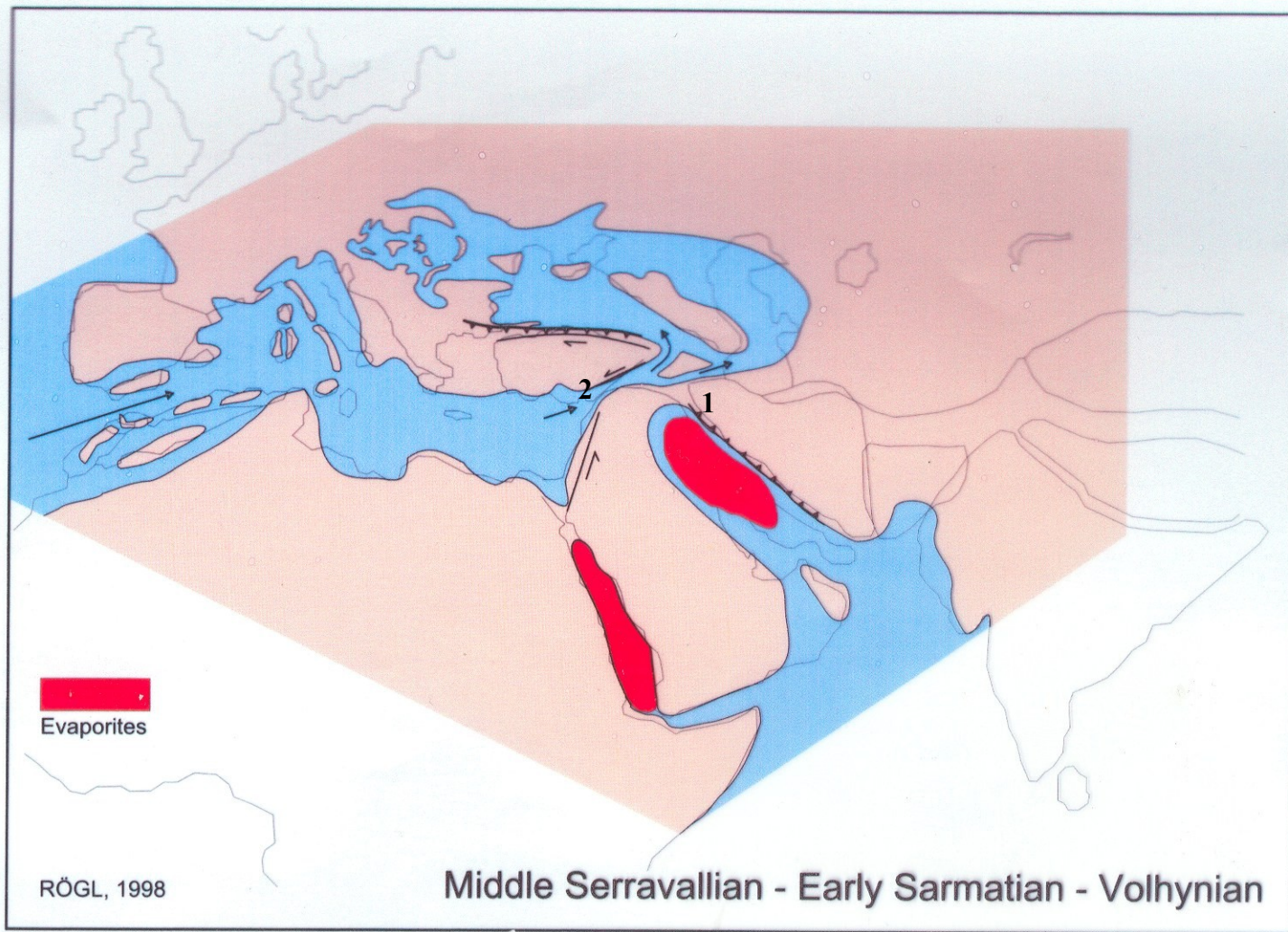
Koncem badenu začíná finální izolace CP vůči otevřenému moři (otevření ještě jednou v sarmatu ?)

Klima v badenu je dokumentováno především terestrickými společenstvy jako široce uniformní, na počátku stabilně subtropické, se severojižním gradientem nastupujícím koncem spodního badenu a ochlazováním moře v závěru středního badenu. Výraznější biogeografická diferenciacie je však pozorována až během svrchního badenu. V tomto období lze také pozorovat stratifikaci vodního sloupce a hypoxické podmínky na dně pánví v celé CP.

Badenská sekvenční stratigrafie je ovlivněna jak globální eustasií tak regionálními tektonickými faktory. Lze rozlišit až 3 cykly třetího řádu relativního kolísání hladiny, které lze srovnat s celosvětovými cykly jen velmi zhruba.

Spodní a střední baden lze srovnávat s globálními výkyvy světové hladiny cyklů TB 2.3 a TB 2.4 a svrchní baden pak s cyklem TB 2.5 (viz Haq et al. 1988)

sarmat



- V časném sarmatu ještě otevřená araxská cesta (1), poté již jen komunikace VP s Mediterránem (2)
- spojení s Indikem - zvedání/uzavření – četné evapority

NN6-NN7 Svr. serravall – sarmat s.s.- stř. sarmat

12 - 11 Ma

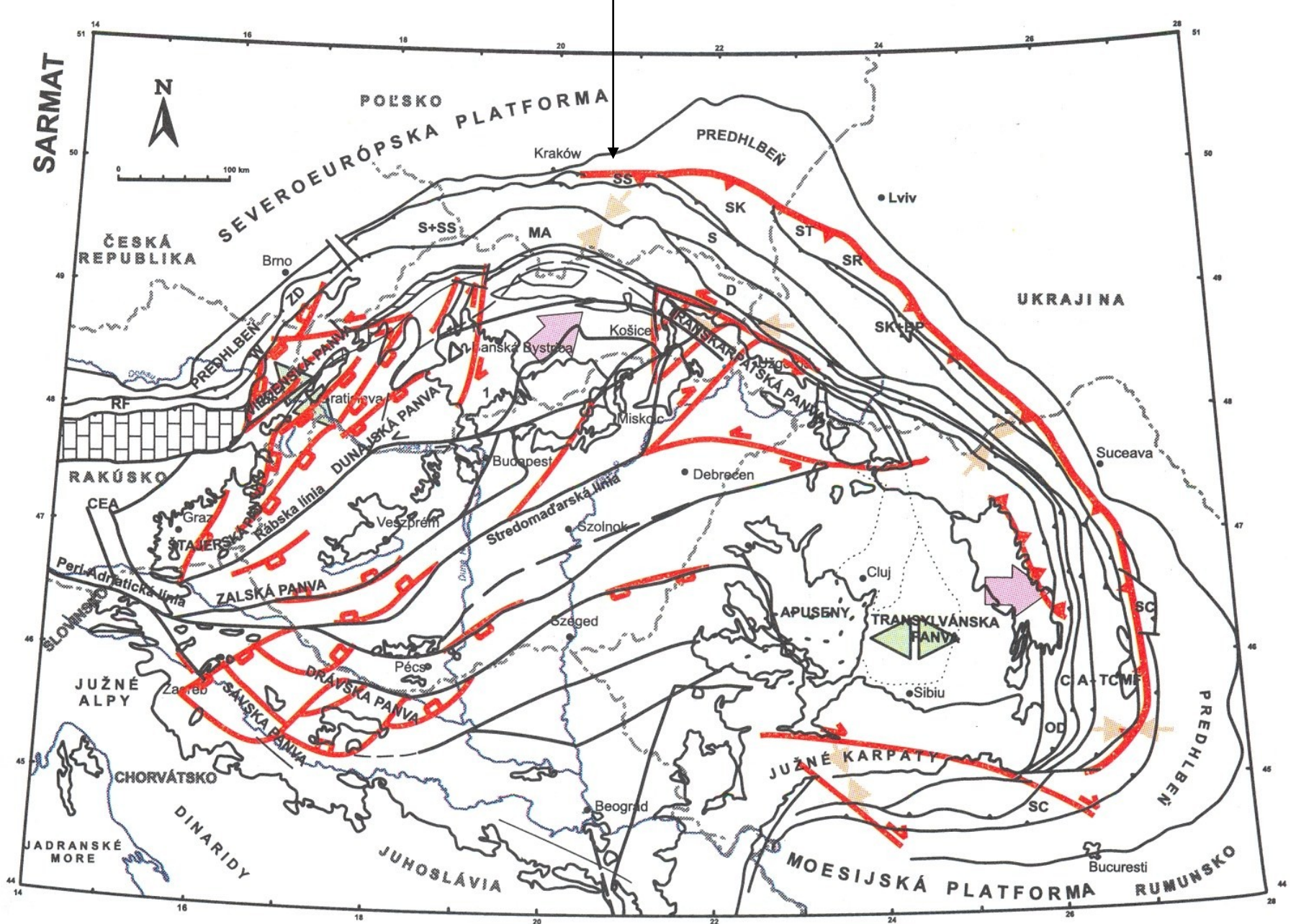


-Spojení s otevřeným oceánským prostředím uzavřeno, všude mělkovodní společenstva
 -Paratethys => ve sp. Sa ještě mořská sedimentace u okrajů mixohalinní, ve vyšším sarmatu až hypersalinní podmínky (doklady: forams, měkkýši, serpulidní červi, mechovky, červené řasy, diatomy) – oolity, tlustoskořepatí měkkýši, marinní cement etc.
 Tyto rysy od okrajů na Z a do VP

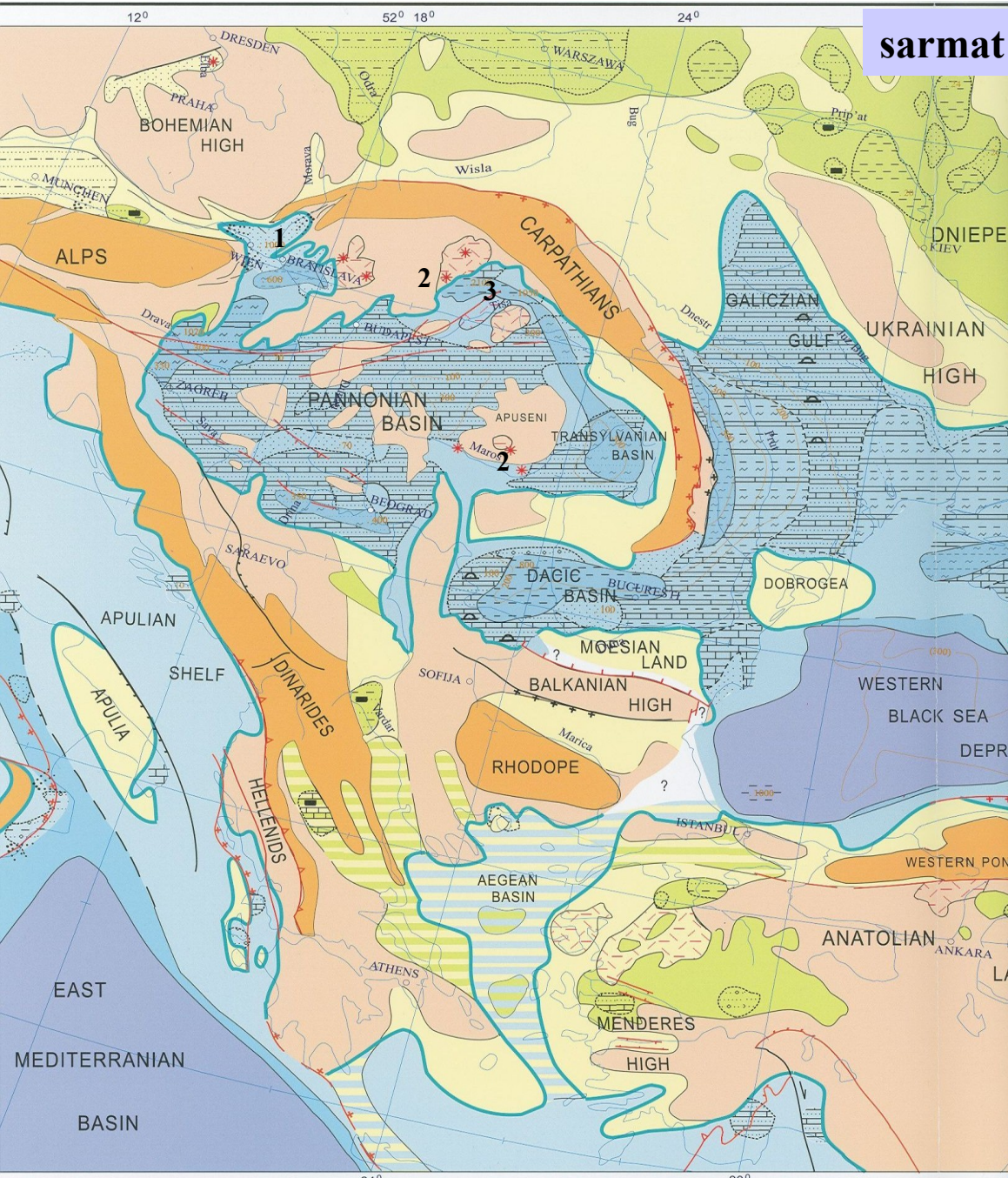
-Úzká komunikace jen v oblasti jižní Anatólie (1), hluboká pánev jižně čela Zagrozu (2) se uzavírá a v oblasti Perského zálivu sedimentují mělkovodní vápence a evapority jako okrajové uložení Indiku

-stratigrafické korelace – ve VP
Discoaster kugleri (=NN7)

- mělký šelf
- hlubší šelf
- šelfové deprese
- k. svah a dna pánví
- brakická oblast
- sladkovodní oblasti
- nížiny
- výšiny
- hory
- evapority



Hlavní tektonické fenomény karpatsko-pannonské oblasti v sarmatu (Kováč 2000)



CP – vrcholí synriftové stadium zaobloukového vývoje = rychlá subsidence depocenter v okrajové oblasti panonského systému

-V s. části Vp svrchnokrustální extenze (1, pull-apart) v j. celokorová extenze, podobně i v trans-karpatské pánvi,

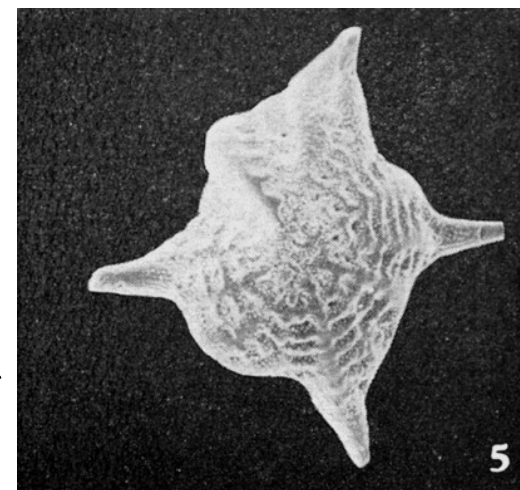
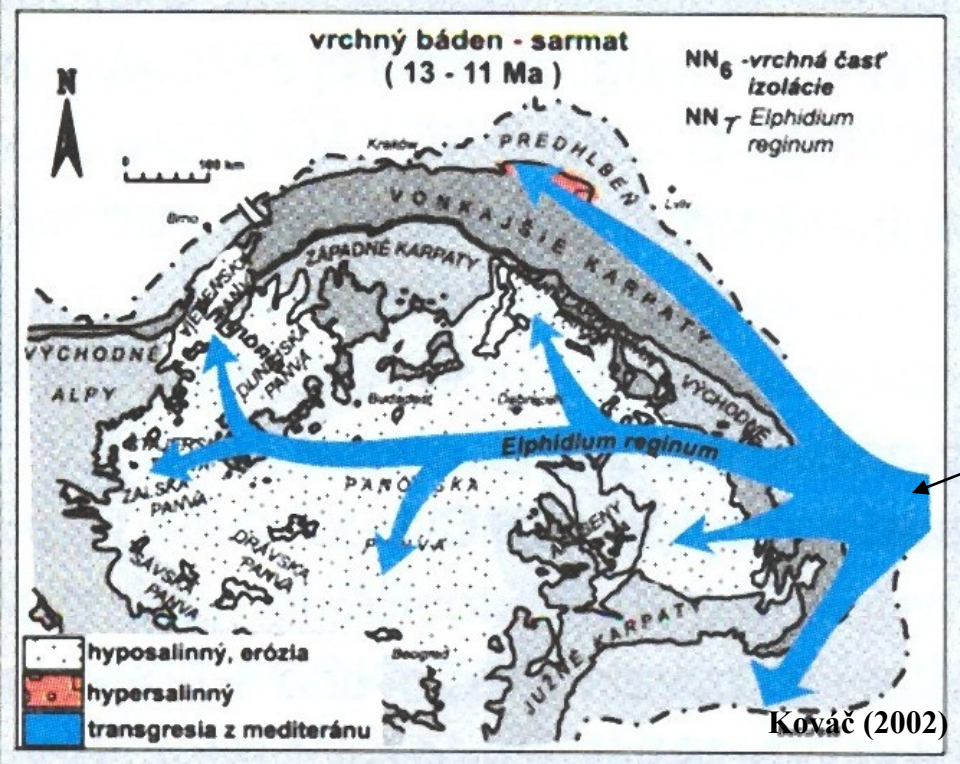
-V týlu V. Karpat extenze provázána areálovým typem dacit. a ryolit. vulkanizmu (2), na Z pak hloubka subdukce pomáhá výstupu andezitů

-východoslovenská pánev = ráz meziobloukové pánve (3).

Voda v CP přesycena karbonáty s vysokou alkalitou => nástup a rozvoj červených řas, vermetidů a nubekulárií – rify tohoto typu jdou od Vp do euxinské oblasti

Forams: *Anomalinoidea*, *Elphidium*, *Porosonion*

Měkkýši: *Ervilia*, *Irus*, *Macra*, *Cerastoderma*, *Mohrensternia*, *Pirenella*

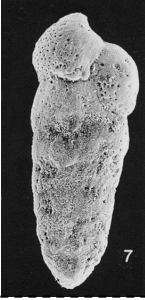


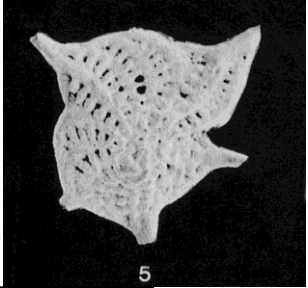
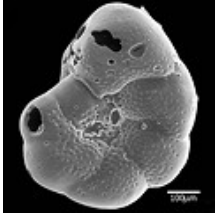


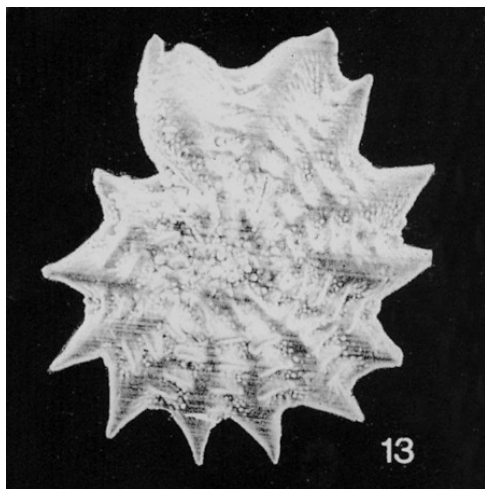
Elphidium reginum



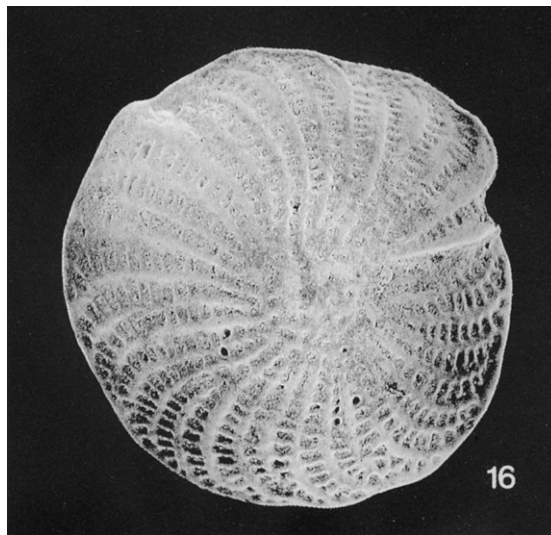
Discoaster kugleri Martini et Braml., miocén, USA – typický zástupce nanoplanktonu zóny NN7 (zjištěn ve volhynu VP)

Biostratigrafie sarmatu CP
podle foraminifer

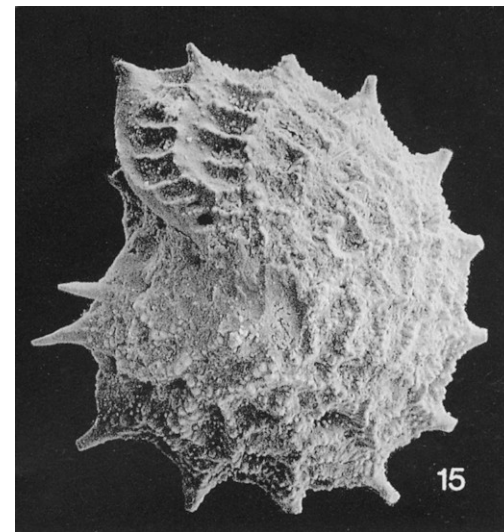
		Indexové foraminifery sarmatu	starší „zonace“ Vp
<i>zóna Porosonion granosum</i>		<i>Bolivina sarmatica</i> Didk. sarmat	E
		<i>Porosonion granosum</i> (d'Orb.)	D
<i>zóna Elphidium hauerinum</i>		<i>Elphidium hauerinum</i> (d'Orb.) sarmat	C
<i>zóna Elphidium reginum</i>		<i>Elphidium reginum</i> (d'Orb.) spodní sarmat	B
<i>zóna Anomalinoides dividens</i>		<i>Anomalinoides</i> sp. (aff. <i>dividens</i>)	A



Elphidium josephinum (d'Orb.)
sarmat



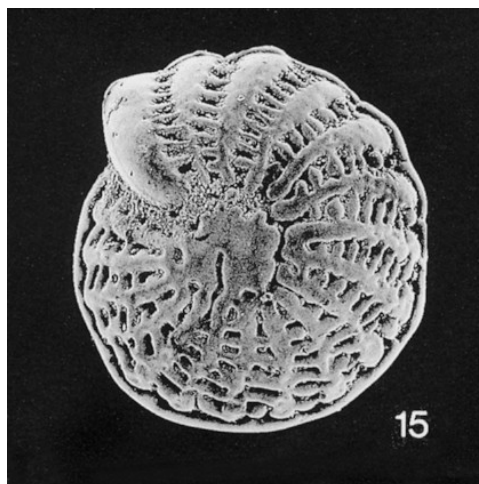
Elphidium crispum (Linne)



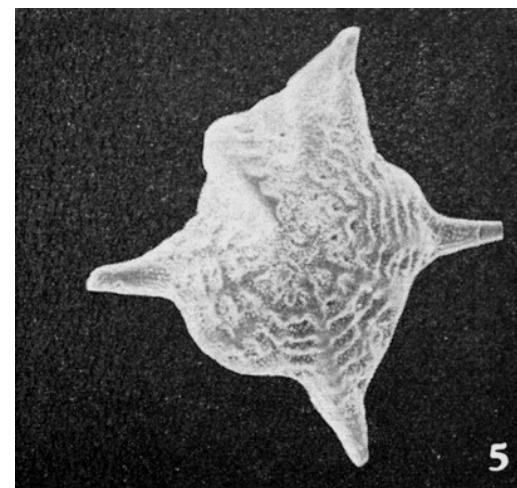
Elphidium aculeatum (d'Orb.)



Elphidium fichtelianum (d'Orb.)



Elphidium flexuosum (d'Orb.)

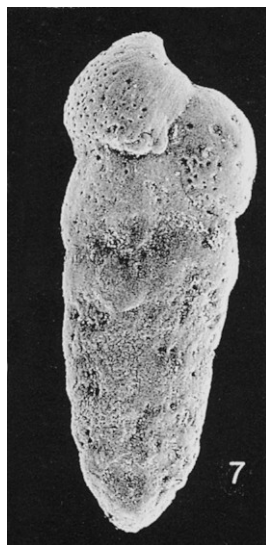


Elphidium reginum (Orb.)
dunajská pánev,
sarmat (Brestenská 1974)

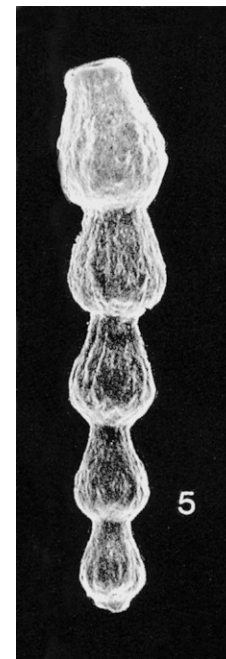
Další druhy elphidií (zóna B)



Sarmatiella prima Bogd.



Bolivina sarmatica Didk.
sarmat



Articulina sarmatica (Karrer)



Nubecularia tortonica Krash.

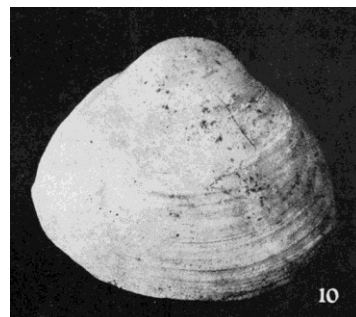
Ukázka foraminiferové fauny
sarmatu (endemické druhy
Paratethys)

Biostratigrafie sarmatu CP podle měkkýšů

Významné druhy mlžů jednotlivých zón

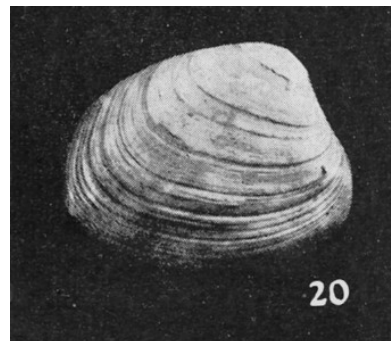
Mactra zóna

NARIS



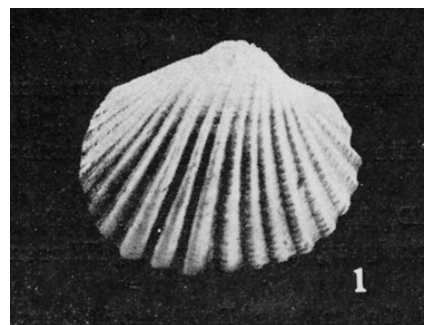
Mactra vitaliana pallasii (Baily)
Nexing, „maktrové vrstvy“,
sarmat (Papp 1974)

Ervilia zóna



Irus gregarius gregarius Partsch
Wiesen, „erviliové vr.“ sarmat
(Papp 1974)

Mohrensternia zóna



Cerastoderma pseudoplicatum (Fried.)
Hollabrunn, „mohrensterniové vr.“
sarmat, (Papp 1974)

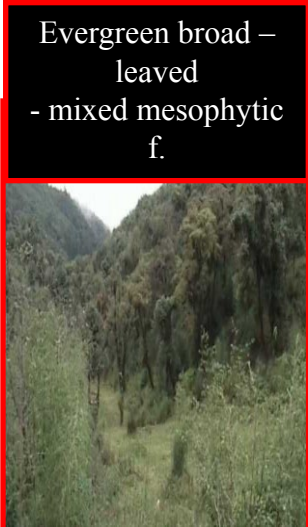
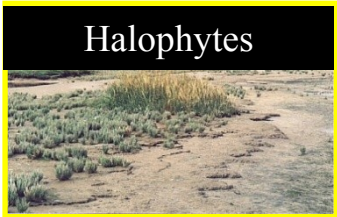
Middle Miocene – Late Badenian to Sarmatian



Pliopithecus

M. Antón
Middle Miocene

The Middle Miocene terrestrial and aquatic ecosystems confirm a subtropical climate (Miocene climatic optimum, Mi3 event) with some possible **long term changes in humidity** (Middle Badenian evaporate event). The terrestrial ecosystems support altitudinal and latitudinal differentiation during Badenian and Sarmatian. Marine ecosystems, especially the microfauna, allocate the influence of **ice caps on the southern hemisphere** from the Late Badenian.



Middle Miocene Climatic Data based on Pollen Spectra

Coexistence approach

Mean annual temperat. (MAT)	15,6 – 18,4 °C
Coldest month temperat. (CMT)	5,00-12,5°C
Warmest month temperat. (WMT)	24,7-27,9 °C
Mean annual precipitation (MAP)	1194,0 – 1520,0 mm
Wettest month precipitation (WtMP)	204,0 – 245,0 mm
Driest month precipitation (DMP)	21,0 – 37,0 mm
Warmest month precipitation (WtMP)	118,0 – 175,0mm

pannon

21. 10. tr.

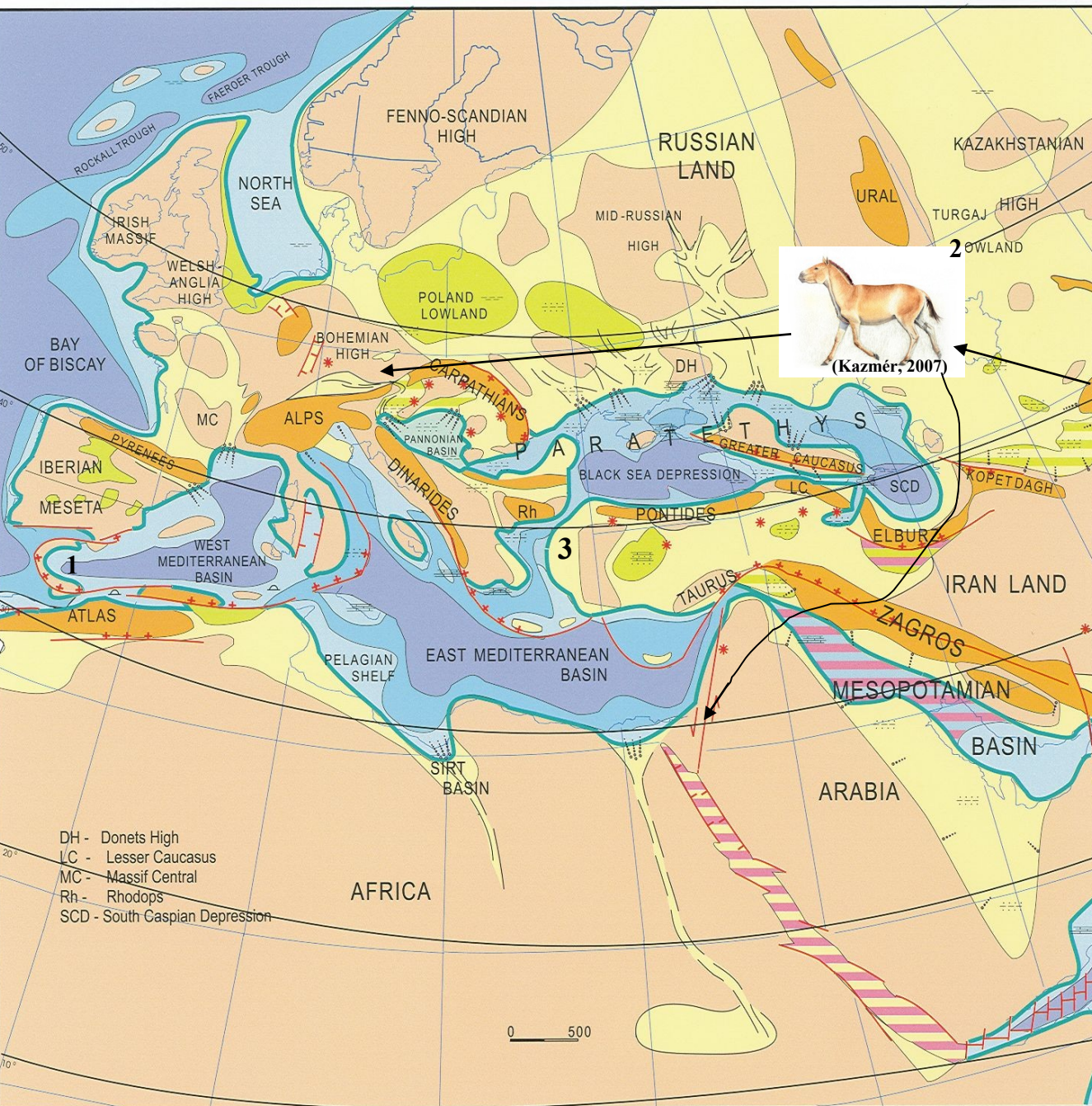
Výsledkem attické fáze orogeneze jsou zdvihy betické a maghrebské oblasti (1), které budou pokračovat a ovlivní situaci během messinu. Mediterrán má ještě normální salinitu.

Pokračuje evropská kontinentalizace, úplně končí sedimentace předalpské a předkarpatské oblasti.

VP – komunikace s CP je silně omezena, - přetrvávají sarmatské podmínky (bessarab a cherson).

Ve sp. pannonu (B/C) migruje po propojení Ameriky a Asie (Beringia) tříprstý koník *Hippotherium* (2) až do CP

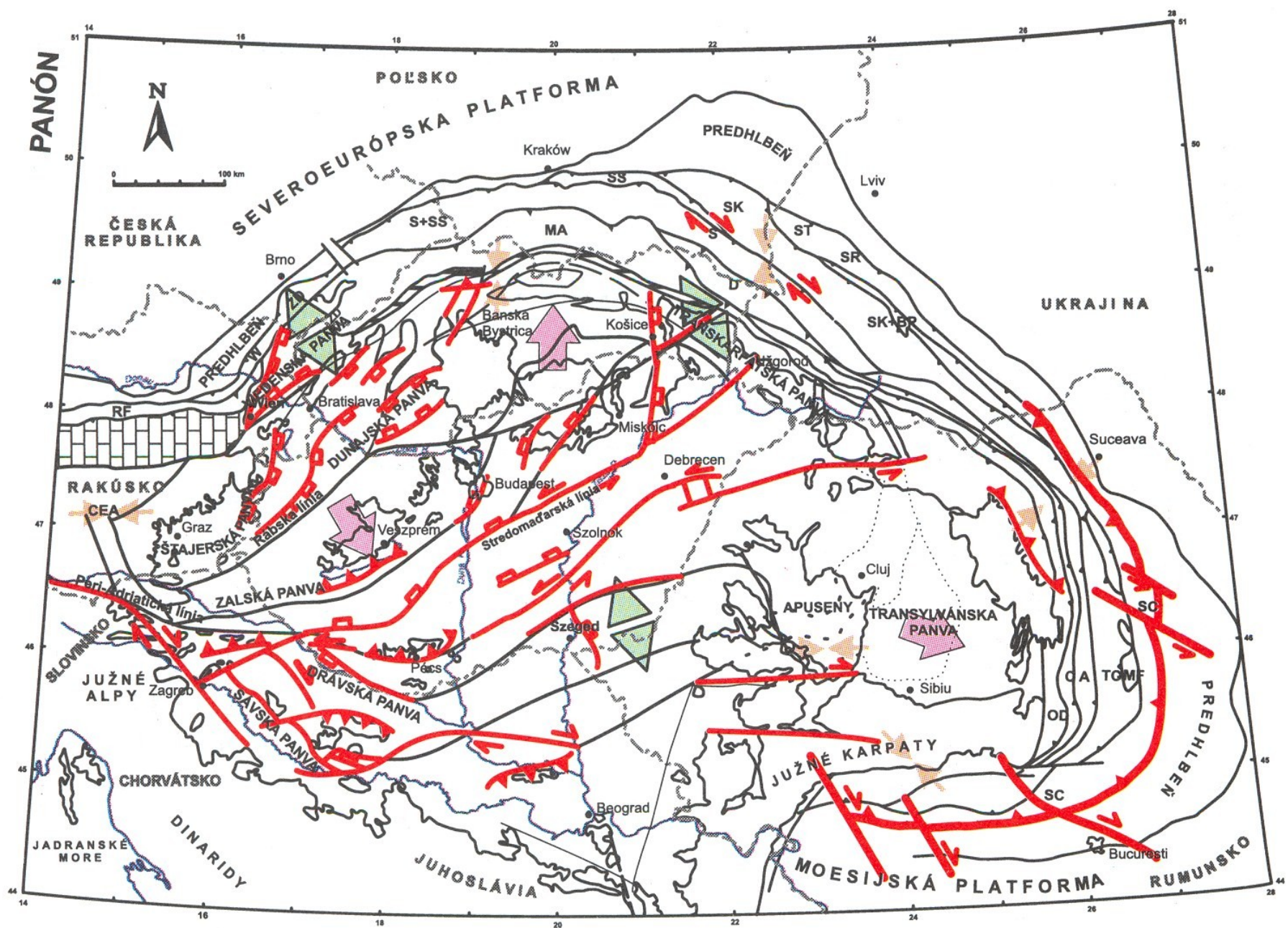
V pozdním chersonu je VP izolována (evapority v černomořské oblasti), v meotu obnovení komunikace s Medit. (3) a ingrese z egejského moře přes oblast Bosporu a Dardanel =>mixáž endemických a mediterránních faun





(2)
Das Molassemeer verliert die Verbindung zum Mittelmeer und zu anderen Meeren. Das Vorland von Alpen und Karpaten verlandet, innerhalb des Karpatenbogens entsteht vor ca. 11,5 Millionen Jahren der brackische Pannon-See. Die Donau fließt über Krenns und Hollabrunn nach Nordosten und mündet im Raum Mistelbach in das vom Pannon-See erfüllte Wiener Becken. (1)

nach Rögl/Repp (upraveno)



Hlavní tektonické fenomény karpatsko-pannonské oblasti v pannonu (Kováč 2000)

svrchní pannon



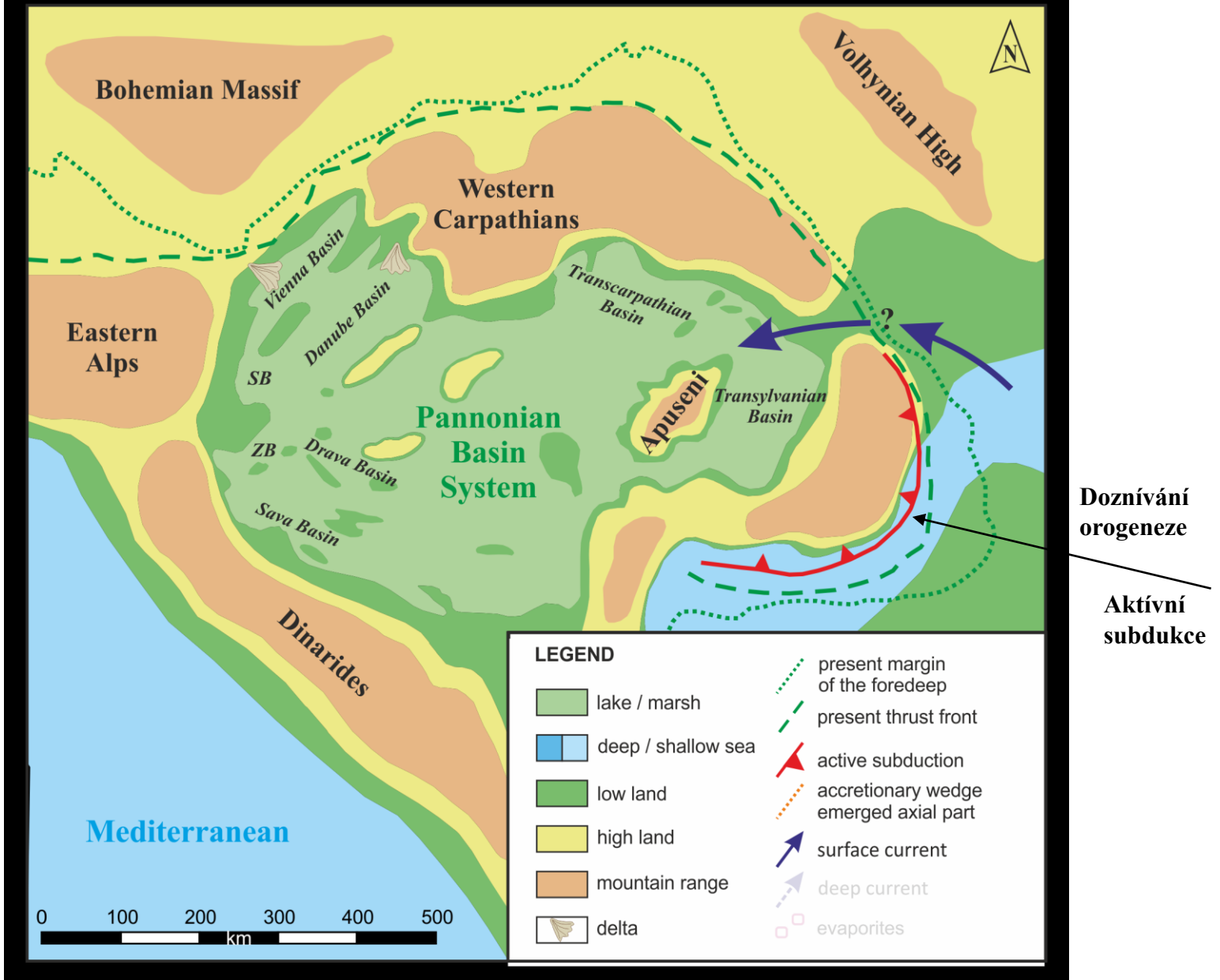
CP – redukována pouze na pannonskou pánev a její satelity, salinita odpovídala cca dnešnímu Kaspiku => oproti sarmatu výrazně nižší diverzita faun (několik rodů měkkýšů a ostrakodů). **Vzácné nálezy marinních nannos a dinocyst naznačují možnost, že mořské spojení nemuselo být zcela ztraceno.**

Ostracoda: *Candona, Caspiolla, Cyprideis*
 Mollusca: *Congeria, Mytilopsis, Limnocardium, Melanopsis, Theodoxus, Viviparus*

Vp a Dp (1) byly vyplňovány deltami ze SZ a SV zvedajícími se Alpami a Karpaty

Vyslazování a změlčování je provázáno ukládáním kaustobiolitů (např. Vp)

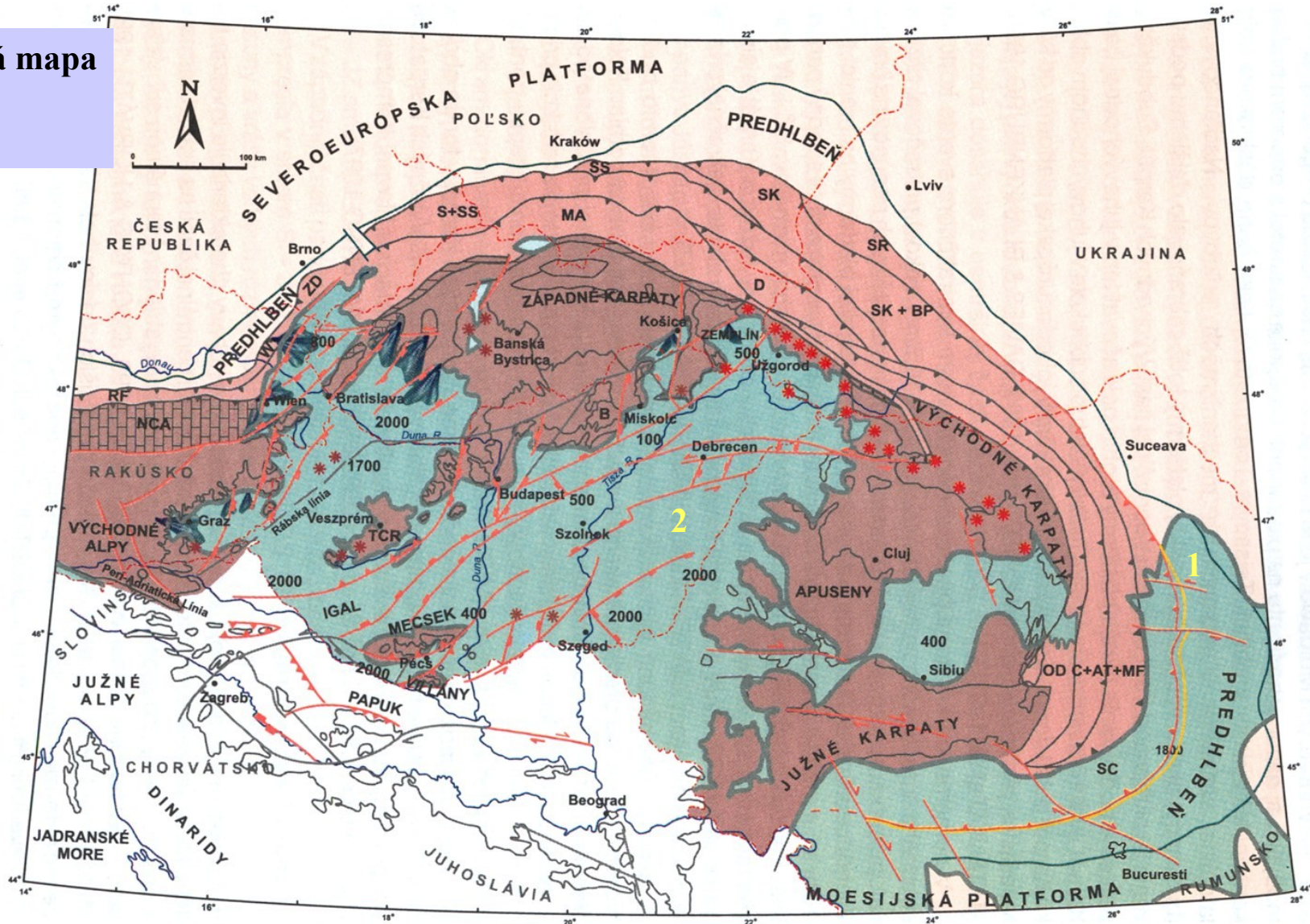
- mělký šelf
- hlubší šelf
- šelfové deprese
- k. svah a dna pánví
- brakická oblast
- sladkovodní oblasti
- nížiny
- výšiny
- hory
- evapority



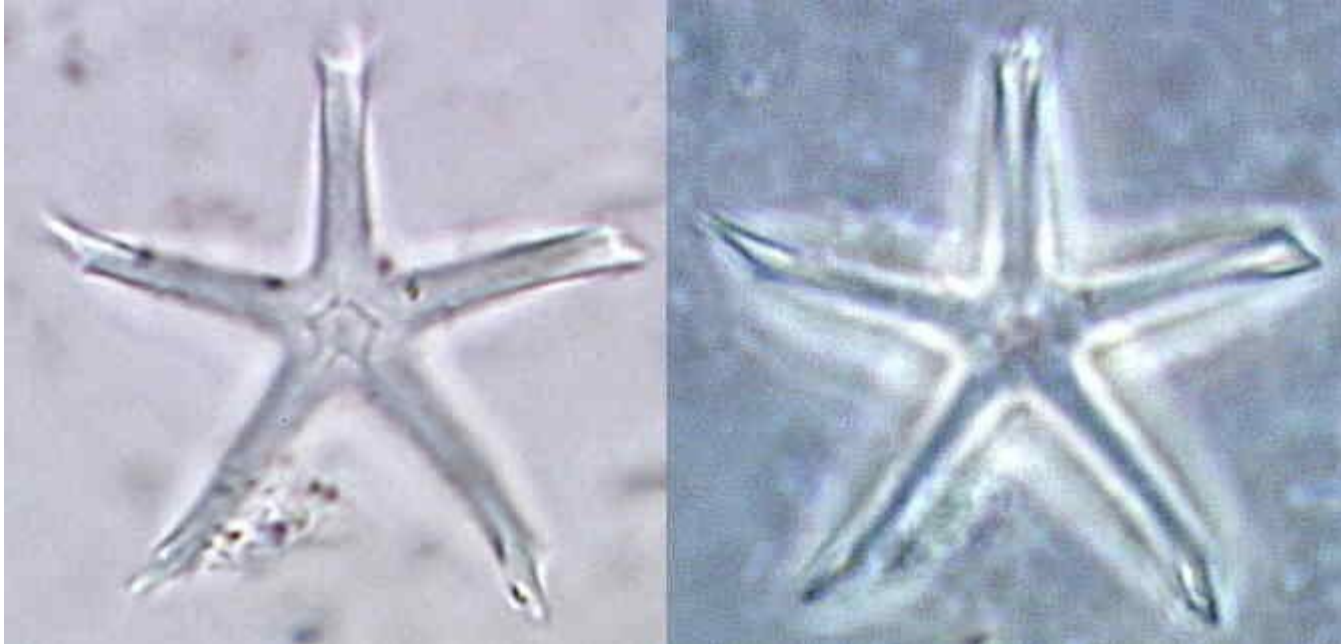
torton – Kováč et al. (2017)

(pannon)

**Palinspastická mapa
pannonu CP
(Kováč 2002)**



- Viz:** - Západní a Východní Karpaty zcela na místě
 - zvěř sedimentace v předhlubni v Jižích Karpatech (Rumunsko - 1)
 - rozsáhlá vyslazená sedimentace v zaobloukové oblasti (Vp, Dp, Pp, Tp, - 2)



Discoaster hamatus

Během pozdního miocénu (NN 10) se postupně mění brakická sedimentace v CP na sladkovodní.

Pannonské jezero

je zaplňováno mocnými deltovými uloženinami.

Sedimentace se změlčuje,

převládají aluviální pláně až do konce miocénu.

Horská pásma nabývají postupně dnešní podoby.

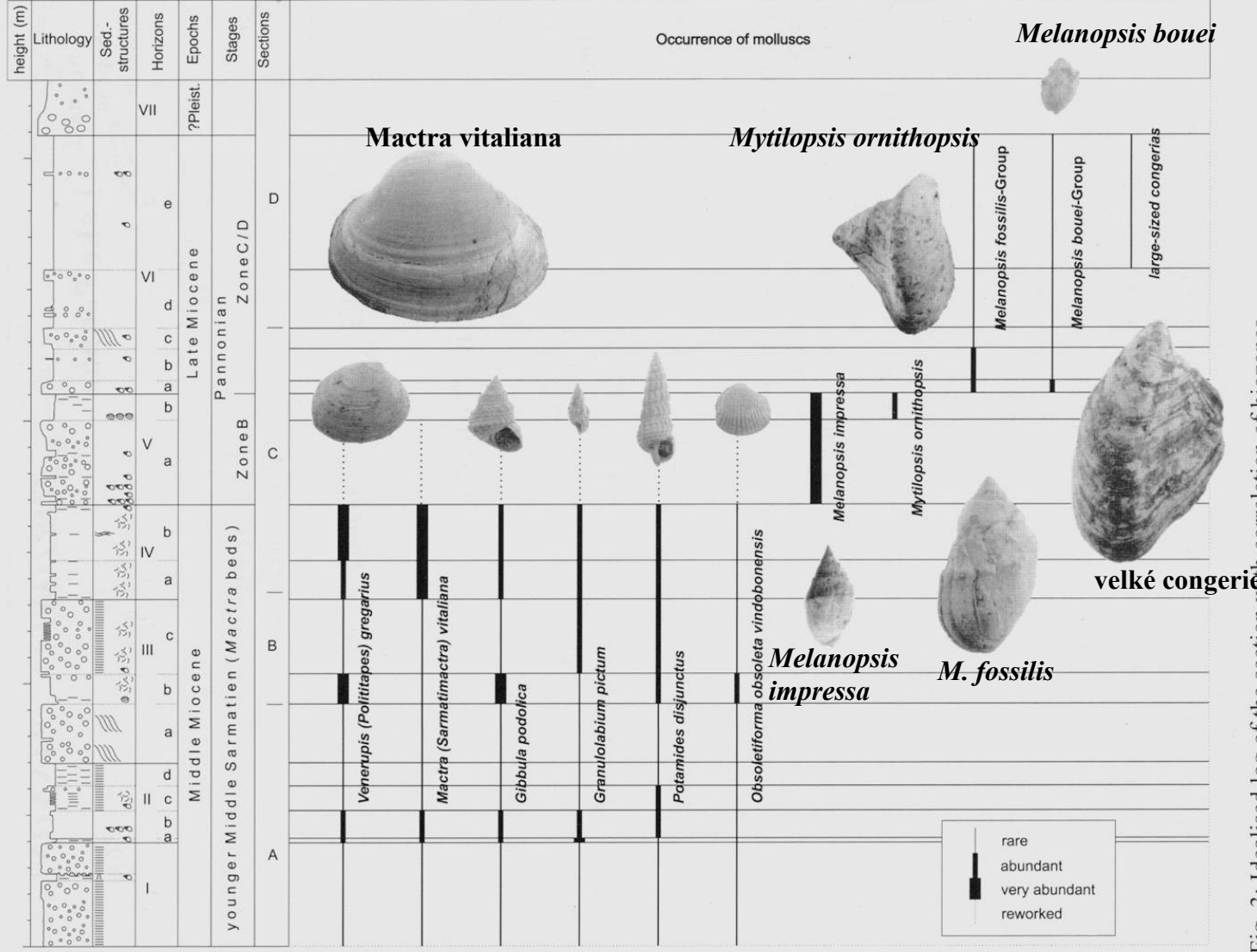


Fig. 3: Idealised log of the section with correlation of biozones.

Towards the top of the succession, only scattered layers (1-4 cm thickness) of fine gravel can be detected which are enriched in shells of various melanopsid species. Rare lithoclasts of Late Sarmatian marl are bound either to the high energetic, basal marls of

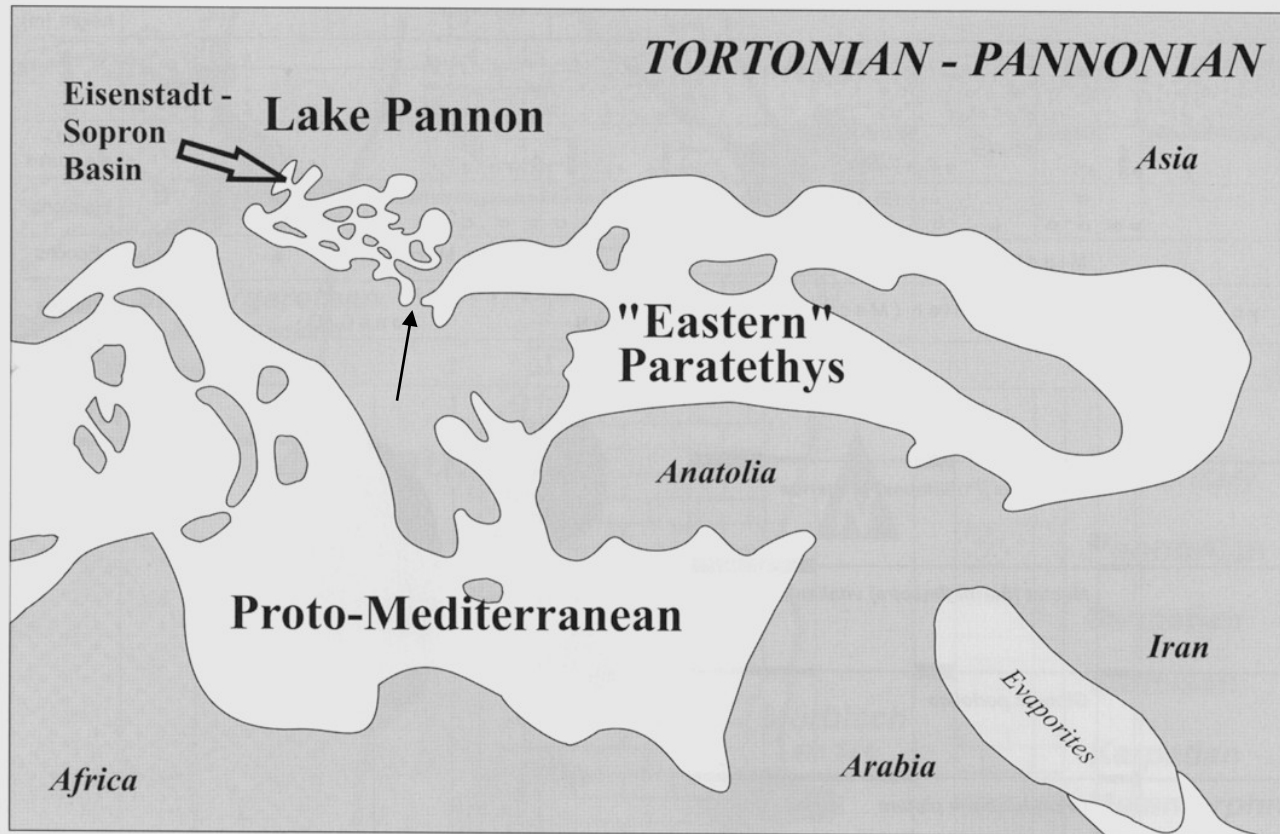


Fig. 4: Paleogeography of Lake Pannon, the Eastern Paratethys, and the Proto-Mediterranean during the Pannonian (after RÖGL, 1999)

LATE MIOCENE DELTA SYSTEMS OF THE VIENNA & DANUBE BASINS

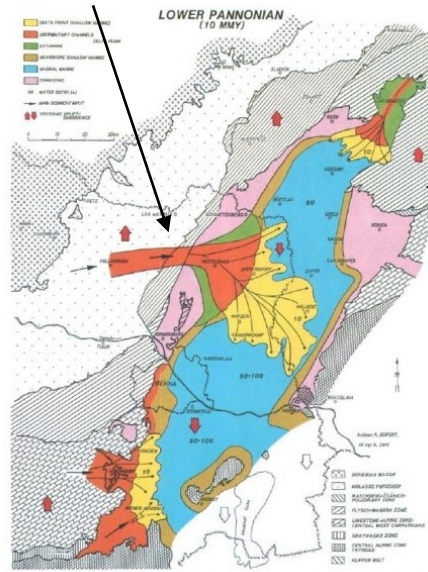
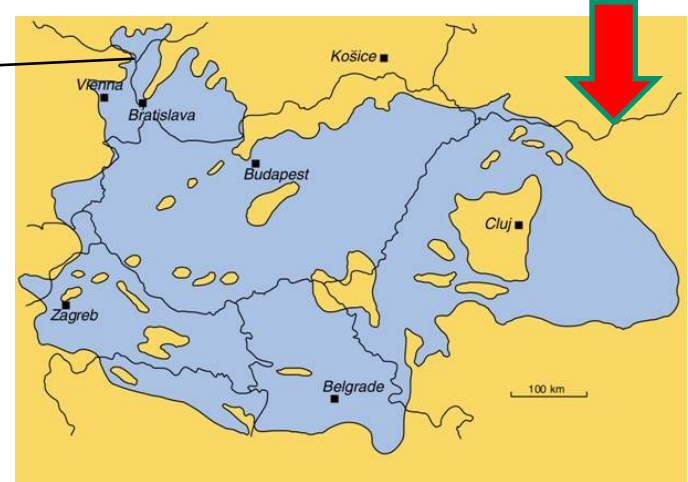
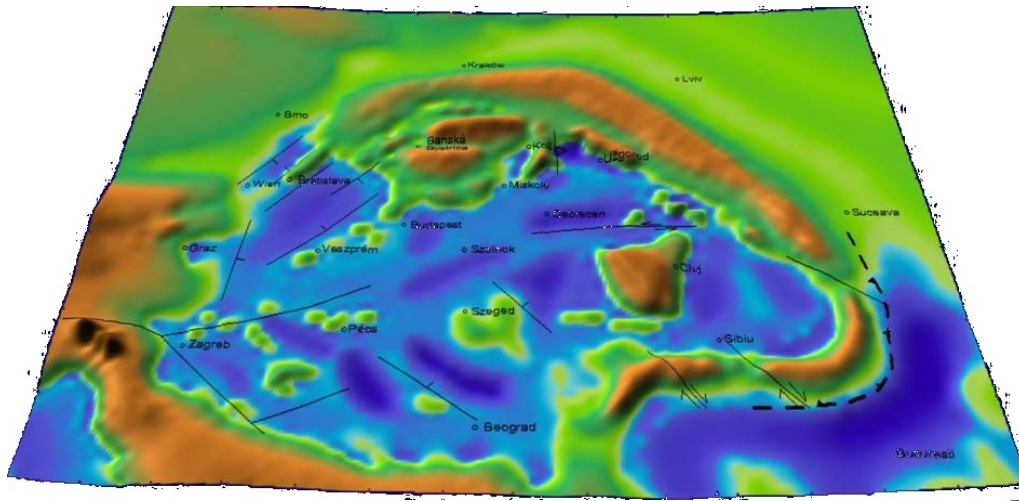
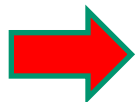


Fig. 14: Vienna Basin, Paleogeography and Facies in the Lower Pannonian (10 MY; P. SEIFERT).

Lake Pannon 10-9.5 Ma

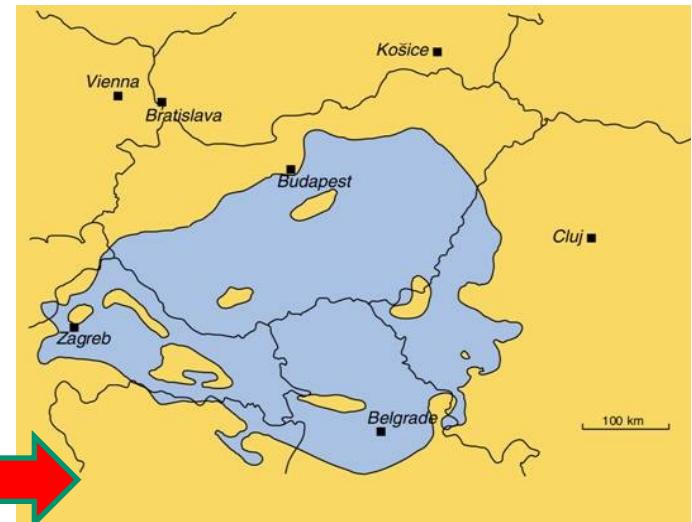


11.5-10 Ma

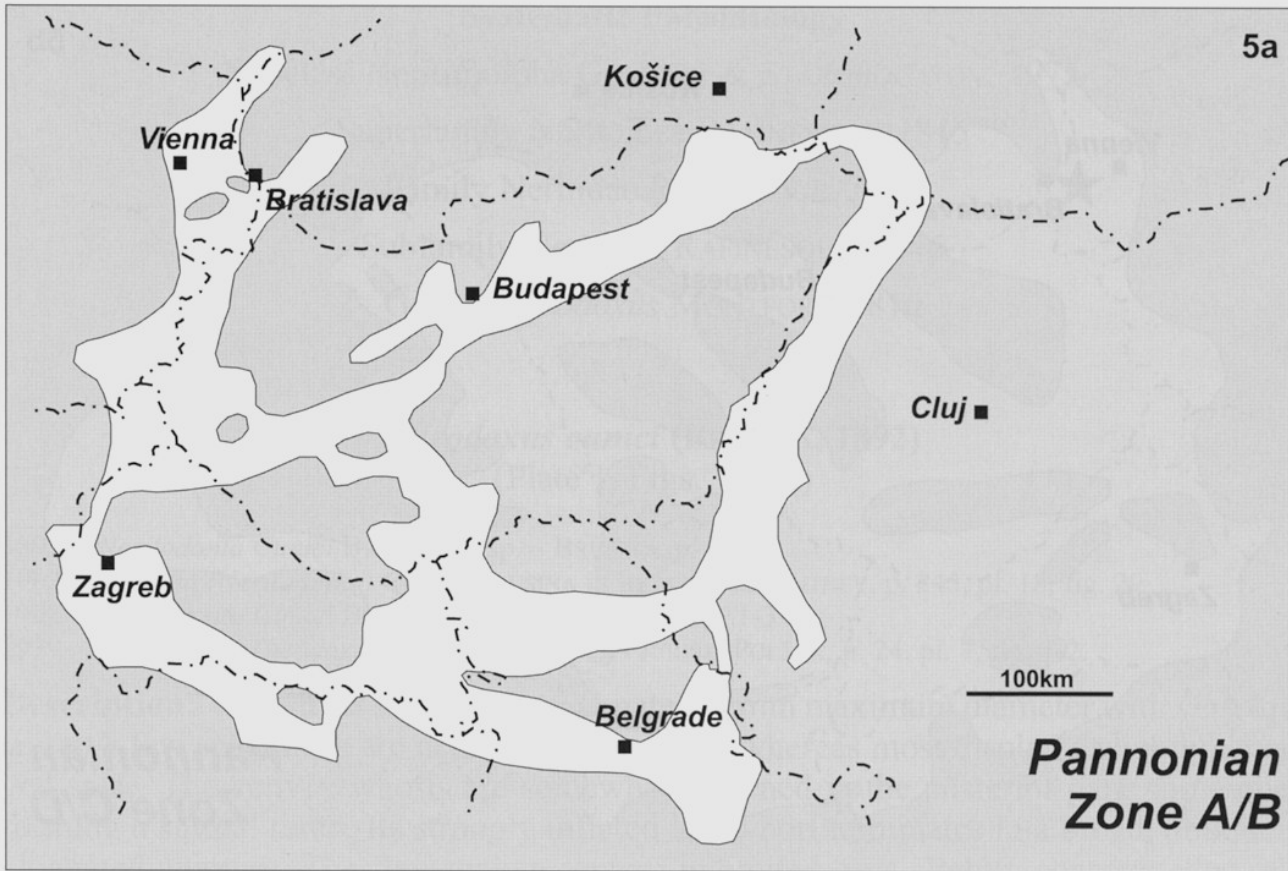


**ALPINE - CARPATHIAN - PANNONIAN – DINARIDE
REGION PALINSPASTIC MAP (DEM)
MIDDLE PANNONIAN**

9 Ma

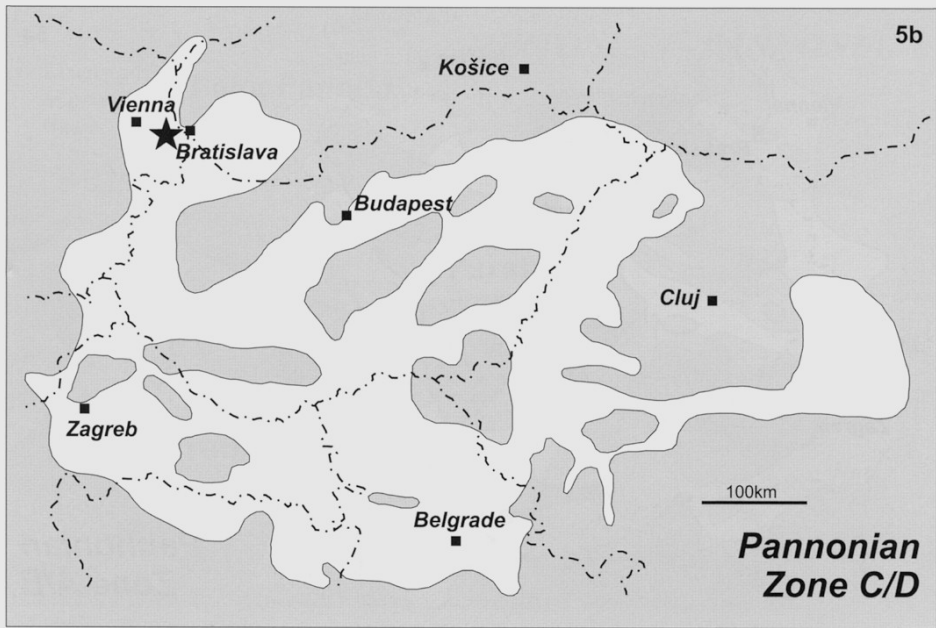


Magyar et al., 1999

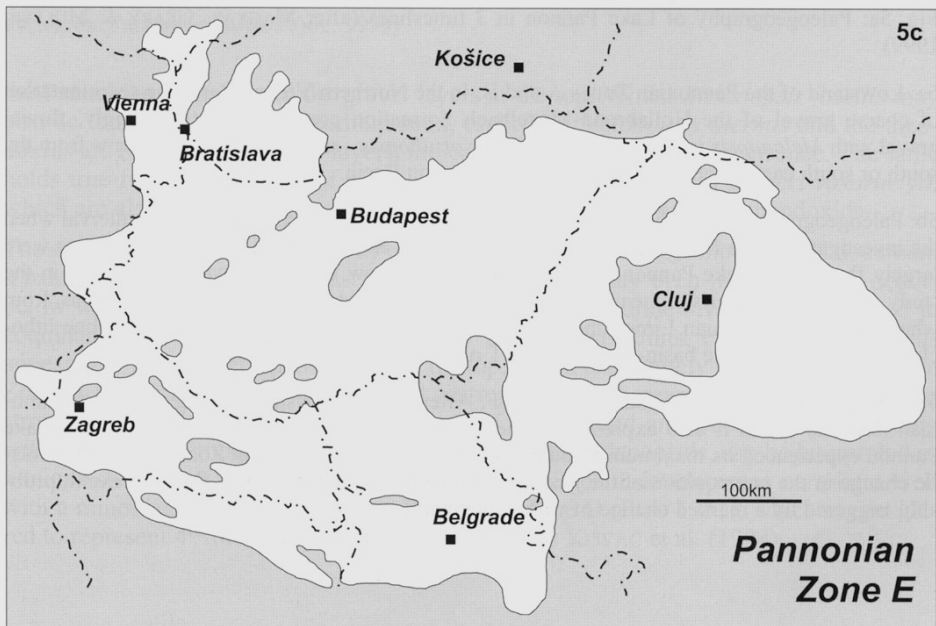


Macra vitaliana

Fig. 5a: Paleogeography of Lake Pannon in 3 timeslices (after MAGYAR, GEARY & MÜLLER, 1999)

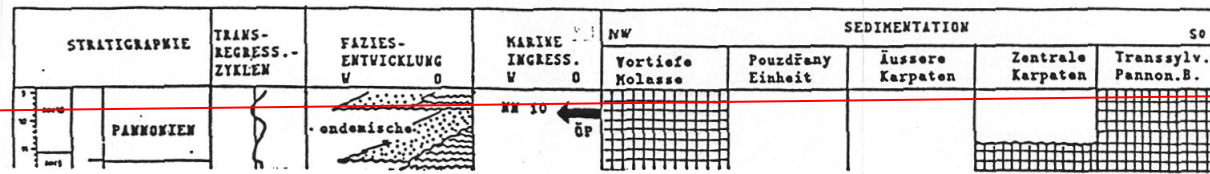


Melanopsis fossilis
Melanopsis impressa



Melanopsis bouei

Fig. 5b-c (continued): Paleogeography of Lake Pannon in 3 timeslices (after MAGYAR, GEARY & MÜLLER, 1999)



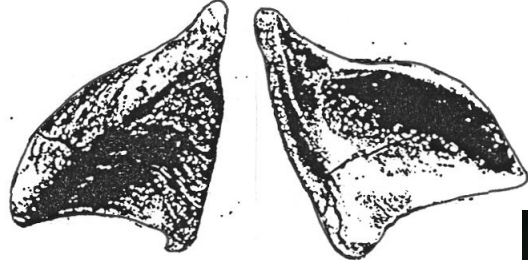
Melanopsis fossilis (M.-Gm.)



Limnocardium böcki (Hal.)



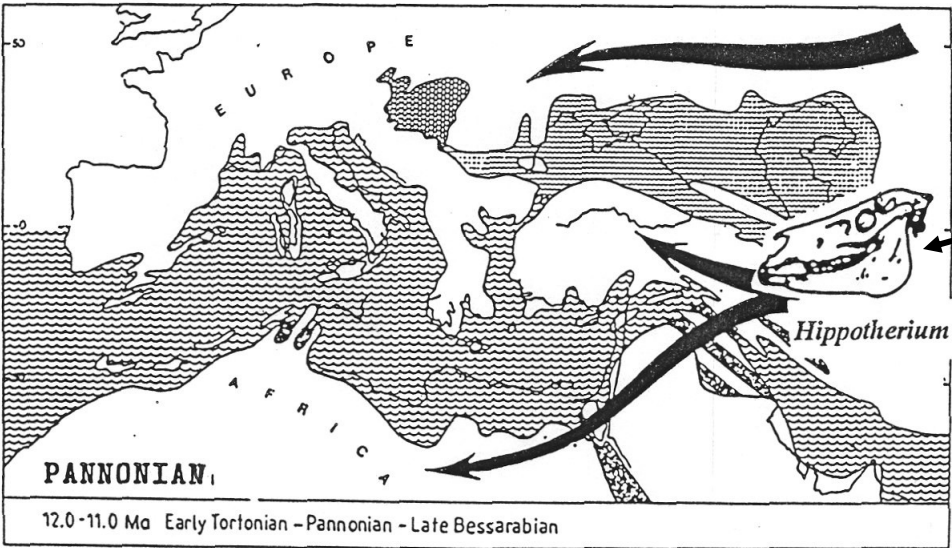
Carychium pachytilus Sandb.



Congeria unguilacaprae Mün.



Melanopsis fossilis
Pannon B



Hippotherium – svrchní část zóny B (tříprstý koník – foto PM Oslo 2001)

Congeria subglobosa



Mytilopsis spathulata

Wandermuschel (*Mytilopsis spathulata*)
Wandermuschel (*Congeria subglobosa*)
Fundort: Hennersdorf

hnízdá *M. spathulata* v opuštěných miskách
C. subglobosa

**Pannon E, Hennersdorf
(Rakousko, Vp)**

(Foto NHM Wien)

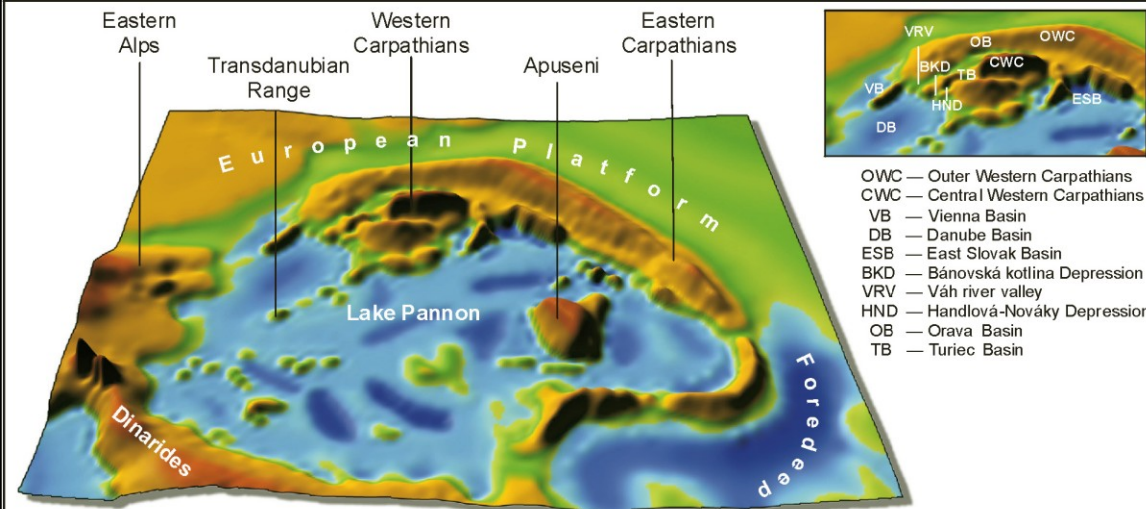
**Pannon B, Siegendorf
(Rakousko, Vp)**



Anhäufung von Schneckengehäusen
der Gattung *Melanopsis*
Fundort: Siegendorf

Melanopsis fossilis

Floristická situace a výškové poměry krajiny ve středním pannonu



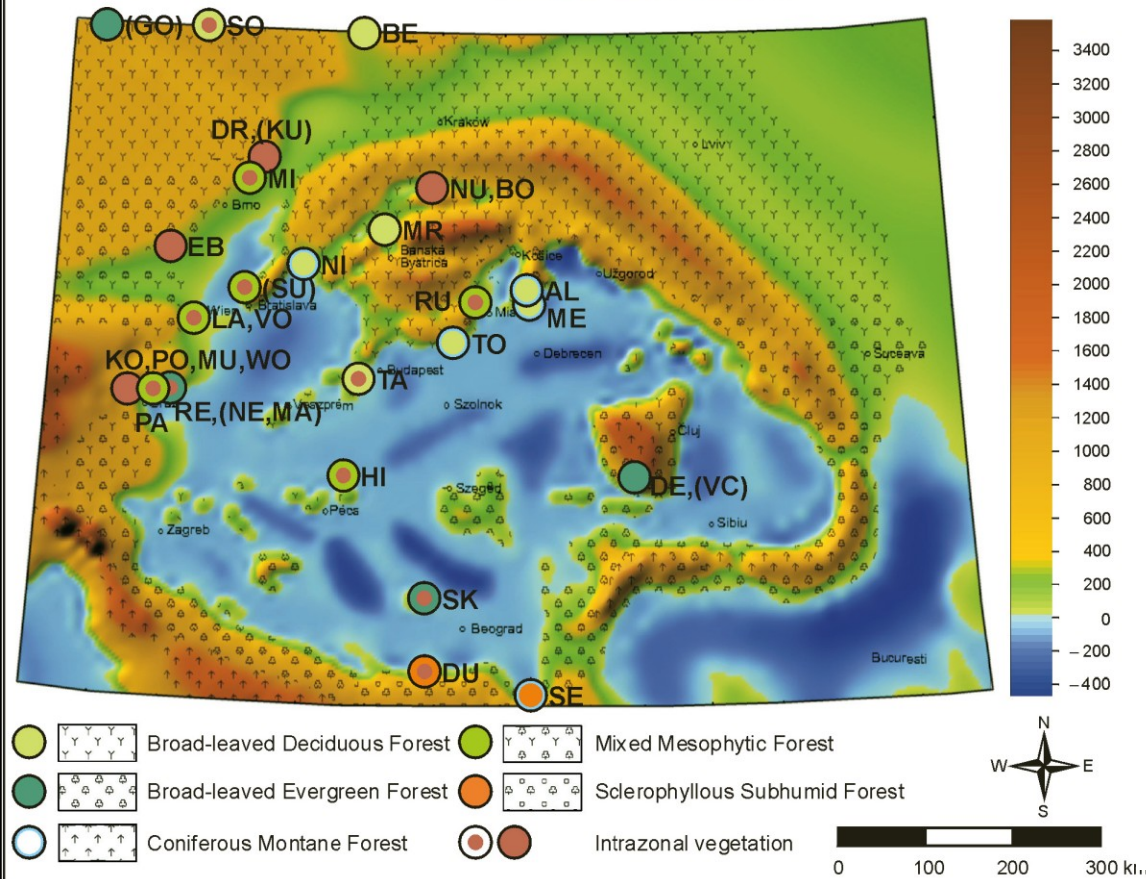
Teplejší mírné klima s odpovídající vegetací a sporadickými teplomilnými nebo stále zelenými prvky

Slanomilné prvky ukazují na přítomnost bažin, lagun a maršů během nízkého stavu brakického jezera (Taxodiaceae)

Pásma vysokohorských jehličnanů se posunulo nad 1500 m, v poněkud nižších výškách rostl opadavý smíšený širokolistý les

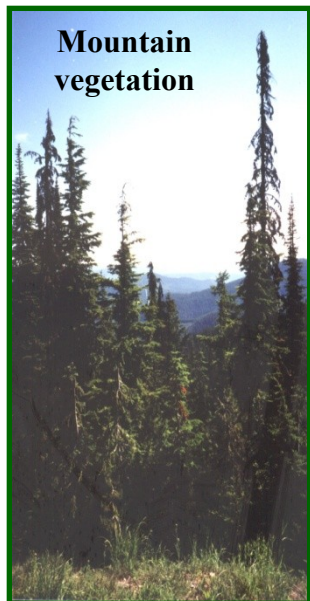
Dále se klima ochlazuje – nejchladnější měsíc cca -10 st. C, vysoká humidita snižuje dopad chladu

Ve vyšším pannonu v nížinách hygrofilní vegetace = lignitová facie v zóně F (Morava, Srbsko, Slovensko, Maďarsko)



(„Miocene evolution of landscape and vegetation in the Central Paratethys“ KVAČEK et al., 2006)

The Late Miocene altitudinal zonation as well as the gradual retreat of the lake and swamp environment southeastwards, to distal parts of the Pannonian Basin, were confirmed by palaeobotanical data. This fact consequently caused a decrease in the number of humid biotopes in the Western Carpathians. Open woodland to grassland vegetation supported terrestrial fauna migration. The beginning of the seasonality, expressed mainly in the amount of precipitation throughout the year, was observed at end of the Pannonian and in Pontian time. Based on vegetation cover, a subtropical climate with gradual transition to warm temperate climatic conditions has been supposed.



Coexistence approach



Kováčová
&
Doláková, 2005



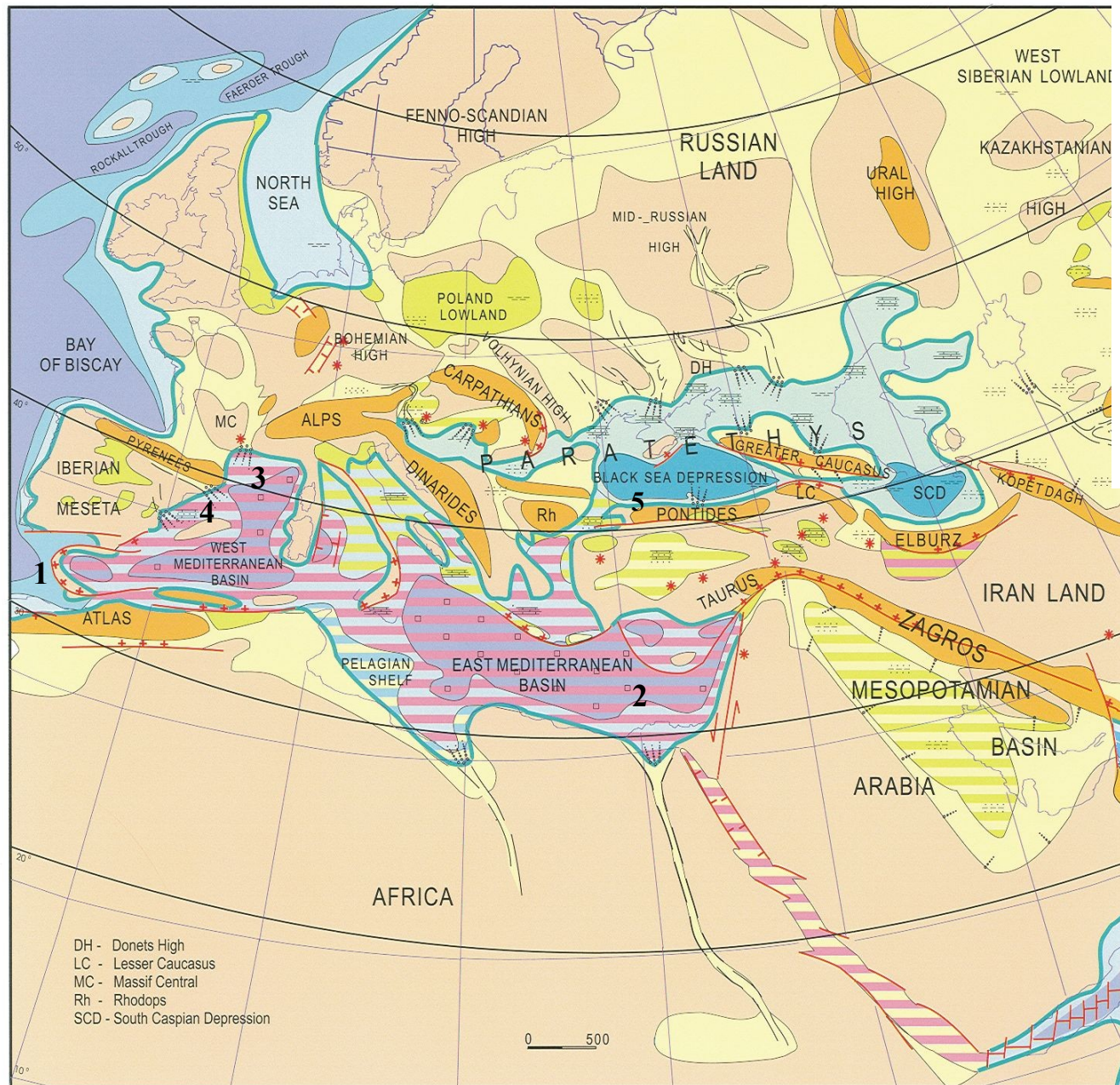
Late Miocene Climatic Data based on Pollen Spectra

Mean annual temperat. (MAT)	15,6 – 21,7°C
Coldest month temperat. (CMT)	5,0 -13,6°C
Warmest month temperat. (WMT)	13,8-27,9 °C
Mean annual precipitation (MAP)	373,0 – 1520,0 mm
Wettest month precipitation (WtMP)	73,0 – 245,0 mm
Driest month precipitation (DMP)	5,0 – 59,0 mm
Warmest month precipitation (WtMP)	27,0 – 227,0 mm

NN11

messin – nejvyšší pannon - pont

6,1 - 5,7 Ma



Pokračují pohyby v Betidech a Maghrebidech (1) => uzavření Mediterránu, začátek messinské krize mořská hladina klesla ve dvou fázích: První (5.8 Ma) – ovlivnila okraje Med. a vedla k uložení **spodních evaporitů** sádrovcového složení.

Druhá (5.6 Ma) zasáhla celou Medit. pánev, pokles až o 1500m. Výsledkem byly hluboce zaříznuté kaňony řek (Nil-2, Rhona-3, Ebro-4) a uložení až 2 km mocných **svrchních evaporitů** v centrech depresí (cca 1 milion km kubických).

Mezi těmito fázemi leží brakická epizoda „Lago Mare“ s četnými druhy společnými s Paratethys (limnokardia, kongerie, melanopsidi)

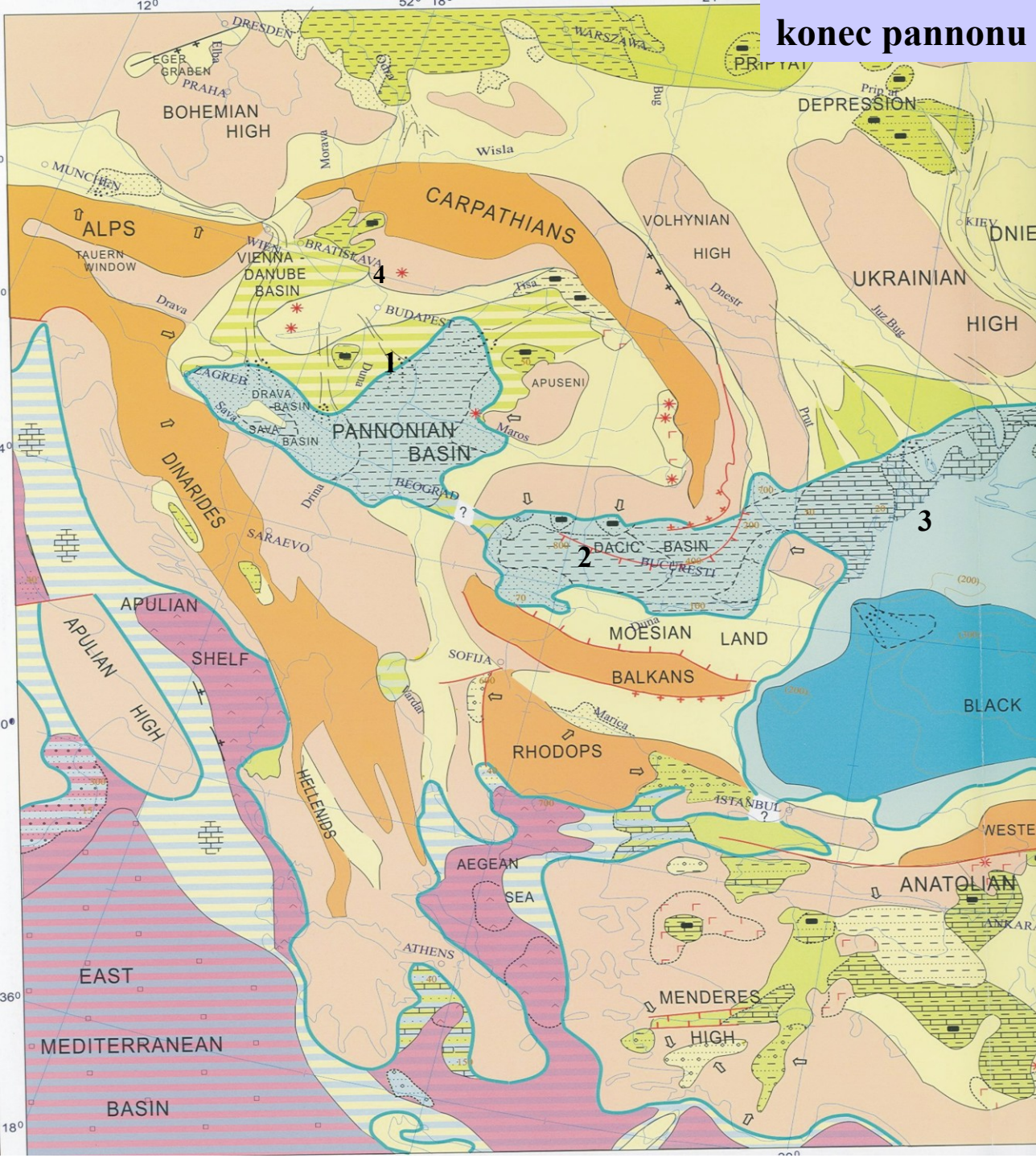
VP – pont je transgresivní směrem k V, salinita cca 5-8‰, mělkovodní poměry mimo černomořskou depresi (5)

konec pannonu

CP – Karpatské externidy jsou trvale souší, vlivem extenze stále subsiduje pannonská pánev, během pontu se souvislý sedimentační prostor CP rozpadá na mírně slaná nebo úplně sladká vnitrozemská jezera: pannonské (1), dácké (2) a pontské (3)

Klima – humidní, relativně teplé => vznik uhelných slojí (lignit)

Vulkanismus - alkalicko-bazaltový až bazanitový (4 - maary, diatremy, lávové proudy) – jižní Slovensko a severní Maďarsko – projev parciálního tavení v plášti a diapirického vyklenutí pláště v pannonské oblasti.



-  mělký šelf
-  hlubší šelf
-  šelfové deprese
-  k. svah a dna pánví
-  brakická oblast
-  sladkovodní oblasti
-  nížiny
-  výšiny
-  hory
-  evapority

Late Miocene – Pannonian Vienna and Danube Basin



Major, in Fejfar 2000



Messin – paleogeografie oblasti Středoziemního moře

pliocén

Middle - Late Pliocene

NN16-NN18 piacenz+gelas – roman - akčagyl 3,4 - 1,8 Ma

Po orogenezi počátkem pliocénu se zvýšily poklesové rychlosti v tyrrhenské (1) a egejské (2) depresi a zvedání okolních horských řetězců.

Nastupuje již vývoj současného obrazu pohoří a říční sítě.

Gibraltar (3) opět plně funguje po uzavření v messinu.

Rýnský příkop (4) obnovuje riftové pohyby ve stř. pliocénu => fluviaální a limnické sedimenty.

VP – rozdělena do dvou pánví (kujalnická = cca černomořská, akčagylska = cca kaspická) s velmi slabou komunikací (5).

Spojení VP s mediterránem tradiční cestou Bospor-Dardanely (6).



- mělký šelf
- hlubší šelf
- šelfové deprese
- k. svah a dna pánví
- brakická oblast
- sladkovodní oblasti
- nížiny
- výšiny
- hory
- evapority

DH - Donets High
LC - Lesser Caucasus
MC - Massif Central
Rh - Rhodops



roman

CP – Západokarpatský orogén se zvedá (především v pleistocénu), převládá tam komprese SZ-JV. Tento pohyb trvá dodnes (rychlost 1-2 mm/rok – Tatry, Povážský Inovec)

Extenzní režim pokračuje jen v zohorsko-plaveckém příkopu (Vp, 1) a ve střední části dunajské pánve (gabčíkovská a komjatická deprese, 2)

Celá oblast CP je suchou zemí, nastupuje dnešní odvodňovací systém Dunaje a recentní říční síť (Dunaj jižněji, 3)

Literatura (výběr a doporučení):

- Brzobohatý, R., Cicha I., Kováč, M. & Rögl, F. (eds) (2003): The Karpatian – a Lower Miocene stage of the Central Paratethys. – Masaryk University, pp. 360, Brno.**
- Kováč, M. (2000): Geodynamický, paleogeografický a štruktúrny vývoj karpatsko-panónského regiónu v miocéne: Nový pohľad na neogénne panvy Slovenska. – VEDA, pp. 202, Bratislava.**
- Kováč, M., Hudáčková, N., Halášová, E., Kováčová, M., Holcová, K., Osczycko-Clowes, M., Báldi, K., Less, G., Nagymarosyi, A., Ruman, A., Klučiar, T. and Jamrich, M. (2017): The Central Paratethys palaeoceanography: a water circulation model based on microfossil proxies, climates, and changes of depositional environment. – Acta geologica Slovaca 9(2): 75-114.**
- Kvaček, Z., Kováč, M., Kovar-Eder, J., Doláková, N., Jechorek, H., Parashiv, V. Kováčová, M. & Sliva, L. (2006): Miocene evolution of landscape and vegetation in the Central Paratethys. – Geologica Carpathica 57, 4, 295-310. Bratislava.**
- Popov, S.V., Rögl, F., Rozanov, A.Y, Steininger, F.F., Shcherba, I.G. & Kovac, M. (eds) (2004): Lithological-Paleogeographic maps of Paratethys. – Courier Forschungsinstitut Senckenberg, 250, Frankfurt a. M.**
- Rögl, F. (1998): Paleogeographic Considerations for Mediterranean and Paratethys Seaways (Oligocene to Miocene). – Ann. Naturhistor. Mus Wien, 99-A, 279-310. Wien.**
- Rögl, F. & Steininger, F. (1983): Vom Zerfall der tethys zu Mediterran und Paratethys. Die Neogene Paläogeographie und Palinspastik des zirkum-mediterranen Raumes. – Ann. Naturhistor. Mus. Wien, 85-A, 135-163. Wien.**
- Royden, L. & Horváth, F. (eds) (1988): The Pannonian Basin: a study in basin evolution. – AAPG Mem. 45. Tulsa**

Dále použity různé internetové databáze (především paleontologická obrazová dokumentace)

ALPINE - CARPATHIAN - PANNONIAN - DINARIDE REGION PALINSPASTIC MAP – MIDDLE PANNONIAN

